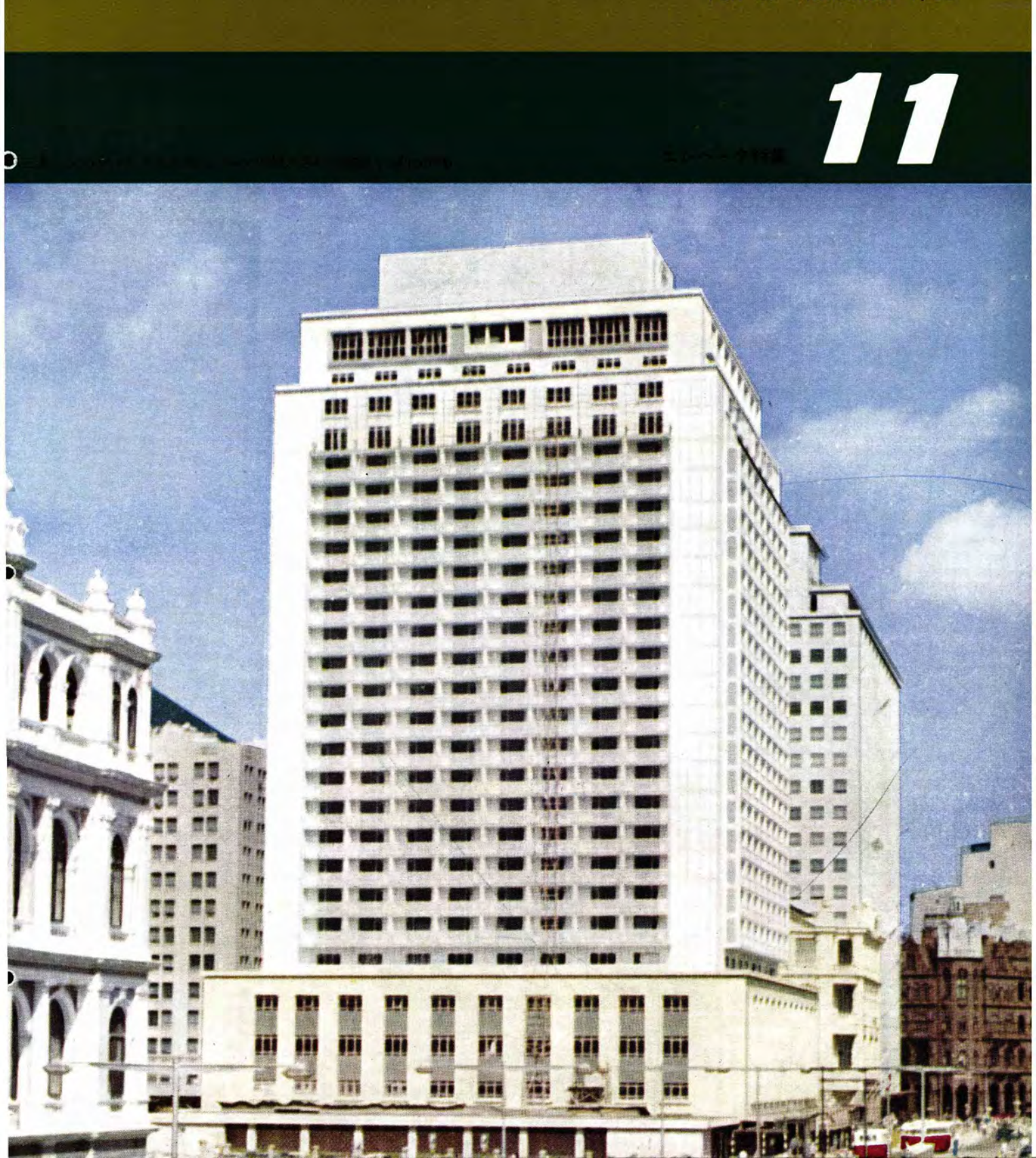
MITSUBISHI DENKI GIHO

三菱電機技報

Vol. 37 November 1963



東北電力新潟火力発電所納めデータ処理装置 高稼動率で運転中



かねて当社鎌倉製作所で製作中であった東北電力新潟 火力一号 プラント向け データ 処理装置は、38年6月現地 据付調整を完了し同7月より実運転に入った。本装置は 発電機と同様1日24時間の連続運転を行なうものであ るが、以後好成績で稼動している。

本 プラントは ポイラタービン を新三菱重工神戸造船,発電機を三菱電機が担当したものであるが,裏日本最初の,しかも天然 ガス を燃料とする新鋭火力 プラント として注目される発電所であるが,本 データ 処理装置の設置により運転の合理化,集中管理,安全運転に大いに役立つものである。また従来運転員により作成していたプラント運転日誌は用いられず運転記録は本装置により作成する運転実績表のみとなる.

本装置はその機能により3台の装置から構成され、写真で左端が MELDAP-5141 中央が MELDAP-6261 右端が MELDAP-1141 である. このほか安定な電源を供給する MMG 形無停電電源装置を設けその制御配電盤はデータロガー 室内に設置している.

■ MELDAP-6261

火力 プラント における性能計算を実行し、運転の指針を与えるとともに1日1枚の運転実績表を自動的に作成する。主たる計算項目としては、ボイラ 効率、タービンプラント 効率、熱効率、燃料消費率、蒸汽消費率、所内率、負荷率、利用率などであり、重油および天然 ガス の各混焼の場合にも追従するものである。

なお本装置は主記憶装置として 2,000 語の磁心記憶装置を有し、プログラム 内蔵式の中央処理装置を中心に構成

され、入出力および情報処理が独立制御になっていて、 きわめて融通性のある装置で、入出力機器の増強と プログラム によって各種の動作が可能である。

■ MELDAP-1141

プラント 起動時および定常運転時に各部の温度を高速連続走査して監視を行ない、異常を発見した場合には中央制御盤の警報表示器を駆動させる。またある種のものについては トリップ 指令をとり出している.

■ MELDAP-5141

プラント 起動時に特に重要な各部温度差および温度上昇 率について計算監視を行なうとともに、運転上とくに重 要なデータについて中央制御盤に計測結果をディジタル表 示し、表示された数値は1走査ごとに更新する. 本装置 によってとくに起動停止あるいは負荷変動の場合、運転 の安全迅速化に効果を発揮するものである. 本装置は動 作の安定な NOR 素子を用い、記憶装置としては機械的 可動部のない コアメモリ を採用し、各系統についてはとく に信頼度の向上に留意するとともに、各機器の完全なセ ルフチェックにより調整保守を容易にし、さらに雑音に対し ても各種変換器の設置場所、および検出端からの信号配 線に考慮をはらったため、現地においては外来雑音にわ ずらわされることもなく, 比較的短期間に据付調整を完 了し、営業運転に入ったものである. 運転開始後の稼動 率もきわめて高く、好評を博しており、従来とかく問題 とされていた火力 プラント 用 データ 処理装置も完全に実用 期に入っていることを実証したものであり、今後の火力 プラントの自動化に大いなる礎石を投じたものといえよう.



1

表紙説明

マンダリンホテルは、香港政庁前に建築された 25 階建の大ビルディングであり、当社は同ホテルに定格速度 210 m/min のシンクログライド 方式高速 エレベータ 6 台を含む13 台のエレベータを納入した。国内における高層建築計画の開花期に当って、この高速エレベータが欧米一流メーカの製品がひしめく国際市場において、十分にその優秀性を認められた事は意義深い。

三菱電機技報

昭和38年 第37巻 第11号 (エレベータ特集)

目 次

超高層用三菱 シックログライド 高速度 エレベータ 宮 城 晃・高 村 明… エレベータ を利用した駐車装置 瀬原田三郎… セレクチブバーチカルコンベヤ 加藤 淳 治… ロープウェイ の リアクトル 制御 佐 藤 正 夫・吉 田 太 郎・川 合 弘…	2 13 19 22
ダイオードトラッジスタ NOR-OR 素子・・・・・・・・・・・・・・・・・・・・・・・・・・・・・・・・・・・・	28
三菱 ステレオ	35 40
土井博之·高須 勇·加藤修助·上西 聖·喜連川 隆·森川 祥·東野義夫···	46
MHD 発電装置の設計に関する一考察 伊藤 利朗・森川 鉄 北・村 井 総…	53
工作機のプログラムコントロール・・・・・・・・・・・・・・・・・・・・・・・・・・・・・・・・・・・・	60
麻生產業吉隈第一立坑機械設備 津田武夫…	68
麻生産業吉隈第一立坑 600 kW 交流立坑巻上機の自動制御	73
能谷茂俊・柴田賢吾・福江節雄・能谷永年…	76
52 拡散電極の電位立上りおよび減衰特性	82
最近の送電線保護継電装置(4) — 故障検出継電器 — 北浦 孝 一・古 谷 昭 雄…	86
《技術解説》	
高周波誘導加熱装置 (VI) ――自動加熱機械装置と各種応用 (2)――――――――――――――――――――――――――――――――――――	91
(ニュース・フラッシュ)	
通信衛星 テルスタ 2 号追尾実験成功・3 サイクル Y 形空気 シャ 断器 シリーズ の完成・24 kV 1,000 MVA 縮小形 C 形空気 シャ 断器完成・ RY 形結合 コンデンサ 形計器用変圧器製作開始・わが国最大の 190 kW 水中 モートル の完成・最近の船用 ホイスト・MR-4, MR-44 形電磁継電器量産開始・超小形 EM-4 形電磁開閉器市販開始・電源開発佐久間周波数変換所用変圧器受注	100
《新製品紹介》	- 10
三菱工業計測器 (A シリーズ その 1)・事務所, 商店, 学校, 劇場の暖房に '64 年度三菱 オイル 暖房機発売・あなたを災難から守る三菱電子報知機 EA-110A 形開発・画面が 6 割拡大されました. 三菱 テレビ 19T-370 形発売・・・・・1	105
《特許と新案》	
カード 分類方式・超音波軌条検査装置	08
《最近における社外寄稿一覧》	
《最近における社外講演一覧》	100
《最近登録された実用新案》・・・・・・・・・・・・・・・・・・・・・・・・・・・・・・・・・・・・	
《表紙》	12
2. 東北電力新潟火力発電所納め データ 処理装置	
3. UL-80 形 へりウム 液化装置 (標準形) 完成 4. 三菱石油 ストーブ	
" ————————————————————————————————————	

超高層用三菱シンクログライド高速度エレベータ

宮城 晃*・高村 明*

Mitsubishi Synchro Glide High-Speed Elevators for Super Lofty Buildings

Nagoya Works

Akira MIYAGI · Akira TAKAMURA

Elevators for use in skyscrapers must be capable of running a short distance with excellent riding comfort and in the shortest time as well as operating with a high rated speed. To cope with ever increasing height of buildings, a new concept is required in the design of modern elevators. Mitsubishi has developed recently Synchro Glide Gearless high speed elevators which meet the requirements stated above and have performance of the world topmost level. In skyscrapers elevators plays a vital part and it is very important to make a good elevator planning in order to secure the best economical efficiency of the building. This article describes the basic problems on the subject.

1. まえがき

わが国では従来建築物の高さが 31 m に制限されていたために、エレベータの速度は特殊な場合を除いて経済的に 150 m/min で十分であった。したがって国内で実用されている最高速の エレベータは、昭和 36 年に三菱電機が京都国際 ホテル に納入した 210 m/min、1,400 kg 2 台で、これは地上と屋上を直通する急行 エレベータ である。他方海外では建築物の高さ制限がゆるやかであるので高速 エレベータ の需要が多く、三菱電機では香港 マンダリンホテル に 210 m/min 1,000 kg 6 カーオート セレクト パタンオート 方式、マレー国会議事堂に 180 m/min 2 カーオート セレクト パタンオート 方式を納入し好評を得ており、さらに マレー AIA ビル 向け 3 台、香港 キングスシアター 向け 4 台、南 アメリカコロンピア 向け 4 台など、いずれも 210 m/min のオート セレクト パタンオート 方式の高速 エレベータ 多数を製作中である。

さらに国内でも最近建築基準法が改正されて、容積地区制が採用された結果、近い将来 20 階建, 30 階建の事務所 ビル、あるいは ホテル が建設される気運が熟しつつある。このような超高層 ビルでは高速高性能の エレベータ が必要となるが、三菱電機では、アメリカ の Westinghouse 電機会社 (以下 W 社と略す) が ニューヨーク の世界一の事務所 ビル である、パンアメリカンビル に最近納入し



図 1.1 三菱 シンクログライド 高速 エレベータ が据付けられた 香港 マンダリンホテル の乗場

Fig. 1.1 Elevator Hall of Mandarin Hotel in which Mitsubishi Synchro Glide elevators have been installed. た 510 m/min (世界最高速) の DMR 方式を参考にして研究を 進め、三菱 シンクログライド 方式高速 エレベータ を開発したのでその概要を説明するとともに超高層 ピル における エレベータ の設備計画に ついて述べご参考に供したい。

2. シンクログライド方式高速エレベータ

2.1 高速エレベータの速度曲線と輸送能力の関係

従来の 10 階程度の建物では エレベータ の定格速度は 150 m/min で十分であり、輸送能力は定格速度よりはむしろ実際の速度曲線 に大きく左右されるから、加減速時間が短く、床から床までの時間が短い、エレベータを選ぶことが重要であることは先に筆者らが指摘したとおりである。

これに比べ、超高層 ビルの高速 エレベータは昇降行程が長いから、加減速に要する時間が多少長くても、全走行時間に対する割合が小さく、輸送能力にはほとんど影響しないと考えられやすいがこれは展望台行の直通 エレベータ のような特殊な場合だけいえることで、30 階程度のビルの一般用 エレベータ ではそのようなことはいえない。

図2.1 は 30 階建の事務所 ビル において容量 1,350 kg の各種 エレベータ の朝の出勤時における 5 分間輸送力を示す。この図から わかるように エレベータ が全階に サービス するように運用すれば、速度 150 m/min の理想速度曲線を持つ高性能 エレベータ は速度 300 m/mm の加減速のやや長い中性能 エレベータ より大きな輸送力を

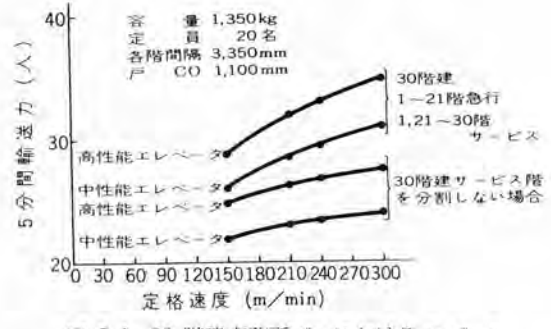
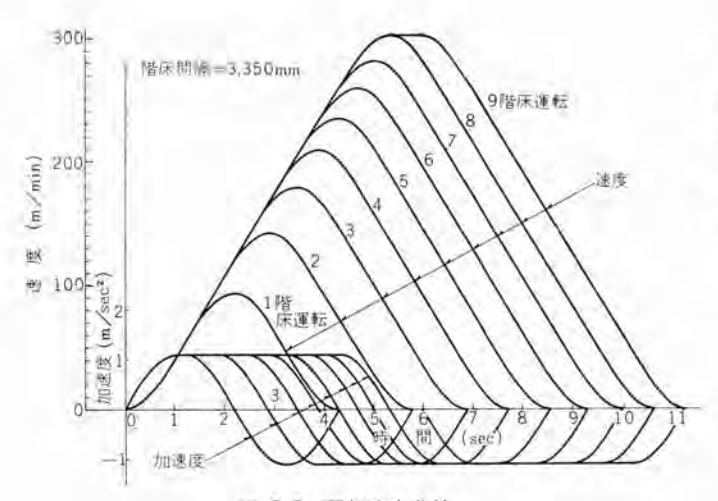


図 2.1 30 階建事務所 ビル における エレベータ 定格速度と輸送力

Fig. 2.1 Rated speed vs passenger carrying capacity of elevator in office builing with 30 floors.



200 階床間隔=3,350mm 理想曲線 (E) 208 2 圏 100 208 2 圏 100 100 2 2 3 4 5 6 7 9 9

図 2.3 やや悪い部分速運転の例 (3 階運転) Fig. 2.3 An example of poor performance characteristic on three floor run.

図 2.2 理想速度曲線 Fig. 2.2 Ideal performance curves.

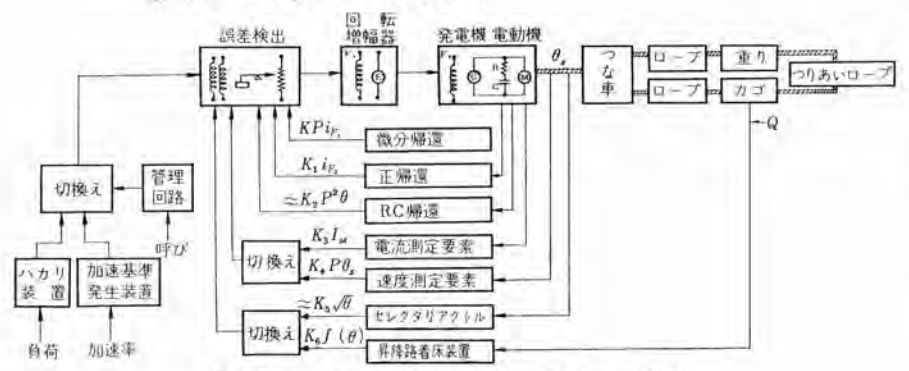


図 2.4 シンクログライド 速度制御方式の ブロック 線図 Fig. 2.4 Block diagram of syncho-glide control system.

持つ. 超高速 ビルでは後に説明するように一般にエレベータの サービス 階を分割し、低層行と高層行急行、あるいは低層行中層行急行 および高層行急行などとする。こうすれば高速 エレベータ の全速を 有効に利用できるが、全速で走行するのは急行区間だけであって、その走行時間は一周時間のうちのほんの小部分である。 いったん サービス 区間にはいれば、比較的短距離の走行停止を繰り返すことになり、この区間における実効速度が一周時間したがって輸送能力を大きく左右する。したがって超高層 ビルにおける エレベータは 単に定格速度が高いだけでなく、短距離を高加速、高減速で走行し、着床前の低速 クリーラがほとんどなく、かつ乗りここちのよい高性能 エレベータ でなければならない。

2.2 理想速度曲線と速度制御

乗りごこちと走行時間とは相反関係にあるので、乗りごこちよく最短時間で運転するには筆者らが先に推奨した図2.2 に示す理想速度曲線にできるだけ近い運転を実現すればよい。定格速度150 m/min 程度では、この速度制御は比較的容易で当社のロートトロール速度制御方式はほぼこの理想を満している。ところが定格速度が210~500 m/min となると速度制御の範囲の増大、運動系の慣性の増大、部分速運転の種類の増加などのために従来の方法では、エレベータを負荷のいかんにかかわらず理想速度曲線にそって運転することははなはだ困難となり、とかく図2.3 のごとく部分速運転の乗りごこちが悪くなったり、着床前の低速が長くなったり、停止をやわらかにしようとすると リレベル が増えたりする・

これを解決するには、広い速度範囲において、とくに低速で、 感度が良く精度が高い速度検出器を持った高増幅率でかつ過渡応 答の良い閉ルーラ制御系が必要である。なお、このような応答速 度の早い系では速度基準は連続したものでないと乗りごこちが悪

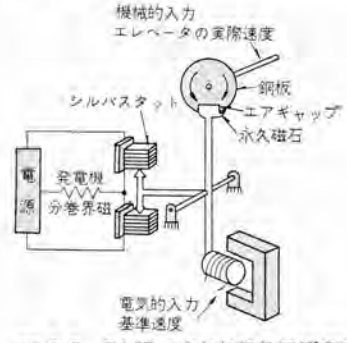


図 2.5 DMR 形速度調整器原理図 Fig. 2.5 Schematic of type DMR velocity transducer.



図 2,6 DMR 形速度調整器 取付図 Fig. 2.6 Type DMR velocity transducer on a traction

machine.

くなり、速度基準発生装置は全速運転はもちろんのこと全速の出せないような任意の階間を走行する場合にも、理想速度曲線にそった連続的速度基準を自動的に発生するものでなければならない。

2.3 シンクログライド速度制御方式

上に述べた基本的要求に沿って開発された、三菱 シンクログライド 方式について、図2.4の原理図により簡単に動作概要を説明する. 呼びが登録され カゴの戸および乗場の戸がしまって施錠されると、エレベータ は管理回路の指示の方向に出発する. 起動は三菱特許の ハカリ 起動方式により、負荷の大小にかかわらず円滑敏速に行なわれる. 加速は加速基準発生装置からの円滑な加速指令信号により、ステップレス に増速する. 停止階に近づくと各部分速運転に応じた適当な減速距離を自動的に選択して カゴは減速を始める. 前半は セレクタ 内の可変 リアクトル、また着床 ゾーン に到着すると昇降路着床装置からの位置に対応する基準速度入力により、なめらかに減速し正確に着床する. その後、カゴが完全に停止してからプレーキが掛かる. この間、DMR 形調整器が全般を通じて、図2.1 に示す理想速度曲線に沿うように調整を行なっており、大形機に対しては回転増幅器が追加されて調整器の出力不足分を補う.

また定常偏差を小さくするために正帰還を施し、安定化には発電機電圧をRC 微分帰還、回転増幅機付の場合はさらにその磁束変化率を負荷還して、システムの制御特性を向上させている。以下、この システム に使用されている電気関係の主要開発機器について説明を進める。

2.4 DMR 形速度調整器

図2.5 は速度調整器の原理図であり、図2.6 は実際に巻上機の 軸端に取り付けた状況である。

調整器の内部には トルクアーム の上端に C 形の永久磁石があり、この エアギャップ を銅の円板が回転する。円板は エレベータ 巻上機の軸端から タイミングベルト で駆動され、円板内に ウズ 電流が流れて、エレベータ の速度にほぼ比例する回転力が トルクアーム に加えられる・トルクアームの 下端に基準入力 コイル と帰還 コイル があり、 ダイナミックスピーカ と同一原理の トルクモータ を構成している。 トルクアーム は水平な軸受で支持され 2 個の シルバスタット を駆動する。電動発電機の界磁が電源の中点と シルバスタット の中点に接続され、トルクアームの位置にしたがって正逆の全励磁を受ける。

図2.7 は基準入力 コイル 電流と力の関係を示し、図2.8 は円板の回転数と Drag Torque の関係を示す。

この調整器は速度測定部、基準速度入力部、比較部、増幅部がコンパクトに一体にまとめられたざん新な装置であり、回転計発電機における、ブラシ 折損、ブラシ Drop AC Ripple などによる問題も皆無である。増幅器もトルクアーム系の慣性を少なく設計してあり、きわめて高い Figure of Merit を持っていて、ほとんど保守の必要はなく信頼度が高い。

2.5 DMA 形アクセレータ

DMA 形 アクセレータ は、シリコン 制御整流素子を利用した一種の 演算増幅器で速度基準電流の増加率を制御することにより、エレベ

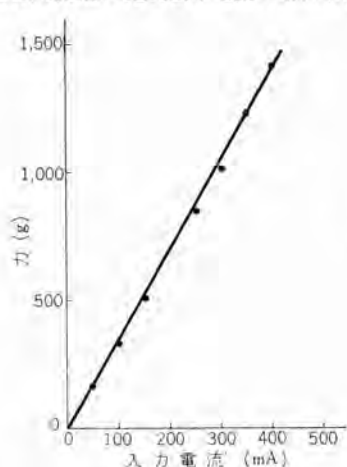


図 2.7 基準コイル 入力電流・力特性 Fig. 2.7 Pattern coil input current vs force.

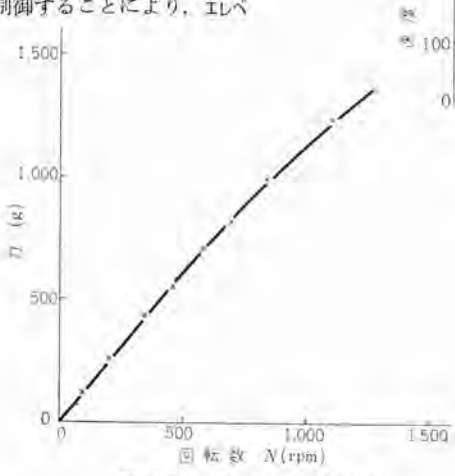
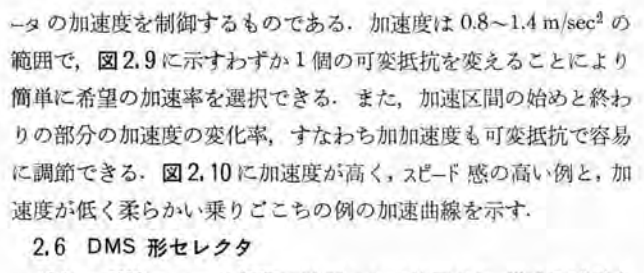


図 2.8 円板回転数-力特性 Fig. 2.8 Drag force vs cupper disk velocity.



従来の KN セレクタ は管理回路用として使用され、構造も簡単小 形であって、150 m/min 程度の エレベータ 用としては非常に好適で ある. しかし高速 エレベータ においては、部分速運転の種類が多い こと、ステップレスの減速基準入力が欲しいことなどの理由から、同 期形 セレクタ に速度制御機能を付加することがひっす条件になっ てくる. 三菱 DMS 形 セレクタ は、前進移動台、同期移動台と呼 ばれる、2種類の可動部分がお互い適当な関係位置を保って、組 み立てられている。 同期移動台は シンクロ 装置を介して約 100:1 の縮尺で、常にカゴと同期して正確に動き、前進移動台は同期移 動台に対して最大前進距離、すなわち減速距離相当分の範囲は自 由に lead を取りうる構造となっている。すなわち、図 2,11 によ って、シーケンスを追って説明すると、まずトビラがとじるとA点 で前進移動台は、ただちに同期移動台に対して先行始め、わずか に遅れてB点でカゴは起動し、同時に同期移動台もカゴに同期し て動き出す. さらに C 点に達すると 前進移動台は同期移動台に 対し、最大前進位置まで進み、それ以後はおのおのの移動台は一

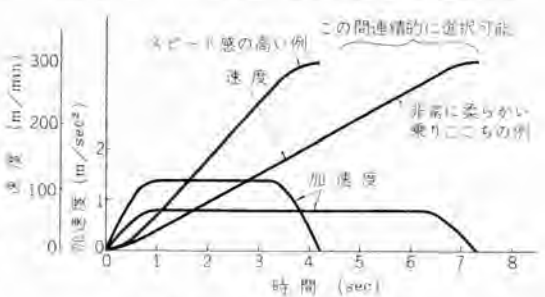


図 2.10 アクセレータ 出力特性 Fig. 2.10 Accelerator out put vs time.

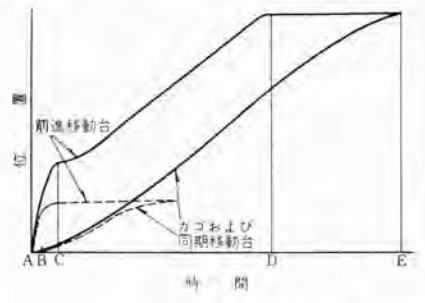




図 2.9 アクセレータ Fig. 2.9 Accelerator.

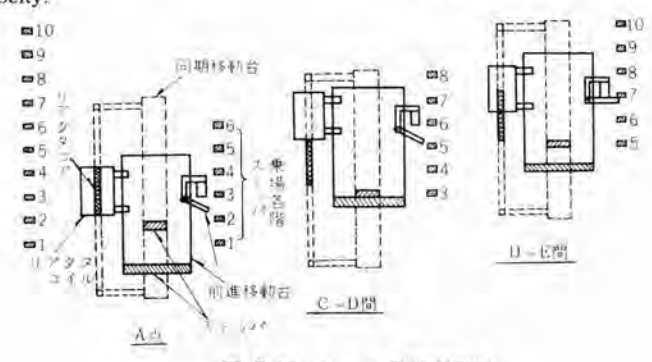


図 2.11 セレクタ 動作説明図 Fig. 2.11 Schematic of selector.

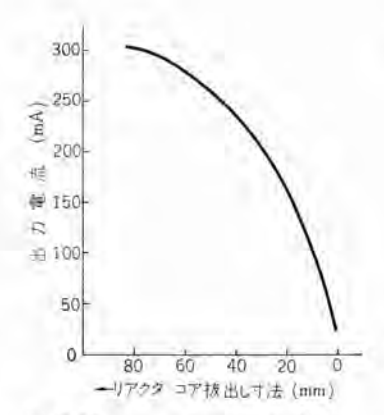


図 2.12 セレクタ リアクタコイル 特性 Fig. 2.12 Pattern shape of selector transducer.



図 2.13 昇降路着床装置および シャヘイ 鉄板 Fig. 2.13 Hatch transducer and shield plate.

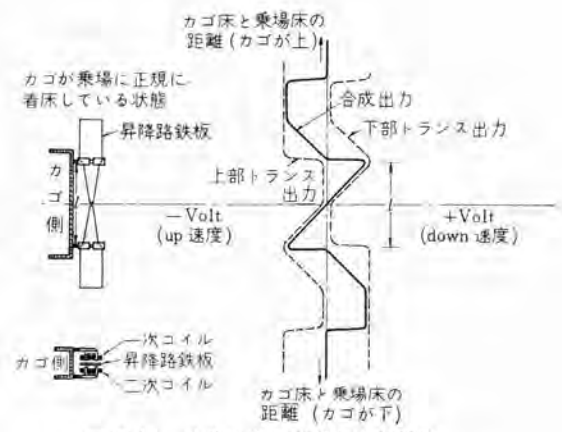


図 2.14 昇降路着床装置と出力波形 Fig. 2.14 Hatch transducer and pattern shape.

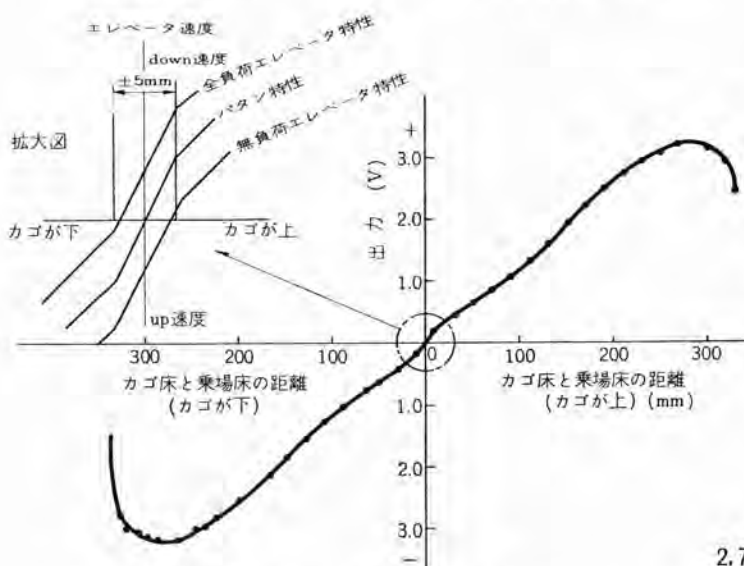


図 2.15 昇降路着床装置実測特性 Fig. 2.15 Actual pattern shake of hatch transducer.

体となって カゴに同期して進む。D 点に違すると、呼びのある階 の ストッパに前進移動台の ツメが、係合して前進移動台は停止する. その後は、カゴの動きに応じて、同期移動台のみが移動を続け、E 点に至って前進移動台に追いついて停止する。この間、1 組の リア クタコイル と鉄心のおのおのを別々の移動台に取り付け, D 点から E 点に至る間の両移動台の相対運動を利用して、鉄心を出入しそ の インピーダンス 変化を取り出す. この出力を減速開始点から床前 250 mm までの全域にわたっての位置-速度制御系の入力として 利用する。なお全速が出ないような部分速運転は図の点線のよう な経路をたどり,前進移動台は最大前進位置まで進まぬうちにスト ッパに係合して止まり、部分速運転の減速部分を分担する. この リアフタは、前記の アクセレータ の演算増幅器の閉ループ 中に含まれ ているため、走行予定距離または階数によって、プログラムを変え なくても部分速運転を円滑に行なうことができる。 すなわち、アク セレータによる加速動作と、可変 リアクタによる減速動作は最適の 切り換わり点を自動的に選択し、前に述べた図2.3に示すような 無駄な定常速運転期間を置かず、また、加速から減速に切り換わ るとき部分速運転特有の不快感を与えることなく巧妙に理想的速 度基準入力を発生する。減速 リアクタ の位置・速度曲線は、図 2,12 のごときもので大体二次曲線に近い形を示し、数多くの実験を繰 り返して、標準化したものであり据付保守の際の調整は不要であ 3.

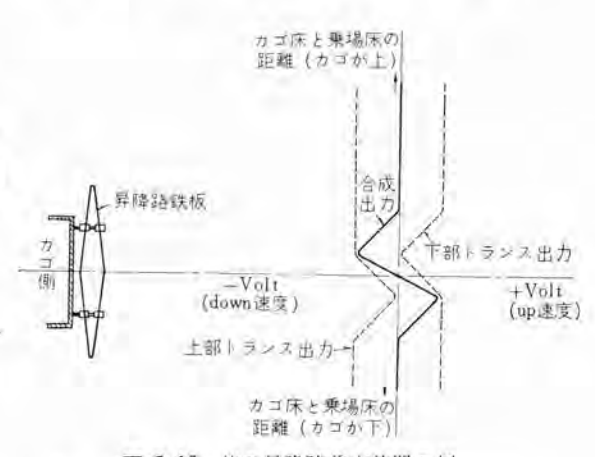


図 2.16 他の昇降路着床装置の例 Fig. 2.16 Other example of hatch transducer.

2.7 DMI 形着床装置

床から 250 m 以内はさらに正確な速度基準値が必要なので制 御装置に与えられる基準入力は、セレクタ 内可変 リアクタ から DMI 形着床装置に切り換えられる。

この着床装置は図2.13に示されるような構造であり、シャペイ 鉄板は昇降路側の各階に、本体はカゴ側に取り付けられる。1 組 の鉄板はカゴの位置に応じて2 組のエアギャップ 変圧器の空 デキを 通り、一次、二次の結合状態を制御する。その出力は別個に整流 後混合抵抗で結合され、図2.14に示すような位置、速度基準を与 える・カゴは、床前 250 mm からこの曲線に沿って減速し、完全に 停止するまで電気的に制御される。図2.15 の実測特性に示され るように負荷によって多少の差はあるが、±5 mm 以内に確実に 停止し、その後 ブレーキ が掛かるのでいつ停ったのかほとんどわ からないほどである。

またエレベータ用として始めて即応性の高い CdSe を受光素子とした光継電器を利用した。 ±5 mm の着床精度に見あう精度の高いもので、検出感度は ±0.5 mm であり前記の減速動作中の減速リアクタ から可変トランス への切換点の検出にも併用している。 一般にこの種の着床装置は図2.15 に示すような構成が多く、着床時に万がいち一方のトランスの出力がなくなった場合、相当な出力を示すのに対し、DMI 形ではこのような場合でも図2.14 の出力特性からわかるように基準入力は低下し、安全な着床が可能である。

また光学系も投光器は半電圧以下で点灯し、半永久的寿命のものを2個並列に使用するなど信頼度高く構成してある。

2.8 運転性能, その他

上に説明したように、理想的な スレップレス な速度基準と独特の

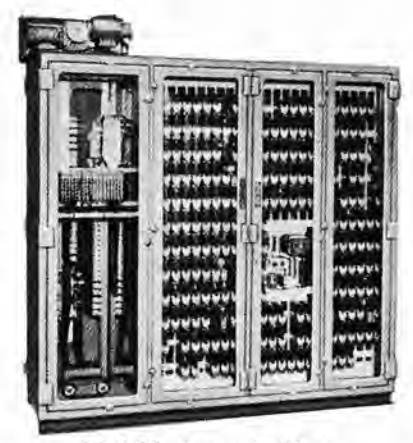


図 2.17 セレクタ キャビネット Fig. 2.17 Selector cabinet.

DMR 形速度調整器を採用し、さらに三菱特許の秤起動方式を併用した結果,負荷の変動、電源電圧温度などの変動にもかかわらず、起動から停止の瞬間までほとんど理想曲線に同期して(シンクロ)乗りごこちよく(ブライド)最短時間で運転し、いつ スタート し、いつ止まったかはっきりわからないほどの画期的高性能が得られた.

この制御方式は安定で性能上の余裕を十分持っているので、W 社では加速度を $1.4 \,\mathrm{m/sec^2}$ に調整し、 $1 \,\mathrm{m/sec^2}$ に調整し、 $1 \,\mathrm{m/sec^2}$ は、 以上再調整をしないで実用しているが、わが国の乗客の好みから やや速度感が大きすぎると思われるので、われわれは図2.2に示す加速度 $1.1 \,\mathrm{m/sec^2}$ $1 \,\mathrm{m/sec^2}$ 1

なお、動作ひん度の高い制御機器はほとんど リアクタ や半導体素子で静止化された結果、信頼度が高く保守が容易になると同時に小形となったので高速 エレベータ であるにもかかわらず、制御装置の据付面積は従来に比べ小さくなった。 図 2.17 は、オート、セレクトパタンオート 方式の セレクタ キャビネット である・

また カゴ 側取付器具類も同様に小形軽量化し進動系の慣性を減 少すると同時に据え付けの合理化を計った.

超高層建物の高速 エレベータ では、一般に従来のように、レール の 支持点を増して レール を幾何学的直線に極力近づけほとんど横ゆれなしに運転することは無理が多く実際的でないので、レール の 支持点を床の位置のみとし、防振形の ローラガイド を採用して横ゆれを乗りごこちの良い範囲に保つことができた。 シンクログライド 方式は前述のように速度 510 m min まで実績があるが、さしあたりの需要にそなえ、速度 300 m/min までを標準化した.

3. 超高層ビルにおけるエレベータ設備計画

超高層 ピルでは、縦の交通能率と貸面積比がピルの経済性を大きく左右するが、これはエレベータ 設備の良否で決定されるといっても過言でない。したがってそのピルの性格や予想されるピル内の交通状態を考えて交通計算を繰り返し、エレベータ、ベンクの数と配置、各 バンク の分担する サービス 階、各 バンク を構成する エレベータの容量・速度・台数・制御方式などを選定して、そのピルに必要な輸送能力と待時間を満足させ コスト が最小になるように決定する必要がある。

3.1 サービス階の分割

超高層 ビルでは一般に エレベータ の サービス 階を分割し、低層行と 高層行急行あるいは低層行・中層行急行および高層行急行などと することが望ましい。この サービス 階の分割は、本来 ビル の利用計 画と一体に総合的に計画されることが望ましく、配電その他の設 備もこれに合わせて分割することが必要になる。 すなわちわかり やすくいうと、二つまたは三つの建物を縦に積みあげたごとく構成し、各層間の交通量が比較的少なくなるように計画されることが望ましく、同一の会社が二層にまたがって利用するような計画は好ましくない。いずれにしてもこのような分割は超高層建築の基本的問題であり、エレベータの設備計画もこの分割利用計画を離れては考えられないので、エレベータの立場からこの問題について述べる。

- (1) 一つの パック が サービス する階数が増加するほど エレベータ が 1 周する時間は増大し、したがって 1 台あたりの輸送力は低下する. 図 3.1~3.5 は、ギャレスエレベータ の サービス 階数と朝の出勤時 における平均 1 周時間との関係を示している。サービス 階数が増大すると輸送力はどんどん低下し、高速度の エレベータ を採用しても輸送力はあまり改善されず、コストだけがどんどん高くなる。これは停止階が多いために平均走行距離が短く、実際に高速で走行する距離が短かくなるためである。
- (2) サービス 階数が増加すると、個々のエレベータが実際に停止する階数の パラッキ が増大するために、エレベータの実際の1周時間の変動も大きくなり、エレベータの運転間隔の乱れが増大し、長時間乗場で待たされる確率が増大する.
- (3) 各 パンクの サービス する階を高層・低層、あるいは高層・中層・低層などにわけると、停止回数が減少するために図3.1~

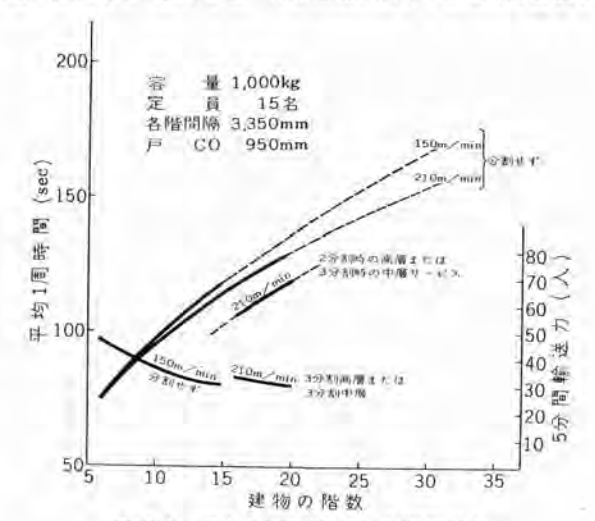


図 3.1 平均1周時間と 5 分間輸送力 Fig. 3.1 Average round trip time passenger carrying capacity.

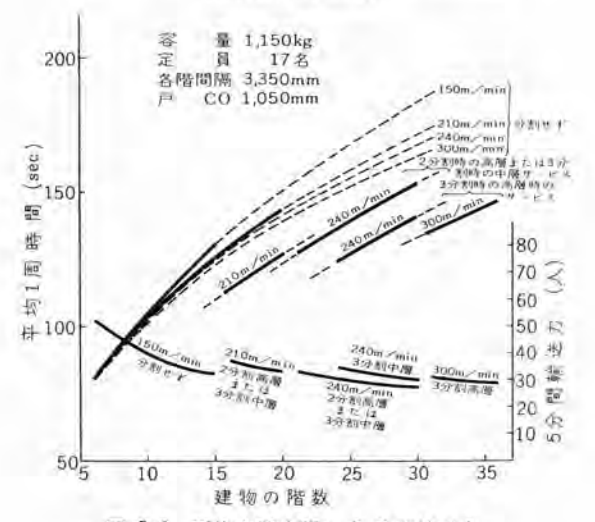


図 3.2 平均1周時間と 5 分間輸送力 Fig. 3.2 Average round trip time passenger carrying capacity.

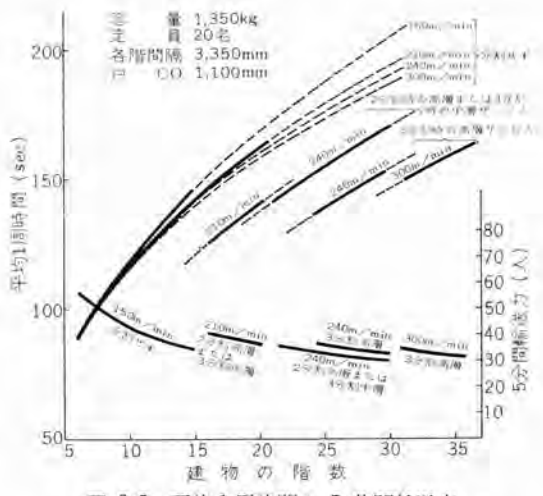


図 3.3 平均1周時間と 5 分間輸送力 Fig. 3.3 Average round trip time passenger carrying capacity.

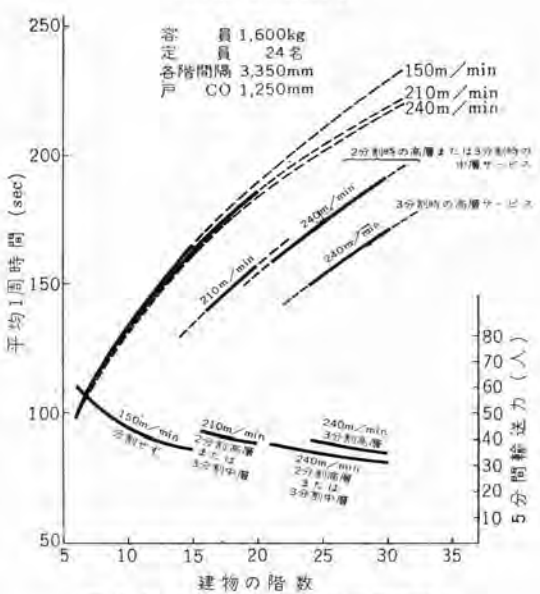


図 3.4 平均1周時間と 5 分間輸送力 Fig. 3.4 Average round trip time passenger carrying capacity.

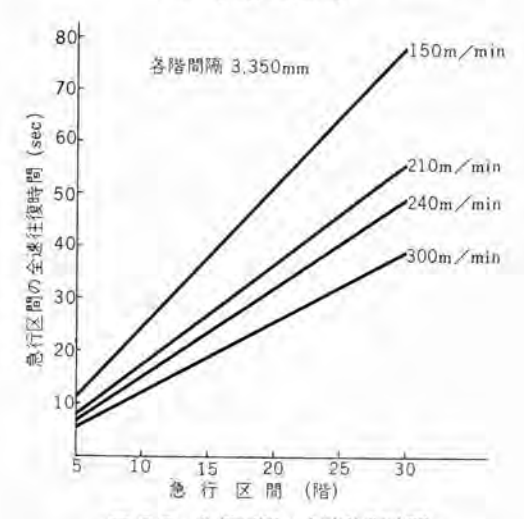


図 3.5 急行区間の全速往復時間 Fig. 3.5 Round trip time in an express zone.

3.5 に示すように1 周時間が短くなり、輸送力が著しく向上する。 また、急行区間が生ずるために高速 エレベータ の全速が有効に利用 できるようになる。さらに昇降行程の短縮、乗場数の減少による 設備費の低下と低層行・中層行の機械室より上が有効に利用でき

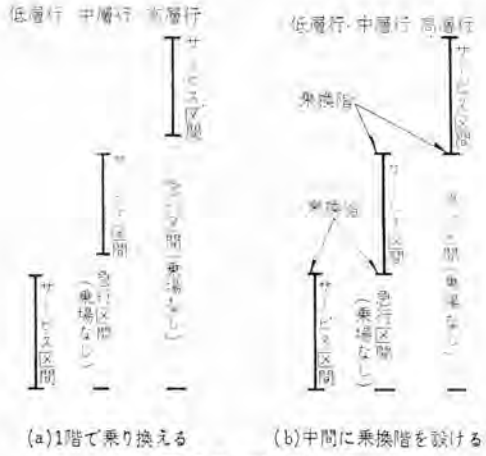


図 3.6 乗換階 Fig. 3.6 Transfer floor.

る利益は相当大きな値になる.

- (4) 各 パンク の サービス する階をあまり細分すると、各 パンクを構成する エレベータ の台数が減少するので、エレベータ の運転間隔が増大し、待時間が大きくなるから、平均運転間隔が 30 秒を超えぬように計画する。なお各 パンク とも最小 3 台は必要である。分割により待時間はかなり延びるが、エレベータ に乗ってから目的階までの走行時間は大幅に短縮され、合計時間、すなわち エレベータホール へ来てから目的階に到着するまでの時間はかえって短縮することがある。とくに高層行の場合はそのようになることが多い。
- (5) ビル の利用計画に従って分割後の パンク 相互間の交通があまり多くないかぎり、分割後の各 サービス 階数は 8~15 階が適当で、実際に各 パンク の エレベータ 台数を 3~8 台として後述するような要領で必要な輸送能力、最小運転間隔および待時間を満足するように交通計算を繰り返し、配置上も都合よく、もっともコスト の安くなる分割計画を捜し出す必要がある。
- (6) 分割した場合に低層中層高層相互間の交通を考慮して、図 3.6 (b) に示すように各層の サービス階を1階ずつ重ね、乗換階とすることが考えられるがこれは必ずしも得策ではない。 現在の高速 エレでは、1 階で乗り換えても乗客の時間的損失は一般に 5 秒以下であるし、また、乗換階を設けると1階からこの階へ行く乗客の 2/3 は高層 パック を利用し、逆にこの階から1階へ行く乗客の 2/3 は低層 パック を利用する傾向が経験的に認められているので、交通計算上はけっきょく乗換階の人口が実際より 1/3 増加したものとして扱う必要があり、さらに各 パックの サービス 階数が1階増加することになるので、平均停止数も増加し輸送力は低下する。また、運転間隔も長くなる。すなわち、ごく一部の人にサービス するために他の大部分の人に迷惑をかけることになり、コストも上昇するので特別の場合を除き避けたほうがよい。もし乗換をする乗客が多いようであれば、分割の仕方そのものが不適当でないかどうかを検討する必要がある。

3.2 地下サービス屋上サービス

常時地下まで運転すると輸送能率が低下し、運転間隔の乱れがはなはだしく増大する傾向があるので、地下まで行けるように設備しておくことはよいとしても、常時 サービス するのは、(ピーク時には サービス しない)下層の1 パンク のみとすることが望ましい。(中層高層 パンク は高速 エレ となり、ピット 寸法が大きくなる。)地下道からの交通量が多い場合ならびに地下食堂・地下 ギャレッジ などに サービス するには、エスカレータ または ドラベータ を設置するほうがよい。地下と 1 階の両方を基準階とするような方式は無理があ

り、サービスをよくしようとすると エレベータ の台数を相当増加する 必要が生じ、エスカレータ を設置するほうが合理的である。

なお、同一パック内にサービス階数の異なる エレベータ があると、 乗客が特定のエレベータに乗る必要が生ずるので制御設備が複雑となり、むだ運転が増加して輸送能率が低下するから、地下屋上サービス階は、同一パック内では同一とするよう計画されることが望ましい。

3.3 速度と群管理方式

カゴ 容量 1,000~1,600 kg, 速度 150~300 m/min の シンクログライド 歯車なし エレベータ の輸送能力を検討した結果, 前述のごとく 急行運転を採用するものとして, 標準速度として表3.1 のごとく 推奨する.

なお、超高層ビルの効率を最高に保持するために、当然 オート セレクトパタンオート 方式のような自動群管理全自動 エレベータ とし、パン ク の交通需要の性格に応じ表3.2に示す基準により 5, 7, 8 パタ ン 方式のいずれかを選択することが望ましい。すなわち、個々の エレベータ がいかに高性能であっても、グループ としてむだや非能率 であってはなんにもならないからである。

自動群管理全自動 エレベータ の乗り易さと輸送能率は、戸の制御の良否で大きく左右されるから是非トラフィックセンチネル の採用が望ましい。

トラフィックセンチネル は乗客が乗り込むのに十分な時間を与え乗客の出入りが継続している間は戸が無用にしまりかけることはなく安心して出入りすることができ、しかも乗客の出入が終わり次第すみやかに戸を閉じるから、ちょうど親切で機敏な運転手と同様に戸を制御し、エレベータの輸送能力とサービスを大いに向上する。

なお、エレクトロニックドアデイテクタは戸に乗客が近づかなければ乗客の出入りを検知できないので乗客の出入中でもしまり始め、戸が無用に開閉を繰り返し乗客に不安をいだかせる。また、最初の乗客が出入りを始めるまでの待ち時間を十分とると輸送能力が低下するため、いきおい待ち時間を比較的短く調整しがちであるから乗客は急いで出入する必要があり、乗客は結局戸を手で押えながら出入りするようになる。すなわち、エレクトロニックドアデイテクタは従来の「アセーフテイエッジの代わりであって、トラフィックセンチネルのような合理的機能を持たない点にご注意を願いたい。

表 3.1 推奨速度表

サービスする最高階	推奨速度 (m/min)
1 ~ 15	150
16 ~ 20	210
21 ~ 30	240
31 U.E.	300

表 3.2 トラフィックパタン 適用表

	8 バタシ方式	7 バタン方式	5 バタン方式
適用基準	朝の出動時のピーク状態がと くに敵しい場合、すなわち所 要5分開輸送力が人口の16% をこえる場合、ただし4台以 上のパンクに限る。	同時出退動のため にピーク状態を呈 するパンタ 所要5分間輸送力 人口の12~16%の 場合	同時出退動のない 資事務所ホテルな どにサービスする バンタ 所要5分間輸送力 人口の12%以下
2. 上! 3. バラ 平 4. 上! 5. 上! 6. 下! 7. 開始	別上りピータ (Intense Up Peak) リピータ (Up Peak) リンス (Balanced) 現職 (Heavy Up) 以降り誤雑 (Heavy Up Down) り混雑 (Heavy Down) は時 (Off Hours) リピータ (Down Peak)	1. 上りピーク 2. パランス 3. 上り混雑 4. 上り降り混雑 5. 下り混雑 6. 関放時 7. 下りピーク	1. バランス 2. 上り混雑 3. 上り下り混雑 4. 下り混雑 5. 閑散時

3.4 容量

簡単に考えると、カゴ 容量の増加が輸送能力を向上するもっと も経済的で効果的な方法と考えられるが、実際にはそう単純には 判断できない。

試みに 20 階の建物の 11 階から 20 階まで サービス する急行 エレベータ を考え、各種容量と 5 分間輸送力を比べてみると、 図 3. 1~3.4 から

容量 1,150 kg 1,350 kg 1,600 kg 定員比 17 人: 20 人: 24 人

=1:1.17:1.41

5 分間輸送力比 33 人: 36 人: 38 人

=1:1.09:1.15

すなわち、大容量のカゴになるほど平均停止数ならびに乗降時間が増大するために1周時間が増大し、輸送力の増加率は定員増加率の半分以下となる。他方、あまり小形の高速エレベータは容量のわりにコストが高く、かつ据付面積も小さくならない。したがって高層事務所 ビル向きとしては、容量1,000 kg、1,150 kg、1,350 kg を標準として推奨する。1,350 kg をこえるエレベータは、一般的にいって不経済であるが、これはサービス階数が大きい場合に起きる現象で、屋上の展望台とか、特定の少数階間を急行運転する場合には、1,600 kg のものも輸送能率が向上し存在意義が生れてくる。

3.5 バンク内台数

1 パックの台数が少ないほど、運転間隔が長くなり、平均待時間が増大しサービスが低下するので、パックは最小3台、できるだけ4台以上で構成する。パック内台数が多いほど 運転間隔が短くなり、平均待時間が短縮し望ましいが、これにも限度がある。

1 台 だっつの台数は8台が限度で、これ以上になると乗客が能率 的に乗り込むことができなくなる。さらに、8 台以内でも運転間 隔が小さくなりすぎると乗客は能率的に乗り込むことができずェ レベータのむだ運転やむだ停止がふえ輸送能率が低下する。許容最 小運転間隔は平常時で12 秒であり朝のピーク時には、乗客の乗 込み時間(定員の80%)+戸閉時間であって表3.3 の時間となる。

表 3.3 最小運転間隔

カゴ容量 (kg)	許容最小運転問閥 (sec)
1,000	14
1,150	16
1,350	19
1,600	22

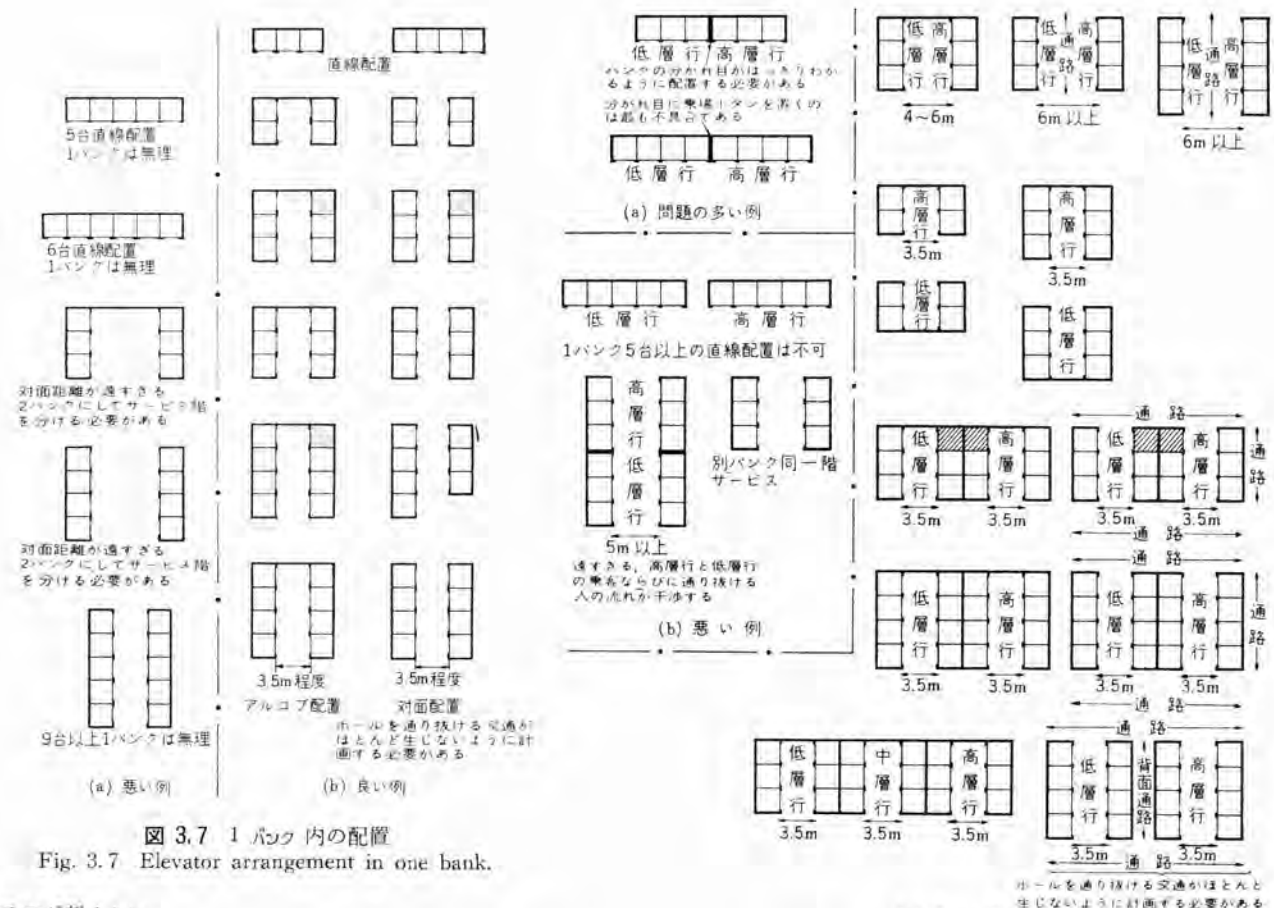
朝のピーク時のみパック内をさらに2分割するようにすれば、乗客は同時に2台に乗り込むことができるようになる。

これが分割上り ピーク・パタン である。分割上り ピーク を採用すれば、最小運転間隔の問題が解決すると同時に輸送能力が約 15% 向上する.

3.6 エレベータの配置

エレベータの配置は、おろそかにできない重要な問題で、従来わが国では、外観とか間取りにおされて不合理な配置となり失敗した例が案外多い、超高層 ビルでは配置の不具合ははなはだしく建物の利用能率を低下し、不経済となるからとくに注意をしていただきたい。

(1) 横長い建物の端に外部からの主要交通機関の通路があるような場合は別として、エレベータ 群は ビル のすべての玄関から、最も利用しやすい位置、すなわち一般に建物の中央に集中して配



置するのが望ましい。

- (2) 1 パンク の配置は乗客が待っている位置から最も違いエレベータまでの距離から直線配置では4台までに制限される。5台以上を直線配置すると、ホールランタン が点灯し、ゴンクが鳴って カゴ の到着が予報されてから カゴ が到着するまでに、その出入口まで近づくことが困難で能率的な乗り込みができないため。カゴ の停止時間を延長する必要を生じ、さらに、乗客が カゴをえり好みするようになるので、むた停止を生じ、輸送能力がはなはだしく低下するから、せひ避けるべきである。
- (3) 上記の理由から、1 パンク4 台以上では、アルコラ配置、または、対面配置が推奨され、8 台まで可能である。アルコラ配置はエレベータホール が通路とならないから通路を通る人と、エレベータ の待客が干渉しあわない点がすぐれている。1 パンクを対面配置する場合には必ず別に便利な主通路を設けて、エレベータホール を通り抜ける交通がほとんど生じないようにしなければならない。
- 1 バンク の アルコブ 配置, または対面配置の向い合わせの距離は, 乗場の待客の歩行距離と ピーク 時に エレベータホール へ集中する人口 とから決められる.

歩行距離からいえば、近いほうが良く最大 5 m が限界である。この距離が大きすぎると、乗りそこないの チャンス が増し、前に述べた理由によって輸送能力と サービス がほなはだしく低下するとともに、エレベータホールにむだな スペース が生ずる・他方向い合わせの距離の最小値は ピーク 時に エレベータホールに集中する人口から決る。この値は経験的に、特殊の場合を除いて、1,150 kg 1,350 kgの標準の カゴで、約3.1 m、1,600 kg では約3.6 m である。

1 階の広い玄関 ホール は実用上も、意匠上も必要であるから、 エレベータホール に隣接して別個に設けなければならない。 集会場の ある階も エレベータホール に隣接して広い ホール を配置し、 エレベータ ホール の混雑を避ける必要がある。

図 3.8 複数の バンク の相互配置 Fig. 3.8 Arrangement of plural banks.

(c)良い例

(両側通路とるいは背面通路)

- (4) 従来アルコラ配置、または対面配置で向い合わせの距離を 5 m 以上に取り 2 パンク として同一階に サービス する配置をよく見かけるが、この場合は乗客がどちらの パンク に乗るのか迷い、乗りにくい上に両方の ボタン を押すことになるのでむだ停止が増えてはなはだ不具合である。このような配置では各 パンク の サービス 階をはっきり分割したほうが良い。
- (5) 直線配置,あるいは対面配置の パック を長手方向に並べることは好ましくないが、やむをえぬ場合には両 パックの サービス 階をはっきり分割し、パックの切れ目が乗客にはっきりわかるように配置するとともに両 パック を利用する乗客の流れが下渉しあわないように配慮することがはなはだ重要である。
- 図3.9は、パンアメリカンビル の 2 階平面図で(この ビルは2 階が下の基準階となっている。)5 台あるいは 6 台の対面配置の パンクが長手方向に並んでいるため、両パンクを利用する人が他のパンクの乗場を横切るのを避けるために、各昇降路の背面に通路を設けており苦心の跡がうかがわれるが、これではたして ピーク 時に乗場の混雑が避けられるか、 やや疑問があり、パンク 間を区切ってアルコラ 状にしたほうが良いかもしれない。いずれにしても 2 階の昇降路と乗場の面積の合計が標準階(八角形の部分)面積の 1/3 に達しており、この程度の超高層 ビル (59 階 216,000 m³) においては、エレベータ がいかに重要な存在かがわかるとともに、基準階の上下 2 階にわたり エスカレータ を活用している点が興味深い。

3.7 交通計算

交通計算を行ない最適の エレベータ 計画をするには、まず、その 建物について交通調査あるいは交通計画をしなければならない

(1) 調査すべき項目

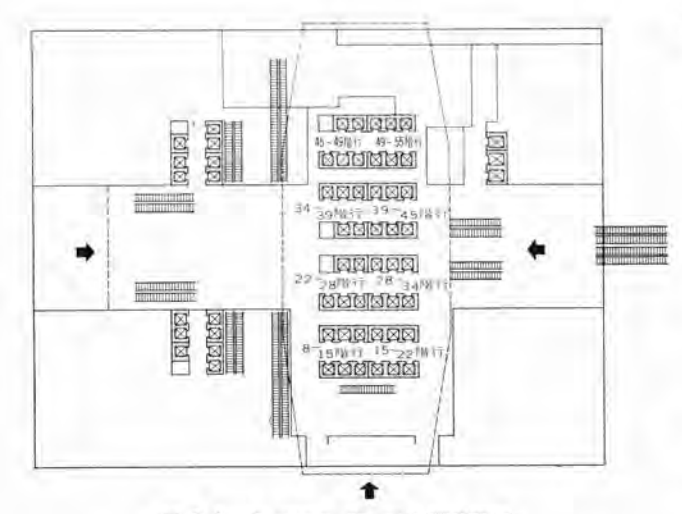


図 3.9 パンフメリカンピル の 2 階平面図 Fig. 3.9 Second floor plan of Pan American Building.

(a) 建物の階数, 階間の高さ

(b) 建物内の人口およびその分布状態 外来者の数 外部交通機関の状況 ピーク 時の集中の程度 基準階と各階との交通以外の階間交通の多少とその様相などを推定し、前に説明した要領でサービス階の分割を仮定し各パンクについて上りピーク・下りピーク・上り下り混雑・バランス時の交通量を推定する。

(2) 検討項目と検討方法

(a) 平均1周時間

1 台の エレベータ が 1 周運転するのに要する時間の平均で、乗客の出入時間と エレベータ の走行時間、戸の開閉時間などの集計で、この値は エレベータ の容量・速度・戸の形式・出入口幅・サービスする階数・階間距離・制御方式などによって異なるが、前記の条件が同じでも製作者によって大幅の差異があるから、交通計算には必ず実測によって確められた値を使用する必要がある。

1 周時間は相当複雑な要素から成り立っているために、その推定は普通やっかいであるが、図3.1~3.4 は三菱電機の新形高速度歯車なしエレベータ、シンワログライド方式の上りピーク時の平均1周時間を計算した曲線図表である。図中2分割、3分割の曲線は簡単なために建物のサービス階をちょうど等分または3等分したものとして計算してあり、たとえば3分割の中層サービス21階の値は12階から21階までサービスする急行パンクの1周時間を示し、図中実線部分が当社の推奨する適用範囲である。実際には等分しないことが多いので、たとえば10階から21階までの急行パンクの値は図3.1~3.4の分割せずの曲線上で階数21-10+2=13の1周時間を求め、次に図3.5で1階から10階までの急行区間の往復時間を求め加算すれば求められる。

なお、同一会社内での階間交通が多い場合とか昼食時に食堂へ行く交通量が多い場合には、いわゆる上り下り混雑の状況となり停止数が多くなり1周時間が上りピークより長くなる。この値は図3.1~3.4に示す値の120~140%で普通130%ぐらいと考えておけばよい。

(b) エレベータ の輸送能力

エレベータ の輸送能力は事務所 ビルでは普通朝の ピーク 時 5 分間 の輸送力で決定される。朝の ラッシュアワー に建物の人口の 何% を 5 分間に運べばよいかについては次の値を推奨する。

関散な パンク 12%, 中程度の パンク 14%, 混雑する パンク 16%, 専用事務所または同時出勤の貸事務所のみから構成される パンク 20%, 同上地下鉄または国電に近い場合 25%

同一の建物でもパックによって異なることに注意しなければならない。

各エレベータの5分間輸送力は

= 60×5× エレベータ の定員×0.8 平均 1 周時間 (秒)

で表わされ、図から直接に求めることもできる。

所要台数は

= 各 バック の所要 5 分間輸送力 各 エレベータ の 5 分間輸送力 で決定される.

各 パンク の台数が 8 をこえたならば、バンク の分割をやり直さなければならない。

(c) 平均運転間隔, 待時間

平均運転間隔は、前に述べた最小運転間隔より大でなければならない。平均運転間隔は許容最小間隔より長い範囲で、なるべく小さいことが望ましく。上りピーク時で30秒以内、分割上りピークで43秒以内、昼食時の上り下り混雑時で40秒以内でなければならない。

平均待時間は平均運転間隔の12 だが、実際に乗客が乗場ボタンを押してからカゴが来るまでの時間が、カゴの運転間隔の乱れにより、平均運転間隔の1.5 倍に達する確率は10%程度である。

実際の設備計画では以上の交通計算を数回繰り返し、これまで に説明してきた見地からも最適なものを捜し出すのである。

3.8 エレベータ機械室

昇降路部分を除いた残りの機械室の最小必要面積は セレクトパタン 方式では昇降路面積の2倍 それ以外の方式では昇降路面積の1.7倍である。

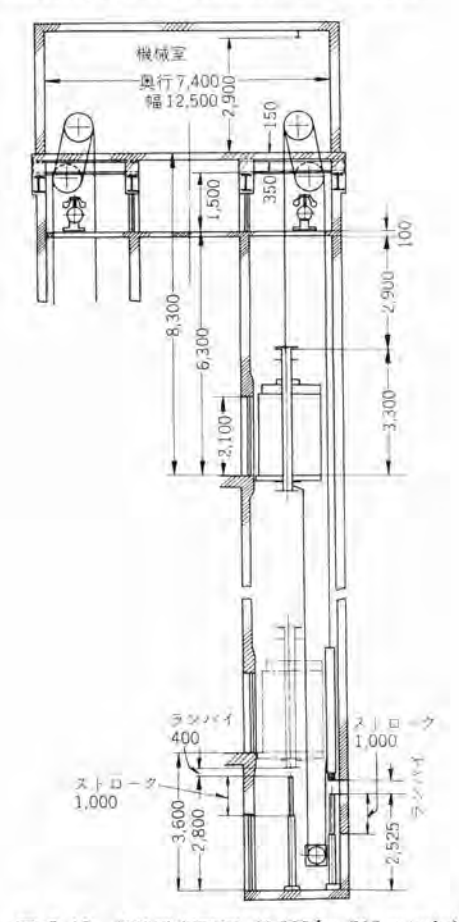


図 3.10 昇降路断面図 (1,000 kg 210 m/min) Fig, 3.10 Hatch vertical section.

三菱電機技報 · Vol. 37 · No. 11 · 1963

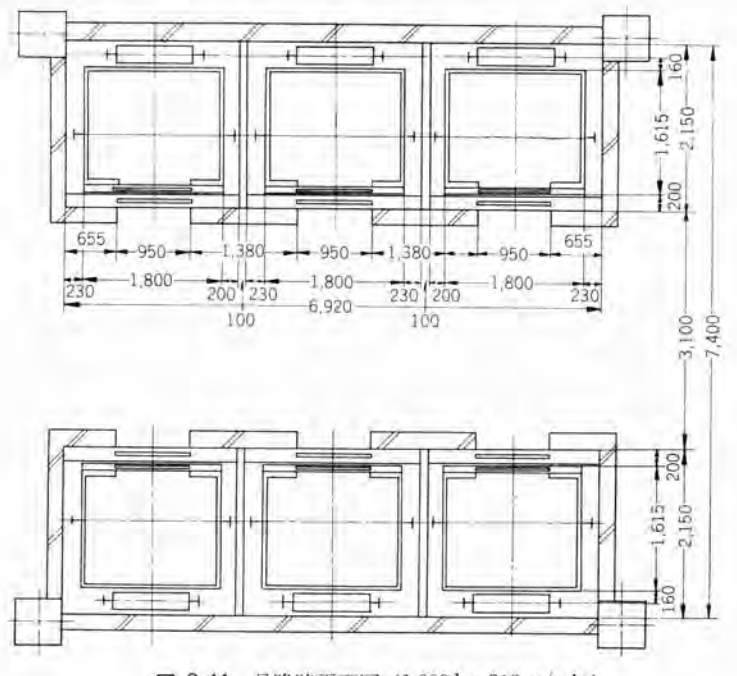
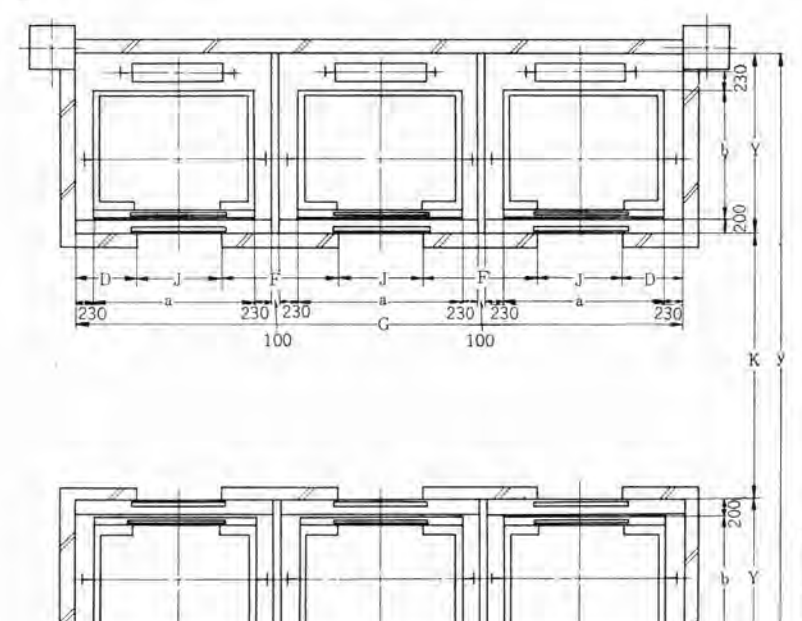


図 3.11 昇降路平面図 (1,000 kg 210 m/min) Fig. 3.11 Hatch plan.



植成量 脱号	M (mm)	x (mm)	y (mm)
1,150 kg	350	9,000	7,820
1,350 kg	400	9,400	8,220

図 3.12 昇降路断面図 (1,150 kg 300 m/minETS) Fig. 3.12 Hatch vertical section.

積載量 (kg)	â	b	D	F	G	J	K	у	Y
1,150	2,000	1,615	705	1,510	7,580	1,050	3,300	7,820	2,260
1,350	2,100	1,715	730	1,560	7,880	1,100	3,500	8,220	2,360

▲図 3.13 昇降路平面図 (1,150 kg 300 m/min) Fig. 3.13 Hatch plan.

調速機を設ける床は必ず設けなければならない. 主機械室が広 く取れない場合には,第2機械室を設け MG を収める. この場 合 MG の騒音が通風路を経て昇降路に伝わらないよう注意を要 する.

主機械室の ハリ 下有効高さは、エレベータ の速度と昇降行程により表3.4 の値が必要である.

機械室は機械の発熱量に見あう通風を要するが、通風を経て騒音を屋内に伝えないように配慮しなければならない。

低層,中層 パック の機械室は建物の内部になるから,とくに防 音に注意して設計施行する必要がある.

3.9 昇降路関係

高速 エレペータは、速度が高いことと昇降行程が大きいことに起因して、昇降路断面を 150 m/min 級よりやや大きく取らなけれ

表 3.4 ハリ 下最小機械室高さ (mm)

外降行程 (m) 速度 (m/min)	100	120	140
150 ~ 240	高さ 2,600	高さ 2,800	高き 3,000
300	w 2,800	w 3,000	

ばならない. ν - ν は高層建築の ヒズミ を逃がすために、特殊な ス ライディング支持とする必要があり、300 m/min 以上では ν - ν 剛性を上げるために、28 kg ν - ν の採用が望ましい。

単独昇降路では、カゴの走行時大きな風音を発生し、乗場の戸のスキ間が笛のように鳴ることがあるので極力避けなければならない。また、単独昇降路では急行区間に4階おきぐらいに非常出入口を設けたほうがよい。

高速 エレ では ピット が深くなるので、ピット に メンテナンス 用出入口を設けることが望ましい。

3.10 乗場の表示装置

(1) 4 台以上の オート セレクトパタッ オート 方式では、乗客が位置知らせを見比べて、どの カゴが早く来るかを判断することは困難であり、とくに アルコブまたは対面配置の場合は予想と異なったカゴ が到着することが案外多い。このような場合位置知らせと方向灯では カゴ の到着予報が目だたぬため(ゴッグ では大体の方向しかわからぬ)ホールランタン 方式で ゴッグ を聞き、ホールランタン を見た場合に比べかえって乗客の応答が遅く、カゴ の戸が開き始めてから カゴ のほうへ歩み始めることになる。そのため カゴ の停止時間を延長する必要を生じ、さらに乗客が カゴをえり好みするようになり、むだ停止を生じ輸送能力がはなはだしく低下する。

したがって1階以外は ホールランタン のみとし,1階には総合位置 知らせを設け、エレベータホール の入口に サービス 階表示をするのが最も合理的である。

- (2) 3 台の場合には、一般に待時間が長くなりがちで乗客の 待ち遠しさが増大するし、位置知らせによる予想も当りやすいの で、1 階以外にも総合位置知らせを設けることが望ましい。
- (3) ホールランタンはできるだけ単純で乗場のどの位置から見て も十分目だちやすいものとし、満員、休止、自動、などの無用の 表示は避けるようにしないと待客の注意が散慢となり乗りにくい

エレベータ となるからとくにご注意願いたい。この見地から位置知らせを設ける場合にも、エレベータの出入口に各個に設けることは好ましくない。

4. む す び

以上述べたように超高層 ビルでは、エレベータ 設備がはなはだ重要でエレベータ は単に高速であるだけでなく、高性能でなければならないが、今回開発した三菱 シンクログライド 高速 エレベータは、世界最高水準の性能を有し自信を持ってお勧めできる。さらに超高層ビルにおけるエレベータの設備計画について解説したが、エレベータの設備計画には数多くのファクタが複雑にからみ合っているから、ストレート に最良の解答が得られるものではなく、何度も計画を練り直す必要がある。

参考文献

- (1) 木村, 宮城ほか: 高性能 エレベータ について, 「三菱電機」 28,5 (昭 29/2)
- (2) 宮 城: エレベータ 新形制御装置, 「三菱電機」 29, 562 (昭 30/10)
- (3) K. A. Oplinger ほか: A High-performance Elevator Control System Electrical Engineering 81-3, 187 (1962).
- (4) K A. Oplinger たか: High-speed Elevator Control Westinghouse Engineer 22-6, 144 (1962).

◆最近登録された実用新案◆

名 称	位 器 日	登録番号	专案者
フェースプレート係合装置	38- 6-26	719776	鷲津 勝・大橋正市
丸ノコ用安全装置	38- 6-26	719777	人江 厚
送風機装置	38-7-13	720540	破楽覚太郎・大旗康文
衝流発信装置付預算電力計	38- 7-16	584885	加藤義明・武田克己
電動式カム制御器	38 - 7-16	720653	初元維男
權電器回路	38- 7-16	720656	松尾 課
負荷時タップ切換装置	38- 7-16	720657	米沢輝雄
トピラの開放を遅延させる 装置	38- 7-16	720659	海井正保·津牙 M
遠隔制御装置	38- 7-16	720660	平野琢磨
エレベータの位置表示装置	38- 7-16	720663	山田春夫
電気連結器	38- 7-16	720664	山田三男・村田 実
充電用交流発電気の励盛制 御装置	38- 7-16	720667	平田 縠・荒川堅次郎
冷蔵庫の霜取り終了時期感 知装置	38- 6-14	719449	河合照男
ゴム製局風機関車	38- 6-14	719450	柘植 班
扇風機羽根車	38- 6-14	719451	新倉宗存
闘風機スタンド支柱	38- 6-14	719452	〈神谷昭美・白石和夫 市岡 洋・糸魚川佐富 田口幹雄
命蔵庫の自動温度調節器	38- 6-14	719453	広田 豊・芹沢市夫
扇風機のスタンドコードバ ネ	38- 6-14	719454	新倉宗寿
扇風機用ゴム翼車	38- 6-14	719455	今井 進
ゴム製扇風機翼車	38- 6-14	719456	今井 進
扇風機フレームスピンドル 固定装置	38- 6-14	719457	長瀬卯三郎・田口幹草
冷蔵庫のトピラ棚	38- 6-14	719458	本下忠明

名	Nr.	52. S	SE H	登録番号	参	*	1
快掛自動記録	装置	38	8-26	585316	野口英	男・土麻	英司
ミシンの送り	調節装置	38-	8-26	585317	石田武	Adv.	
先濯機用簡易	吸上ポンプ	38	8-26	722354	片山桑	-	
世動井戸ポン 補給装置	プの自動空気	38-	8-26	722355	外田作	4c	
電動井戸ポン 装置	プの凍結防止	38-	8-26	722356	佐女部	男	
内燃機関点大	装置	38-	8-26	722357	三木絲	Mil	
内燃機関点火	装置	38-	8-26	722358	三木所	Hi	
点火用配電器	の配電子	38-	8-26	722359	三木隆	雄・別岩	利明
経常器		38-	8-26	722360	岡田昌	治·获野	一夫
令藏庫用低温	温度計	38-	8-26	515338	木下忠	男・海野	W.
軸受給油裝置		38-	8-27	722445	介件	ALL .	
世気掃除機の	保護装置	38-	8-27	722446	奥田文		
コード保持器		38-	8-27	722447	加藤	悟・武井	久夫
電気計器用電	圧補償装置	38-	9-11	585447	洲洲信	唇 · 無川	塘巡
哥波数偏差的	視装置	38-	9-11	585448	中西武	=	
ミシンの布押	支圧制節装置	38-	9-11	723081	三排沢	政夫	
点火用配電器		38-	9-11	723312	黑岩利	明	
斯統器		38-	9-11	723313	荒川利	31.	
祖光表示装置	t	38-	9-11	723330	立石俊	夫	
極限スイッチ		38-	9-11	723337	天藤葱		
ラジオ受信機		38-	9-11	723339	藤木	-	
照光模擬母編 装置	のワク組取付	38-	9-11	723340	立石俊	夫	
押しボタン装	置	38-	9-11	723345	白村義	DE·精剂	199

エレベータを利用した駐車装置

瀬原田三郎*

Garages Equipped with Elevators

Nagoya Works

Saburo SEHARADA

The latest rapid increase of motor cars has come to pose serious problems about parking places. There are cases when the parking places are made in a part of buildings and when exclusive buildings are employed for the purposes. In the former, traction type elevators or hydraulic elevators are chiefly installed for the conveyance of vehicles, whereas there are scores of arrangements for the latter. Of them mechanical garages provided with elevators and operate as vertical garages are becoming popular with their high efficiency. Though the former arrangement is good enough for the parking of private cars, storing a good number of cars in a crowdy down town can be only solved by the mechanical garages. This article deals with elevators for motor cars together with the mechanical garages.

1. まえがき

最近わが国の自動車保有台数は急酸に増加している。数字で示せば、昭和 22 年度 20 万台、昭和 32 年度 180 万台、昭和 37 年初めには 430 万台という急増を示している。このため、とくに大都市においては交通難がいよいよ深刻な問題となってきた。しかし自動車の増加そのものは、経済の伸展、さらには国民生活の向上と表裏の関係にあり、これを否定することはできない。それではこの問題の解決について考えると、基本的に二つの要点に集約されると思う。第1は道路の急速な整備拡張であり、第2 は駐車場の大幅な整備拡充である。

道路の整備拡張については、公共事業として推進されるべき性質のものである。一方、駐車場については昭和37年駐車場法が改定され、都市ごとに路上駐車禁止区域が設定され、駐車場整備地区、商業地区内の特定建築物に対する駐車施設の設置義務が定められた。以上の情勢から新設のビルは駐車場を持つことが常識となり、とくに密集地区では駐車専用ビルによって駐車難を解決する必要に迫られている。

駐車場を新設するにあたっては、駐車場法、建築基準法その他の関連法規を満足させることはもちろん、運営能率、経済性についても慎重な検討を必要とする.

当社はこれまで駐車場用エレベータとして、全自動操作のものや、 油圧式など数多く製作して好成績をおさめている。本稿では最近 話題の立体駐車装置を含めて、エレベータを利用した駐車装置につ いて概略を述べる。

2. エレベータを利用した駐車装置の種類

広い意味でいう駐車装置を大別すれば、二つに分けることができる。一つはビルのある階だけガルージにする場合で、駐車装置としてはローラ式あるいは油圧式の自動車用エレベータが通常使用される。他は駐車専用のビル、または構造物をもって構築され、機械装置を利用して自動車を入出庫するもので、米英では MECHA-NICAL GARAGE. わが国では立体駐車装置と呼ばれるものである。後者については、内外を通じ数十種をかそえるほど多種多様なものが発表されている。これらを詳細に検討するとそれぞれ一長一短があり、次に述べる要素を十分考慮して計画する必要があ

3.

- (a) 収容台数およびその入出庫ひん度.
- (b) 敷地の形状および周囲の道路状況.
- (c) 駐車設備の性格 (一般公共用か, 特定の自動車用か)
- (d) 収容する自動車の仕様.
- (e) 建設費および維持費.

さきに述べた立体駐車装置の中で、エレベータを利用して高能率 を発揮できる形式をあげると次のとおりである。

- (1) エレベータ・フオーク式
- (2) クレーン・エレベータ式
- (3) クレーン・エレベータ・ドーリ式
- (4) クレーン・エレベータ・フオーク式

以上述べた分類に従って エレベータ を利用した駐車装置を各個に説明する.

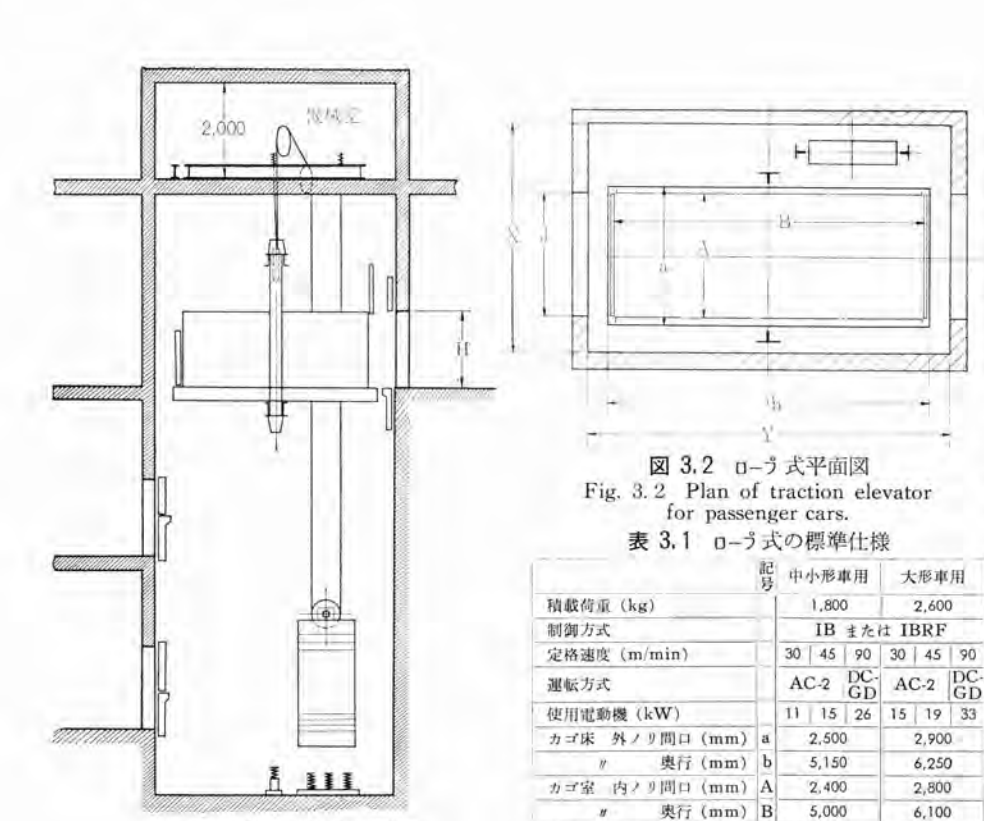
3. ロープ式乗用車用エレベータ

この形式は前述したように、ビルの一部の階を ガレージ に使用するときに用いられる。 とくにこの ロープ 式は油圧式に比べて高速であることが特長であるから、屋上あるいは地下 3 階などをガレージに利用するときに有利である。

構造について述べると、一般に自動車用 エレベータ はその特質上 カゴの奥行が深く、自動車出入時および走行中のカゴ床への偏荷重 が大きい。 したがって カゴの フレーム や ガイドレール は強力なものを 使用する.

戸閉装置は、カゴ室の幅と同じ戸開き幅を得るため上下方向に開く方式を標準としている。この方式の乗場の戸は中央で分割し、おのおのが パランス を保ちながら上下する 2 板の板戸から成り各乗場に設置したモータで開閉する。カゴの戸は1枚のメッシェ戸で上方開きである。最近自動車専用エレベータに限り法規が緩和され、カゴ床に車止めを設ければカゴの戸は必ずしも必要ではなくなったので、このよりな簡易形も製作している。

ロープ 式乗用車用 エレベータ の標準据付図を図 3.1 および 図 3.2 に示す。地下専用の場合、頂部機械室を避けるため巻上機と制御盤を下部に設けたいわゆる下部機械室形も考えられる。しかし、ソラセ 車の個数が多いためロープ 寿命の低下、運転効率の低下などからあまり推奨できない。このような場合は油圧式を利用するの



有効出入口幅 (mm)

" 奥行 (mm)

昇降路間口 (mm)

2,400

3,230

5.450

X

Y

2,800

3,670

6,550

ら、機械室は任意の位置に設置できる。 またパワーユニットは油タンクの上にポップ、 モータ、バルブ類を配置し、コンパクトにまとめてあり、床面積が小さくてすむ。

油圧式でも カゴワク, カゴ 室, 戸閉装置 および制御方式については ロープ 式と同 一構造を標準としているが, 簡易形の場合は カゴの戸はもちろん カゴ室も省略して左右に手すりを設けただけの構造とすることができる. これは昇降路頂部になんら機械装置を持たないし, 上 ハリ(梁)でさえ本質的なものでなくなった油圧式においてはじめて可能となった.

最大昇降行程は、最新の ブランジャ 加工設備により 12 m まで可能となった。したがって 4 個所停止、すなわち地下 3 階までサービスできる。油圧式では昇降速度を上げると それに 比例して パワーユニットや電動機が大容量となるので、10 m/min および 15 m/min を標準としている 油圧式の標準仕様を表 4.1 に示す。

ローブ 式と油圧式で連続入(出)庫の場

が良い.

制御方式は押し ボタン による単式自動方式 (II F),あるいは単式自動子約方式 (IBRF)を標準としている。高級な制御方式としては、昭和 37 年東洋工業東京支店に納入した光電装置使用の全自動方式がある。このエレベータ は屋上階および地下 2 階の ガレージに自動車を運搬するもので、多数の光電装置が有機的に動作し、入出庫時ともまったく押し ボタン 操作を必要としない最新の方式である。

図 3.1 ローブ 式立面図

Fig. 3.1 Traction elevator for

passenger cars.

ロープ式乗用車 エレベータ の定格速度としては、地下用ならば 30 m/min. 屋上用なら 45 または 90 m/min を推奨する。地下用のときは、自動車の出し入れ時間に比べ昇降時間が短いから、エレベータ 速度を上げても効果が少ない。一方屋上用のときは昇降時間が能率に大きく影響するので、とくに入出庫ひん度の高いときは 90 m/min が有効である。入出庫所要時間の比較については表 4.2 を参照されたい。

ロープ式 エレベータ の標準仕様を表 3.1 に示す.

4. 油圧式乗用車用エレベータ

油圧式の最大の特長は昇降路上部に機械室を置く必要がないこと、およびカゴの頂部すきまが少なくてすむことである。したがって地下がルージ専用として最も適当である。代表的な例を図4.1 に示す。

構造については図 4.2 に示すように油圧 プランジャ によって カゴ を下から押し上げる方式で、自動車出入時の偏心荷重は レール が 保持し、プランジャ には単純な圧縮力だけがかかるようにしてある。 パワーユニット で発生した圧油を シリンダ内に送り込むと カゴは上昇し、シリンダ 内の油を適当に絞りながら タンクに戻せば、カゴ と積載荷 重の重量によって降下する。 起動・停止時は特殊な流量制御装置 (特許申請中) によって加減速が コントロール されるのできわめて円 滑である。

パワーユニットとシリンダの間はパイプ1本で連絡するだけであるか



図 4.1 乗用車用 エレベータ Fig. 4.1 Elevator for passenger cars.

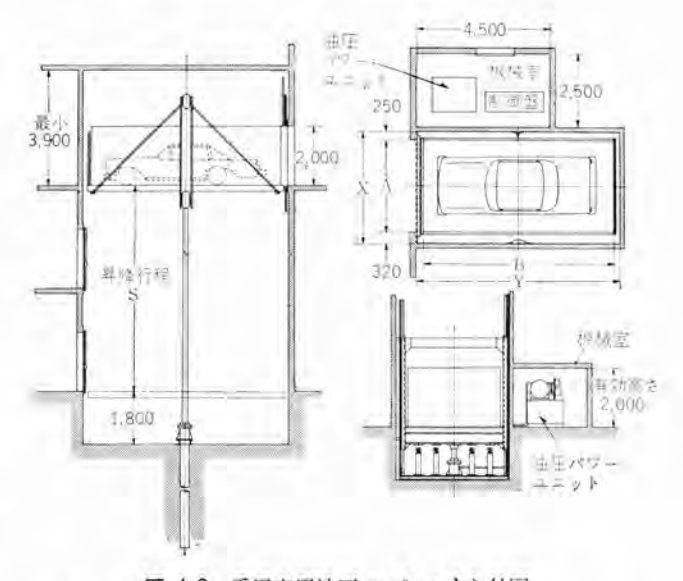


図 4.2 乗用車用油圧 エレベータ すえ付図 Fig. 4.2 Layout of hydraulic elevator for passenger cars.

表 4.1 油圧式の標準仕様

	配 号	中小师	(車用	大形	車用
積載荷重 (kg)		1,0	800	2,	600
運転万式			可変	速度	
制御方式			IB また	I IBRF	
速 度 (m/min)		10	1.5	10	15
使用電動機 (kW)		15(15)	22(19)	19(15)	30(26)
カゴ床 内ノリ削口 (mm)	a	2,	500	2,	900
9 奥行 (mm)	b	5,	1.50	6,	250
カゴ窓 内ノリ問口 (mm)	A	2,	400	2,	800
" 獎行 (mm)	В	5,	000	6	100
有効出入口幅 (mm)	J	2,	400	2.	800
昇釋路 間口 (mm)	X	3,	230	3,	670
" 奥行 (mm)	Y	5,	450	6,	550
最大昇降行程 (m)	S			12	

注 () 内はカゴ室、カゴの戸なしの場合を示す。

表 4.2 乗用車用 エレベータ の輸送能力

	VIV 100 116		业 統	人们	1) Mc		13	A H	the 3	足 互	
1	料降路	itti II	A.	12	- 73	7	油田	7:	(1)	ープョ	7
TALLET	行程 (m)	(m/r			レ速度 n min		(m/n			レ速度 nmi/n)
1的階	(101)	10	15	30	45	90	10	15	30	45	90
D.	2.0	93 sec	79	69	63	1	69 sec	62	57	54	1
\mathbf{B}_{1}	3.8	(39台)	(46)	(52)	(57)		(52台)	(58)	(63)	(67)	
B_2	7.5	139	109	83	73		92	77	64	59	
D2	7.5	26	(33)	(43)	(50)		(39)	(47)	(56)	(61)	
B_3	11.0		137	97	83			91	77	64	
17.2	11.0		(26)	(37)	(43)			(40)	(51)	(56)	
ici) mi	30				133	91				89	68
星上階	-50				(27)	(40)				(40)	(53

注 上段の数字は1台を入(出) 庫させるに要する時間(秒)を示す。 下段の()内の数字は1時間に輸送できる台数を示す。

合、および交互入出庫の場合の1台の所要時間および1時間あたりの輸送台数を表 4.2 に示す。屋上階は地上 30 m とした。

5. エレベータ・フォーク式

この形式の据付図を図 5.1 および図 5.2 に示す。図に示すよ うに駐車専用のビルを設け、中央のエレベータ昇降路をはさんで各 階左右の固定フォークの上に自動車を格納するもので、収容台数は 20~26 台である. エレベータの床には移動 フォークが設置してあり、 各階の固定 フォーク との間で自動車を移し換える動作をする. 動 作を詳細に説明すると、1 階の入庫側 プラットフォーム の所定位置に 自動車を乗り入れた後、運転手は プラットフォーム の外に出る. その間、 多数の光電装置が検出しており、もし自動車の サイズ が能力より 過大であったり、停止位置が許容限界を オーバ しているときは、 警報と標示で指示する。運転手が外に出ると、管理者はブラットフォ -ムにだれもいないことを確認して入口の電動 トビラ を押し ボタン で降ろす.このとき同時に昇降路ドアが開いて準備態勢にはいる. 次いで管理者は操作盤上のすいている車庫の押し ポタン を押すと、 それ以降は自動的にエレベータが指定の車庫に格納する、すなわち、 他階にエレベータが停止しておれば 1階に降下し、停止後エレベータ の移動 フォーク が入庫側 ララットフォーム の固定 フォーク の下にはり出 し、エレベータ全体が微小上昇することによって自動車をすくい上 げる. 次いで移動 フォークが エレベータ に戻り、エレベータ は指定階に 上昇する。ドアについては移動フォークが完全にエレベータに戻ると 同時に、昇降路 Fr は締まり始め入口 Fr は開き始める。すなわ ち入庫する次の自動車がはいりうる態勢になるわけである。 指定 階まで上昇した エレベータ は移動 フォーク を車庫側 フォーク の上側に はり出し、エレベータの微小降下によって自動車を固定フォークに乗 せ換える.以上の一連の動作を押しポタン一つで自動的に遂行する.

出庫の場合も、出庫しようとする車庫番号の押し ポタン を押すだけで、入庫と逆の要領で1階の出庫側 プラットフォーム まで自動車

が運ばれてくる。また エレベータ が入庫動作中でも一つの出庫 ボタンだけは登録できるようにしてあり、入庫完了後連続して出庫動作に入り、能率向上をはかっている。

この形式は、図 5.2 に示すように入庫側と出庫側おのおのが別個の プラットフォーム を持っているので、メリーゴーランド 式のごとく入出庫共通入口の形式に比べ、入出庫ひん度の高い車庫でも前面道路の混乱がなく運転能率が高い、東京都ではこのような駐車装置の前面には、道路との間に6m四方の空地を設けるよう規定している。そのときは図 5.2 に示すように出庫側に ターンテーブルを併用すると、出庫した車が路上に出る際、入庫する車に混乱を与えないで円滑に出ることができる。

この方式は全自動立体駐車場のうちで最小規模の一つに属し、 建設費の点では収容台数が数十台までの駐車場を計画するときは、 これを 2~3 台併設するのが有利である。

当社製の構造上の特長を述べると、従来各階の固定フォークが建物から完全片持ち パリとして保持されているものが見られるが、当社の場合移動 フォーク 保持機構の幅が短いので、図 5.1 に示す中間 ピーム を建物の前後壁の間に渡すことが可能となった。 した

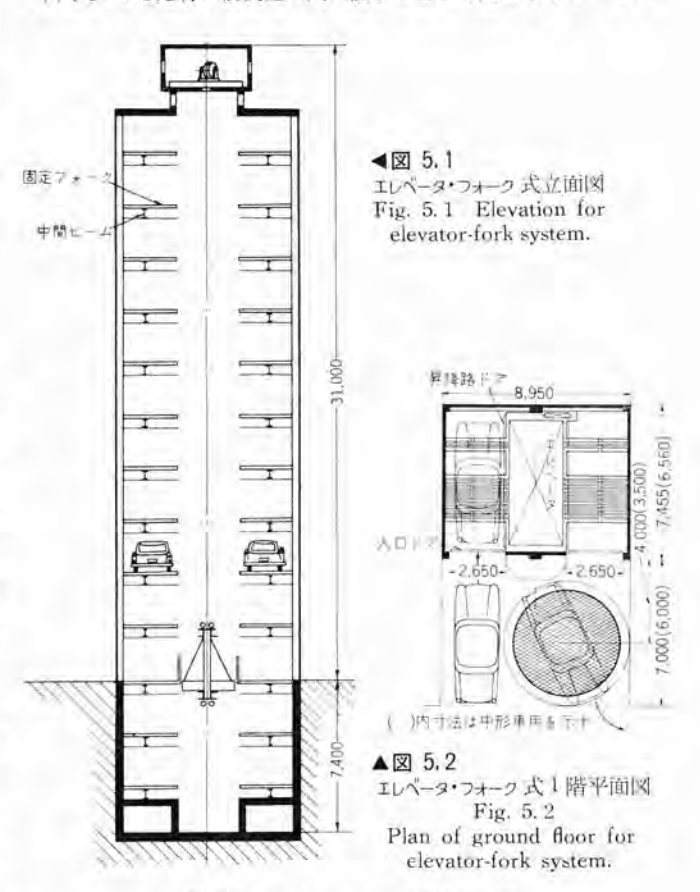


表 5.1 エレベータ・フォーク 式標準仕様 (図 5.1 に示す規模の場合)

用途	大 形 車 用
建屋敷地面積 (m²)	66.7
建物階床	13 階尿 (B1, B2, 1-11)
駐車台数	24
最大自動車重量 (kg)	2,200
最大自動車サイズ	幅 2,100 mm×長き 5,900 mm
制御方式	全自動押しボタン式
平均人(出) 庫時間 (sec)	80
從業員数	1 名
エレベータ運転方式	交流 2 段速度
エレベータ定格速度 (m/min)	45
エレベータ用電動機 (kW)	19
フォータ移動速度 (m/mim)	24
フォーク用電動機 (kW)	2.2

がって建築構造上,壁面は圧縮力としてフォータ荷重を支持することができる特長がある。 建物としては鉄筋 コンリート 造りあるいは鉄骨構造 スレート 張り、いずれでも採用できる.

また当社の場合,とくに昇降路と1階乗降 プラットフォーム の間に 昇降路 ドアを設け、これを入口 トピラ と逆動作させることによっ て出庫動作中も自由に安全に入庫を続けること、ならびに入庫動 作中にも自由に安全に出庫動作を続けられるように配慮されてい るから、ガレージになれない自動車運転者でも能率的に安全に入出 庫できるのが特長である。

当社の大形車用 クレーンエレベータ 方式 ガレージ の標準仕様を 表 5.1 に示す。 エレベータ の速度は、自動車の収容台数が少ないので、それほど高速を必要としない。 45 m/min 程度が経済的である。

6. クレーン・エレベータ方式

この方式の一例を図6.1 および図6.2 に示す。この形式は駐車専用の ピルに 100 台以上の自動車を収容する場合に使用される。 構造について述べると、多層階の二つの建物が エレベータ の走行する空間部分をはさんで向いあって建てられ、 各階床面は エレベータ 走行路に面した トピラ によって区画された車庫になっている。 エレベータ は走行 クレーン 部分からつり下げられた タワー の内部を昇降する。したがって走行 クレーン が左右に、エレベータ が上下方向に同期して運動するので目的車庫まで斜めに直線状に自動車を運ぶことができる。

この方式では入出庫動作はすべて自動車の自走により、専任の エレベータ 運転手兼自動車運転手によって行なわれる。クレーンエレベー タおよび ドアの操作はすべて エレベータ 内の押し ボタン によって行 なわれ、目的階に到着すると エレベータ の ドア と連動して車庫の ト ピラ が上方斜に開けられる。入庫完了後、運転手はこの エレベータ に 乗って1階に戻る。

図 6.2 は標準的な レイアウト を示すが、実際上は土地の形状や周囲の道路状況によって決定される場合が多い。 エレベータ の前後に各 1 台ずつ自動車を駐車させるような建物の レイアウト が管理上、能率上最も好ましいのであるが、 スペースファクタ を上げるため土地の形状が許すなら図 6.2 のように片側に 2 台宛駐車する場合も

多い.このときは出庫ひん度の少ない車を奥の列に入れる方法を とるが、やはり出庫の際は所要時間が長くなる. 前方の車を臨時 に駐車させるためには、中間階の前面一列を空車庫として確保し ておく必要がある.

管理方式については、収容台数が100台前後の小規模のものなら管理室とエレベータを単にインターフォンで結ぶだけでよいが、それ以外の場合はカードと、接点を持ったカードボードを組み合わせて使用し、受付一会計一エレベータ運転手の間で連絡をとる方式が用いられる。

エレベータ1台あたりの自動車台数を決めるには、入出庫のひん度や建物のレイアウト(片側1台ずつ駐車か2台ずつ駐車か)によって左右される。標準として、デパート用などで客の出入りのひんばんな場合は片側1台ずつで80台前後、事務所用など比較的出入りの閑散なときはエレベータ1台あたり100~130台ぐらいが適当である。

乗場のドアは金網張りのドアで、図 6.3 に示すように カゴのドア から開閉時に突出する フックによって下方から押し上げられ、乗場の自動車の上の空間に格納される。 したがって ドアのための特別の空間がいらないのが特長である。

この方式の特長は、入出庫の動作は自動車の自走にたよるので、 自動車のサイズに対する融通性が大きいことである。この利点は わが国のように車種の極端に多い国では非常に効果的である。反

表 6.1 タレーン・エレベータ 式標準仕様 (図 6.1, 6.2 に示す規模の場合)

Service Control of the Control	17.000	
敷地面積 (m²)	1,111	
建物延而精 (m ²)	12.220	
建物時床	(1 階床 (B ₂ , B ₁ , 1-9)	
駐車台数	348	
エレベータ行数	3	
管理方式	車庫ナンバーガード式	
制御方式	エレベータ内押しボタンによる自動式	۲
從勢員数	7 省~10 省	
平均出入庫時間 (sec)	70~140	
エレベータ運転方式	低流可变量压制御	
エレベータ定格速度 (m/min)	90	
エレニータ積載量 (kg)	2,600	
エレベータかご内!リ	幅 2,600 mm×奥行 6,600 mm	
エレベータ用電動機 (kW)	DC 40	
クレーン走行速度 (m min)	30	
走行用電動機 (kW)	DC 5,5	

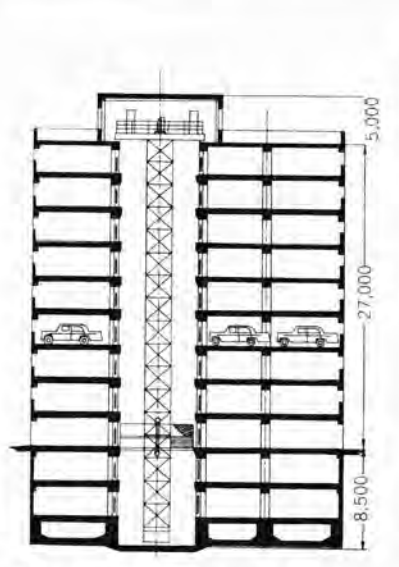


図 6.1 クレーン・エレベータ 式立面図 Fig. 6.1 Elevation for craneelevator system.

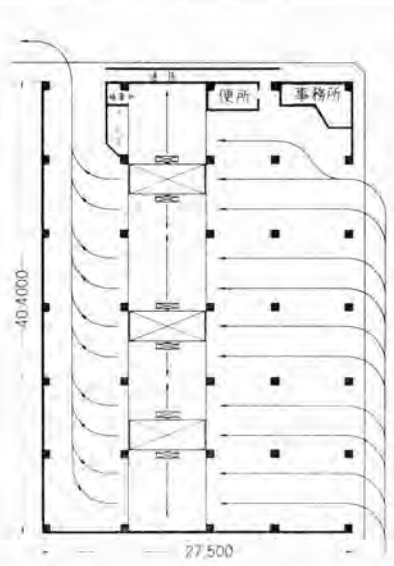


図 6.2 クレーン・エレベータ 式 1 階平面図 Fig. 6.2 Plan of ground floor for crane-elevator system.

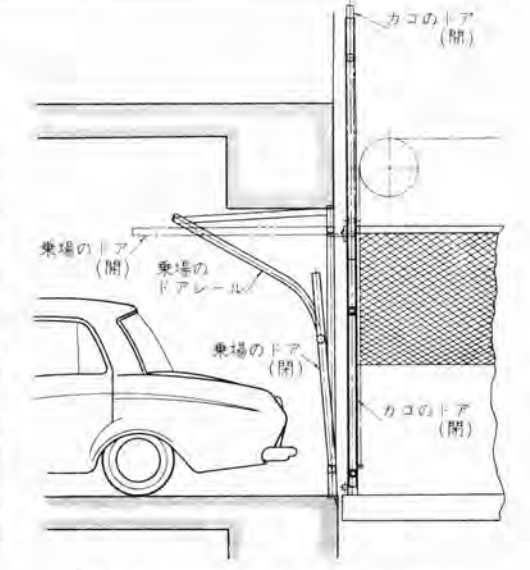


図 6.3 クレーン・エレベータ 式の ドア 開閉装置 Fig. 6.3 Door system for craneelevator system.

面、公共用に使用したとき オーナードライバが他人に運転されるのを きらうとか、次に説明する クレーン・エレベータ・ドーリ 式より入出庫所要 時間が長いなどの欠点も持っている。

図6.1 および図6.2 に示した規模の本形式 がしじ の標準仕様を表 6.1 に示す、この例では エレベータ の停止個所は 11 個所となるので昇降速度は 90 m/min 直流 ギャード方式とする。もし収容台数が少なく 4~5 階建程度なら 60 m/min を推奨する。 クレーン の走行速度は 25~30 m/min にとればほぼ上記の エレベータ 速度と同期する. なお、自走式のため建物の構造によっては排気設備を必要とする。また外壁は、手すりだけとした オープン 構造も周囲の建物との関連において許可になる例がある。

7. クレーン・エレベータ・ドーリ式

この形式は前述の クレーン・エレベータ式と同程度の規模に適用され、構造的にも類似しているが、エレベータへの自動車の出し入れをドーリ (移動台車) によって行なう点が前者と基本的に相違する・ドーリ は エレベータの カゴ 床に装備されており、 各階の床の ミジ を進み、 自動車の下部に入り込んで自動車を持ち上げ、車庫と エレベータの間を移動させる。

ドーリにはこれまで各種発表されているが、とくに自動車の持上機構では自動車を痛めないこと、およびホイールペースの違いに対する融通性からみて、後輪だけ持ち上げ、前輪をガイドする方式、あるいは4輪とも持ち上げる方式が良好である。後輪持上げ、前輪ガイド方式のドーリを図7.3 に示す。また駐車階の片側に2台格納するためには、走行モータを持った自走式ドーリでなければ不可能である。

次に制御方式について述べると、 Iレベータのカゴに乗った運転手が Iレベータとともにドーリを操縦する方式、すなわち半自動式と、さらに進んで管理室の操作に基づき すべてを全自動で遂行し、 Iレベータに運転手をまったく必要としない全自動方式も可能である全自動方式においては格納した自動車番号と、 車庫番号の対応の記憶、および Iレベータ、クレーン、ドーリ に対する操作の指令などをすべて電子計算機で処理する ワンマンコントロールシステム も可能となる.

クレーンエレベータ式と、このクレーン・エレベータ・ドーリ式を比較することによって両者の特質が明確になると思うので、次に比較を掲げる・ ドーリ 方式の特長。

- (a) 各駐車階には原則として人は立ち入らないから、1 階を除く他階には乗場のトピラは不要である。さらに車庫内で自動車のトピラを開閉する必要がないので、自動車の左右間 ゲキを小さくして駐車できる。すなわちスペースファクタが高い。
- (b) 半自動式でも エレベータ と ドーリ を操作する運転手は、自動 車の運転免許を持たない者でもよい、全自動の場合は管理室か ら操作できるので、さらに少ない人員でよい。
- (c) クレーン・エレベータ 式に比べ、自動車を自走させないので入出 庫所要時間が短い。
- (d) 自動車が自走しないので排気設備を必要としない。
- (e) 自動車は施錠したまま入出庫できる(一般の公衆を対象とした駐車場では、大きな利点となる).

次に トーリ 式の欠点を述べると

- (1) 大形車から == カー まで扱える ドーリ がない。 大形車と中形車を扱う ドーリ と、 中形車と小形車を扱う ドーリ の二つの ドーリ を備えればよいが、これは 2 台以上の エレベータ を持つ駐車ビルに 限られる
- (2) 建物の床に ドーリ 通行用の ミジを設ける必要があり建築費がかさむ。またこの ミジがあるため、片側1台ずつ駐車するときは出庫のとき1階の ミジを通り過ぎてから カーラをきる必要があり、道路までの間に前面空地を必要とする。
- (3) 全自動方式のときは、管理装置、安全確認装置などが必要

表 7.1 クレーン・エレベータドーリ 式標準仕様 (図 7.1, 7.2 に示す規模の場合)

數地所積 (m²)	1,054
建物延而積 (m²)	11,594
 地物防床	11 階床 (Bg, Bj, 1~9)
註車台数	348
エレベータ台数	3
管理方式	車庫ナンバーガード式
則御方式	半自動式
從業員数	7 名
平均出入庫時間 (sec)	65
エレベータ運転ガ式	直流可变電圧制御
エレベータ定格速度 (m/min)	90
エレベータ積載量 (kg)	2,600
エレベータかご内ノリ	幅 2600 mm×奥行 6520 mm
エレベータ用電動機 (kW)	DC 40
クレーン走行連度 (m/min)	30
走行用電動機 (kW)	DC 5.5
ドーリ移動速度 (m/min)	60

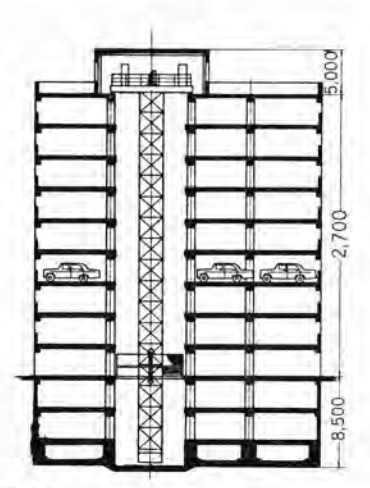
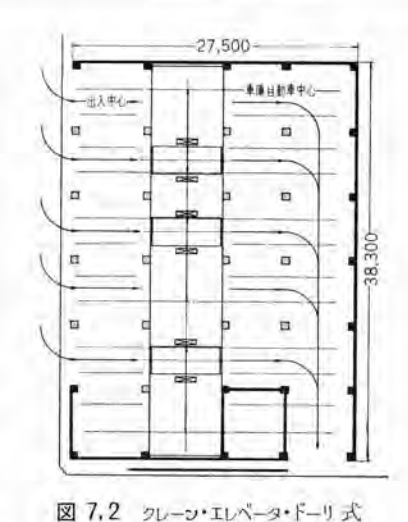
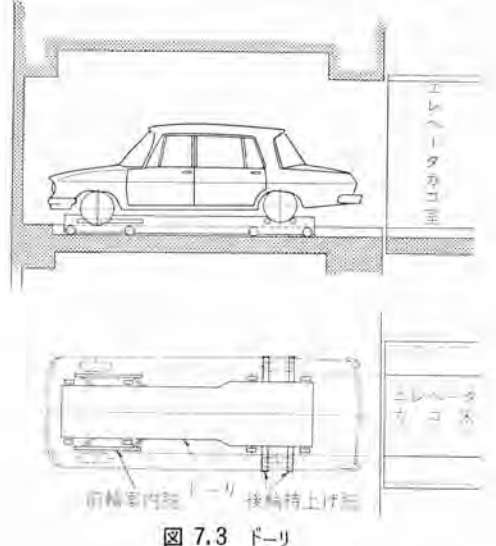


図 7 1 クレーン・エレベータ・ドーリ 式立面図 Fig. 7.1 Elevation for craneelevator-dolly system.



1 階平面図 Fig. 7.2 Plan of ground floor for crane-elevator-dolly system.



☑ 7.3 f-9 Fig. 7.3 Dolly.

で設備費が高くなる.

図7.1 および図7.2 に示した規模の半自動式 クレーン・エレベータ・ド -リ 式の標準仕様を表 7.1 に示す.

8. クレーン・エレベータ・フォーク式

この方式の据付図を図 8.1 および図 8.2 に示す。この形式は クレーン・エレベータ 方式、あるいは クレーン・エレベータ・ドーリ 方式と同程 度の規模の駐車 ビル に適用され、敷地の形状としては道路に面し た間口が狭く、奥行の長い土地に適している。

構造は、エレベータ・フォーク式と クレーン・エレベータ式を組み合わせたもので、各階に固定 フォークを設け、エレベータの床に装置した移動フォーク によって自動車を移し換え、車庫への運搬は走行 クレーン とクレーン につり下げられた タワー の内部を昇降する エレベータ によって、指定された車庫まで直線状に進行する.

制御方式は エレベータ・クレーン 方式と同様、全自動方式なので、管理者は入庫車の受付、押し ボタン 操作による入出庫、料金の精算まで100台を越える自動車を1人で管理することができる。

この方式の特長は次のとおりである.

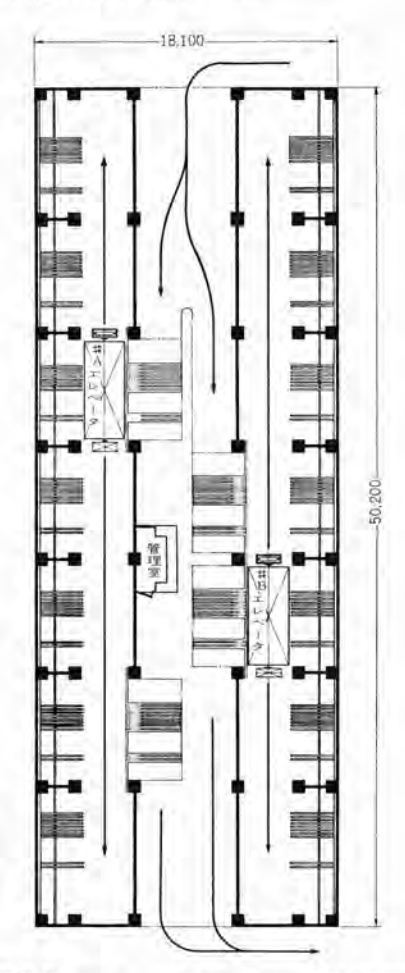


図 8.2 クレーン・エレベータ・フォーク 式 1 階平面図 Fig. 8.2 Plan of ground floor for crane-elevator-fork system.

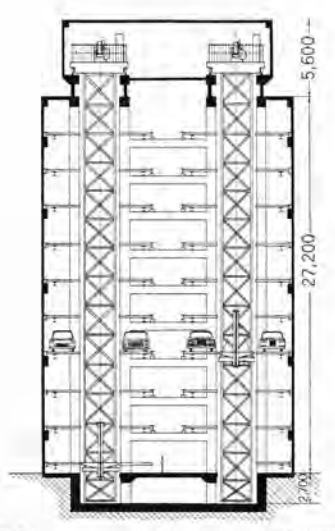


図 8.1 クレーン・エレベータ・フォーク 式立面図 Fig. 8.1 Elevation for crane-elevator-fork system.

- (a) 間口が狭く、奥行の長い敷地に適している.
- (b) 大形車から = ニカー まで、どんな大きさの乗用車でも収容できる.
- (c) 全自動式であり、管理に要する人件費が少ない。
- (d) 自動車に カギをかけたまま入出庫できる.
- (e) 自動車は自走しないから排気設備がいらない。 一方, この方式の欠点として考えられることは,
- (1) 100 台前後の収容台数に対し、エレベータの乗り入れ場所が 1 個所ずつであるから、入出庫のひんばんなガレージでは入口が 混雑する。
- (2) 自動車1台あたりの建設費が高価である。

9. む す び

以上、エレベータを利用した各駐車装置について説明した。単にガレージといっても、本質的に二つに分けることができる。一つは自家用車を格納しておく目的のものであり、他は自動車が集結する地点に設けるガレージで、自動車を預ける目的のものである。これには劇場、デパート、駅、商業地区、オフィス街などに設けられるガレージがはいる。現在までのガレージの需要はほとんど前者に属するものが大部分であった。したがって、よほど大規模のビルでないかぎりビルの一部に設置したローラ式あるいは油圧式エレベータによって処理できた。しかし自動車の急激な増加は、後者に属するガレージの急速な整備を促している状況である。後者は高価な土地に、多数の自動車を集中的に駐車させる必要があるため、本稿で述べた立体駐車装置によるのが最も合理的であり、経済的である。

当社は、長年にわたる エレベータ の製造経験を生かし、今後ますます増大するこの種の駐車装置について、要望にこたえる所存である。

セレクチブバーチカルコンベヤ

加藤淳治*

Selective Vertical Conveyer

Nagoya Works

Jyunji KATO

With the progress of architecture, incidental facilities of buildings have made a marked development. However, despite the popular cry for improving efficiency of transportation, in the building, conveyance of postal matter and document in offices, handling of books in libraries and loading and unloading of packages in post offices or railway stations are mostly left to human labor. When buildings are made into a greater scale and turned to sky-scrapers in future, how much labor will be needed for the transport? To solve the problems selective vertical conveyers-ingenious devices to automatize transit between floors-have been newly developed, delivered to the Diet Library and the New Sumitomo Building and operating with success.

1. まえがき

セレクチブパーチカルコンペヤは、最上階機械室と、最下階ピットにある 上下の鎖ھ車に掛けられた エンドレス の チェン に荷を運ぶ カー を取り付けた垂直式 チェンコンペヤで、さらに目的階選択装置と自動荷積、自動荷降ろし装置を備えた全自動式運搬装置である。任意の階から任意の階を自由に選んで荷を送ることを特長としている。



図 1.1 国会図書館納め C-1 号機 Fig. 1.1 Conveyer C-1 delivered to the Diet Library.



図 1.2 新住友 じル納め S. V. C Fig. 1.2 S. V. C. in New Sumitomo Bldg.

2. 特 長

最近国内でもこれと同じ目的の貨物用コンペナが製作されているが、当社のコンペナ装置の方式がとくにすぐれている点を説明する.

2.1 目的階撰択装置が機械電気式である

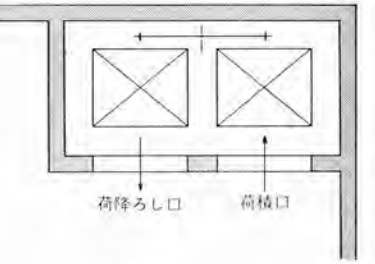
- (1) 目的階指示装置,目的階記憶装置,選択スイッチなど簡単な機構による各装置の関連動作によっているので,電気式に比べて安価である.
- (2) 記憶装置は カーごとに備えているので、装置の内の1組 が故障しても、他の記憶装置になんら悪影響を及ぼさない。
- (3) 荷降ろし階の数が増しても、目的階指示装置、記憶装置 は複雑にならない。
- (4) 記憶装置が機械式であるので、一度指示を与えれば、運転中に停電しても記憶を失なうことがない。

2.2 荷の受渡しが垂直方向である

- (1) 運搬 チエニン は垂直方向に張るだけで良いから、中間に遊び鎖歯車を必要としないので安価である.
- (2) 運搬 チエニン を横に張る必要がないので、据付面積が小さくて良い.

2.3 荷積,荷降ろし口が同一面にある

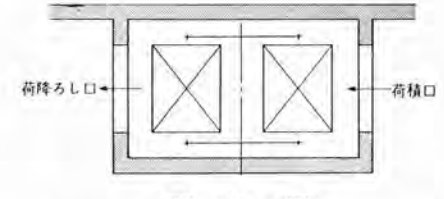
(1) 一般の トレイコンベヤ は荷積口と荷降ろし口が コンベヤ の前



荷扱いスペースが共通

図 2.1 荷扱い平面図 セレクチブバーチカルコンベヤ の場合

Fig. 2.1 Plan of selective vertical conveyer for handling goods.



荷扱いスペースが別々

図 2.2 荷扱い平面図一般の コンペナ の場合 Fig. 2.2 Plan of conveyer in general for handling goods. 側と後側になるが、この コンペヤ 装置は荷積口と 荷降ろし口が同一面に設けられるので作業性が良い.

(2) 作業面が同一側にあるので建物の隅にも設置できるため 建築計画の際にも据付面積が小さくて、場所がとりやすい。

3. 操作説明

簡単な操作をするだけで、自動的に目的階の荷降ろし台に届け ることができるこの方式の動作説明をする.

(1) 品物をトレイと称する コンペナ 専用の容器に入れて、荷積 台に置く。

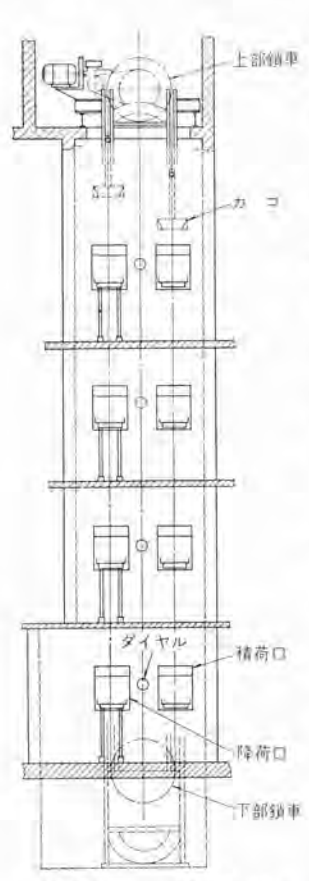


図 3.1 セレクチブ バーチカル コンペヤ 説明図 Fig. 3.1 Selective vertical conveyers.

(2) ダイヤルの指針を目的階の ナンパーに合わせてから、トレイを待機位置にある荷積車の上に押し込む。

これだけの操作で、あとはコッペヤ装置が自動的に動作する.

- (3) 空のカーが接近すると 荷積車が前進し、トレイをカーに 渡すと同時にカーに付いている タブは目的階の指示を受け取る.
- (4) トレイを受け取ったカー は、最上階にある スプロケット を 通過して下降する。
- (5) 下降中のカーが目的階 に接近すると、目的階の荷降ろ し車が前進し、カーからトレイを 受け取る。
- (6) トレイは荷降ろしロへ 自動的に出され、以後は慣性と 傾斜を利用して、荷降ろし台の 上を滑るように移動し、所定の 待機位置に停止する。



図 3.2 トレイ Fig. 3.2 Tray.

4. 特殊装置の動作説明 このコンペヤ装置の特長とする

目的階選択装置と自動荷額,自動荷降ろし装置などの動作説明を する.

4.1 目的階撰択装置

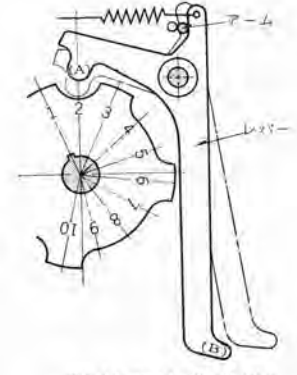
目的階の選択はダイヤル、セレクタ、タブおよび スイッチの関連動作によって行なう。

4.1.1 目的階の撰択方式

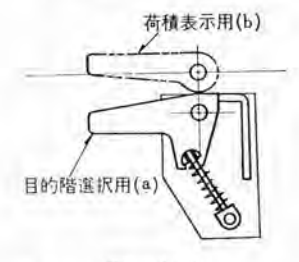
目的階を数個の中の2個の組み合わせによる符号で表わす。その例を図4.1に示す。例によれば4階は (III・IV) 8 階は (III・V) といった具合に決定しておき、セレクタ、タブスイッチなどを図4.1に適合した配置に組み合わせておけば、少ない部品で多数階を選

	1	II	H	IV	V	M
15	0					0
14	4	0				0
13			0			0
12			1	0		0
11					0	0
10	0				0	
9		0			0	
8		Ď.	0		0	
7				0	0	
6	0			0		
5		0		0		
4			0	0		
3	0		0			
2		0	0			
1	0	0				1

図 4.1 各階表示符号一覧表 Fig. 4.1 List of indicating symbols in various floors.



(図 4.1 のカム (I) を示す) 図 4.2 セレクタ 動作説明 Fig. 4.2 Selector operation.



(動作前を示す) 図 4.3 タラ動作説明 Fig. 4.3 Tab operation (before functioning.)



(動作後を示す)
図 4.4 タラ動作説明
Fig. 4.4 Tab operation (after functioning.)

択することができる.

4.1.2 セレクタ

セレクタは各階の荷蘭、荷降ろし口にあるダイヤルに直結されていて、図 4.2 に示すようにカムとレバーが1対となっていて、カムの全周を荷降ろし階数に等分し、図 4.1 に従ってノッチを設け、ダイヤルの指針を目的階のナンバーに合わせることにより任意のレバーを突出させ、対向するタブを倒して図 4.1 に示す○印のタブを残す。図 4.2 中のアームは荷積車が前進すると矢印の方向に移動する・カムの外周に設けたノッチが切り込んである部分が、レバー(A)部の直下にきた場合、レバーはバネに引っ張られて(A)部がミブ面に当たり、(B)部が突出する・

4.1.3 タブ

9 5 は各 カー に取り付けてあり、カー に乗せられた トレイの目的 階を記憶するとともに、トレイを持っているか、持っていないかを 指示する機能をもっている.

図 4,3, 4.4 は 9ブの動作前と動作後の状態を示す。図中 (a) は各階の符号を示す 9ブで、前に述べたとおり荷降ろし階数により、その本数は異なる。(b) は カーが トレイ を持っているか、持っていないかを指示する。

なお、荷積側最上階通過後もトレイを持たないカーの 97 は全 部倒し、各階の目的階検出用 スイッチを押さないような装置を別に 設け、スイッチの稼働ひん度を減らすよう考慮してある。(実用新案 申請中)

タラは カー が最下階を通過するとき、すべて荷積前の状態に戻される.

4.2 自動荷積,自動荷降ろし装置

荷糖, 荷降ろし装置は各階昇降路内に設置されていて, 次の要 領で自動的に荷積荷降ろしを行なう。

4.2.1 荷積動作

(1) 荷積車に トレイが乗せられ、空の カー がその階に接近す

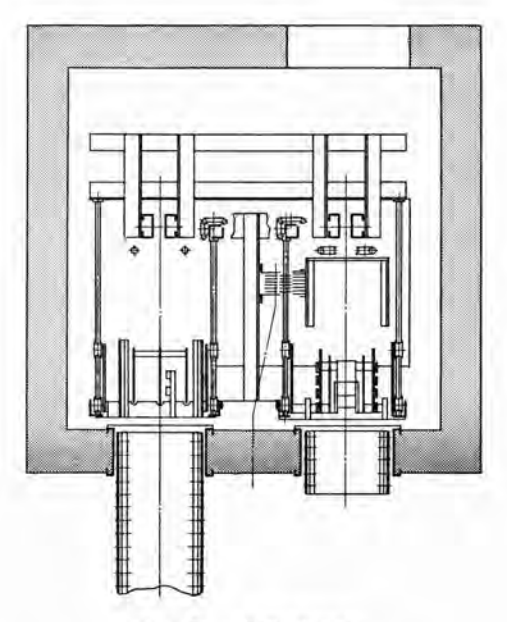


図 4.5 一般階平面図 Fig. 4.5 Plan of a general floor.



図 4.6 最下階荷積装置 Fig. 4.6 Loading equipment at the lowest floor.

ると タブ が荷積装置を動作させる スイッチ を押し,マグネット を励磁 して作動 アーム を チェン 側に引きつける.

- (2) カーのつりピッと一定間隔で取り付けてある コロ が作動 アーム を引き上げると、荷積車がカーの通過位置まで前進し待機 する. (荷積車は前述のコロ によって運動を始めるので、カーと荷 積車は常に同調する.)
- (3) b-は上昇を続け、荷穂車上のトレイをすくって通過する。
- (4) チェンの コロ は チェン とともに上昇するので、アーム からはずれ、荷積車は パネの力によって元の位置に引きもどされる.

4.2.2 荷降ろし動作

荷降ろし動作は、荷積動作とキッカケが違うだけで、目的階にカーが接近し、タラが目的階の検出用スイッチを2個同時に押すと荷降ろし装置のマグネットが励磁され、以後荷積装置と同じ要領で、荷降ろし車がカーの通過を待って、トレイを受け取るものである。荷降ろし台が満載になると、荷降ろし台のトレイを取り除くようにその階のブザーを鳴らす。さらに次のトレイが到着して荷降ろし車にトレイが乗ると、次のトレイからはその階で降ろされることなく通過する。

4.2.3 最下階固定式荷降ろし装置

目的階で降ろされなかった トレイは最下階に運ばれ、カゴの通過する位置まで突き出した固定式荷降ろし装置によって取り除かれる。したがってカーが最下階を通過し、下部鎖歯車部分を通って荷積側昇降路を上昇するときは、必らずカラとなるのでカゴを専有されることはない。

最下階で降ろされた他階行きのトレイは,最下階のコンペナ 装置 専任の管理者が,荷降ろし台が満載の階に通報し,トレイを取り除 かせたのち再発送する.

なお、最下階にコンペヤ 装置専任の管理者を配置されないときは、最下階も可動式自動荷降ろし装置とし、目的階をパスしたトレイは、目的階の荷降ろし台のトレイが取り除かれるまで、カーに乗ったまま昇降路内をぐるぐる回わすことも可能である。

4.3 事故防止装置

このコンペヤ 装置の可動部分はすべてコンクリートの壁の中にあり、 馴れない人にも危険を与えることはない。ここに述べる事故防止 装置はコンペヤ 装置に対するものである。

コンベヤ 装置は全自動運転を行なっているので、常に点検を行ない不測の事故が起こらないよう努めることはもちろん必要であるが、もし不測の事故の原因となるような、ささいな故障が発生したときには、運転を停止するよう事故防止装置を設けてある。

- (1) 荷積車, 荷降ろし車が正常の位置に復帰しないとき.
- (2) 運搬 チェン が異常に伸びたり、 バウンド したとき・
- (3) 最下階の荷降ろし台が満載になったとき.
- (4) 電源が逆相になったり、三相電源の一相が切れたとき、 などの場合には、コンペヤ装置の運転を自動的に停止する.

4.4 故障位置表示器

コンベヤ 装置の事故防止装置による非常停止は、前に述べたように、いろいろな原因によるものであるが、荷積車、荷降ろし車が正常の位置に復帰しないという故障の発生が最も多いことが予想される。この故障が発生した場合、10 数階に設置された荷積装置と荷降ろし装置を全部点検しなければならないが、故障位置表示器を設置すれば、表示器の点灯している階のみ点検すれば良いので、余分な手間を省くことができる。

5. 標準 仕様

5.1 トレイ (図 3.2)

積載重量

大きさ 上面内法 266 mm×406 mm

床面内法 254 mm×378 mm

高 き 254 mm

材質 ファイバ板

仕上色 客先指定色

5.2 その他

運転速度 23 m/min

運 搬 量 最大 4,500 kg/h 每分 7.5 回積込み

電 励 機 三相誘導電動機 8P

6. む す び

まえがきにも述べたように、この独特なコンペア装置の需要は今 後に期待をかけられているだけに、今後いっそうの研究改良によって、運搬の自動化に役立ちたいと思っている.

ロープウェイのリアクトル制御

佐藤正夫*•吉田太郎*•川合弘*

Reactor Control for Rope Way

Nagoya Works

Masao SATO · Taro YOSHIDA · Hiroshi KAWAI

When an induction motor is used for Rope-Way, the most vital problem for it is how to get good speed-torque characteristics. There are several methods to control the motor. Of them the reactor control—the variable voltage control—has a number of advantages when adapted to the Rope Way. The speed control is made possible by using a four saturable reactor bridge circuit connected to the primary side of the motor. These four reactors are controlled with semi-conductors such as transistors, silicon diodes and silicon controlled rectifiers. The reference voltage furnishing the Rope Way with a speed program is available from a motor driven voltage regulator or a transistorized pulse counter device which measures the trailing rope length. The reactor control device is inexpensive and suitable for the Rope Way operation.

1. まえがき

従来から観光地にロープウェイを設置することは盛んであるが、 とくに最近ではロープウェイは観光地としての重要なポイントになっ てきている。また山岳地方の観光開発が活発になってきているが、 この場合ロープウェイは文字どおり、観光の主役となるとともに、 交通機関としても不可欠の要素となってきている。このように ロ -プウェイの果たす役割は次第に重要になってくる一方, バカンスム ードなど観光客の訪れも年々増加する傾向であり、そのため、ロー ラウェイ の大形化,高速化,自動化が計られるとともに,乗りごこ ちの改善,安全性の向上がますます要求されるようになってきた. 一方制御技術は日進月歩で、とくにエレクトロニクスの発達はめざ ましくて、数年来、これらの要望にこたえるべく、トランジスタ、シ リコン 制御整流素子 (SCR) などの半導体制御技術。ならびに リア クトル 制御などの自動制御技術の開発と ロープウェイ 制御への適用が 積極的に試みられてきた. その結果一応の標準方式を確立し、各 地の ロープウェイ に実用され、良好な実績をおさめている。ここに ロープウェイ 用 リアクトル 制御、ならびに自動運転方式の概要と実例 を紹介し、そして、今後のローラウェイ開発計画のための参考資料 として役だてられることを願うものである.



図 1.1 下田寝姿山 ロープウェイ Fig. 1.1 Shimoda RopeWay

2. ロープウェイ制御の概要と実例

ロープウェイは循環式と変走式があり、前者は駆動電動機により、 えい索を一定の速度で動かし、それに適当な間隔をおいて多数の 比較的小形の搬器をかませる方式で、これに対して後者は普通 2 台の大形の搬器をえい索に対称の位置に取り付け一方が上がると きは他方が下がるようにした方式である。循環式は ローブ 速度が 最高 2 m/s くらいで遅いが、変走式は 3.6~5 m/s で、速く、観 光用 ロープウェイ としては速度の速いことが要求されるので、変走 式のほうが多い。

ここに紹介するものは交走式の場合であるが、最近では循環式でも高速化を計画する傾向もあり、そのため、リアクトル 制御を採用する計画も具体的に進められている。 交走式 ロープウェイ は中間では定格速度 (3.6 m/s あるいは 5 m/s) で運転するが停留場に近づくと、漸次減速し、一定の低速で停留場にはいるようにしなければならない。 電動機にかかる負荷は搬器がつるべ式にえい索につけられているので、上がるほうの搬器は正の負荷となるが、下がる一方の搬器は負の負荷となる。 したがって搬器が上り満車、下り空車のときは、負荷は (+) で最も重く、上り空車、下り満車のときは負荷は最も軽く (-) となる。

また搬器が鉄塔を通過する場合の前と後で負荷がかなり変化する。すなわち通過前では負荷は重く、後では負荷は急に軽くなり、ときには負になる。地形ならびに鉄塔の位置によりいろいる異なっているが、一般に最も重い場合を(+)100%とすると最も軽い場合は(-)50%くらいになる。しかも停留場にはいるとき、出るときが、最も変化が大きい場合が多い。

このように大きく変化する負荷に対して、円滑な加速、減速ならびに一定の速度曲線で運転することは、乗りごこちをよくする上からのみならず、安全運転の上からも必要なことである。このことは高速化が計られるときは、とくに重要なことで、かかる意味からリアクトル制御ならびに自動制御化が必要となってきたのである。

ロープウェイ は昭和28年ごろから製作されるようになったが、当初のものは巻線形三相誘導電動機の普通二次抵抗制御(単純可逆方式)であった、搬器が停留場に接近した場合は二次抵抗を大きくし、手動プレーキで適宜制動をかけて低速運転を行なっている。

表 2.1 リアクトル 制御 ロープウェイ 製作実績

鞘	٨	先	製作年月	框 動 機	柳 考
白	浜 温	泉	33- 9	220 V 60 c/s 75 kW	三相平衡可逆式、マグアンプ式
天上	山(河口)	削畔)	33-11	200 V 50 c/s 75 kW	" "
船作	班(長)	遊市)	34- 9	440V 50 c/s 110 kW	<i>n</i>
98	光赤	Ψ.	35-12	440V 60 c/s 75 kW	<i>y y</i>
寝 姿	Щ (#	豆)	36-10	400V 50 c/s 75 kW	三相平衡可遊式、トランジスタ リレー使用 SCR 式
別府	(商 見	(fir)	37- 5	3,300 V 60 c/s 350 kW	三相平衡可遊式トランジスタ, SCR 式
小	豆	196	38- 1	440 V 60 c/s 75 kW	プリッジ式、SCR 式、トラン ジスタリレー使用
绀	13	城	38- 1	440V 60 c/s 55 kW	小豆鳥と制御方式は同じ
城		树	38- 2	440V 60 c/s 75 kW	ブリッジ式、SCR 式、トラン ジスタリレー式、強制減速装置 付 (パルスカウンタ使用) 3 ホ ーム
Ą	延	iti	38- 5	400V 50 c/s 150 kW	ブリッジ式、トランジスタ SCR 式
谈 /	(H	7(1)	38- 7	400V 50 c/s 95 kW	プリッジ式、トランジスタ SCR 式

この制御は負荷が(+)の場合は比較的容易であるが、(-)の場合には二次抵抗を大きくするとかえって速度が速くなるので、手動 ブルーキ の操作はかなり微妙で運転者の勘にたよらなければならず、したがって運転の安全性は必ずしも十分ということはできなかった。

当社では昭和28年から33年に至る5年間に金華山(岐阜市)、 摩耶山(神戸市)、雲仙などを始め18個所に普通二次抵抗制御の ものを納入したが、33年ごろから自動運転化と安全性の向上の要 求が強くなり、それにこたえてリアクトル制御のローラウェイ制御へ の実用化を計り、その第1号機を33年11月和歌山県の白浜に設置した(安全索道 KK 施工)、その後引き続いて、河口湖畔、長 崎稲佐山などに設置し、現在では11号機目を沼津淡島に設置中 である。表2.1はリアクトル制御方式のローラウェイの実績を示した ものである。

たお当初のものは自動制御部には磁気増幅器を用い、その他の制御部は通常の電磁継電器を使用したが、現行のものは自動制御部には シリコン 制御整流素子 (SCR)、トランジスタ を使用し、その他の自動運転制御回路は トランジスタ 無接点 リレー (トランジスタサイパック)を使用し、ほとんどの主要回路を無接点化している。

また当初のものは半自動運転であったが、現行のものは全自動 運転が可能になっている。(もっとも実際の運転は手動運転の場合 が多いが、この場合でも運転者がミスした場合には、全自動運転が 行なわれるようになっており、全自動運転のわく内での手動運転 をしているのであって、非常に安全性の高いものになっている。)

主電動機としての巻線形三相誘導電動機の容量としては、小は 55 kW, 大は 350 kW まで製作しており(もちろんこれより小容量のものでも大容量のものでも製作可能である。)ロープウェイとしての必要な容量をカパーしている。

3. リアクトル制御の原理

リアクトル 制御は可飽和 リアクトル と増幅器を用いて自動制御することにより負荷が変化しても任意の一定速度で運転させようとするもので、直流の ワードレオード 制御に匹適する特性をもっている。 図3.1 のように電動機の一次側に可飽和 リアクトル をそう入して、その直流励磁電流を増減することにより電動機に印加される電圧を変化させ、電動機の トルク を制御する・電動機には速度に比例した電圧を発生する パイロット 発電機を設けて速度を検出し、指令の速度 (基準電圧) と比較する。

その差を増幅器により増幅してリアクトルを励磁し、速度が指令

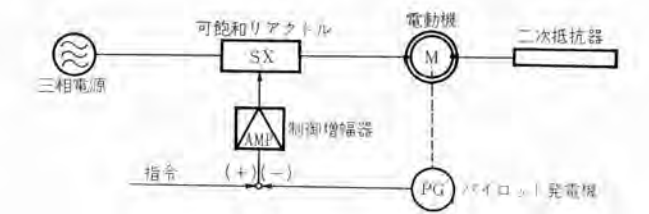


図 3.1 リアクトル 制御の ブロック 線図 Fig. 3.1 Block diagram of reactor control.

速度に近づき、差がなくなる方向に自動制御する。たとえば指令の速度(+電圧)に対して実際の速度がおそい場合には差は(+)となり、これが増幅されてリアクトルの励磁を強めて電動機トルクを増加させ、電動機を加速させる。そしてほぼ指令速度に等しい速度まで加速し、その速度で運転する。逆に負荷が急に軽くなって指令速度より電動機速度が大きくなった場合は、パイロット 発電機の出力の負電圧のほうが大きくなって差は(-)となり、リアクトルの励磁を弱めてトルクを減少させ、速度はほぼ指令の速度まで減速させる。実際には自動制御系の安定化を計るため、ダンピング回路を設けている。

4. ロープウェイのリアクトル制御回路

4.1 回路

ロープウェイのリアクトル制御回路は、4台の可飽和リアクトルを図4.1 のごとく ブリッジ に接続する。リアクトル SX_1 、 SX_3 を励磁すると電動機には正相の電圧が印加され、正方向の F トルク すなわち駆動 F ルク を発生し、反対に SX_2 、 SX_4 を励磁すると電動機には逆相の電圧が印加され、逆方向の F トルク すなわち制動 F トルク を発生する速度の指令電圧である基準電圧 F (+) と電動機の速度に比例した速度電圧 F (-) とを比較して差が F (+) のときは F の F の F を発生し加速する、差が F のときは F のの符号

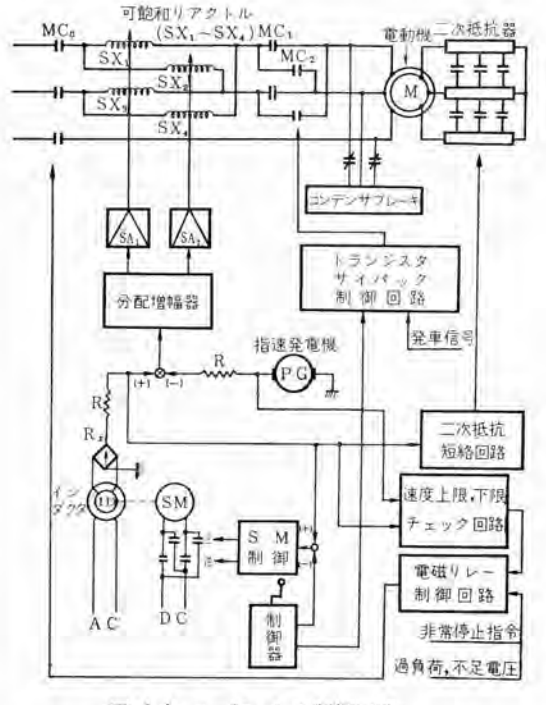


図 4.1 ローラウェイ の制御回路 Fig. 4.1 Block diagram of Rope Way control.

により SA_1 か SA_2 かいずれかの SCR 増幅器を動作させる。差の符号により SA_1 か SA_2 かを動作させる回路を分配増幅器と呼んでいる。基準電圧は電動式基準電圧装置により与えられ、この装置は 32 トローラ からの段階的信号を円滑な曲線に変化させる装置である。速度に比例した検出電圧は電動機と直結したパイロット発電機 PG の電圧から得る。この PG 電圧は速度 F エック 回路などにも使用する。次に制御増幅器(分配増幅器,F SCR 増幅器から成る。)電動式基準電圧装置,保安回路などについて説明する。

4.2 制御增幅器

4.2.1 SCR 增幅器

図 4.1 で示した SA_1 , SA_2 の SCR 増幅器は シリコン 制御整流 素子 (略して SCR) の点弧位相を制御して リアクトル の励磁電流 である SCR の出力電流を制御するものである。図 4.2 のごとく SCR を交流側に逆並列に入れて全波制御を行な 5. 図 4.3 は SCR 増幅器である。図 4.4 は SCR の外観を示す。図 4.5 は可飽和 リアクトル の外観を示す。

4.2.2 分配增幅器

前述のごとく基準値と検出値との差が (+) か (-) かにより SA_1 , SA_2 のいずれを動作させて加速させるか,減速させるかを 自動的に判別するのが分配増幅器である. NPN 形 +5ンジスタ を使用した直流増幅器 B18 要素 4 個から成る。 \mathbf{Z} \mathbf{A} \mathbf{A} \mathbf{G} \mathbf{A} \mathbf{B} \mathbf{A} \mathbf{A} \mathbf{B} \mathbf{A} $\mathbf{$

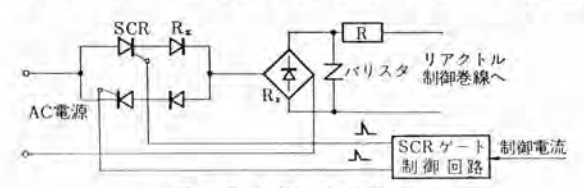


図 4.2 SCR 增幅器回路 Fig. 4.2 SCR amplifier circuit.



図 4.3 SCR 增幅器 Fig. 4.3 SCR amplifier.



図 4.4 シリコン 制御整 流素子 Fig. 4.4 Silicon controlled rectifiers.

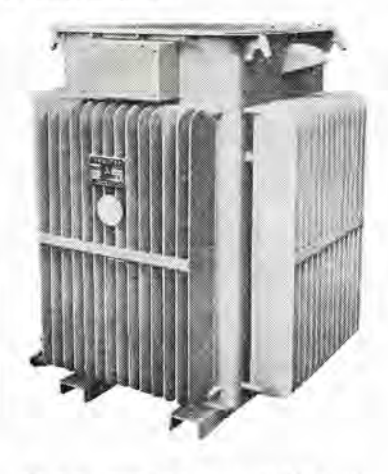


図 4.5 可飽和 リアクトル (350kW 用) Fig. 4.5 350kW saturable reactor.

して SA_1 の SCR 増幅器を動作させる。 $B18_1$ の入力が (-) のときは $B18_3$ が動作して SA_2 の SCR 増幅器を動作させる。これらの動作を行なわせるために B18 要素にそれぞれ適当に負帰還と パイアス をかけることにより増幅分配 $B18_1$, 増幅 $B18_2$, $B18_3$ 位相反転 $B18_4$ の作用をなし、入出力関係は図 4.7 (a) に示すように入力が $-0.1\sim+0.1$ mA 変化した場合 $B18_3$, $B18_4$ の出力がそれぞれ 1 mA 変化するように調整する。 $B18_3$, $B18_4$ の 1 mA の変化により SCR 増幅器 SA_1 , SA_2 の出力は 100% 変化し、これにより電動機 1 ルクも 100% から 100% の場合) 100% (100% 変化しませることができる。

4.3 電動式基準電圧装置

4.3.1 ギヤードモータの制御

電動式基準装置は ロープウェイ の円滑な速度指令を与える装置で、図4.8(a) に示したように コットローラ からの段階的な出力を円滑 に変化させ、したがって搬器の速度を円滑に変えようとするものである。誘導電圧調整器 ID (インダクタ と呼ぶことにする) の回転子と ギヤードモータ により徐々に回転させることにより指令電圧を連続的に増減させている。この指令電圧は図3.1 の リアクトル 制御回路の基準電圧として与えられる。

図4.8(b) は電動式基準電圧装置、すなわち ロープウェイ 用速度指令装置の回路である。トランジスタ 式比較増幅器を用いて コントローラ からの指令電圧と、インダクタ からの出力電圧を比較している。比較した差が(一)で コントローラ からの入力が大きいときは比較増幅器は FOR の コンタクタ を励磁し、モータ を正転させて インダクタの出力を増加させる。逆に差が(+)のときは REV の コンタクタ を励磁し、ギャードモータ の回転を逆にして インダクタ の出力を減少させる自動制御回路になっている。このような回路により図4.8(a)のような コントローラ の指令がはいっても ギャードモータ により インダクタ の出力は急変しないで徐々に変化し、ロープウェイの速度指令としては理想的な基準電圧が得られる。

比較増幅器の動作は4.2.2項の分配増幅器とよく似ているが、 後者は出力が アナロラ 量であるのに対し、前者すなわち比較増幅

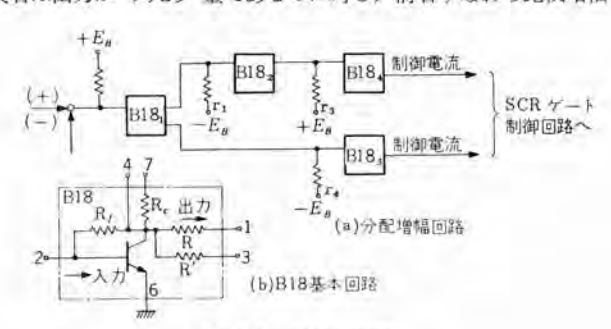
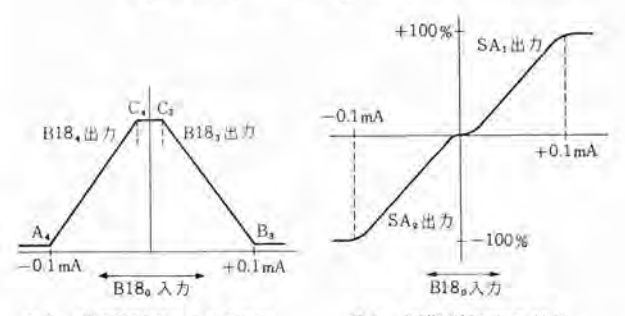


図 4.6 分配增幅器 Fig. 4.6 Control amplifier circuit.

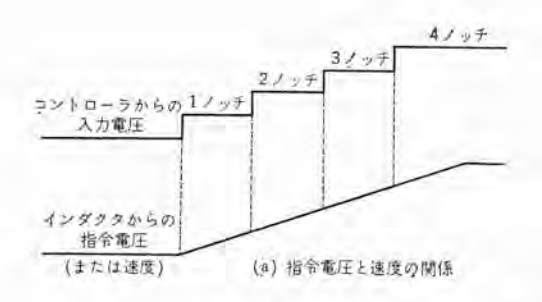


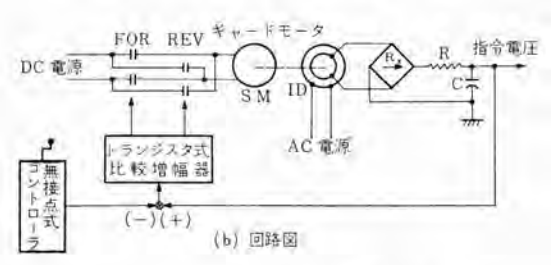
(a) 分配増幅器の入出力

(b) 制御増幅器の特性

図 4.7 入力一出力特性

Fig. 4.7 Characteristic curves of control amplifier.







(c) 速度指令装置

図 4.8 ロープウェイ 用速度指令装置 Fig. 4.8 Speed-programer for Rope Way.

器の出力は電磁 リレー を動作させる ディジタル 量である。比較増幅器の出力は FOR か REV かのどちらかの電磁 リレー を励磁する出力である。したがって比較増幅器の回路は入力が (+) か (ー) かを検出する要素は、分配増幅器と同じく B181 のような特性にして、B181 の出力の増加減少の アナログ量を波形成形要素 B16 を使用して ディジタル 量にしている。図 4.9 はその回路図である。

4.3.2 無接点コントローラ

図4.8(b) で示した無接点コントローラは基準電圧装置にも用いたようなインダクタを手動により回転角を変え、二次誘導起電圧をトランジスタで検出するものである。各回転角により発生電圧が異なるので電圧の違いを検出すれば機械的変位をディジタルの電気量として取り出すことができる。このようにして接点式コントローラと同じ目的を達することができるが、無接点式のほうは接触不良がないので有利である。

インダクタ の回転角が 60° くらいまでは、二次電圧は回転角に対してほぼ直線的になる。回転位置 1, 2, 3, 4 における電圧値をそれぞれ A, B, C, D とすれば、これらの電圧値を 1, 2, 3, 4 における電圧値を 1, 2, 3, 4 に対して 1, 4

(注) インダクタは回転方向により電圧の位相が異なるのでこの位相の違いを検知して、クレーンなどでは着き上げ、巻き下げの信号に使っている。

4.3.3 減速指令装置

搬器が停留所に近づくと コントローラ または リミットスイッチ により 減速指令が与えられるが、この減速指令は電動式基準電圧装置のの REV の電磁 10- を励磁して、基準電圧を下げるように SM E-9 は制御される.

交走式 ローラウェイ では起動, 停止のひん度は大きいので、リミットスイッチ も無接点 リミットスイッチ を使って接触不良のないように注意を払っている。

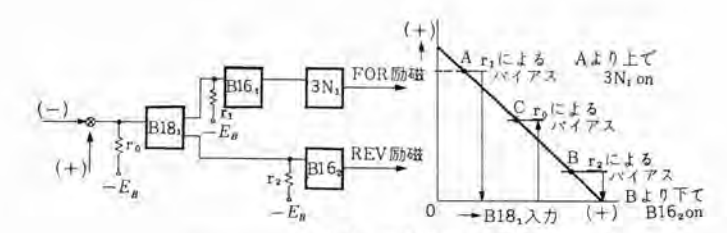


図 4.9 比較増幅器回路図 Fig. 4.9 Control circuit of speed programer.

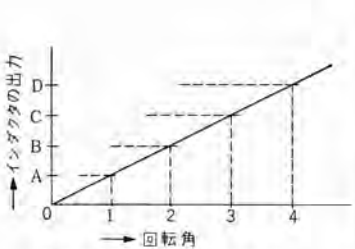


図 4.10 インダクタ の特性 Fig. 4.10 Characteristic of inductor.



図 4.11 パルス かウシタ ユニット Fig. 4.11 Transistorized pulse-counter unit.

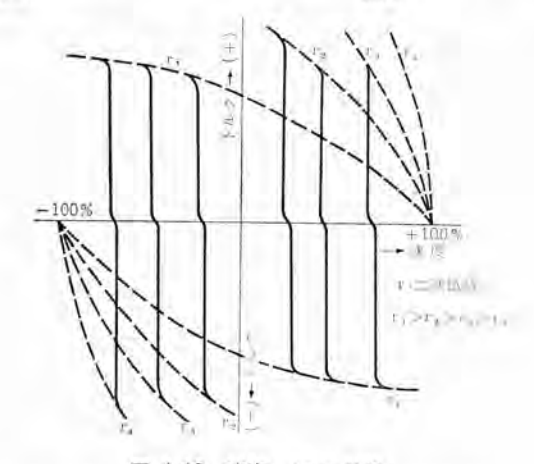


図 4.12 速度ートルク 特性 Fig. 4.12 Speed-torque characteristic curves.

当社では昭和 38 年兵庫県城崎にわが国で初めての中間停留所を設けた交走式 n-プウェイ の制御装置を納入している。停留所と停留所間の n-プ 長を約 1 m どとに トランジスタ 式 パルスカウンタ で検出して、この カウンタ 出力により自動減速指令を与え自動停止を行なうという新しい試みを取り入れた。

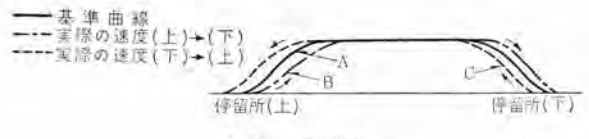
この カウンタによる プログラム 制御方式は、ローブ の ズル により減速開始点および中間停留所で停止する位置が移動するようなことはないのが大きな特長である。

また カウンタ 出力は数字により表示しており機器の移動距離を 数値で知ることができる。図 4.11 は パルスカウンタ の トランジスタ 回 路部分をまとめたものを示す。

4.4 二次抵抗短絡装置

リアクトル 制御では自動的に速度の制御を行なうが、これに並行して二次抵抗の短絡を速度に応じて行なっている. 図 4.12 に示すように速度が高くなるに従って二次抵抗を減少させ、このようにすることによって、高速においても大きな トルク が得られる. その結果 ロープウェイ ではほとんど ー100~+100% の速度範囲において連続な速度制御が可能である.

二次抵抗短絡用の コンタクタ は指令電圧または PG 電圧により作動する トランジスタサイパック により自動的に励磁されるが、ローラウェイでは基準電圧により行なっている。

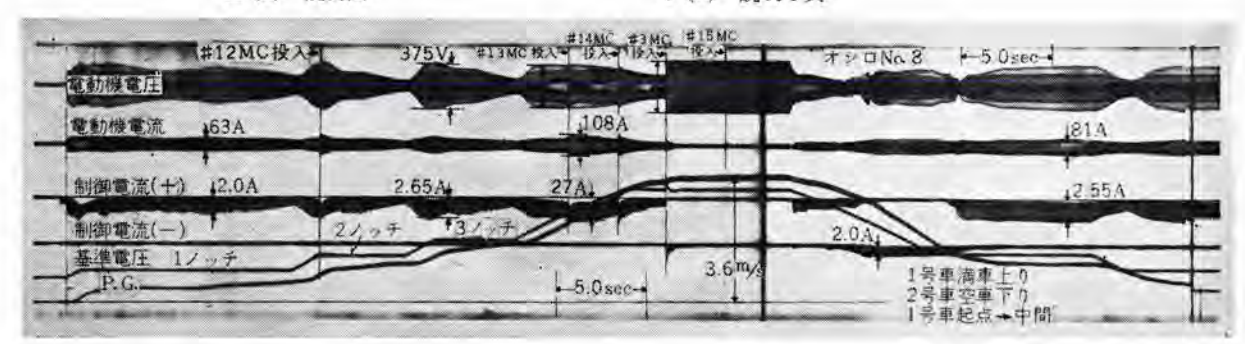


▲ (a) 説明図

図 5.1 指令速度と搬器速度の関係

Fig. 5.1 Relation between program-speed and Rope-Way speed.

▼ (b) 説明写真



また減速のときに逆 トルク 制動をかけているが、逆トルク制動のときは速度の速いおそいに関係なく二次抵抗を全部入れている。 すなわち逆 トルク 制動のときは SCR 増幅器 SA2 の出力が出る ので、この出力電流を検出して二次抵抗短絡用のコンタクタ を全 部 off にしている。

5、保安装置

5.1 速度チェック回路

ロープウェイでは搬器の速度が、たとえば 1 ノッチ 0.5 m/sec, 2 ノッチ 1 m/sec, 3 ノッチ 1.8 m/sec, 4 ノッチ 3.6 m/sec と決められている場合に、各 ノッチ の速度を チェック して正しく運転されているかを知る必要がある。速度 チェック は主として速度開閉器、リミットスイッチ などの機械的な開閉により行なっているが、速度を電圧に変換して (PG 電圧)、トランジスタサイパックを動作させる無接点開閉も併用して安全性を高めている。停留所に近づいたとき規定の位置において規定以上の速度になっていたら、主電源を切って ロープウェイを停止させる。

5.2 上限下限チェック回路

前記速度 チェック 回路のほかに規定速度に対する上限,下限の チェック を行なって加速,減速の状態を チェック する・ロープウェイ は円滑な加速,減速が必要であるため電動式基準電圧装置により速度指令を図 5.1 の A 曲線のごとく与えている。これに対して速度も A の曲線と同じになれば問題はないが実際には加速中には基準速度より遅れて運転され、減速のときは逆に基準より早い速度で運転される。上限,下限 チェック 回路は基準の速度に対して速度の遅れまたは進みが極端にならないように、すなわち基準に対する速度の上限または下限を チェックする回路である。

図5.1においてAの指令速度に対して客車の速度はBおよびCのように加速中は遅れ、減速中は進んでいる。上限、下限 チェック回路は トランッシスӽサイパックにより構成されていて、基準Aと客車の速度BまたはCとの差が大きくなったとき ロープウェイ に停止指令を与える。回路の構成は前4.3節で述べた トランッシスӽ 式比較増幅器と同じで動作原理もほとんど同じである。

電動式基準電圧の出力(+)と PG 電圧(-)の差を検出している. 上限,下限の幅は任意に調整ができる. 大体 10% にしている.

5.3 その他の保安回路

ローラウェイの保安装置としては過速防止用の 120% オーバスピードリレー, 低電圧 リレー, 過負荷 リレー などを設けて常に運転状態が最

適であるか チェック している。そして一つでも悪い条件になるといずれの場合も安全側に動作する停止指令を出して運転を停止させる。

6. コンデンサブレーキ装置

誘導機のコンデンサ自励現象を利用して誘導電動機を発電機にし、発生電力を抵抗を通して消費させ制動を行なう装置である。電動機の一次側を電源から切り離して、これに適当な容量のコンデンサを接続すると電動機は残留磁気により微弱な電圧を発生しているからコンデンサには微弱な進み電流が流れ、この電流が電動機の励磁電流となって磁束を増す。その結果誘導電動機の端子電圧は上昇してゆく。この発生電圧(電力)をコンデンサと並列に接続した外部抵抗器により熱消費すれば電動機には制動力が発生してその速度は低下してくる。

この原理を応用したいわゆる コンデンサブレーキ は高速においては 制動 トルク が大きいので ロープウェイ では制動距離を短くすること ができる。この ブレーキ 装置の特長は機械的な摩耗部分がないこと,また運転中電源が停電したときにも動作するので他の電気的な ブレーキ (DC, AC ダイナミック 制動,逆 トルク 制動など) に比べて非常に有利である。図 6.1 はコンデンサブレーキ 装置の接続図である。

電磁接触器 MC_0 により電動機に電圧が印加されているときは MC_1 は、パック 接点を開いて コンデッサ C と抵抗 R を一次回路から 切り離している。 リアクトル 制御の ローブウェイ では コンデッサブレーギ は 非常停止の場合に使用しているので、非常の場合 MC_0 、 MC_1 は の所 になる。 したがって電源は切れて コンデッサ と抵抗が電動機の 一次回路にそう入されると同時に二次回路は短絡されて、いわゆる コンデッサブレーギ がかかる。 運転者の熟練にたよる二次抵抗制御の ロープウェイ では コンデッサブレーギ を簡単な速度制御のためにも使うことができる。 図 6, 2 は コンデッサブレーギ を付けた場合と付けな

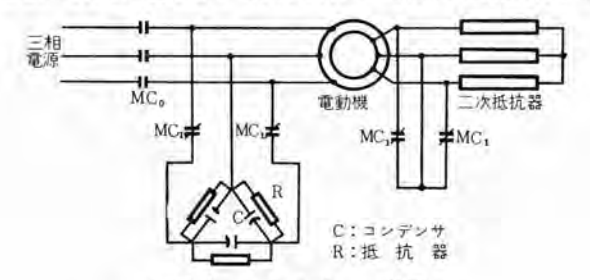
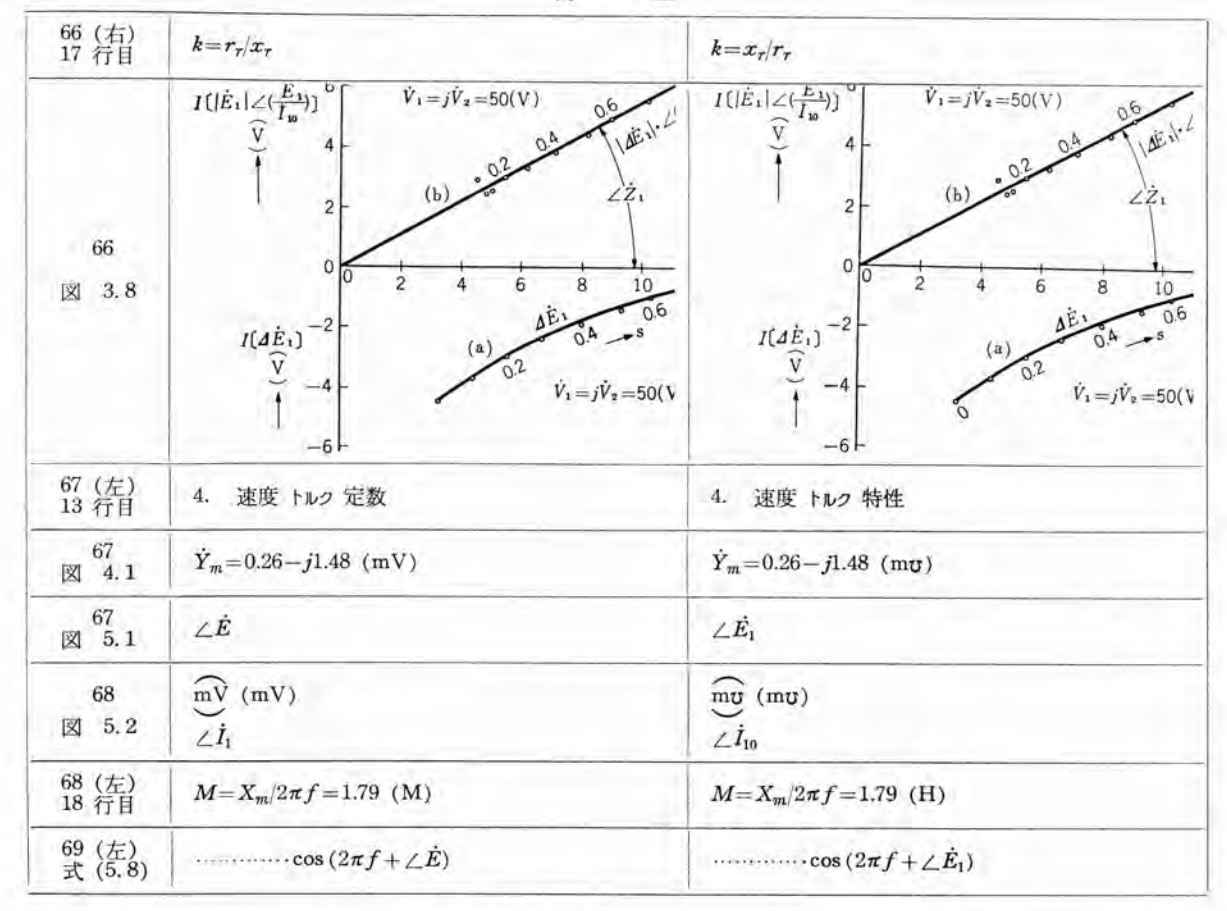


図 6.1 コンデンサ ブレーキ 装置 Fig. 6.1 Condensor braking device.



本誌 Vol. 37 · No. 3 「小形吸収式調湿機」のうち誤を下記のように訂正いたします.

ページ	誤	ΙE		
91 (左) 38 行目	Pa: 大気圧 (=10332) (m)	Pa: 大気圧 (10332) (kg/m²)		

本誌 Vol. 37・No. 3 「金属の造塊時における超音波印加の影響」のうち誤を下記のように訂正いたします。

ページ	誤	Œ
3 図 2.1	(Sus27)	(SUS27)

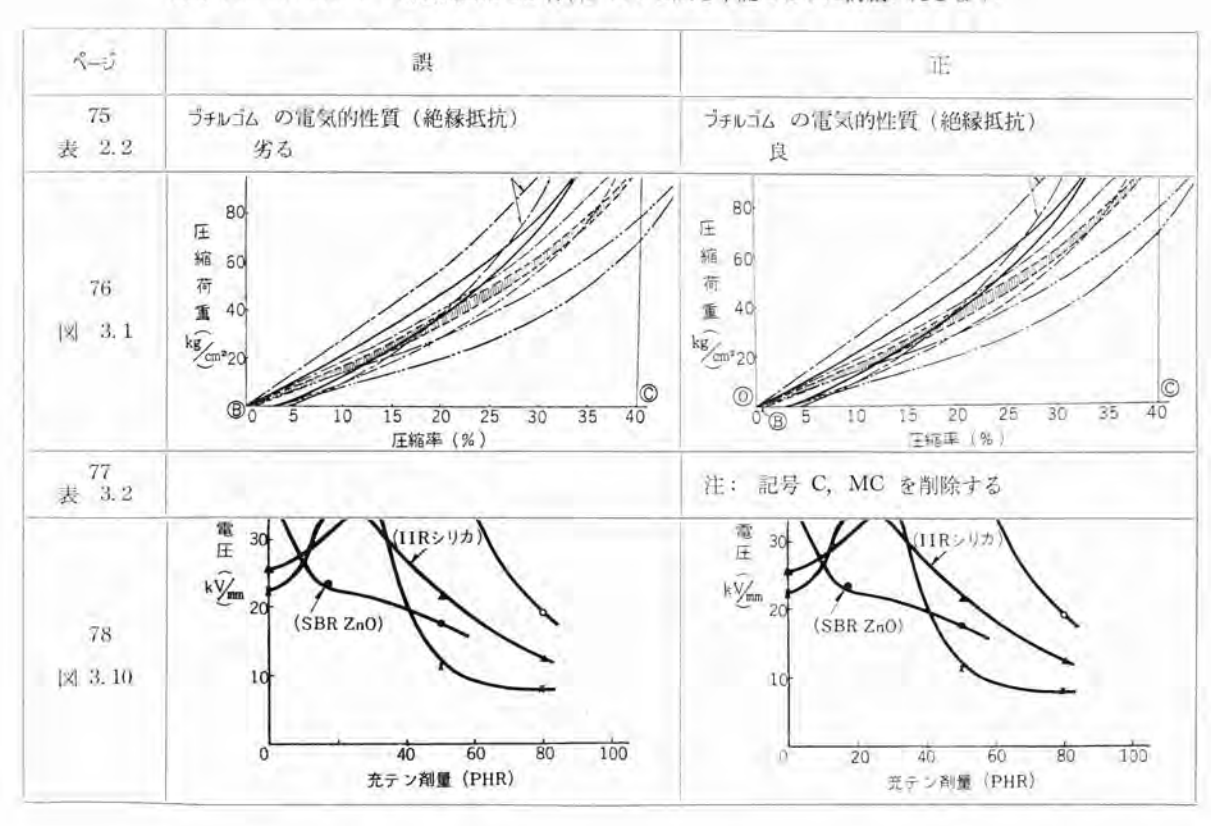
本誌 Vol. 37・No. 3 「電気機器用接着剤」のうち誤を下記のように訂正いたします.

ページ	誤	正
67 (左) 37 行目	界面力張	界面張力
68 図 3.3	1-位汚なし	1-汚染なし
71 図 3.18	線量 (Rad)	線量 (Rad) log

本誌 Vol. 37・No. 3 「網目構造をもつ高分子における分子鎖 セグメント の易動性分布 のうち 誤を下記のように訂正いたします.

ページ	設	ΠE
50 (右) 9 行目	結合点にのみは働くと	結合点にのみ働くと
51 (左) 式 (2.2)	$-\Delta v = a n \frac{\rho}{\rho_0}$	$- \mathcal{A}v = aln \frac{\rho}{\rho_0}$
51 図 2.2	····polydimethy siloxane.	polydimethylsiloxane
51 図 2.3	鉄の分布	鋭い分布
53 (右) 2 行目	ライアント	ライアンス
54 × 3.7	粘弾性的な抗抗	粘弾性的な抵抗
55 (左) 21 行目	見られ, 束縫を	見られ、束縛を
55 (左) 31 行目	傾斜はゆるやかになる	傾斜は急激になる

本誌 Vol. 37・No. 3 「電気機器用 Jム 材料」のうち誤を下記のように訂正いたします。



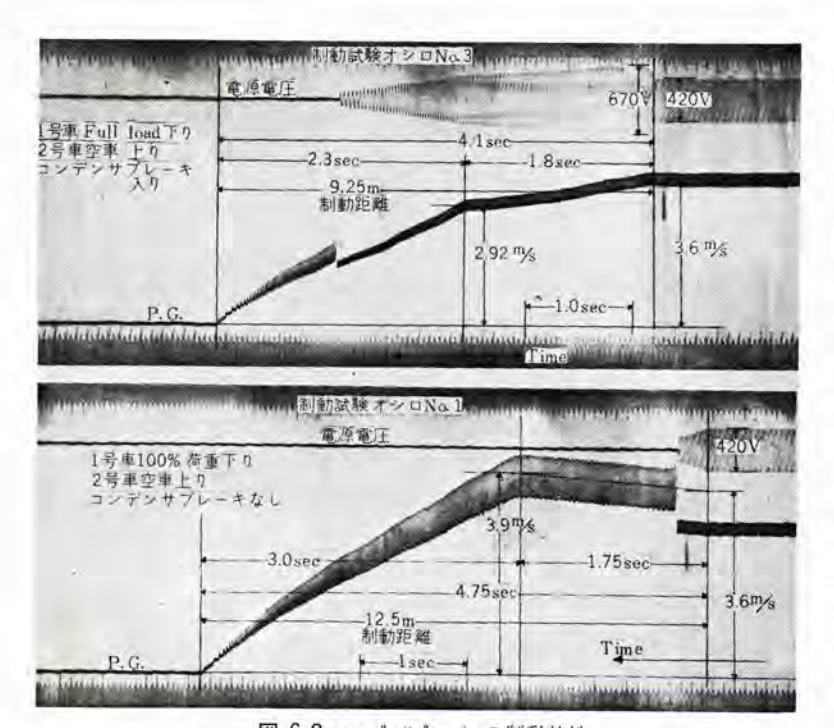


図 6.2 コンデンサブレーキ の制動特性 Fig. 6.2 Braking test of condensor braking device.

い場合の制動特性を示した図である.

7. t: t v

リアクトル 制御 ロープウェイ は制御回路のほとんどに トランジスタ などの半導体を取り入れて、従来の接点式制御に比べて小形化、無接点化されただけでなく、より高度な自動制御を行なうことができた。ロープウェイ の制御装置にはいくつかの調整する回路があるが、トランジスタサイパック の使用により調整は簡単になり取り扱いやすくなっている。

今までに 10 台余りの リアクトル 制御の ロープウェイ を製作してきているが、1 台ごとに新しい技術が取り入れられ、だんだんと改良され、より高度の制御装置が安価でできるようになった。

以上、ロープウェイ における リアクトル 制御ならびに自動運転方式 について概要を説明したが、特長をまとめると大要次のようになる。

(1) 安全である.

- (a) 可飽和 リアクトル, トランジスタ, SCR などにより自動制御 されているので、負荷の大小にかかわらず、コントローラ の ノッチ に相当した一定の速度で運転できる。
- (b) 電動式基準電圧装置,その他,トランジスタ 回路により速度曲線が プログラム されているので,運転者の操作いかんにかかわらず一定の速度曲線で自動的に運転される.

- (c) 制動は常時、リアクトル 制御による電気制動で行なわれるので機械的制動機は摩耗することなく、常に正常な状態に保たれており、非常停止の際は常に確実に動作する。さらにコンデンサブレーキを併用しているので、最も短時間に安全に停止する。
- (d) 速度の チェック 回路, 自動制御回路の チェック 回路, その他保安回路が完備しているので, わずかな狂いでも自動的に検出し, 運転を停止させる.
- (e) 制御回路は トランジスタ により無接点, 静止化されているので接点の接触不良などによる誤動作がなく動作の信頼度が高い.
 - (2) 性能がよい (乗りごこちがよい)

安定な自動制御回路により制御されているので、 常に一定の速度曲線で運転するとともに円滑な加速、 減速が行なわれ、搬器の動揺ならびに変速時 のショックがなく、乗りごこちがよい。

- (3) 保守が容易である.
- (a) 電動機は誘導電動機であるので, 直流 電動機や,整流子電動機などに比べ,はるかに保守が簡単である.
- (b) 制御回路の主要部は可飽和 リアクトル, SCR, トランジスタ など半永久的の寿命をもった静止機器からなっているのでほとんど保守を必要としない.
- (4) 経済的である.

リアクトル 制御は直流電動機の ワードレオナード 制御と同程度の性能をもっているが、誘導電動機を使用しているので、はるかに安価にできる。

参考文献

- (1) 佐藤・吉田: ロープウェイ の リアクトル 制御 「三菱電機」 33 No. 5 (昭 34)
- (2) 吉田・酒井・宮: トランジスタリレー 制御方式 「三菱電機」 34 No. 12 (昭 35)
- (3) 吉田: トランジスタリレー 制御方式とその応用 「電子技術」 3 No. 6 (昭 36)
- (4) 吉田・高岡・川合: シワコン 制御整流素子による電動機制 御「三菱電機」 36 No. 5 (昭 37)
- (5) 吉田: SCR の交流電動機制御への応用 『三菱電機技報』 37 No. 5 (昭 38)
- (6) 吉田・梶野: SCR の小容量直流電動機への応用 「三菱電機技報」 37 No. 5 (昭 38)

ダイオードトランジスタ NOR-OR 素子

中塚正三郎*· 童 井 芳 昭*· 松 原 要*

Diode Transistor NOR-OR Element

Research Laboratory

Syōzaburō NAKATSUKA · Yoshiaki TSUBOI · Kaname MATSUBARA

Diode-transistor NOR-OR circuitry functioning OR-NOT-OR has been developed as a logical element having a short propagation delay at high fan-out levels for use in a high speed digital computer. The NOR-OR is a diode-transistor NOR followed by an emitter-follower output stage, which is used as an OR-gate. This article outlines the design method and also discusses in detail important factors in the design. It also touches on a test circuit for NOR-OR operation and a delay element used for it.

1. まえがき

抵抗とトランジスタによる論理素子 NOR は、回路構成が比較的簡単で信順度も大きいので、現在工業制御方面にかなり実用されている。しかし高速動作を必要とする計数形電子計算機の論理素子としては、動作速度の点で不十分なので、OR ゲート 回路に抵抗の代わりに ダイオード を用いた ダイオードトランジスタ NOR が用いられる。ここで紹介する NOR-OR は、さらに高速で動作をする論理素子を目的として研究試作したもので、ダイオードトランジスタ NOR の出力を エミッタフォロア で増幅することにより高速動作とともに大きい FAN-OUT および FAN-IN を得ている。NOR と同様に、ただ1種類の素子ですべての論理回路を構成することができる。さらに、OR の機能を利用することにより NOR の場合より少ない素子数で論理回路を構成することが可能である。

以下に NOR-OR の動作原理および設計法の概要を述べ、次に設計に際し問題となる点、考慮しなければならない点としてトランジスタの動作点、電源電圧の決定あるいはパルス 入力に対する応答などについて述べる。最後に、NOR-OR の動作試験を行なうために構成した論理回路について簡単に説明する。

2. ダイオードトランジスタ NOR-OR 回路

2.1 回路構成および特長

ダイオードトランジスタ NOR-OR は図2.1 に示すように、ダイオード による OR ゲート の出力をトランジスタ TR1 で反転増幅し、それをさらに エミッタフォロア TR2 で電流増幅して送り出す方式である。2 段増幅を行なっているので FAN-OUT を大きく、スイッチング 速度を早くすることができる。TRI には比較的電流容量は小さいがシャ断周波数の高い PNP 形 スイッチング用トランジスタ を用い、TR2 に

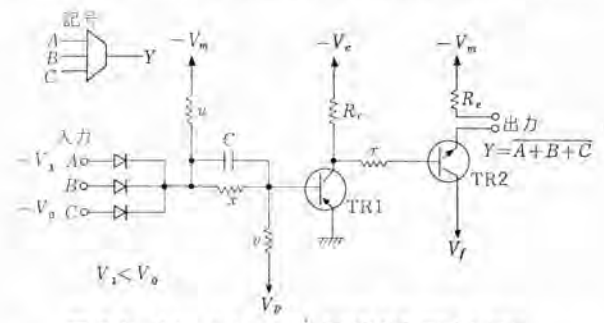


図 2.1 ダイオード トランジスタ NOR-OR 回路と記号 Fig. 2.1 Circuit and symbols of diode-transistor NOR-OR.

は電流容量および コレクタ 許容損失が大きく シャ 断周波数の高い シリコンメサ あるいは プレーナ 形 トランジスタ を用いる.

論理条件電圧は、TR1 が導通時の出力 $-V_1$ を "1" に、5+ 断時の出力 $-V_0$ を "0" に対応させる。入力が一つでも "1" のときはその ダイオード が導通し ダイオードゲート の出力はほぼ $-V_1$ となり TR1 は逆 パイアス に保たれ 5+ 断されている。各入力がすべて "0" になれば ダイオード は全部 5+ 断され、TR1 の 7- スから抵抗 x および x を通り 7- ス電流が流れ TR1 は導通し飽和状態になる。

Iミッタフォロア TR2 は電流増幅とともに、図2.2に示すように他の NOR の Iミッタフォロアと Iミッタ 負荷抵抗を共通にすることにより OR デート を構成することができる。このため TR2 には NPN 形が必要だが、単に Iミッタフォロアとして動作する場合でも 消費電力および負荷との結合損失の点で NPN 形を用いた方が有利である。

2.2 論理要素としての NOR-OR

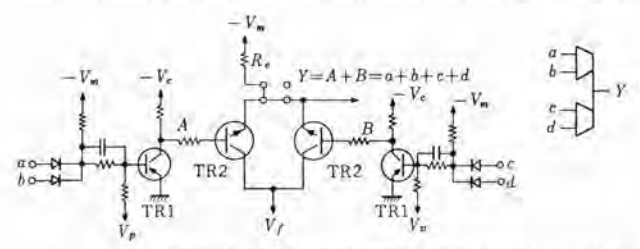
NOR-OR は単独で用いる場合には NOR として動作する。たとえば図 2.1 において入力 A,B および C と出力 Y の関係は、

$$\overline{Y} = A + B + C = \overline{A} \cdot \overline{B} \cdot \overline{C} \cdots (2.1)$$

で示される。NOR による論理回路の構成についてはすでに述べられているので $^{(1)(2)}$ ここでは NOR-OR の場合について、2 進数に対する全加算回路を例に簡単に説明する。まず2 進数 A と B および前段からの f2 上げ信号 C に対する和 S は

$$S = A \cdot B \cdot C + A \cdot \overline{B} \cdot \overline{C} + \overline{A} \cdot B \cdot \overline{C} + \overline{A} \cdot \overline{B} \cdot C$$

で示される。これを NOR-OR に適するように変形するには論理 和で結ばれた各項について NOR と同様な変形を行なうだけでよ



注;この棒結によって得られる論規議算は上側出力端子に記したとおりで 従来の情報的に用いられている記号を用いて表わせは下側のと辿りであり まったくこれと等値である。

図 2.2 エミッタフォロア による OR ゲート Fig. 2.2 Emitter-follower OR gate.

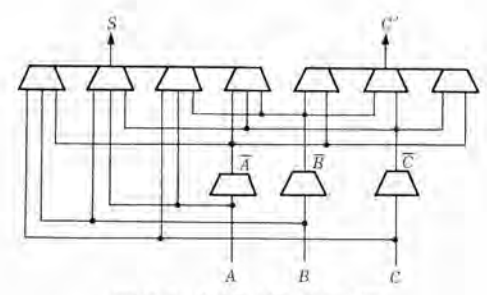


図 2.3 NOR-OR 全加算器 Fig. 2.3 NOR-OR full adder.

い. そして各項の NOR に対する出力を NOR-OR の OR によ り合成する. すなわち

$$S = \overline{A \cdot B \cdot C} + \overline{A \cdot B \cdot \overline{C}} + \overline{\overline{A \cdot B \cdot C}} + \overline{A \cdot B \cdot C}$$

$$= \overline{A} + \overline{B} + \overline{C} + \overline{A} + \overline{B} + C + A + \overline{B} + C + A + B + \overline{C}$$
.....(2. 2)

となる。同様にして次段に対する fg 上げ信号 C' は

$$C' = A \cdot B + B \cdot C + A \cdot C = \overline{A \cdot B} + \overline{B \cdot C} + \overline{A \cdot C}$$

$$= \overline{A \cdot B} + \overline{B \cdot C} + \overline{A \cdot C}$$
(2.3)

 $= \overline{A} + \overline{B} + \overline{B} + \overline{C} + \overline{A} + \overline{C} \qquad (2.3)$

で求められる. 式 (2.2) および式 (2.3) に対する結線図を図 2.3 に示す:

3. 設計法の概要

設計は、1段目の入力ゲート回路と1段目のコレクタ回路からエミッタフォロア段までとに分けて考える。回路定数の決定はおもに直流動作条件をもとにして行なう。

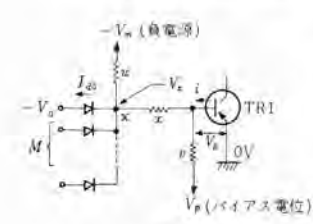
3.1 直流動作条件

まず図3.1および図3.2に示す NOR 入力 f-ト 回路と TR1 の f-ス 回路までを考える。 TR1 が導通 f-ス の場合は、図f-ス から

が成立する. また TR1 が 5+ 断のときは図3.2 に示す回路から

$$\frac{V_p - V_f - I_0 v}{v} = \frac{V_f + V_d + V_1}{x} \quad(3.2)$$

$$\frac{V_f + V_d + V_1}{x} + id - (M-1)I_{d1} = \frac{V_m - V_1 - V_d}{u} \cdots (3,3)$$



M : 入力端子数 V₀ : 条件 "0" に対する電圧(絶対値) V_x : 図中, X 点の電位 (絶対値) V_b : TR1 のペースエミッタ間の電圧 I₁₀ : 入力が − V₀ のときのダイオー

ドの漏れ電流 i : 得通時のベース電流 u, v: および x: 抵抗

図 3.1 TR1 が導通時の回路定数 Fig. 3.1 ON-state equivalent circuit for TR1.

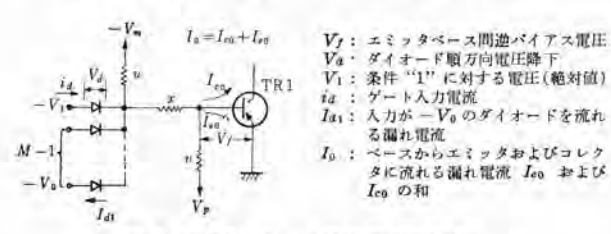


図 3.2 TR1 が シャ 断時の回路定数 Fig. 3.2 OFF-state equivalent circuit for TR1.

が成立する。これらの式をu, v およびx について解けば2次式の根として2組の解が求められるが、安定度の点から常に大きい方の解をとる。

一方、式 (3.1)、(3.2) および (3.3) を i, V_f および i_d について解き、各 パラメータ が最悪条件になった場合を求めれば

$$\underline{i} = \frac{1}{x + \overline{u}} (\underline{V}_m - \overline{V}_b + \underline{M} \underline{I}_{d0} \overline{u}) - \frac{\overline{V}_p + \overline{V}_b}{v} \quad \dots \dots \dots (3.4)$$

$$V_f = \frac{1}{x+\overline{v}} \{ \underline{x} (\underline{V}_{\overline{v}} - \overline{I}_0 \overline{v}) - \overline{v} (\overline{V}_1 + \overline{V}_d) \} \quad \cdots \cdots (3.5)$$

$$\widetilde{I}_{d} = \frac{\overline{V}_{m} - V_{1} - V_{d}}{\underline{u}} + (\overline{M} - 1)I_{d1} - \frac{V_{p} + V_{d} + V_{1} - \overline{I}_{0}\overline{v}}{x + \overline{v}}$$

となる. ここで記号の上に線を入れたものは最大値,下に線を入れたものは最小値を表わす. 式 (3.4), (3.5) および (3.6) から, 回路定数が変動した場合の ベース 電流,逆 パイアス 電圧および ゲート 入力電流の変化を検討することができる.

$$\underline{V_0} > \overline{V}_x = \frac{\overline{V}_b u + \overline{V}_m x + \overline{MI_{d0}} \overline{x} u}{x + u} \qquad (3.7)$$

が成立しなければならない。

次に、図3.3に示す回路条件および $\sqrt{-2}$ 電流の最少値 i から、TR1 が飽和を保つためには次式が満たされなければならない。

$$\underline{i}\,\beta_1 \ge \frac{\overline{V_c - V_s}}{R_c} + \frac{(\overline{I_L}R_c + V_m) - (V_s + V_{c1})}{\beta_2 R_c + r} \quad \dots \dots \dots (3.8)$$

図 3.4 に示す TR1 が 5+ 断時の回路条件から V_0 が求められる。 B_2 が非常に大きい場合は V_0 は最小となり

$$V_0 = V_c + V_{e0} \cdots (3,9)$$

となる。式 (3.7) および (3.9) より TR1 の $_{3 \cup 99}$ 電源電圧 $_{-V_0}$ について

$$V_c \ge \overline{V_x} - V_{e0}$$
(3.10)

が成立しなければならない。 V_c が決定すれば式 (3.8) から R_c の最小値が計算される。

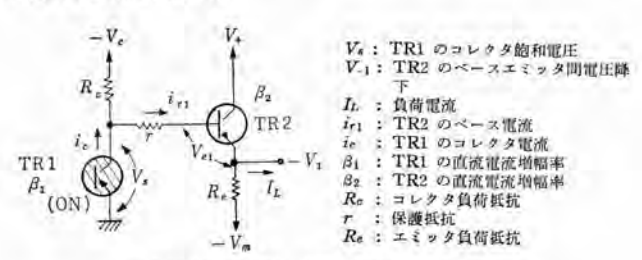


図 3.3 TR1 が導通時の出力回路 Fig. 3.3 ON-state equivalent circuit for output stage.

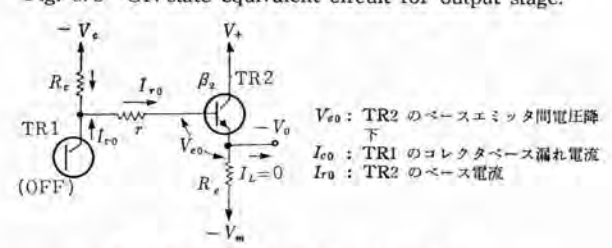


図 3.4 TR1 がシャ 断時の出力回路 Fig. 3.4 OFF-state equivalent circuit for output stage.

3.2 入力回路定数の決定

入力 f-h 回路は、各回路定数、電圧などの変動による最悪条件のもとでも n-2 電流が設定値以上になること、および b+ 断状態の n-2 電位が雑音電圧の影響を受けない程度に逆 n-2 に保たれることを目標に設計する.

入力回路の抵抗 u,v および x は、電源電圧 V_m,V_p , FAN-IN 数 M, ヴィオード および I_5 ンジスタ の特性から V_1,V_b,V_a,I_{do} , I_{d1} および I_0 の各中心値が与えられた場合、これ以外に i, V_f および i_a がわかれば式 (3.1), (3.2) および (3.3) を解くことにより計算される。しかし i, V_f および i_a は中心値より最悪条件における値 i, V_f および i_a の方が問題になる。i は TR1 の動作点すなわち コレクタ 電流と B_1 の最低値 B_1 から与えられる。 i_a は TR2 の最大 I_2 による電流と最大 FAN-OUT 数によって決定される。また V_f は 4.2 節で述べる雑音電圧から決定される。

 V_f および i_a を一定にして i と i の関係を調らべると、図 3.5 の例に示すように i には最大値が存在し、ある程度以上 i を大きく選んでも最悪条件における値 i は逆に減少する。この i の最大値を i_{av} (avairable i) とする。さらに i を大きくすれば式(3.1)、(3.2) および (3.3) の解 u, v および x が (正数では) 存在しなくなる。以上の繰り返し計算の途中でトランジスタおよび g イオードの動作点が最初の設定値からずれれば新しい動作点に対し n ラメータを適当に修正する。

入力回路での損失をできるだけ小さくするため、i は i が最大になる点の値すなわち i_{av} に対応する i を設計中心値として選ぶ i_{av} が TR1 に必要な $\stackrel{\sim}{\sim}$ 電流の最低値より大きければ i_d $(\overline{i_a})$ を小さくして設計しなおすか TR1 の電流増幅率の最低値 β_l を

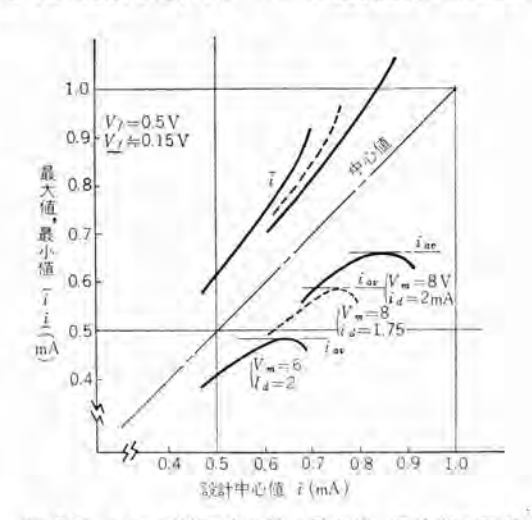


図 3.5 ベース 電流の中心値と最大値, 最小値の関係 Fig. 3.5 Relation between design center value and worst case values of base current.

さらに小さいところまで許すように変更する。また i_d , β_l はそのままにして、偏差内に納めるのが一番苦しい パラメータ の許容変動幅を広げることも考えられる。

以上の過程により回路定数が決定すれば式 (3.7) から V_x が定まり、したがって V_0 の値が決定される。 V_x は V_m および i によって変化するので上述の動作点の決定過程では V_x についても同時に検討を加えながら計算を進めなければならない。なお、回路定数の決定にあたっては抵抗 u,v および x を標準抵抗値の中から選ぶことを一つの条件にすることも考えられる。

以上のように、計算による cut and try によって入力回路の定数の最適化を行なうが、これらの計算はすべて計数形電子計算機によって半自動的に行なわせるよう プログラム を作成することができる。

4. 動作点の解決にあたって考慮するべき点

4.1 トランジスタの動作点および特性のバラツキ

TR1 は スイッチングモード で用いられるので、シャ 断周波数(または fr)の高いこと、少数 キャリヤ 蓄積時間の短いこと、飽和時のエミッタコレクタ 間の電圧降下の小さいことなどが大切である。 PNP 形で超高速 スイッチング に適するものとして MADT 形(Micro Alloy Diffused Transistor)および エピタキシャルメサ 形の ゲルマニウムトランジスタ がある。 TR2 は飽和することがないので、コレクタ 損失が大きく シャ 断周波数の高い シリコンメサ あるいは ブレーナ 形のトランジスタ を用いる。

トランジスタ および ダイオード の動作点は、以下に示す点に留意し適 当な数の サンプル についての測定結果をもとに決定する。

- (a) ダイオード の順方向電流対電圧降下 (Va)
- (b) トランジスタ の エミッタ電流対ベースエミッタ間電圧降下 (V_b, V_{e1}, V_{e0})
- (c) トランジスタ および ダイオード の漏れ電流 (Ico, Ieo, Idt, Ido)
- (d) トランジスタ TR1 の飽和付近における直流電流増幅率 (B₁) 飽和時の コレクタ 電圧 V₈ の値によって大きく変化する. 最低値 B₁ を決定するためには B₁ の分布を調べる必要がある.

以上の値は温度によって変化するため温度特性を測定すること も必要である。温度特性の傾向は、同一品種のトランジスタ であれ ば個々による パラッキ は少ないので少数の サンブル に対する測定で 十分である。

- (e) コレクタ 電流対 スイッチング 速度; コレクタ 電流と ベース 電流 の比を一定にし ても, コレクタ 電流の大きさで スイッチング 速度はかなり変化する.
- (f) コレクタ 電流対 B および fr; コレクタ 電流の値により B および fr は変化する.
- (g) TR1 の コレクタ 抵抗 (コレクタ 電流) および TR2 の エミッタ

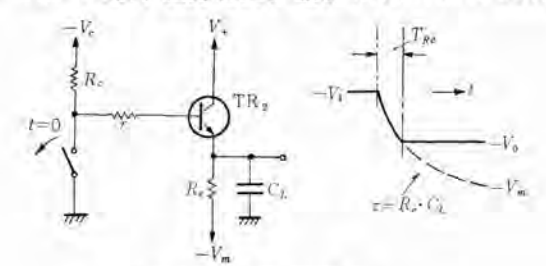


図 4.1 容量負荷の影響 Fig. 4.1 Capacitive loading.

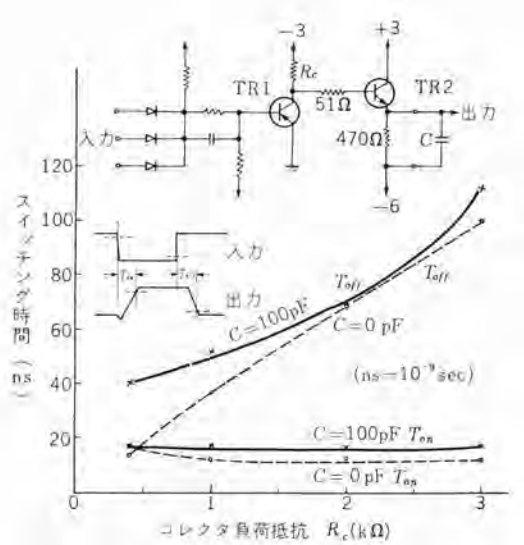


図 4.2 コレクタ 負荷抵抗と スイッチオフ 時間の関係 Fig. 4.2 Collector load resistance vs switching off time.

抵抗 (エミッタ 電流) と スイッチング 速度の関係

図 4.1 に示す回路で、t=0 に χ イッチ が シャ 断された場合 TR2 の χ エミッタ 回路の応答を考える。 TR2 自身の応答が χ エミッタ 回路の時定数 χ に比べ十分短いときは χ エミッタ の 応答が遅れるため χ の間 TR2 は シャ 断され、 χ がきれる 時間は χ によって決定される。 ここで χ は

$$T_{Re} = R_e C_L \ln \frac{V_m - V_1}{V_m - V_0}$$
(4.1)

で計算される。一方、負荷容量 C_L が十分小さくて、TR2 が常に活性領域で動作する場合は、 h_{525239} の特性および回路条件によってきまる応答をする。等価回路から出力の応答を計算することはできるが Explicit に Z_{19525} 時間を求めることはできない。 $\mathbf{Z}_{4.2}$ に R_c と出力の Z_{19545} 時間の関係についての実測例を示す。

(h) TR2 の エミッタ 電流の最大値; これは Re によってきまる無負荷時の電流と負荷電流 IL の和である. この最大値は TR2 の許容 コレクタ 損失,電流の増大による B および fr の低下, ペースエミッタ 間電圧降下の増加および電流の増加による スイッチオン 時間の増大によって制限される.

4.2 雑音電圧

外部から電源回路を通じてあるいは配線に直接誘導する雑音電圧は、適当な フィルタ あるいは装置の シャヘイ によって除くものとして、ここでは信号線間の静電容量 および相互 インダクタンス によって誘起される雑音電圧について考える。誘導雑音の大きさは図4.3 に示す回路で負荷抵抗、配線の長さ、および配線の線種を変えて実験的に求める。 TRI の シャ 断時の逆 パイァス V_f を決定するためには、パイァス 電源 V_r を変化させ出力に雑音波形がちょうど出はじめる点の $^{-}$ ス電位を測定する。

4.3 条件電圧,電源電圧

"1"に対する V_1 の値は図3.3からわかるように、TR1 の飽和電圧と TR2 の 4-21209 間電圧降下の和 V_2+V_{e1} によってほぼきまる。一方"0"に対する V_0 の値は、3.1節の式(3.7)に示したように TR1 が導通時に入力 4-1 の 4-1 が 5+1 断されることおよびこれに雑音電圧に対する 2-50 を考えて決定する。

電源電圧は他の回路と共用することを考えなければ、比較的自

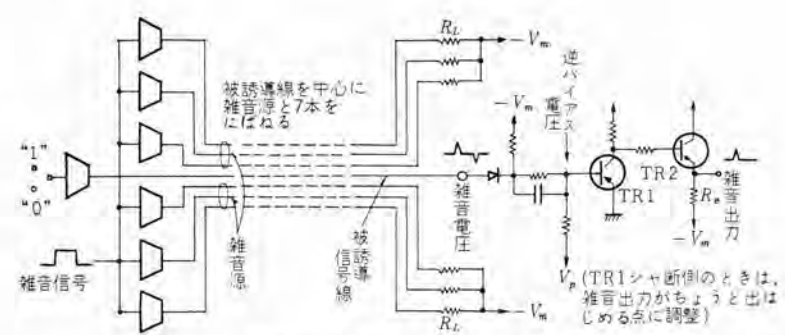


図 4.3 誘導雑音の測定回路 Fig. 4.3 Circuit for noise measurements.

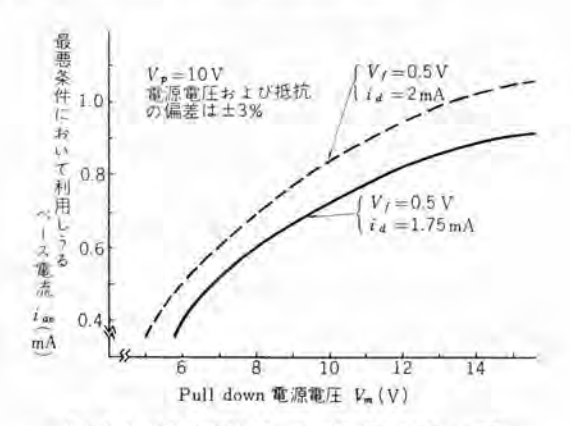


図 4.4 電源電圧 V_m と最悪条件において利用しうるベース 電流の関係 Fig. 4.4 Pull down voltage, Vm, vs available base current at the worst case.

由に選ぶことができる。

- (a) 遊 パイアス 電源 V_n ; 定電流源に近くした方が、 i_{av} を大きくできるが (V_0+V_f) の 10 倍以上にしてもあまり効果はない。
- (b) Pull down 電源 V_m ; 入力電流 i_a を一定にした場合, V_m を大きくすれば i_{av} は増加するが同時に V_a も大きくなるため条件電圧の レベル 差が大きくなる。 図 4.4 に V_m と i_{av} の関係の一例を示すが,この場合は $V_m>15$ V では飽和しはじめている。また $V_m<6$ V では i_{av} は急激に減少している。したがって,レベル差と必要な ベース 電流とのかねあいを考えなければならない。また V_m は所要電源の数をへらすため TR2 の TS=09 電源と共用しているためこの点についても考慮しなければならない。容量性負荷がある場合,スイッチわ 時間は式 (4.1) に示すように V_m が大きいほど短くなる。しかし レベル 差 V_0-V_1 の 2 倍以上にしても,TS=09 負荷抵抗で消費する電力が増加する割には改善効果は上らない。
- (c) TR1 の コレクタ 電圧 Ve; Ve は式 (3.10) に示した条件にさらに雑音電圧に対する マージン AV から決定される. すなわち

(d) TR2 の $3\nu 29$ 電圧 V_+ ; V_+ は TR2 の $I_e - V_{eE}$ 特性曲線から決定される。 $3\nu 29$ 損失を小さくするため V_+ はできるだけ低い方がよいが, $12\nu 9$ 電流が最大になったとき電流増幅率 B_2 が大きく低下しない程度にしなければならない。また $12\nu 9$ 電流が大きなところでは, V_{eE} が低いと f_T がかなり低下するから $3\sqrt{1979}$ 時間の点からも検討する必要がある。

5. パルス入力に対する動作の検討

5.1 スイッチオン時間とスイッチオフ時間

TR1のスイッチオフ時間は、加速コンデンサの値を十分大きく選ぶことによりほぼ入力波形と同程度のスイッチオフ時間にすることができる。したがって、出力のスイッチオフ時間は4.1節(g)で述べたように TR2のエミッタフォロアの応答によってきまる。

スイッチ おい 時間は出力が無負荷の場合, TRI の立ち上り時間 たってほぼ制限される. た はごく近似的に

$$t_r=(1/\omega)(I_c/I_B)$$
 で表わされる。ここで $\omega=2\pi f_T$ 、 $I_c={
m TR1}$ の飽和時の $3\nu g_S$ 電流である。正確には、 I_c は過渡時の ${
m TR2}$ の ${
m TR2}$

流、 $I_B=\sqrt{-3}$ 電流である。 止催には、 I_c は過級時の $I_R 2$ の $\sqrt{-3}$ 電流が加わるため直流的な $2 \log 2$ 電流よりは多少多くなる。 I_B は加速 $2 \log 2$ でと x および u の並列抵抗による時定数が T_r の 2 倍以上であれば時間的に一定と考え次式より計算する。

$$I_B = \frac{V_m}{v} - \frac{V_p}{v}$$
(5.2)

これより出力の スイッチオン 時間の最少値はほぼ見当がつくが負荷が多い場合,とくに容量性の負荷の場合は計算で求めることは困難なので実験的に検討を行なうことが必要である.

5.2 加速コンデンサの容量決定

トランジスタ の電荷制御解析法(3)(4)によれば、飽和状態のトランジスタをシャ断するために必要なベース電荷量 Qoff は

$$t_{s} = T_{s} \ln \frac{I_{B} - I_{B2}}{(I_{c}/\beta_{1}) - I_{B2}}$$

$$t_{f} = \beta T_{c} \ln \frac{(I_{c}/\beta_{1}) - I_{B2}}{(0.1I_{c}/\beta_{1}) - I_{B2}}$$

$$(5.5)$$

で表わされる.(3)(4) ここで Ius は シャ 断時の ベース 電流である.

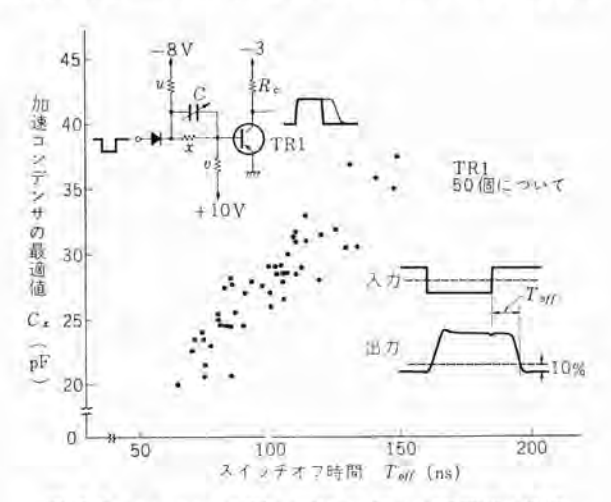


図 5.1 スイッチオフ 時間と加速 コンデンサ の最適値の関係 Fig. 5.1 Switching off time vs optimum value of speed up capacitance.

以上の式より C の値と 27(97) 時間 T_{off} = t_s + t_f との間には 密接な関係のあることがわかる。 B_1 の大きい場合は t_s と T_s および t_f と T_c はほぼ比例すること,また同一品種の 1(5) おれば一般に t_s の小さなものは t_f も小さいこと,および t_f の t_f の影響が比較的小さいことから,図 t_f 5、 t_f 1 の測定例に示すように個々の 1(t_f) と t_f の間にはほぼ比例関係がみられる。図 t_f 5、 t_f 2 の間にはほぼ比例関係がみられる。図 t_f 5、 t_f 2 の間にはほぼ比例関係がみられる。図 t_f 7。 t_f 2 t_f 8 のときの t_f 7。 t_f 2 t_f 8 の値 t_f 2 を力を対した。この方法により図の例では t_f 2 t_f 2 t_f 1 t_f 2 t_f 2 t_f 2 t_f 2 t_f 3 t_f 4 t_f 3 t_f 4 t_f 5 t_f 6 t_f 6 t_f 6 t_f 6 t_f 7 t_f 8 t_f 9 t_f 9 t

適当な サンプル 数について最適値 C_x または T_{off} を測定し、その分布から上限を定め、加速 コンデンサ の容量を決定する。この場合 Q_{off} すなわち C_x は温度の上昇とともに大きくなること、ベース 電流がふえれば大きくなること、および V_1 の値が変化すれば変わることを考えに入れる。 また入力 パルス の立ち上りにも関係するが、これらは個々の トランジスタ による違いが比較的少ないので、少数の サンプル について実験すればよい。 Q_{off} の大きなものは、前段 NOR-OR の出力に対する容量性負荷が増加することになるので、出力の スイッチャン 時間の増加が大きくなる。

5.3 ゲートダイオードのスイッチング特性の影響

ダイオードに順方向 パルス電圧を加えた場合、電流が定常値になるまでに時間遅れが生ずる、ゲートのダイオードに立ち上り特性の悪いものを用いれば、TR1 の スイッチオフ 時に Q_{off} を逃がすのに必要な時間が長くなるため スイッチオフ 速度がおそくなる.

一方,ダイオードのシャ 断時には少数 キャリヤ の蓄積時間が問題になる。いま ダイオードゲート の入力が V_1 から V_0 に階段的に変化して,TR1 が導通になる場合を考える。ダイオード が理想的なものであれば瞬間にシャ 断され,TR1 は入力回路の抵抗および コンデンサ C を通り電源 V_m に流れ込むベース 電流で導通になり,駆動側には関係しない。しかし ダイオード に少数 キャリヤ の蓄積電荷があればベース と駆動側が容量結合されたようになり,ベース 電流は一部駆

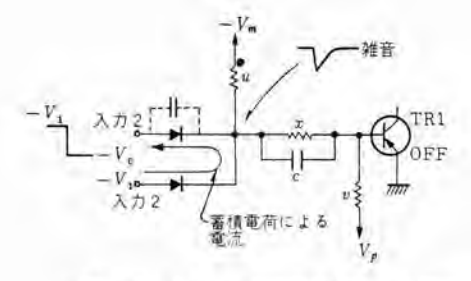


図 5.2 ダイオード の書献電荷による雑音 Fig. 5.2 Noise caused by storage charge of diode.

動側からも供給される。 このため TR1 の スイッチオン 時間は短か くなるが、 駆動側からみれば スイッチオン 時の容量性負荷が増加す ることになる。

次に、図 5.2に示すように一つの入力が V_1 から V_6 に変化し、他の入力は V_1 のままの場合を考える。 ダイオード の蓄積電荷が大きく、また入力 2 の駆動側の インピーダンス が大きいか ダイオード の パルス に対する立ち上り特性が悪いと、 ゲート 出力に雑音電圧があらわれ誤まった出力信号が出るおそれがある。

ダイオードの電極間静電容量は、少数 キャリナ の善積効果と等価な のでできるだけ小さい方がよい。高速 スイッチング 用 ゲルマニウム で は、数 mA 程度の電流域であれば立ち上り特性および電極間容

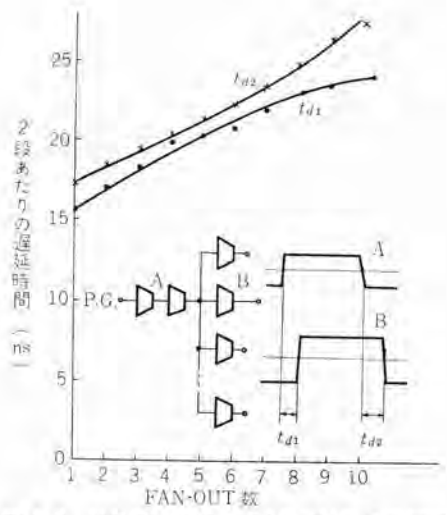


図 5.3 信号遅延時間と FAN-OUT 数の関係 Fig. 5.3 Propagation delay vs FAN-OUT.

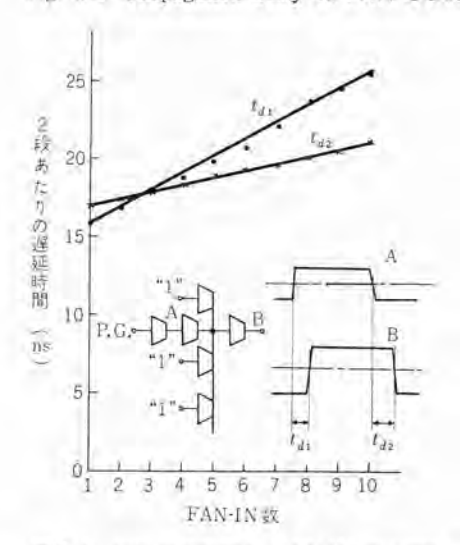


図5.4 信号遅延時間と FAN-IN 数の関係 Fig. 5.4 Propagation delay vs FAN-IN.

量は問題にするほどではないが、少数 ++リ + の蓄積効果は回路の 応答速度に影響を与えるから注意しなければならない。

5,4 FAN-OUT および FAN-IN 数と応答速度

FAN-OUT が大きくなれば、スイッチャン 時間は 5.2 節で述べたように負荷の Q_{orf} により、またスイッチャン 時間は 5.3 節で述べた ヴィオード の 普種電荷によりほぼ負荷数に比例して長くなる。 図 5.3 に スイッチャン および 1 2 時間の代わりに、出力側で測定した 1 2 段あたりの信号遅延時間 (Propagation delay) と FAN-OUT 数の関係を示す。

一方、TR2のエミッタ負荷抵抗を共通にして構成する OR ゲートの FAN-IN 数すなわち共通エミッタの数とスイッチング時間の関係は、ベースエミッタ 間の電極間容量(逆 バイアス における)が OR ゲートの負荷となるため、やはり FAN-IN 数にほぼ比例して スイッチオフ および オン 時間とも長くなる。図 5.4 に FAN-OUT の場合と同様に出力側で測定した2段当りの信号遅れ時間と FAN-IN 数の関係を示す。

6. 遅延素子

NOR 自身は本来非同期式の論理演算素子であるが、入力の一つに同期用の クロック 信号を入れることにより同期式の論理回路を構成することができる。この場合、クロック 信号としてお互いに

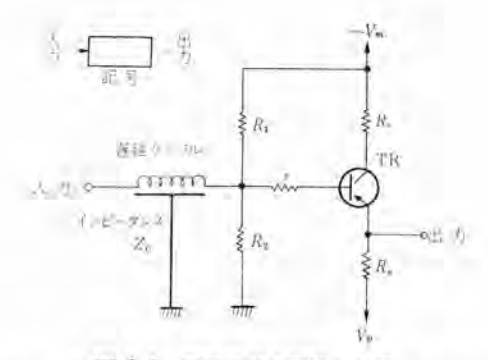


図 6.1 遅延素子の回路と記号 Fig. 6.1 Circuit and symbols of delay element.

位相のずれた2種類のクロック信号を用いる、いわゆるマスタースレーラ (Master-slave) 方式と、ただ1種類のクロック信号と時間遅れ要素 (Delay element) を組み合わせて用いる方式の二つがある。

1 クロック方式の遅延素子は、クロックパルスが入っている間の論理回路の過渡的な不安定さ、レーシング (Racing) を防止するために必要なものである。必要な遅延時間は、クロックパルスの幅および演算素子の信号の遅れ時間によってきまる。後章に述べる回路に用いた素子では約50 ナノ 秒 (50×10^{-9} sec.) の遅延素子を用いている。以下この遅延素子について簡単に説明する。

図 6.1 の回路構成に示すように、信号の遅延には電磁遅延 ケーブル を用いその出力を エミッタフォロア で電力増幅して送り出す。 遅延 ケーブル の インピーダンス 整合は、ケーブル の出力側で R_1 と R_2 の 並列抵抗によって行なわれる。 R_1 と R_2 に分けたのは、入力電流に対する直流的な動作点の都合からだけである。 エミッタフォロア の入力 インピーダンス は R_1 あるいは R_2 に比べて十分大きいので無視しても問題はない。ベース回路の r は、立ち上りの早い パルス に対し エミッタフォロア の出力が リンギング を起こすのを防止するためと、出力を電源などに短絡したときに、トランジスタ を保護するための抵抗である。

7. 動作試験回路

NOR-OR で論理回路を構成し、連続動作試験を行なう目的で図7.1に示す試験装置を組み立てた。つりゅうフロッラ4個のシフトレジスタからなるパターンゼネレータ2組を、同相でお互いに独立で動作させておき、両方のつりゅうフロッラの状態を常に誤動作検出回路で監視する。もしどれかのつりゅうフロッラが誤動作をすれば、誤動作表示 つりゅうフロッラ EO が セット され クロック 信号を止めることにより回路の動作を停止させるとともに、図には示していないが警報回路により ブザーをならす。

リセットボタン を押すことにより、EO フリップフロップが リセット され クロック 信号が送られ回路が動作しはじめる。 リセットボタン を押している間中、一方の パターンセネレータ からの同期信号により他方の パターンゼネレータ が強引に同期され、2 組が同位相になる。

シフトレジスタ の入力信号 FS (GS についてもまったく同じなので以下 FS についてのみ説明する) は

 $FS=F_2\cdot F_1+F_4\cdot F_3\cdot F_2\cdot F_1\cdot (F_4\cdot F_3)$ (7.1) で表わされ、右辺第1項は F_1 と F_2 が"0"のとき、第2項は F_4 、 F_5 、 F_2 が"1"で F_1 が"0"のとき、そして第3項は F_1 と F_2 が"1"であるが全部同時に"1"ではないことを示す。フリップフロップの組み合わせの中にすべてが"1"の場合を含まなくてもよい場合は、通常よく利用される方式として帰かん信号に F_1 と

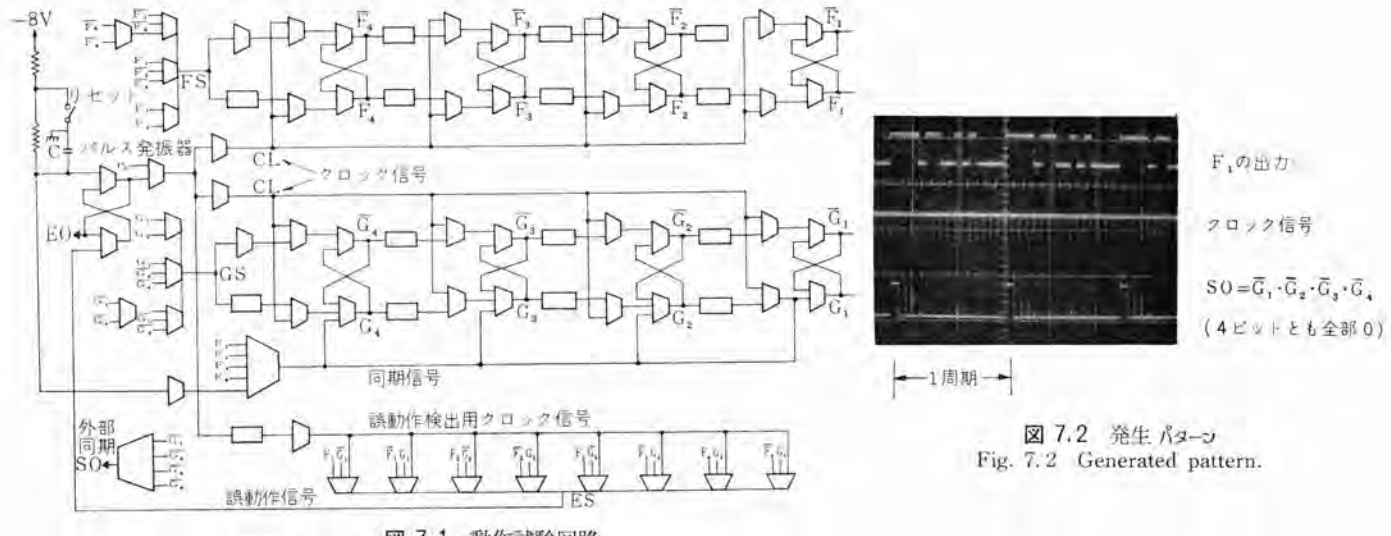


図 7.1 動作試験回路 Fig. 7.1 Block diagram of test system.

F₂ の Exclusive OR を用いる方法もある.

式 (7.1) を NOR-OR に適するように整理すれば

 $SF = F_2 + F_1 + F_4 + F_3 + F_1 + F_2 + F_1 + F_3 + F_4$ (7.2) となる。 この方式の パターンゼネレータ は、シフトレジスタ を構成する各 フリップフロップ の "1""0" の配列を、可能なすべての組み合わせに自動的にできることが特長で、シフトレジスタ の試験に非常に適している。 図 7.1 の場合は フリップフロップ が 4 個 である から ジョ16 とおりの組み合わせになり 16 ビット ごとの繰り返し パターン になる。 図 7.2 に発生 パターン を示す。

8. む す び

以上、おもに NOR-OR 素子の設計に際し考慮すべき点について述べたが、このほか、論理素子の設計にあたってはその素子を使用する計算機に対する情報が必要である。たとえば、FAN-IN および FAN-OUT の能力に関しては、計算機の論理回路の構成から必要とされる値と、素子全体の経済性を考えて決定しなければならない。 NOR あるいは NOR-OR 素子のように、ただ1種類の素子ですべての論理回路を構成させる場合はとくにこの点が大切である。

NOR-OR の試作素子についてはほとんどふれなかったが、高

速電子計算機素子として現在実験を続けており、これを用いた計 算機回路も検討中なので他の機会に報告したい。

(昭 38-7-10 受付)

参考文献

- P. Kellett: The Elliott Sheffer Stroke static switching system, Electronic Engineering, Sept. 1960.
- (2) 浜岡, 大野, 山崎: トランジスタ 形論理素子: NOR 「三菱電機」 Vol. 34 No. 12 (1960)
- (3) R. Beaufoy, J. J. Sparkes: The junction Transistor as a charge-controlled device, A.T.E.J. 13
- (4) 多田, 菅野, 柳井: トランジスタ の電荷制御解析法,電気学会誌, Vol. 82 982
- (5) Dale P. Masher: The design of diode-transistor NOR circuits, IRE, Mar. 1960.
- (6) 中塚, 壷井, 松原: ダイオードトランジスタ NOR-OR, 通信学会, 昭和 37 年度全国大会講演予稿 468
- (7) N. S. Prywes, et al.: UNIVAC-LARC high-speed circuitry: Case history in circuit optimization, IRE Trans. E.C. Sept. 1961.
- (8) 喜田村, 寺田: トランジスタダイオード "NOR" 回路について 信学会トランジスタ 研究委資料 10 月 (1960)

列車無線用 400 Mc 帯高利得コーナリフレクタ アンテナ

喜連川隆*・武市吉博**・水沢丕雄** 阿部 修***・大林愛弘****

400 Mc Band High-Gain Corner-Reflector Antennas for Train Radiotelephone System

Research Laboratory Electronics Works Takashi KITSUREGAWA • Yoshihiro TAKEICHI • Motoo MIZUSAWA Osamu ABE • Yoshihiro OBAYASHI

High-gain antennas, providing the most appropriate characteristics to the radio system, have been completed for use at the base stations of a 400 Mc-band train radiotelephone to operate on the new Tokaido trunk line of the Japanese National Railways. The antenna is of a 60° corner-reflector type with two full-wave dipoles arranged collinearly. The typical performance of the products obtained by theoretical and experimental studies on such antenna configurations is as follows. Frequency bands: 412.0 ~414.5 Mc and 415.5~452.4 Mc. Half-power beam width in the horizontal plane: more than 30°. Front to back ratio: above 20 dB. Gain: above 14 dB over a balf-wave dipole. VSWR: below 1.5 on a 50 n coaxial feeder.



図 1.1 基地局の鉄塔に取り付けられた 400 Mc 帯高利得 コーナリフレクタアンテナ

Fig. 1.1 400 Mc band high-gain corner-reflector antennas on the tower of a base station.

1. まえがき

昭和39年10月開通予定の"夢の超特急"国鉄東海道新幹線の業務通信および公衆通信に用いられる400 Mc 帯列車無線電話用として、東京・大阪間27 の基地局の大多数に回線設計上最適の性能をもたせた高利得コーナリフレクタアンアナが採用され、製品38台が納入されて、その一部はすでにモデレ線区で使用されている。(図 1.1)

この アンテナには高利得で、しかも水平面内 E-ム 幅が広く、前 方後方比・前方側方比が良く、かつ送受2周波数帯共用ができる ということが列車無線回線設計上必要とされた。

上記の必要条件を満たすために八木 アンテナ、パラボラアンテナ、コーナリフレクタアンテナ などについてその長短を比較検討した結果、ダイポール 2 個を共軸に配置した開角 60°の コーナリフレクタアンテナ が性能的にも経済的にも最適であるという結論に達したのでその試作研究を行ない、それに基づきすぐれた基地局用 アンテナ を完成する

ことができた。以下にこの アンテナ の研究の概要と完成品の性能を述べる。

2. 基礎設計

2.1 アンテナ形式の選定

今回の列車無線における大多数の基地局には表2.1の電気的必要条件を満たす アンテナ が要求された。とくに問題となったことは、利得が高く、しかもその利得の割には水平面内の ピーム 幅が広いこと、および送受2周波数帯の共用の可能なことである。利得と ピーム 幅との間の関係は問題で、水平面内の ピーム 幅を広いままに保ちながら垂直面内の ピーム 幅をせばめていって利得を上げていかねばならない。これらのほか、隣接 アンテナ あるいは他の系統などとの間の干渉を避けるため前方後方比、前方側方比が良好なこと、基地局の近くに列車が接近したとき受信機への過大入力防止のため サイドローブレベル が低いことなどが必要とされた。

以上のような必要条件を満足する アンテナ として、八木 アンテナ, パラボラアンテナ, コーナリフレクタアンテナ などにつき詳細な比較検討を行なった結果を要約すると以下のとおりである.

表2.1 の必要条件に対する八木 アンテナ の欠陥は前方後方比を 大きくしえないことである。この点を考慮からはずしても、水平 面電力半値幅 30°で利得 14 dB を得ようとすれば8素子の八木 アンテナを垂直に2 段配置する必要があり、また放射 パターン および インピーダンス の両面から送受2 周波数帯共用は困難であって各 周波数帯に1組ずつ必要であるから、給電系も送受2組必要となるので、このアンテナ形式を採用するのは価格的に問題がある。

また、ダイポールフィードの垂直偏波 パラボラアンテナ で ダイポール 利得

表 2.1 新幹線列車無線基地局用 アンテナ の電気的必要条件

周 波 数 帯	受信周波数 412.0~414.5 Mc 送信周波数 451.5~452.4 Mc
	の送受共用
[編) 放	班 直
水平面内電力半值幅	30° 11 11
前万後万比	20 dB 以 上
サイドロープレベル	正面方向に対して -15 dB 以下
利科	半波長ダイボールに対して 14dB 以上
入力電圧定在波比	50 日 同軸給電線に対して 1.5 以下

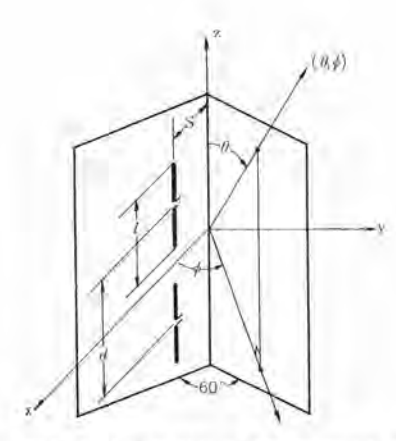


図 2.1 ダイボール 2 素子 60° コーナリレクタアンテナ と座標系 Fig. 2.1 60° corner-reflector autenna with 2 dipoles and coordinate system.

14 dB をとると アレデナピーム 電力半値幅は水平面内 27°, 垂直面内 30° 程度となる。利得を 14 dB のままで水平面内電力半値幅を 30° に広げるには垂直面内 ピーム 幅を狭くする必要があり,反射 鏡の上下の径を左右の径よりも長くしなければならない。そうすると反射鏡周辺からの電力漏れのため前方後方比 20 dB がとれなくなる。

コーナリフレクタアコテナ については、リフレクタ の開角を変えることによって水平面内の ビーム 幅がかなり自由に選べると同時に、給電素子を上下方向に積み重ねていけば水平面内の ビーム 幅一定のまま垂直面内の ビーム 幅をせばめてゆくことができ、利得を上げてゆくことができる。そのほか、放射 パターコ はかなりの広帯域性をもっており、インピーダンス整合を工夫すれば容易に送受共用が可能なこと、それほど大きなリフレクタを用いなくとも前方後方比、前方側方比を大きくとることができる。

以上の観点から図2.1 に示すような ダイポール 2素子 60° コーナリ フレクタアンテナ を考えた。

2.2 設計理論

この g/R_{-N} 2 素子 60° コーナリフレクタアンテナ に関して今間題となっている放射 パターン および利得についてはあまりよく知られていないので、まずこれについて調べた。

図2.1のような ダイポール2素子60°コーナリフレクタアンテナ の放射 パターン を計算するには、まず給電素子の エレメントパターン、ある素子 を 60°コーナリフレクタ の前に置いたときの アレーパターン、およびある素子を2段積み重ねたときの アレーパターン をそれぞれ計算し、パターン 相乗の定理によって、それらを掛け合わせればよい。

$$D_d = \frac{\cos\left(\frac{\beta l}{2}\cos\theta\right) - \cos\frac{\beta l}{2}}{\sin\theta} \tag{2.1}$$

で与えられる。ここで $B=2\pi$ \wedge で、 λ は波長である。

開角 60° の無限大 コーナリフレクタ によるアレーパターン D_e は、給電素子として完全無指向性源を考えると図 2.2 に示すように 5 個の影像素子ができ、この影像素子と実在の素子との 6 個の素子による アレーパターン を考えて、

$$\begin{split} D_{\text{e}} &= \sin \left\{ \beta s \sin \theta \cos \left(\phi + \frac{\pi}{3} \right) \right\} \\ &+ \sin \left\{ \beta s \sin \theta \cos \left(\phi - \frac{\pi}{3} \right) \right\} \\ &- \sin \left\{ \beta s \sin \theta \cos \theta \right\} \end{split} \tag{2.2}$$

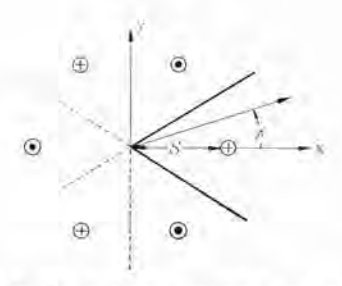


図 2,2 60° コーナリフレクタアシテナ における影像 Fig. 2.2 Image system for corner-reflector antenna.

である。ここで s は リフレクタ の コーナ と ダイポール との間の距離である。

同相給電している 2 個の同じ素子をz 方向に間隔 d だけ離して配置したときの Pv -N 2 -v D_a は

$$D_a = \cos\left(\frac{\beta d}{2}\cos\theta\right)$$
(2.3)

である.

結局 g/π_- ル 2 素子 60° コーナリフレクタアシテナ の放射 パターシ D は 式 (2.1), (2.2) および (2.3) を掛け合わせ

$$D = D_{d} \cdot D_{c}$$

$$= \frac{\cos\left(\frac{\beta l}{2}\cos\theta\right) - \cos\frac{\beta l}{2}}{\sin\theta} \cos\left(\frac{\beta d}{2}\cos\theta\right)$$

$$\times \left[\sin\left\{\beta s\sin\theta\cos\left(\phi + \frac{\pi}{3}\right)\right\}\right]$$

$$+ \sin\left\{\beta s\sin\theta\cos\left(\phi - \frac{\pi}{3}\right)\right\}$$

$$- \sin\left\{\beta s\sin\theta\cos\phi\right\}\right] \qquad (2.4)$$

となる.

次にこの アンテナ の利得は式 (2.4) に示した放射 $パ_{2-2}$ の 2 乗 D° を全立体角にわたって積分し全放射電力を求め、それと $\theta=90^{\circ}$ 、 $\phi=0^{\circ}$ 方向の放射 $パ_{2-2}$ の 2 乗 D_{0}° とから求めることができる。 すなわち、半波長 ダイポール に対する利得 G は

$$G = \frac{D_0^2}{\frac{1}{4\pi} \int_{-\pi/6}^{\pi/6} \int_0^{\pi} D^2 \sin\theta \, d\theta \, d\phi} \cdot \frac{1}{1.64} \dots \dots (2.5)$$

で与えられる.

以上の式から、垂直面内電力半値幅、垂直面内 サイドローブレベル および利得と、ダイポール の長さ l および 2 個の ダイポール 間の間隔 d との間の関係を数値計算した結果を図 2.3 (a)~(c) に示してある。 なお リフレクタの コーナ と ダイポール との距離 s は 60° コーナリフレクタアンテナを第1 姿態で使用する場合 0.5 波長が最適である(いのでここではその場合について示してある。 これらの図からもわかるとおり垂直面内電力半値幅、垂直面内 サイドローブレベル および利得などの間には密接な関係があり、それらの間のかねあいで ダイポール の長さ l および間隔 d を決めなければならない。

2.3 列車無線基地局用アンテナの構成

前述の必要条件および放射 パターン、利得と ダイポール 長、ダイポール 間隔との間の関係などから図 2.4 のように各部寸法を決定した。すなわち、リフレクタ の開角は水平面内電力半値幅が 30°であることから 60°で、そのとき ダイポール とコーナ との距離は前述のとおり 0.5 被長である。ダイポール の長さおよび ダイポール の間隔は、半被長 ダイポール に対する利得 14 dB 以上および サイドローブレベル -15 dB 以下という条件から図 2.3 (a)~(c) を参照して、それぞれ

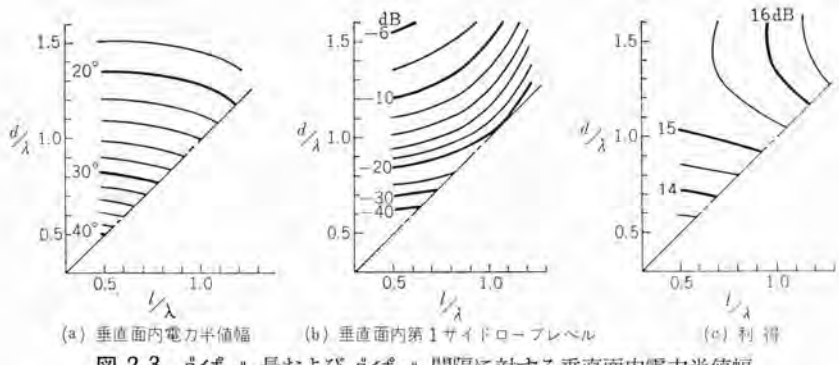


図 2.3 ダイポール 長および ダイポール 間隔に対する垂直面内電力半値幅, 垂直面内第 1 サイドローブレベル および利得

Fig. 2.3 Half-power beam width in the vertical plane, first side-lobe level in the vertical plane, and gain as functions of dipole length and dipole spacing.

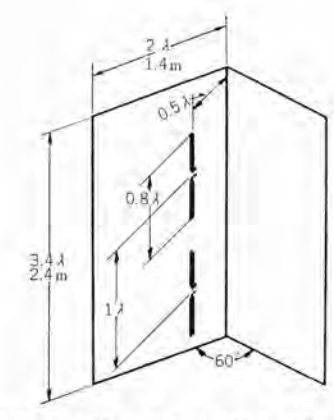


図 2.4 ダイポール 2 素子 60° コーナリフレクタ アンテナ の主要寸法

Fig. 2. 4 Dimensions of a 60° cornerreflector antenna with 2 dipoles.

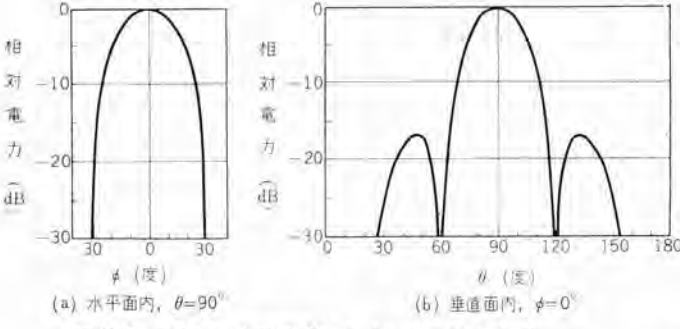


図 2.5 ダイポール 2 素子 60° コーナリフレクタアシテナ の 放射 パターン 計算結果

Fig. 2.5 Calculated radiation patterns of a 60 corner-reflector antenna with 2 dipoles.

0.8 波長および1波長とした. このとき放射パターンは式 (2.4) を用いて計算すれば図2.5 のようになって良い性能を得られることがわかる。また図2.3 によれば利得は半波長 ダイポール に対して15.1 dB となるが、これはリフレクタの大きさが有限であることに対して余裕をもたせた値である。リフレクタの大きさは水平面内および垂直面内電力半値幅、前方後方比、前方側方比および利得などに関係する(2)ので、ここではそれらについて十分の考慮を払い、必要最小限の大きさとして、リフレクタの幅2波長、高さ3.4波長にとってある。

3. 構 造

3.1 リフレクタの構造

この アンテナ の外観を図3.1 に示す。2 本の ダイポール および2 枚の リフレクタ に容易に分けられると同時に組立容易な構造で、輸送



図 3.1 ダイボール 2 素子 60° コーナリフレクタアンテナ の外観 Fig. 3.1 Exterior view of a 60° corner-reflector antenna with 2 dipoles.

および現地組立に対し都合よくしてある.

また、リフレクタによる風圧荷重を下げるためにリフレクタにはステンレスのエキスパンドメタルを使用している。その網目の大きさは金網を透過する電力量によって定まる前方後方比の劣化または利得の低下と風圧荷重とのつりあいから最適に選んである。また、リフレクタ 面上の電流分布を考えてダイポールに近く電流密度の大きい部分は網目を細かく、ダイポール より遠

い部分の網目を荒くして、電気性能を要求値よりも落すことなく 風圧荷重をできるだけ小さくとってある.

3.2 ダイボールの構造

ダイポール の構造の概略は図3.2 に示すとおりである。給電線には同軸管 WX-20DM を用い、これに長さ約半波長の スロット を切って平衡不平衡変成器としており、保護のため誘電体 カパー でおおっている。またこの同軸管の内管の中にもう一つの同軸線路を構成させ、その片方は4分の1波長より長い先端開放の線路で誘導性 リアクタンス をもたせ、他方は4分の1波長より短い先端開放の線路で容量性 リアクタンス をもたせ直列共振回路を構成させている。同軸管 WX-20DM から N形 セッセン (接栓) に変換され同軸 ケーブル RG-9A/U を通して分配器に接続されている。この分配器は2素子のダイポールに電力を等分に分配するためのものである。この分配器の入力端はN形 セッセンで、これがアンテナの入力端を形成している。

このような ダイポール 構造は以下のような送受 2 周波数帯共用方

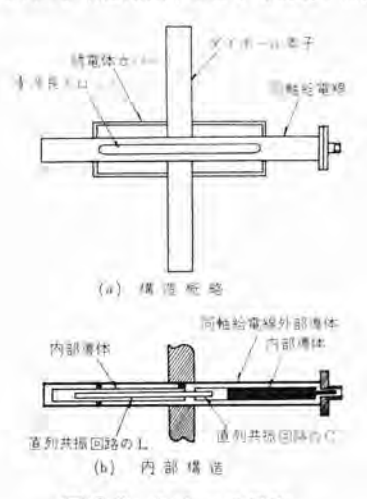


図 3.2 ダイポール の構造 Fig. 3.2 Structure of a dipole.

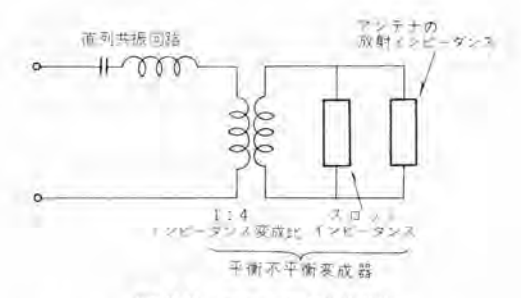


図 3.3 アンテナ の等価回路 Fig. 3.3 Equivalent circuit of the antenna.

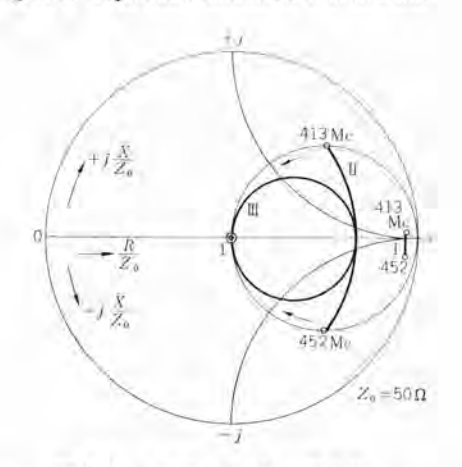


図 3.4 アッテナインピーダンス 整合法 Fig. 3.4 Impedance-matching procedure of the antenna.

式に基づいて決定したものであり、その等価回路は図3.3のよう になる. すなわち 2.3 節において述べたとおり ダイポール の長さは 0.8 被長であり、そのときの整合回路なしの インピーダンス は図 3.4 の スミスチャート 上の曲線 I に示すとおりとなり、かなり共振抵抗 の高い反共振特性をもつ、このような反共振特性をもっているア シテナ を 412.0~414.5 Mc および 451.5~452.4 Mc の送受 2 周波 数帯で整合をとることはかなりむつかしいが、次のような方法に よった. すなわちまず平衡系である ダイポール と不平衡系である同 軸給電線との間の変成器として分割同軸形平衡不平衡変成器(3)を 用い、アンテナ放射 インピーダンス を4分の1に下げると同時にその 平衡不平衡変成器の スロット の幅および長さを適当に選び適当な 反共振 リアクタンス 回路が加わるようにし、両周波数帯で図 3.4 の 曲線 II のように スミスチャート の抵抗分1の円上に来るようにして おく、その後に高いほうの周波数帯では誘導性に、低いほうでは 容量性に働く直列共振回路を入れ両周波数帯で図 3.4 の曲線 III のように スミスチャート の中心にもってゆき整合をとる.

4. 試作品の試験結果

4.1 インピーダンス整合

412.0~414.5 Mc および 451.5~452.4 Mc の 2 周波数帯で前述の方法によって整合をとった結果を図 4.1 に示す。なおこれは分配器の入力端でみた値である。図からわかるとおり入力電圧定在波比は上記 2 周波数帯において 1.25 以下にはいっており、要求の 1.5 以下を十分満足している。

4.2 放射パターンおよび利得

412.0~414.5 Mc および 451.5~452.4 Mc の 2 周波数帯のそれ それのほぼ中心周波数 413 Mc および 452 Mc において, 水平 面内および垂直面内の放射 パターン および利得を測定した。放射パターン の測定結果を図 4.2 に示してある。利得は半波長 ヴィポール

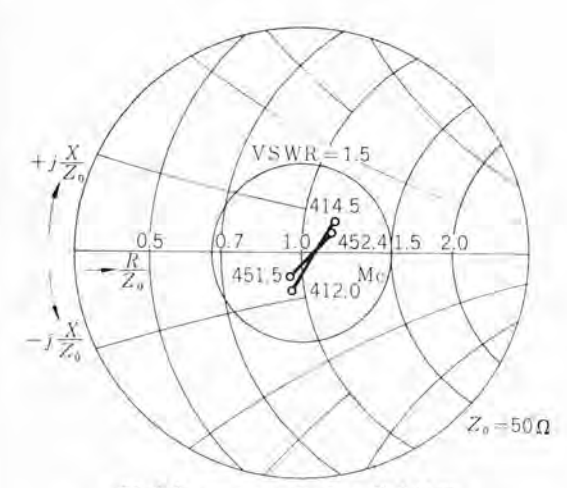
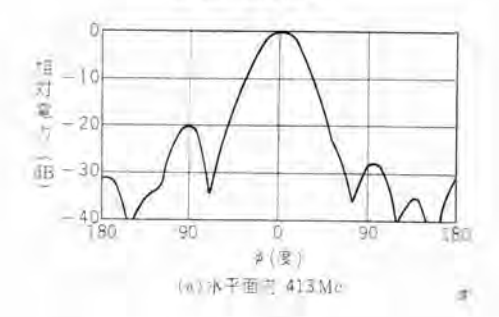
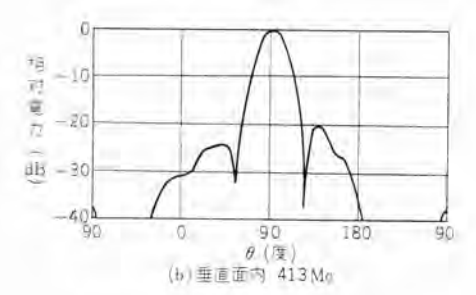
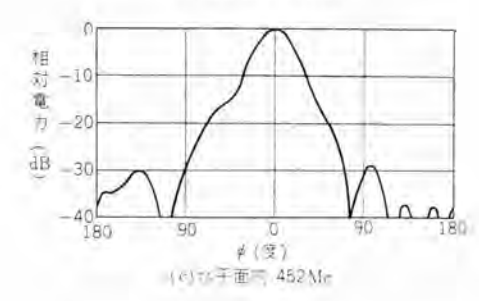


図 4.1 アンテナインピーダンス 整合結果 Fig. 4.1 Result of the impedance matching of the antenna.







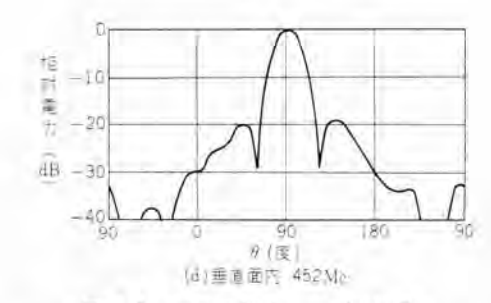


図 4.2 主面 放射 パターン 測定結果 Fig. 4.2 Measured principal-plane patterns of the antanna.

との比較により測定した. その結果は 413 Mc において半波長 ダイポール に対して 14.0 dB, 452 Mc において 14.2 dB である.

放射パターシのうち主ビーム、垂直面内第一サイドローブ などにつ

いては、図4.2と前掲図2.5とを比較すればわかるように、リフレクタ 寸法が今回の設計程度に大きければ、リフレクタ を無限大と考えて計算した前掲図2.5から予想される性能と実測結果とがかなりよく一致しており、設計時の期待性能がそのまま得られている。利得については前述の計算結果では半波長 ダイポール に対して15.1 dB が得られており、測定結果との差は約1dB であるが、リフレクタ が有限であるためにもれる電力による損失、金網を透過する漏れ損失、整合をとったときの整合損失および残留反射による損失、分配器と ダイポール との間の同軸 ケーブル の伝送損失などを計算に入れると計算値と測定値とはよく合っている。

5. 製品およびその性能

以上の試作研究の結果に基づき新幹線基地局用の製品を完成した。その アンテナ の主要性能は次のとおりである.

たその	の アンテナ の主要性能はで	くのとおりである.
(1)	周波数带	412.0~414.5 Mc 451.5~452.4 Mc 送受共用
		451.5~452.4 Mc J
(2)	偏 波	垂 直
(3)	水平面内電力半値幅	30°以上
(4)	前方後方比	20 dB 以上
(5)	サイドローブレベル	正面方向に対して -15 dB 以
		下
(6)	利得	半波長 ダイポール に対して 14 dB
		以上
(7)	入力電圧定在波比	50 n 同軸給電線に対して
		1.5 以下

(8) 耐風速 瞬間最大 60 m/s

(9) 重 量 約80 kg

(10) 受風荷盾 瞬間最大 60 m/s に対して 300 kg 以下

このようにこの r25+7 は要求性能を合理的に満足している。 なお、この r25+7 は2段または4段積み重ねて、水平面内 ℓ 5-6 幅を変えずに利得を 17 dB または 20 dB に上げることができる.

6. む す び

コーナリフレクタアンテナ については現在まで種々のものが実用化されたが、今回完成した アンテナは、水平面内 ビーム 幅が広いにもかかわらず高利得で送受2周波数帯共用のできる特長があって、列車無線基地局用として最適のものである.

たえずご指導ごべんたつを賜わった日本国有鉄道関係各位に深 く謝意を表する.

(昭 38-7-16 受付)

参考文献

- (1) H. V. Cottony and A. C. Wilson: Gains of Finite-Size Corner-Reflector Antennas, IRE Trans., AP-6, 336~369 (Oct., 1958).
- (2) A.C. Wilson and H.V. Cottony: Radiation Patterns of Finite-Size Corner-Reflector Antennas, IRE Trans., AP-8, 144~157 (Mar., 1960)
 - (3) 内田, 虫明: 超短波空中線, 154 (昭 30)

年月日	寄 稿 先	題	名	執 筆 者	所属場所
38- 6-30	エレクトロニクダイジエスト	三菱繰返し形 アナログ 計算機		柴谷浩二·多 田 淳 奥 田 治	無線機
38- 6-29	照明学会	竹中工務店の設計室の照明		小堀富次雄	本 社
38- 6-29	照明学会	三菱日本重工業車輛組立工場の説明]	小堀富次雄	本 社
38- 6-29	機械工業	パウダクラッチ とその応用		宫崎秀夫·村田俊哉	姫 路
38- 6-25	電気学会雑誌	大容量 タービン 発電機の開発		加賀貞広	神戸
38- 7- 1	新電気	電気絶縁材料と耐熱性		野口昌介	名古屋
38- 7- 1	工業材料	重電機器における プラスチック 材料		伊藤公男	研究所
38- 7- 2	機械と工具	電解加工法		前田祐雄·斉藤長男	研究所
				荒 居 伸 治	
38- 7- 1	エレットロニクス ダイジェスト	MELCOM EA8303 EA8304 繰返刑	ビアナコン	柴谷浩二·多田 淳 奥田 重	無線機
38- 7- 2	機械工業9月号	電磁 クラッチ の特性		西野 広	名古屋
38- 7- 2	電気公論社	オーストラリア 向 330 kV 単巻変圧器		田村良平	伊丹
38- 7- 4	OHM	火力発電所配電盤の実例		武下定四郷・安 野 享	神戸
38- 7- 4	OHM	パワーセンタ		天藤憲二	神戸
38- 7- 4	OHM	展開接続図の見方		小滝喜久二	神戸
38-7-4	OHM	配電盤の シーケンスダイヤグラム と裏面接	続図	山本考一	神 元
38- 7- 5	エレクトロニクス	Tr DC DC 変換器とその現状		大野菜一·民井精二	無線機
38- 7-17	図説電気	アーク放電のはなし		供藤利朗	研究所
38- 7-17	電気計算	最新誘導電動機の特性と運転		蘅藤 護·中野久夫	長 崎

三菱ステレオ

藤木 一*・進藤武男*・伊藤 実*

Mitsubishi Stereo Phonographs

Electronics Works

Hajime FUJIKI · Takeo SHINDO · Makoto ITO

In the Mitsubishi Sky-ring towering up at the Ginza crossing in Tokyo stand out a magnificient stereo phonograph type DSS-1005 and also a medium class one type DSS-527 which is provided with an epochal, perfectly automatic player. The former is $230 \,\mathrm{cm}$ wide and weighs $300 \,\mathrm{kg}$. The amplifier output is $30 \,\mathrm{W} \times 2$. The speaker used is the type 28-305, acknowledged as for use with a speaker and a monitor, and the player and the tape recorder are also of the highest performance, all being unrivalled products. The latter has a feature of perfectly automatic player and is provided with a FM tuner. The amplifier output section is of a push-pull type. The unit is a prominent home stereo phonograph.



図 1.1 DSS-1005 形 ステレオ Fig. 1.1 Type DSS-1005 stereo set.



図 1.2 DSS-527 形 ステレオ Fig. 1.2 Type DSS-527 stereo set.

1. まえがき

ステレオ 装置の性能の向上は近来目ざましいものがあり、また意匠面でも家具的な要素を豊富に取り入れ、ますます精巧華麗となっている.

当社も数多くのステレオ装置を開発したが、東京銀座四丁 目角にそびえ立つ三菱スカイリングに展示中の豪華ステレオ DSS-1005 形、および画期的なパーフェクトオートブレーヤを使用した DSS-527 形ステレオについてご報告したい。

2. DSS-1005 形ステレオ装置

2.1 概略

外観構造はほぼ図 2.1 のごとくで、横 2,310 mm、高さ 1,260 mm、奥行 600 mm、重量約 300 kg の超大形 ステレオ 装置である。

下部は スピーカキャビネット であるが, 両側面には トビラ があり, この トビラ は開くと 側面につけた残響用 スピーカ の反射板となる. 上部は3分割され中央が チューナ および プレーヤ, 右は テーブレコーダ, 左は洋酒 ケース である.

チューナ 前面の操作部の概略は図 2.2 のごとくで、とくに パンド 切り換えは ピアノ式 スイッチ を使用している。 左から電源断, 短波, 中波, 中波 ステレオ、FM、FM ステレオ、レコード, テーブレコーダ, AFC, 外部 スピーカ の 10 ケン (鍵) である。

2.2 アンプ

ブロック線図を図 2.3 に示す.

2.2.1 FM チューナ部

受信周波数 76~90 Mc, 中間周波数 10.7 Mc で, うりゅド, カソード 中間接地形高周波増幅 1 段, 混合局発, IF 増幅 2 段, うりゅド うしート 形 リミッタ 1 段, フォスタシーレ 形弁別器, および AFC 用のリアクタンス 管で構成されている.

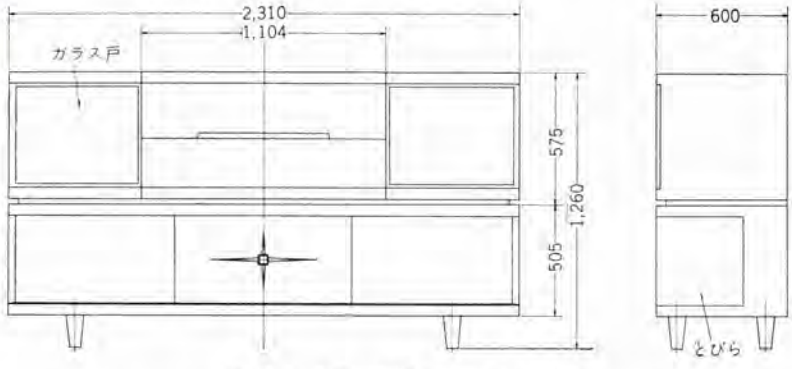


図 2.1 DSS-1005 形 ステレオ 寸法図 Fig. 2.1 Outline dimensions of type DSS-1005 stereo set.

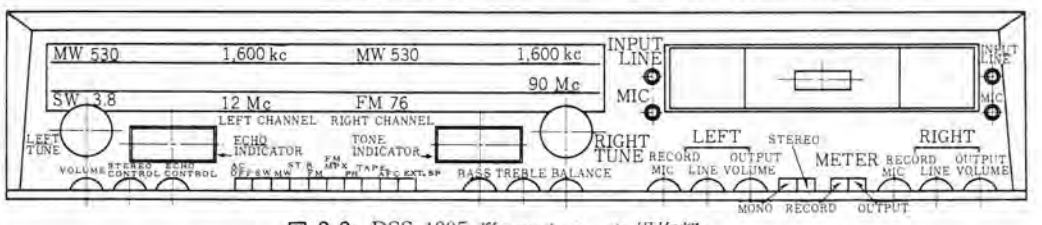


図 2.2 DSS-1005 形ステレオ チューナ 操作部 Fig 2.2 Type DSS-1005 stere tuner contrnl.

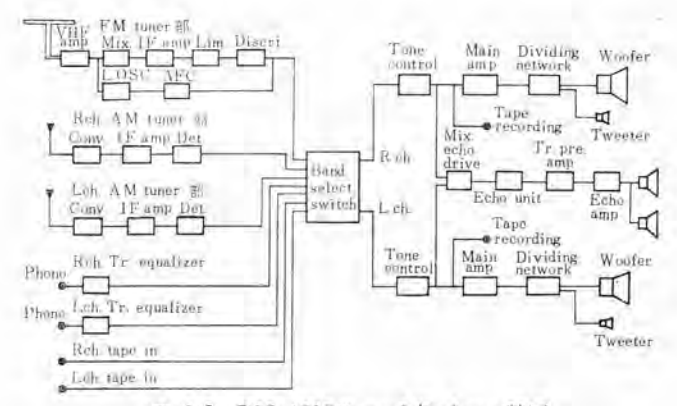


図 2.3 DSS-1005形 アンラ部 ブロック 線図 Fig. 2.3 Block diagram of amplifier of type DSS-1005.

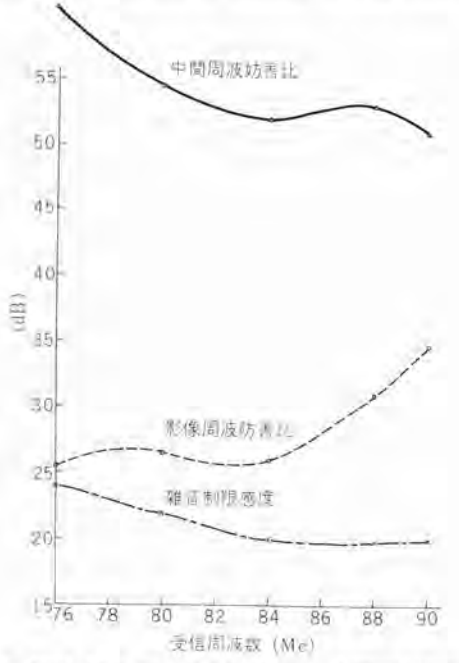


図 2.4 DSS-1005 形の雑音制限感度,中間周波妨害比. 影像周波妨害比 (VHF波帯)

Fig. 2. 4 Noise limit sensitivity, intermediate frequency interference ratio and video frequency interference ratio of type DSS-1005. (VHF wave band)

商品としての FM チューナ の規準が規定されていないので、一応 Hi-Fi チューナ の条件として下記を目標とした。

雜音制限感度

30 dB 以下

変効選択度特性

±400 kc で 40 dB 以上

イメージ妨害比

30 dB 以上

IF 妨害比

50 dB 以上

忠実度特性

50~15,000 c/s で デェンファシス

曲線からの偏差 ±1dB 以内

高調波含有率 2% 以内

局発の周波数漂動は スイッチイン 後 100 分で約 30 ke である. AFC の動作範囲は標準信号 (400 c/s, 30% 変調, 60 dB) を加えたとき、出力 3 dB 減の点が ± 350 ke である. 感度特性、2 信号選択度を図 2.4、2.5 に示すが、測定条件はとくに指定のないかぎり入力は前記の標準信号、出力は 16Ω の 岁 五一 抵抗を接続し 500 mW とする.

2,2,2 AM チューナ部

AM au_{2} - + は左右に 2 個設けてある。受信周波数は 535 - 1,650 kc, 3.7 - 12.5 MC, 中間周波数は右 455 kc, 左 475 kc である。 測定結果は 左右ほとんど 差がないので右 au_{2} + au_{3} + au_{4} の感度特性のみ

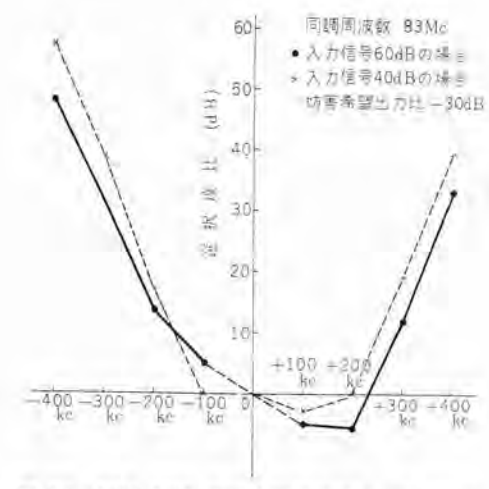


図 2.5 DSS-1005 形総合選択度特性 (2 信号) Fig. 2.5 Overall selectivity characteristic of type DSS-1005 (2 signals).

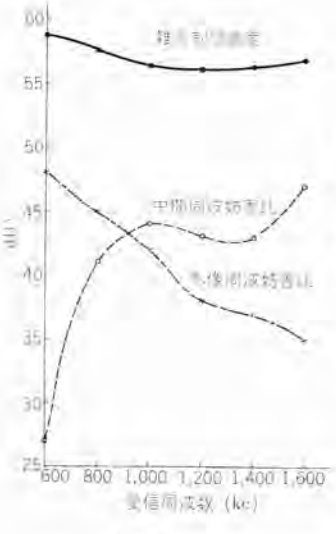


図 2,6 DSS-1005 形の雄 音制限感度,中間周波妨 害比,影像周波妨害比 (中波帯)

Fig. 2.6 Noise limit sensitivity, intermediate frequency interference ratio and video frequency interference ratio of type DSS-1005. (Intermediate wave band)

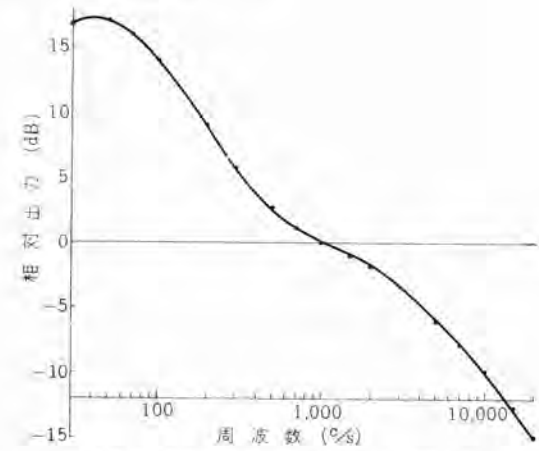


図 2.7 DSS-1005 形 イコライザ 周波数特性 Fig. 2.7 Equalizer frequency characteristic (DSS-1005)

を図 2.6 に示す。 なお短波帯の最大感度 40 dB 以下, S/N 30 dB 感度は 46 dB 以下. イメージ 妨害比は 7 dB 以上である。

とくに指定のないかぎり高周波入力 74 dB, 田力 500 mW である。

2.2.3 イコライザ

本機の イコライザは トランシスタ 2 個を使用した NF 形で、利得は 1 kc で約 35 dB、周波数特性は ピックアッゥ゚ の特性をにらみあわせて RIAA 特性を満足するようにした (図 2.7).

2,2,4 音質調整回路

双3極管による NF 形音質調整回路と出力側に接続された カツ

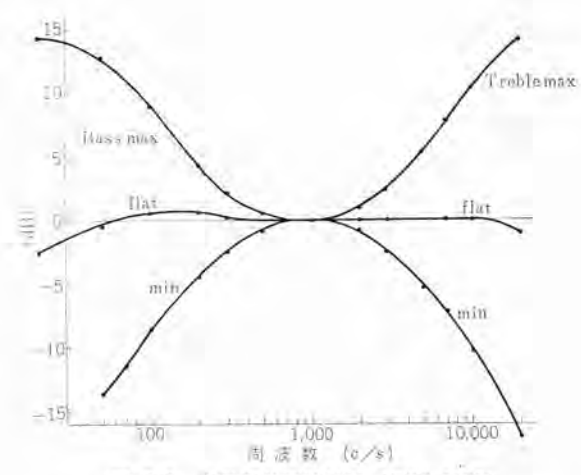


図 2.8 音質調整回路特性 (DSS-1005) Fig. 2.8 Tone control characteristic (DSS-1005)

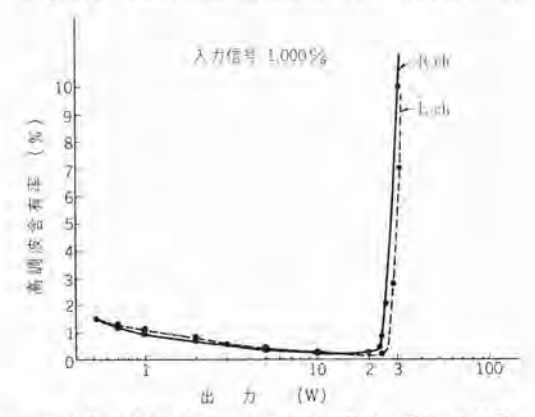


図 2.9 Main Amp 出力 し式ミ特性 (DSS-1005) Fig. 2.9 Main amp output, distortion characteristic. (DSS-1005)

-Fフォロフから成る。初段には約 $15\,\mathrm{dB}$ の P-G 帰還をかけてある。 利得は約 $20\,\mathrm{dB}$ で調整可能範囲は $100\,\mathrm{c/s}$ および $10\,\mathrm{kc}$ で $\pm 15\,\mathrm{dB}$ である (図 2.8)。

2.2.5 電力増幅部

2.2.6 スピーカ装置

放送局で モニタ 用に使用されている 28-305 形 スピーカ 装置と同 じ構成とした。低音用に PW-125 形 (口径 30 cm), 高音用に TW-25 形 (口径 5 cm) を使用し、位相反転形 キャビネット に納め た。残響出力用には同じく モニタ 用に採用されている P-610 A 形 (口径 16 cm) を両側面につけた。スピーカ 装置の周波数特性を図 2.10 に示す。

2.2.7 残響付加装置

左右両 チャネル の出力を混合し電圧増幅、電力増幅して残響付加装置に加える。この装置内の減衰は約 60 dB あるので、電圧増幅後 6BQ5 で電力増幅する。いわゆる残響時間は約2秒である。

2.3 プレーヤ

ホノモータ、ビックアップを木製ボードに取り付けたユニット形式で、4 隅の支持スプリングにより緩衝的に本体に取り付けられる、外観を 図 2.11 に示す。図中の品番と諸元は次のとおりである。

2.3.1 トーンアーム

機能的にすぐれ取り扱い容易なピッカリング形を使用した。カート

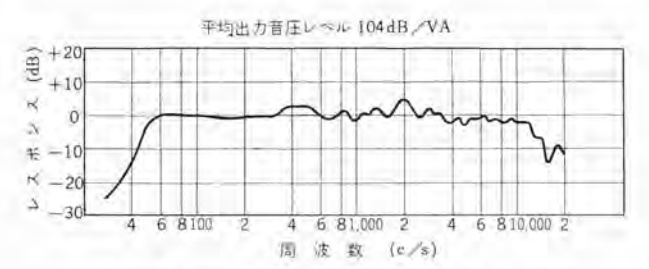


図 2,10 スピーカ 出力音圧周波数特性 (DSS-1005) Fig. 2.10 Speaker output acoustic pressure frequency characteristic. (DSS-1005)

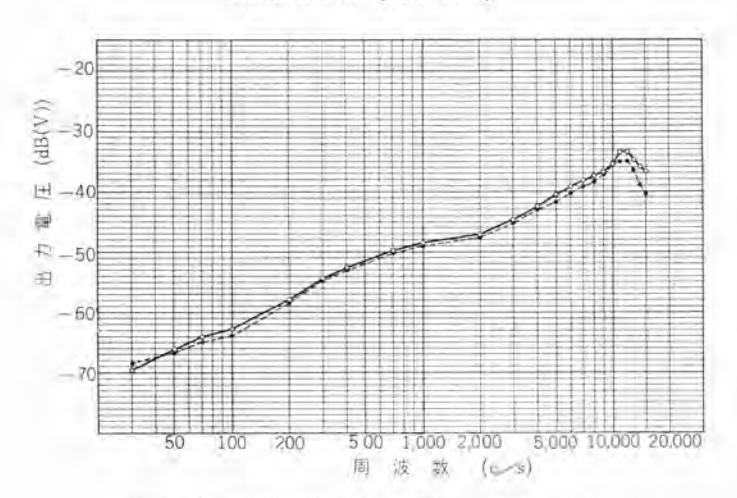


図 2,11 DSS-1005 形 ステレオプレーヤ 周波数特性 Fig. 2,11 Type DSS-1005 stereo player frequency characteristic.

品番	Ha	名	滿
1	モータ ポート		硬質ラワン合板 t=16 mm
2	ホノモータ		ターンテーブル
			直接30 cm
			材質アルミダイカスト
			回転数 4 スピード
			16 ² / ₃ , 33 ¹ / ₃ , 45, 78 rpm
			E-9
			形式 誘導電測機
			極数 4 極
			電源 100 V, AC 50 c/s または 60 c/s
			起動 コンデンサ分相
			速度微調器つき
3	トーンアーム		主アーム (ビッカリング形) 材質アルミ板
			全長367 mm
			有効長. 244 mm
			サブアーム
			材製 アルミ版 処理 金色電解研摩
4	カートリッジ		可動磁石形
			スタイラス
5	速度切換ツマミ		ユリヤ樹脂成形
6	速度微調ツマミ		W W
7	支持スプリンク		

リッジはサヴァーム に固定し SP レコード 演奏の必要がある場合は スタイラスのさし換えを行なう

アーム は アルミ 板を折り曲げ沈頭 じョウ により組み立て、後端には パランスウェイト をつけて上下左右方向に対し重力 パランス をとった アーム 右側面後寄りの ネジ をゆるめると、アーム は上方に抜きとることができるから保守点検上便利である。アーム の取付高さの調整もこの ネジ をゆるめて行なうことができる.

主アームはベアリング軸受で、他形式のアームのように ナイフェッジ や ピポット 軸受を使っていないから構造的に堅固で、長期間使用しても狂いを生じない。

なおこの ァ-ム の トラッキングエラー は 30 cm レコード の最外周で +4.5° 以下、内周で −2.5° 以下である。

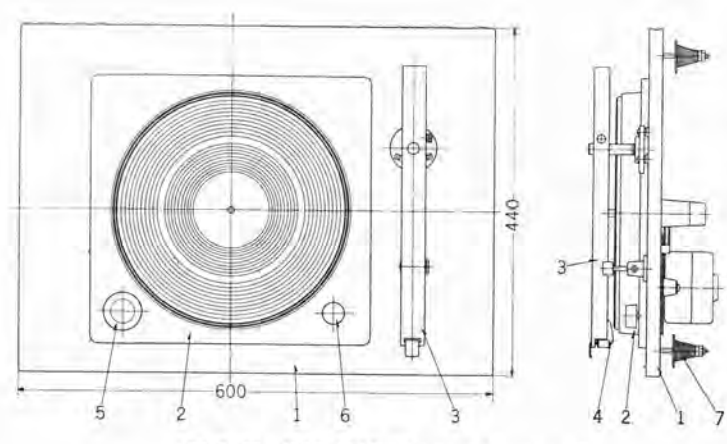


図 2.12 DSS-1005 形 ステレオブレーヤユニット Fig. 2.12 Type DSS-1005 stereo player unit.

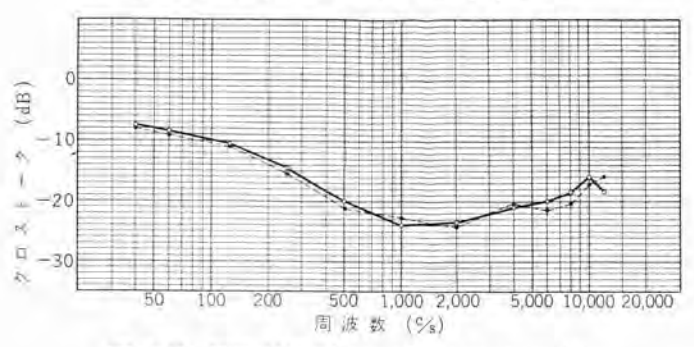


図 2.13 DSS-1005 形 ステレオプレーヤクロストーク 特性 Fig. 2.13 Type DSS-1005 stereo player cross talk characteristic.

2.3.2 カートリッジ

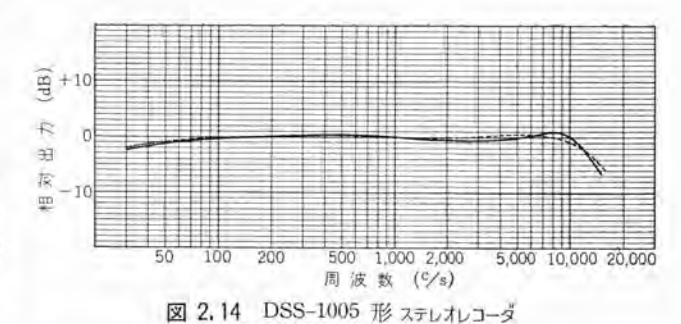
機構的に堅固で針交換の容易な ムービングマグネット 形を使用した。 ムービングコイル 形は取り扱いの不注意で針先に衝撃を与えるとコイル が断線の事故を起こすことがある。 本機の場合もし誤って針先を いためても針交換だけ行なえばよく、コイル 断線の おそれはない. 本機の再生周波数特性、 9021-9 特性を図 2.11, 2.12, 2.13 に 示す。 図中の実線は右 5+2ル、破線は左 5+2ルである。 周波数特性は RIAA 特性で 100 補正したものである。

2.4 テープレコーダ

テープデッキ と アンプ に分かれ アンプ 部は本体の チューナアンプ の右側 に一括収容して取り扱いに便利なようにしている。 テーブレコーダ 部の諸元は次のとおりである。

Ä F	als.	元
使用最大リール	17 cm (7 号)	
テープ速度	19 cm, 9.5 cm + +	ップスタン交換式
録音トラック	(1) 2トラック ス	テレオ
	(2) 半幅モノラル	
再生トラック	(1) 4 トラック・ス	テレオ
	(2) 2 "	#
	(3) 4 v =	ノラル
	(4) 2 " €	ノラル
ヘッド し 消去	2 トラック ス	テレオ
2. 錄音	11 11	w.
3. 再生	9 9	"
4. 再生	4 #	W.
高号对雑音比	45 dB 以上 (19 cm/	s)
ワウ, フラッタ	0.2% 以下 実効値	(19 cm/s)
入力端子	LINE INPUT	100 kΩ
	MIC INPUT	10 kΩ
用力端子	LINE OUTPUT	
電源	100 V AC, 50 c/s	または 60 c/s, 100 VA

録音再生特性は図 2.14 のとおりである. (19 cm/s, 12 トラック) テープデッキ上面の外観を図 2.15 に示す.



録音再生周波数特性
Fig. 2.14 Type DSS-1005 tape recorder reproduction frequency characteristic.

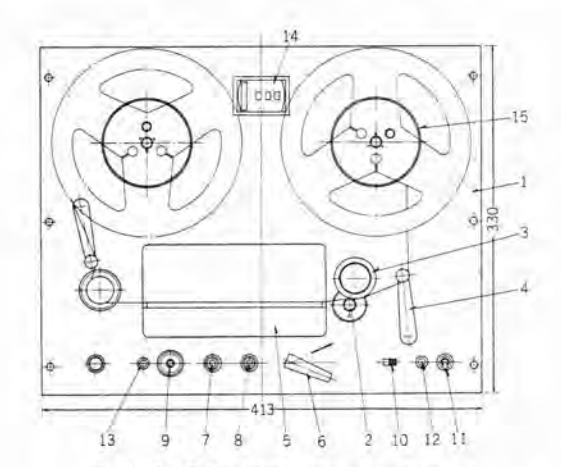


図 2.15 DSS-1005 形ステレオテープレコーダ Fig. 2.15 Type DSS-1005 stereo tape recorder.

品 番	品名	侧考	
1	パネル	ステンレス	
2	キャプスタン		
3	ピンチローラ		
4	テンションアーム	停止スイッチつき	
5	ヘッドカバー	4 ヘッド収容	
6	切換スイッチ	PLAY-REWIND-	
7	START ボタン	FAST FWD	
8	STOP ボタン	302 12 12 12	
9	録音用 ボタン	The second second	
10	スライドスイッチ	再生ヘッド切換	
11	電源スイッチ	100000000000000000000000000000000000000	
12	標示灯		
13	#	録音標示	
14	テープカウンタ		
15	テープ載台		

2.4.1 モータ

キャプスタン 駆動用は同期電動機1個、早送り、巻戻し用としてコンデンサ 起動誘導電動機2個を使用している。デッキ 右寄りの電源スイッチ の投入状態では キャプスタン は常時回転し、また PLAY のときは2個の誘導電動機も低入力で常時回転し、テープの瞬時起動に備えている。REWIND または FAST FWD のときはいずれか1個の誘導電動機が定格回転している。テープの起動停止は別の制御用直流電源により3個の吸着用コイルと1個の継電器により行なっており、操作は START、STOP のボタンを軽く押すだけでよい。右側のデンションアームにスイッチをつけ、デーブがはずれると右回転して制御用直流電源回路と誘導電動機の回路を開放する。

2.4.2 Ay F

再生用 ヘット2個,録音用 ヘット1個,消去用 ヘット1個の合計 4個の ヘットを使用している。本機は半幅2トラックによる ステレス 録音再生を主目的とし、消去、録音および再生 ヘットの1個は2トラックで、4トラックステレオテープの再生用として 4トラックの再生 ヘット

1個を備え、パネル上面のスライドスイッチにより切り換えられる.

2.4.3 アンプ

録音用 アンプ と再生用 アンプが独立して左右 チャネル 用 2 組により構成される。録音用 アンプ にはおのおの継電器を備え、デッキ からの制御用直流電源により バイアス 発振の開閉を行なっている。アンプ の電源回路および各 ヘッドとアンプの間で、録音再生などによる開閉切り換えを行なっていないから テープに クリック 雑音の入るおそれはない。

3. DSS-527 形ステレオ装置

3.1 概略

新しく開発した 画期的な パーフェクトオートラレーヤ が大きな 特長である. FM 放送の受信可能で、中波は ステレオ 放送が受信できる. エクスパンダ、 残響付加装置を備え、電力増幅段は 30 A5 の プラシュラルである。またスピーカ は口径 20 cm の ダブルコーンスピーカ を使用している. 外形寸法は横 100 cm, 高さ 81 cm 奥行 40 cm, 重量は約 27 kg である.

3.2 アンプ部

3.2.1 FM チューナ部

高周波増幅、発振および混合を双3極管 $12\,\mathrm{DT}\,81$ 本で行なっている。 アンテナ 入力回路は $75\,\Omega$ 不平衡。 カソード 入力とした。 このため増幅度は カソード 接地の場合よりやや劣るが C_{n0} 間の コイードパック による発振などがなく安定に動作することを主眼とした。 感度は図 3.1 に示すように標準出力 $50\,\mathrm{mW}$ に対し平均 $20\,\mathrm{dB}$ である。

発振回路に パリキャラダイオード 1S85 を使用して AFC をかけた. 局発周波数が高低いずれに漂動しても中心周波数に戻しうるよう に、約3Vの直流パイアス電圧をB電源からラリーダで取り出した.

3,2,2 AM チューナ部

従来のラジオ受信機の回路と大差がないので詳述は避けるが、中 波の ステレオ 放送を受信するので、両 チャネル の感度差を小さくす ることに、とくに留意した。これは部品のパラツキ もあり多少はや むをえないと考えるが、検波器の ゲルマニウムダイオード の特性ふぞろ いによる感度差が大きかったので、この特性をそろえ、なお感度 差がある場合には真空管を差し換えることとした。感度特性を図 3.2.3.3 に示す。

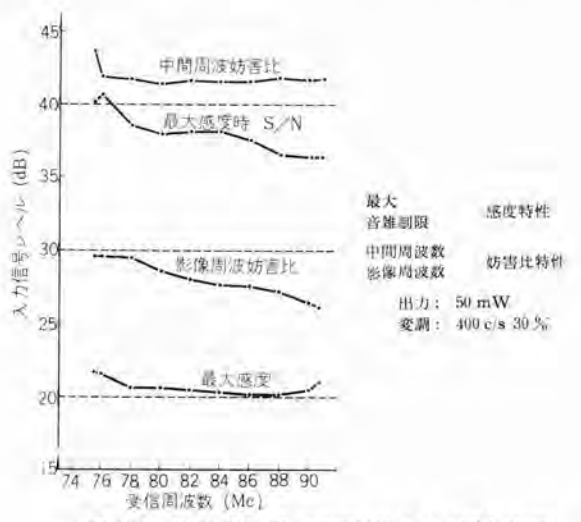


図 3.1 DSS-527 形の感度特性ほか (FM 波帶) Fig. 3.1 Noise sensitivity and others of type DSS-527. (FM wave band)

3.2.3 低周波および電力増幅部

低周波増幅の初段には 12A×7 を使用し、ここで約 30 dB の利得を得て次の音質調整回路に加える。音質調整回路は高音の増減が可能で、音量調整器最大の位置で 8 kc は 1 kc に対して約 7 dB 上昇可能である。なお ラウドネスコントロール が付加されているため、音量を絞るとさらに 7 dB の差が生ずる.

電力増幅部も初段に 12A×7 を使用し、一方の3 極部で約 30 dB の利得を得て出力管 30 A5 を励振している。ここで自動平衡

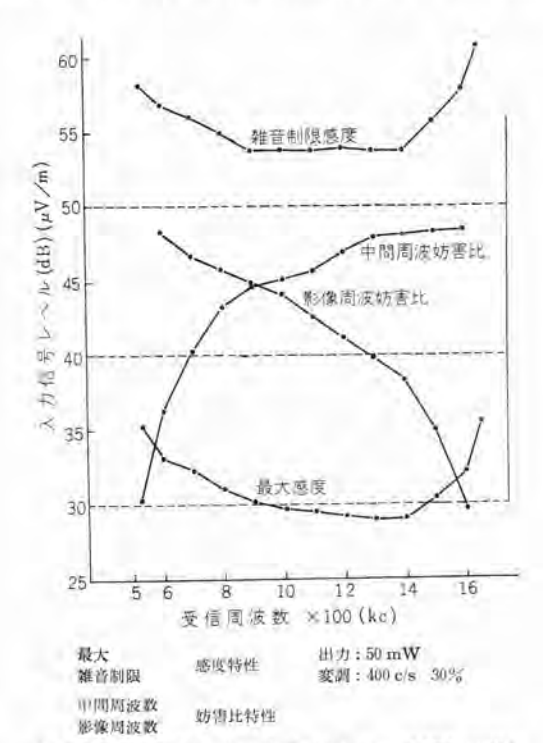


図 3.2 DSS-527 形の感度特性ほか (MW 波帯) Fig. 3.2 Noise sensitigity and others of type DSS-527. (MW wave band)

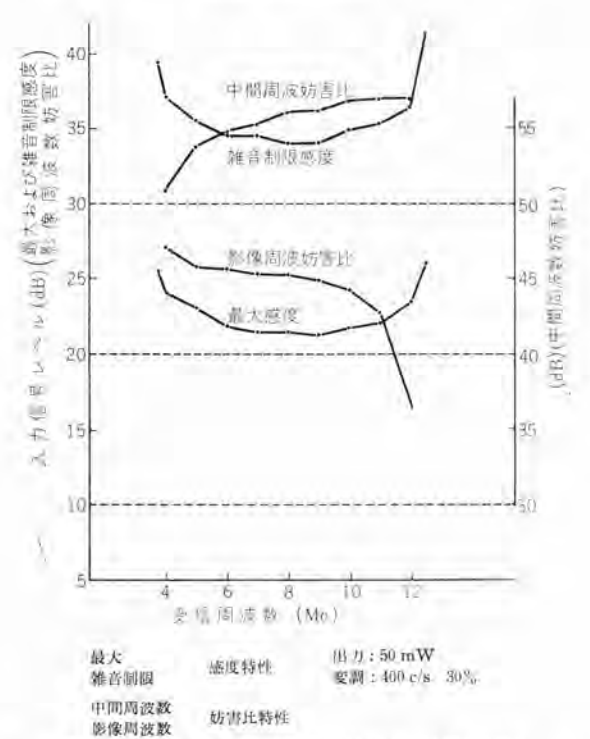
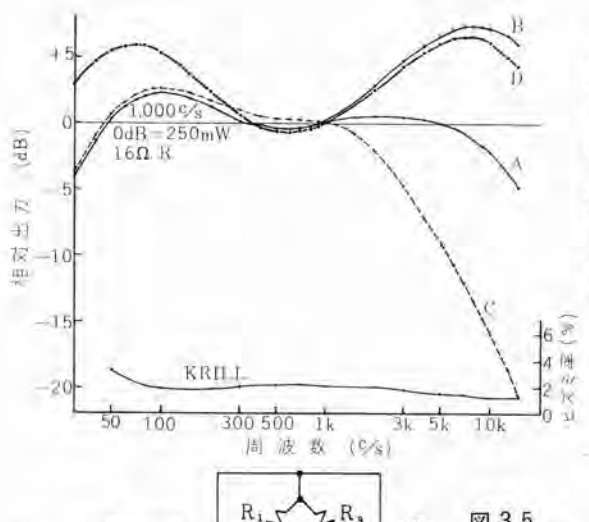


図 3.3 DSS-527 形の感度特性ほか (SW波带) Fig. 3.3 Noise sensitivity and others of type DSS-527. (SW wave band)



機種⁵ 527
PHONO 端子入力 0.02 V
Volume 最大
A...Tone, flat
B...Tone, up (High boast)
PHONO 端子入力 0.02 V
C...Tone, cut (High cut)
D...Tone high boast

憲率は A 特性の場合に於て各周波
数共に出力 1 W (const) 時に於け
るもの
仮率測定時出力 (1 W)

図 3.4 低周波数特性

Fig. 3.4 Low frequency

characteristic.

要。 -20 -30 -4 68100 2 4 6810002 4 68100002 国 東 数 (今8)

+ 20

図 3.7 スピーカ 周波数特性 Fig. 3.7 Frequency characteristic.

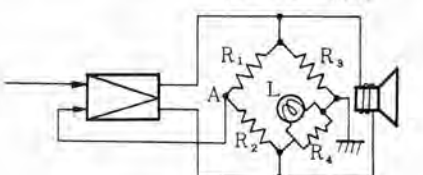


図 3.5 エキスパンダ 回路図 Fig. 3.5 Expander circuit.

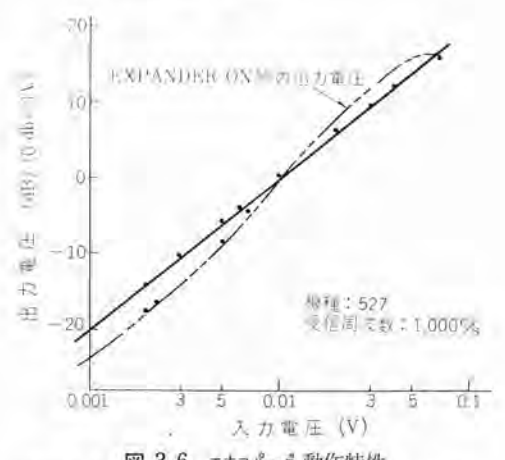


図 3.6 エキスパンタ 動作特性 Fig. 3.6 Expander operation characteristic.

形位相反転回路を採用して励振電圧の一部を他の3極部に加え位相反転を行なった。低周波および電力増幅部の総合利得は約40 dB セラミックカートリッジの出力を 0.1 V と見ても十分である。周波数特性を図3.4 に示す。

3.2.4 エクスパンダ

エクスパンダ の素子として パイロットランプ を使用した.

図 3.5 のように 5υ うL と抵抗 R_1 , R_2 , R_3 とで 5υ 905 を組み 2υ 2 かに 2υ 9 に 2υ 9 の抵抗値も 増減するので、 2υ 900 平衡が 破れる。 図中の 2υ 9 の抵抗値も 増減するので、 2υ 900 平衡が 破れる。 図中の 2υ 9 点に現われる電圧を 入力側に帰還させることにより、信号電圧の大小により、負帰還量は逆に減小あるいは 増大し、出力をさらに大きくあるいは小さくするので 2υ 2 2υ 9 2υ 9 となる。 2υ 7 L に 2υ 9 に 2υ 9 となる。 2υ 7 L に 2υ 9 に 2υ 9 となる。 2υ 9 L に 2υ 9 に 2υ 9 となる。 2υ 9 L に 2υ 9 に 2υ 9 となる。 2υ 9 と 2υ 9 に 2υ 9 の 2υ 9 に 2υ 9 の 2υ 9 の

3.2.5 スピーカ装置

スピーカ は 20 cm ダブルコーシスピーカ である。 周波数特性を図 3.7 に示す。

3.3 プレーヤ

画期的な自動演奏 ガーヤ である. 自動演奏の機能特長は



図 3.8 STP-527 形 プレーヤ 裏面 Fig. 3.8 Back of type STP-527 player.

- (a) レコードの大きさを自動的に探知するので、レコードの大きさ に関係なく針先が演奏開始位置におりる.
- (b) レコード 演奏が終われば自動的に アーム が上がり、アームレスト に帰る。
- (c) レコードの途中の任意の所から自動演奏できる。従来のもののように手動に切り換える必要はない。
- (d) 演奏途中でレバーを引けば、アーム は上がって アームレスト に帰るから、任意の所で自動停止ができる。
- (e) 繰返し演奏装置がついている.
- (1) すべての操作が一個の レバー を引くだけで行なわれる。したがって操作がきわめて簡明である。
- (g) 針の落下速度がゆるやかであるから レコード を傷つけない. なお ターンテーブル の直径は 20 cm, 4 スピード (162/3, 331/3, 45, 78 rpm) シンクロナスモータ を使用しているから電源電圧が変動しても 回転速度は一定している. アーム は ダイナミックパランス 形, カートリッジは セラミック を使用しているので高温高湿にも安定している. また ST-LP 用の針はダイヤ針を使用している.

4. t t V

以上 DSS-1005 形 ステレオ と DSS-527 形 ステレオ の大体を報告 したが、ステレオ 装置は比較的 "若い"機種であり、とくに プレート は改善の余地を多く残しているものと考える。また FM 放送の 免許も、あまり遠くないことが予想され回路の開発にもなすべき ことが多い。 ‡+ビネットの塗装技術の進歩も目ざましい。 意匠性 能ともさらに研究改良の努力を続けたい。

なお DSS-1005 形 ステレオ の完成にあたっては社内外の全面的なご協力をいただいた。ここに深甚な謝意を表する.

多帯域共用見通し外通信大口径パラボラアンテナ

土 井 博 之* ·高 須 勇*
加 藤 修 助** ·上 西 聖**
喜連川 隆***
森 川 洋****・東 野 義 夫****

A Huge Parabolic Antenna in Multibands for O/H Radio Relay Links

Nippon Telegraph and Telephone Public Corporation Electric Communication Laboratory of Nippon Telegraph and Telephone Public Corporation Mitsubishi Electric Corporation, Research Laboratory Mitsubishi Electric Corporation, Electronics Works Hiroyuki DOI • Isamu TAKASU Syusuke KATO • Kiyoshi UENISHI Takashi KITSUREGAWA Hiroshi MORIKAWA • Yoshio HIGASHINO

The Nippon Telegraph and Telephone Public Corporation has had a project to connect Kagoshima and Amami-ōshima by O/H propagation microwave communication. A huge antennas were built at both the locations. Each unit consists of a reflector of 16 m high and 25 m wide. Its primary radiator is used for 700 Mc band horizontally polarized wave and for 800 Mc band vertically polarized wave, and also is in common use for 2,000 Mc band vertically polarized wave and horizontally polarized one. The scale and performance of the antennas are unparalled in the world as an outcome of the latest study and development. Because of very adverse weather conditions, special considerations are taken in the design of the antennas to withstand the weather and wind.

1. まえがき

アメリカ 軍統治下にあった奄美大島が日本本土に復帰した昭和29 年当時,内地との電信電話は短波で行なわれていたが,回線数も少なく通信の品質も低くかったので,洋上に点在する島ずたいの VHF 通信も考えられたが,保守のはなはだ厄介なことが予想されていた。その当時は大電力送信機,高感度受信機と高利得アンテナをもってするマイクロ 波見通し外通信の研究が各国で取り上げられてきた時で(1),電気通信研究所においても研究の結果,鹿児

島一奄美大島間はその中間にある中之島を利用する山岳回折波伝 搬による見通し外通信が最適であるということになった.

その結果、本文記載の開口面積 400 m² の大口径 パラボラアシテナの建設計画が始められたのが昭和 31 年 9 月で、移設可能な直径 18 m の マイクロ 波見通し外伝搬試験用大口径 パラボラアンテナ の研究報告が ベル 研究所から出されたのと(1)、三菱電機が門司風師山に建設中の国際電信電話株式会社の直径 18 m のパラボラアンテナを完成したのとが、ちょうどこのときである(2).

そこで、まず問題になったのはこれらのものよりもさらに6割も開口面積の大きな巨大パラボラアンテナは、円形反射鏡を鉄柱で支持する構造のものと構築物の一面が方形開口反射鏡になっているものとのいずれが適しているかということであったが、前者につ



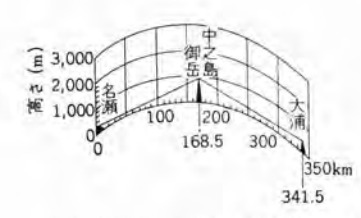


図 1.1 鹿児島-奄美大島間見通し外 伝搬路

Fig. 1.1 Map and profile showing path of O/H propagation between Kagoshima and Amami-öshima.





図 1.2 大口径 アンテナ の一次放射器と反射鏡 Fig. 1.2 Primary radiator and mirror of huge antenna.

いてはすでに国際電々のもののデータがあるので、後者について の資料を得るために模型を昭和 32 年9月に完成し、風胴実験を 電気通信研究所から東京大学航空研究所に依頼し, 種々検討の結 果,両者の長所を組み合わせた パックネット 構造のものが最も安価 で所要の性能を満足しうることがわかった.

この アンテナ の特長の第1は、開口面積 400 m² という巨大なも のであること(3), 第2は 700 Mc 帯, 水平偏波, 800 Mc 帯, 垂 直偏波, 2,000 Mc 帯, 垂直水平両偏波共用という多周波数帯共用 の偏波共用のアンテナであること、第3はこれをしばしば台風の通 路となる地域になんらの支障なく建設し、安全に動作するよう機 械的に十分考慮されたものとすることである. 以下本文において, 2 章ではその基本設計および総合性能,3 章には反射鏡の設計と 性能,4章には一次放射器の設計と性能とについてしるすことに する.

2. 設計の概要

2.1 反射鏡の基本設計

反射鏡の設計に際しては、まず開口 面積 400 m² という巨大な ものとなれば電気設計上の要求と機械設計上の要求とは必ずしも 一致するわけでなく、両者をうまく兼ね合わすことがむずかしい 問題となる。また、外国に比べてかなり貧弱なわが国の輸送路, 輸送機関によっても輸送可能な設計であることが必要である.

2.1.1 反射鏡の形状

電気性能上は円形反射鏡のほうが対称性を維持できて利得(開 口能率), 交差偏波結合度の点で若干有利であるが,このように大 形のものともなれば両者の比較は製作、建設、検査の容易さおよび 価格の面から決定すべきである。先に述べた方形開口反射鏡の風 胴実験の終了をまって種々検討を重ねた結果次の結論が得られた.

- (1) 方形開口反射鏡は円形反射鏡に比べて使用鉄材および基 礎 コンクリート が少なくてすむ.
- (2) 占有土地面積は両者ほぼ同じであるが、建設工事に必要 な土地は方形開口反射鏡のほうが狭くてすむ.
- (3) 工事の際の検査は円形反射鏡のほうが容易であるが、使 用状態における検査は方形のもののほうが容易である.
- (4) 建設工事そのものは方形開口反射鏡のほうが容易である が、鏡面精度を規制するのに工夫を要する.
- (5) 方形開口の場合、オフセット 給電に便利な構造とすること ができるため、反射鏡からの反射を少なくすることができる. このようにして方形開口反射鏡が採用されることになった。最 初は図2.1のようなアングル材で組み上げたトラスの構築物の前面 に反射面となる金網を張りつけた パネル を取り付けるという構想

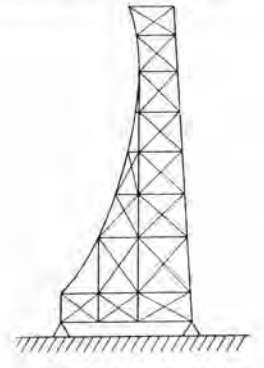


図 2.1 トラス 式反射鏡 図 2.2 支柱組立式反射鏡

Fig. 2. 1 Trass type mirror. Fig. 2. 2 Pipe frame type mirror.

であった。しかしこれでは非常に全重量が大きくなって不経済で あり、また現地での組立に著しく時日を要するのは不利だという ことになったので、全体をいくつかに縦割りにして各ュニットは図 2.2 のような簡潔な骨組みとし、材料の有する強度を有効に利用 する構造とした。 さらに縦割り ユニット の横方向の強度は ラーメン として解析することにし、 横からの荷重に対して低い応力しか生 じない斜材は省くことにした。この結果全重量は最初の案の約50 % になり、輸送には困難を伴ったが現地の組立期間を著しく短縮 できることになった.

2.1.2 開口角の選定

パラボラアンテナ の利得 (開口能率) はよく知られているように開 口角 24 が 130 度ないし 150 度の場合に最大値が得やすい。 し かし、かかる大口径 アンテナ の場合は製作の容易さ、経済性の面か ら考えると開日角を小さくすなわち残い反射鏡、とくに垂直面内 での開口角を小さくしたほうが得策であることはいうまでもない。 また、このアンテナの方向調整は一次放射器の位置を変位するとい う手段によらざるをえないので、方向調整による利得の低下、サイ ドローブレベルの上昇を軽減するためにも開口角が小さいほうが好ま

結局反射鏡寸法は横幅 25 m, 高さ 16 m,焦点距離 15 m,した がって水平面内開口角 24n=90.4 度, 垂直面内開口角 24v=59.4 度ということに決った。また、パラボラの軸と反射鏡との交点すな わち頂点は反射鏡中心から2m上方, 反射鏡下縁からは10mの ところに位置しており、したがって一次放射器の主放射方向はパ ラボラ 軸より約7度下方に傾いた、いわゆる オフセット・フィード と なっている.

2.1.3 鏡面の金網

反射鏡々面を構成する金網は ステンレス の エクスパンドメタル を使用 した. この場合の線径および網目寸法は電波透過率, したがって アンテナの利得および前後比に関係してくる。使用したものは後掲 の 図 3.1 に示すことく線径は 1.6×1.6 mm²,網目寸法は中央部 から左右 ±8m の範囲は対角線の長さが 8mm, 12mm の tシ 形, それより両側の部分は対角線の長さが 18 mm, 25.4 mm の to 形となっている。この場合の計算による 2,300 Mc での電波 透過率は中央部の細目部分で -15dB 以下, 両側の太目部分で -11 dB 以下となる.

2.2 一次放射器の基本設計

このアンテナは周波数帯共用、偏波共用を行なっている点が大き な特長であって, この目的にかなう一次放射器をいかにして実現 するかということに多大の努力が払われた.

このアンテナを使用する回線が将来国際的な回線に接続される ことを予想したものであり、またわが国最初の見通し外通信回線 である関係上、使用周波数帯の最終決定に至るまでには多くのう よ曲折があった。昭和33年10月に立てられた計画では250~277 Mc 垂直偏波, 610~860 Mc 水平偏波, 2,150~2,300 Mc 垂直水 平両偏波共用であって、この計画のもとに一次放射器の開発を進 めていたが、昭和 35 年 6 月になって 250 Mc 帯が中止された。 そして一次放射器に先行して反射鏡の工事が進められ昭和 35 年 4 月に鹿児島県大浦と奄美大島名瀬にそれぞれ1基ずつ設置され、 840~940 Mc 垂直偏波, 2,150~2,300 Mc 垂直偏波の 2 波で使用 しうる仮設一次放射器が取り付けられて、昭和 36 年 10 月1日 に回線の開通をみた(4)(5)(6)、この仮設一次放射器は電気運信研究 所で開発し、三菱電機株式会社で製作したものである.

この間本回線用の使用周波数決定が急がれていたが、ようやく 昭和 36 年 10 月に至り決定をみた。この結果 698~896 Mc 単一偏波、2,115~2,300 Mc 垂直水平両偏波共用となった。このように 800 Mc 帯の使用周波数帯域が仮設のものより低くなったため、すでに設置されていた方形導波管 WRJ-1 を用いた給電導波管系を 800 Mc 帯全域にわたってそのまま使用することが不可能となり、結局これを 698~737.6 Mc と 749.2~896 Mc の 2 周波数帯域に二分し、前者は同軸管 WX-77D で、後者は既設の方形導波管 WRJ-1 で給電することとなった。

このようにして一次放射器としては 698~737.6 Mc 水平偏波, 749.2~896 Mc 垂直偏波, 2.115~2,300 Mc 垂直水平両偏波共用 の 3 周波数帯域共用, 偏波共用の形式がとられることとなった.

さて、周波数帯共用パラポラアンテナの一次放射器の形式としては1個の超広帯域放射器を反射鏡焦点におき、適当な分波回路により各周波数帯を分離する方法が考えられるが、一次放射器指向性の周波数特性の改善法、インピーダンス整合法、大電力に耐えてしかも帯域の広い分波回路の実現法など、技術的に困難な問題が多く、その他数種の具体例につき慎重に検討を加えたが、結局性能という点に最重点をおき形状はやや複雑になるが 2,000 Mc 帯用のホーンを焦点におき、その周囲に 800 Mc 帯用のホーン 2 個および 700 Mc 帯 ダイポール 4 個を適当な間隔で配置して、所要の放射特性を持たせるようにしたものを採用した。

このような アレー 形式の一次放射器の指向性は単純に考えると、これを構成する各放射素子単体のもつ指向性に、各素子の幾何学的配置が定まる アレー 係数を乗じたものとして計算することができる。しかし今度のように複合した アレー の場合には他の素子群との相互干渉が生じ計算とはかなり、異なったものになり、かつこの干渉は指向性の上のみでなく インピーダンス の上にも影響を与える。したがってこの一次放射器の最終的な構造寸法は全放射素子を組み合わせたものについて実験的に決定するという手段をとらざるをえない。

この一次放射器の技術的なむつかしさの一つは、所要の指向性をもつ各素子およびこれに接続される給電同軸管あるいは給電導波管部品を互いに重なり合うことなしに配置し、しかも既設鉄塔上に設置する必要があるため、これらの構造寸法がかなり制約をうけることになって、インピーダンスの点で必ずしも最適の構造寸法のものを選びえないという点にある。また送信電力が大きいため一次放射器および給電系は許容電力容量を考慮した設計のものでなければならない。したがってインピーダンス整合に際しても、発熱して事故を起こす危険のあるような整合素子。たとえば深くそう入した容量性整合棒のごときは極力避ける必要がある。

このような難点を逐一解決して3周波数帯域共用、偏波共用の一次放射器を製作することができた。その構造は4章に詳述するように700 Mc 帯は対称トウ 管形平衡不平衡変成器を備えた水平偏波半波長 ダイポールを格子状 スクリーン の前方に4個配置して、同軸ジャンクションボックス を介して主給電同軸管 WX-77D で給電するもの、800 Mc 帯は H 面扇形ホーンを E 面方向すなわち垂直方向に2個配置して E 面 Y 分岐を介して方形導波管 WRJ-1 にて給電するもの、2,000 Mc 帯は4分割形正方形 ホーン を直交直線偏波分離回路を介して方形導波管 WRJ-2 で給電するものとなっている。

これらの一次放射器は許される範囲内で インピーダンス 特性の良好な構造寸法を選び、さらに導波管または同軸管内部に適当な整合素子を装荷して整合を行なうという従来よく使われる手段以外

に、指向性をそれほどそこなわない考慮のもとに放射器開口外方 にも整合用の適当な素子を装着する広帯域整合法がとられている。

2.3 アンテナの総合電気性能

この アンテナ は開口面積 400 m² という巨大なものであり、また 反射鏡と一次放射器との製作納入が約2年もずれていた関係で アンテナ 利得および総合 インピーダンス の工場試験は行ないえなかった。 表2.1 は後掲の図4.7 のアンテナ 一次放射器指向性から算出した予想利得であって、700 Mc 帯は 39 dB、800 Mc 帯は 42 dB、2,000 Mc 帯は 50 dB 程度となっている。700 Mc 帯の利得が低いのは、垂直面内一次放射器指向性の サイドローブレベル が高く アンテナ の漏れ放射 エネルギ が多いためである。このような技術的にむずかしい複

表 2.1 アンテナの利得

(一次放射器指向性から算出した値)

一次放射器)	形式	700 N ダイポ アコ		di -	Ac 帯		2,000 1		
945	谜	*	эk	雅	M.	*	平	TE-	100
周波数	(Mc)	705	730	7.50	980	2,115	2,300	2,115	2,300
$\frac{4\pi A}{\lambda^2}$ (dF	3)	44.4	44.7	45,0	46,5	54.0	54.7	54.0	54.7
$\eta_{ap} \cdot \eta_{sp}$	(25)	35.6	30.0	51.2	43.6	45.0	42.7	54.0	45.0
Jap - Jsp	(dB)	-4.5	-5.2	-2.9	-3.6	-3.5	-3.7	2.7	-3.5
鏡面透過掛	(dB)	-0.02	-0.02	- 0.02	-0.03	-0.20	-0.25	-0.20	-0.25
鏡面精度損	(dB)	-0.1	-0.1	-0.1	-0.1	-0.6	-0.6	-0.6	-0.6
利 (B (d	B)	39.8	39.4	42.0	42.8	50.2	50.7	51.0	50.9

表 2.2 反射鏡が アンテナ の電圧反射係数に及ぼす影響

(一次放射器指向性から算出した値)

一次放射器形式	700 N ダイポ アコ			le 帯		2,000 M 4 分割		
傷迹	*	spr	币	100	水	骅	雅	ilic
周 波 数 (Mc)	705	730	750	890	2,115	2,300	2,115	2,300
リアクション ゴアマ	0.07	0.07	0.05	0.05	0.01	0,03	0,02	0.03

合一次放射器をもつ3周波数帯域共用、偏波共用のパラボラアンテナ としては国内を問わず諸外国にも例がなく独自の構想と性能において広く内外に誇りうるものであると考えられる。

たお、アンテナの電圧反射係数に及ぼす反射鏡の影響 I'm を

$$\Gamma_m = \frac{G_f \cdot \lambda}{4\pi \cdot f}$$

Gr=一次放射器の利得

f=焦点距離

A=自由空間波長

から算出した結果が表2.2であって、アンテナの総合 インピーダンス が 図4.6 の一次放射器自体のもつ インピーダンス から変化するのがほ ぼこの程度であることを示している。

3. 反射鏡の設計と性能

3.1 設計計画

この Pンテナのおもな機械的条件は次のとおりである.

開口: 幅 25 m, 高さ 16 m の方形.

焦点距離: 15 m

頂点: 開口の左右開口幅の中心, 反射鏡の下縁から 10 m

鏡面: 全面回転放物面金属網

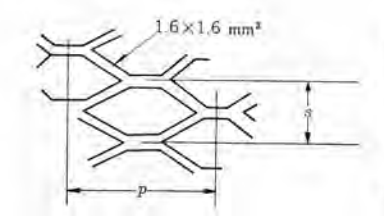
金網: 開口面の中心から左右 ±8 m まで線径 3 mm 間隔 20 mm 残部線径 3 mm 間隔 30 mm またはこれと同等以上 材質は ステンレス またはこれと同等以上の耐食性を有すること

地上高: 反射鏡の下縁が地表から 0.5 m 以上

耐風速: 瞬間最大風速 75 m/sec まで破壊しない

MINISTER BEINING AND TOTAL SECTION

基礎位置の精度: 垂直方向 5 mm 以内 水平方向 ±10 mm 以内



	P	S
中央部	18 mm	8 mm
外部	25.4 m m	12 mm

図 3.1 エクスパンドメタル Fig. 3.1 Expand metal.

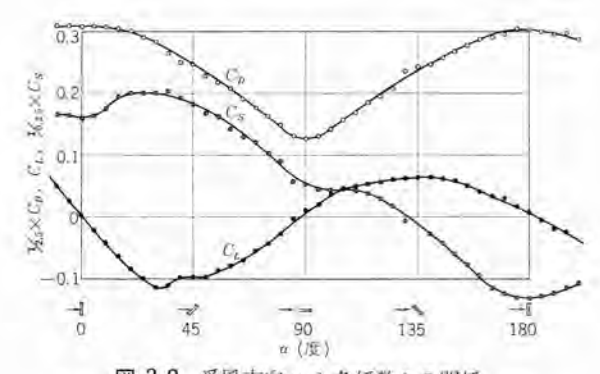


図 3.2 受風方向 α と各係数との関係 Fig. 3.2 Relation between each coefficient and wind vectol α.

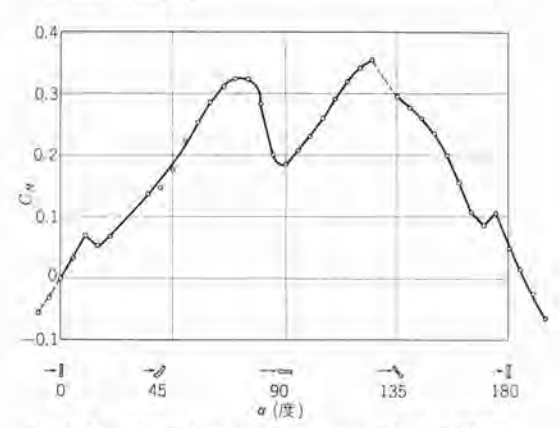


図 3.3 受風方向 α と回転 モーメント C_M との関係 Fig. 3.3 Relation between pitching moment coefficient and wind vectol α.

鏡面精度: 理想的な回転放物面に対しその軸方向に ±12 mm 以内

この仕様の項目中で困難をきわめたのは金網である。まず耐食の点からステンレスを用いることにしたが、径 3 mm の線で間隔20 mm という目の細かい網は編めないし、打抜板にするには材料が不経済である。また溶接網にするのは工賃が高すぎる。それで結局板厚 1.6 mm の ステンレス 板から目の細かい エクスパンドメタル を作って使用することにした。この エクスパンドメタル の寸法は図 3.1 のとおりであるが、これの製作も非常にむつかしく ヒズミ をとるのが大変であった。

3.2 模型による風胴実験

反射鏡の概略設計がすんだところで模型を製作し風胴実験を行なって各方向からの空気力(抵抗、揚力、横力 回転 E-J ント)をデンピンにより測定し、また金網格子の前後面の圧力を測定した。 さらに金網支持具を装置してこれに種々の金網を交換して取り付け、空気力の測定を行なった。 図 3.2 に受風方向 $\alpha \longrightarrow と抵抗係数 CD$,揚力係数 CD,機力係数 CD の関係を示し、図 3.3 に受風方向 $\alpha \longrightarrow D$ と回転 E-J 公外の関係を表わす。

この反射鏡の強度計算にあたっては風を前方または後方から受ける場合は一次不静定 トラス として、風を側方から受ける場合は 4 層8 径間の ラーメン として反射鏡主要部の強度計算を行なった.

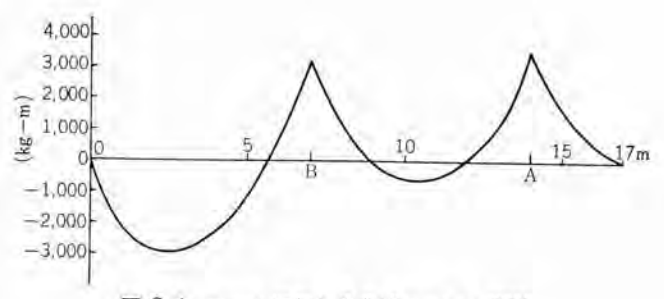


図 3.4 フレーム に加わる曲げ モーメント 線図 Fig. 3.4 Bending moment diagram on frame.

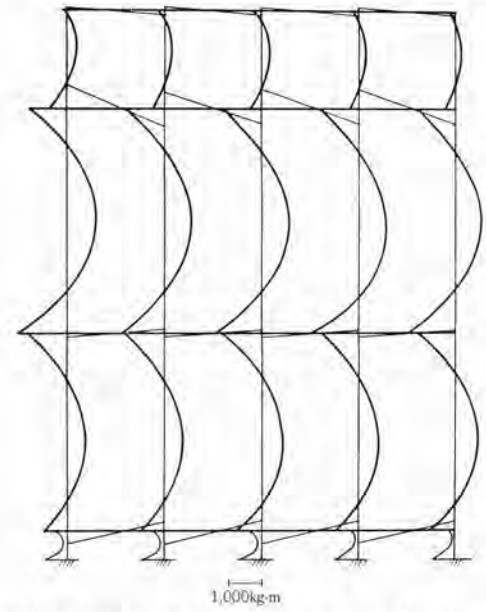


図 3.5 風が横から吹いた場合柱に生ずる曲げ モーメント Fig. 3.5 Bending moment diagram on column caused by lateral wind load.

図 3.4 は風を正面から受けた場合の縦柱に生ずる曲げ ϵ -メントを示し、図 3.5 は風を側面から受けた場合に柱に生ずる曲げ ϵ -メントを示す。

3.3 機械的性能

反射鏡は9個の ブロックに維制りしてあるが、その一つができたところでつり上げ試験を行なった。この試験によって現地組立の方法を確認するとともに、各部材にストレンゲージをはって構造部材として所要の強度を有しているか否かを確認した。 図3.6 はこの状況を示す。

この $r_{
u}$ $r_{
u$

機械構造的にふり返ってみると、この反射鏡はできるだけ簡潔な構成を採用し計算にのらない骨組を避けるように努めたので、すべての部材が有効に働く軽いものになった。おもな部材は変形をきん少にするために薄板構造とし、坐屈を考慮しながら材料のもつ強度を有効に使用した。図3.7はこの反射鏡の外観図である。

なおこの アンテナ を現地に据え付けて間もなく第二室 戸台風が 来たが、瞬間 75 m/sec 程度と想像される風にもなんらの損傷な く設計上誤りのないことを実証しえた-

4. 一次放射器の構造と性能

一次放射器に決められた電気的条件は次のとおりである。

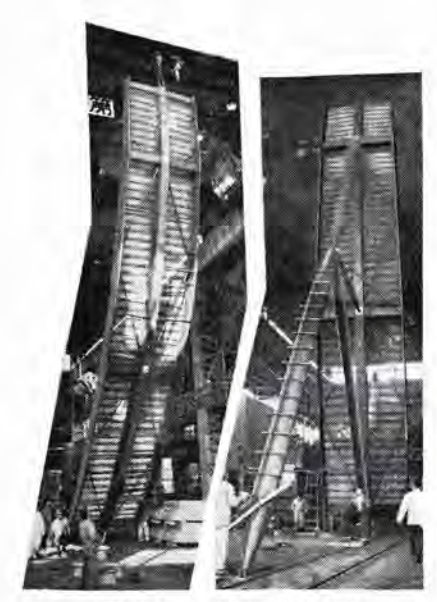


図 3.6 反射鏡の強度試験 Strength test of mirror section.

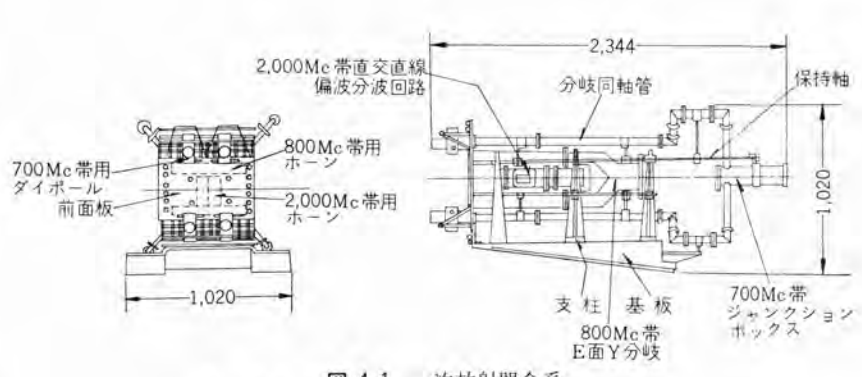


図 4.1 一次放射器全系 Fig. 4.1 Whole assembly of primary radiator.

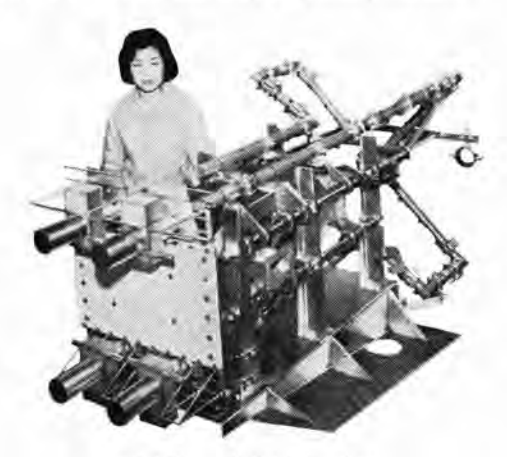


図 4.2 一次放射器の外観 Fig. 4.2 Outside view of primary radiator,

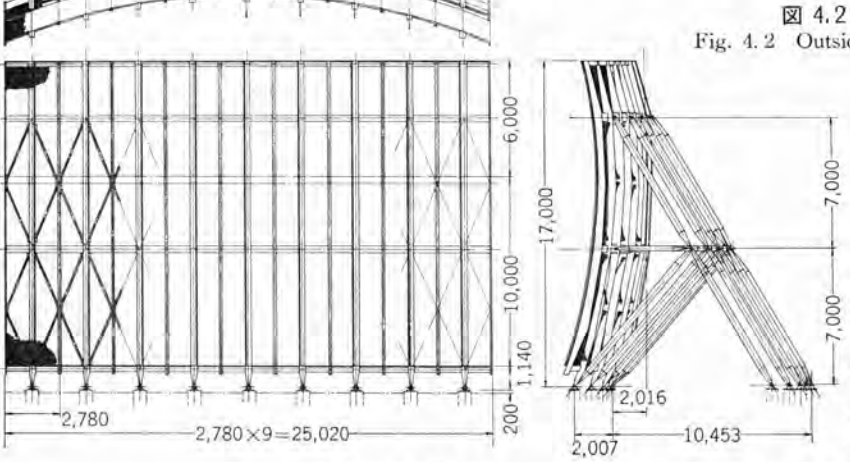


図 3.7 反射鏡の外観図 Fig. 3.7 Outside view of back-net type mirror.

軸からの高さ 1: 5 m 0 F 9 m Block No. +2.0 mm -3.0 mm $+6.3 \, \text{mm}$ +35 -1.8-4.8+3.1+3.8-4.2 -0.3 +5.0+3.7-2.70 +6.0 -2.0-7.84.3.7 +6.1 -2.2+8.8+1.2-65 -48 +93 -4.0 +3.0

表 3.1 1 号機の反射鏡鏡面精度

VSWR: 各周波数帯ともに最大 1.5 以下, 平均 1.25 以下

電力容量: 700 Mc 帯 2kW 以上 800 Mc 带 5kW 以上

2,000 Me 带 1kW 以上

図4.1 および 図4.2 は一次放射器の全系を示すものである.

4,1 2,000 Mc 帯一次放射器の構造

2,000 Mc 帯用垂直水平両偏波共用一次放射器は直交直線偏波

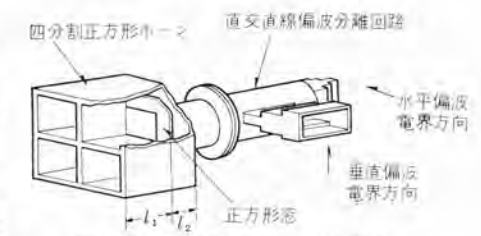


図 4.3 200 Mc 帯用一次放射器 Fig. 4.3 Primary radiator for 2,000 Mc band.

分離回路とホーン部とを組み合わせた構成になっ ている。直交直線偏波分離回路は図4.3に示す

ように TEn 姿態伝送円形導波管に2本の 2,000 Mc 帯用方形導 波管 WRJ-2, をその一方の軸が円形導波管の軸と共通に, 他方 の軸が直交するように接続された構造のものである. 広帯域にわ たって インピーダンス 特性を良好にし大電力に耐え、しかも 800 Me 帯用 ホーンアレー の内側に納めうる寸法になるようとくに意を払っ た設計となっている. 図に示すように各方形導波管と円形導波管 とはいずれも1/4波長変成器を介して接続され、とくに整合素子 を装荷することなしに広帯域にわたって良好な インピーダンス 特性 をもたせてある(7)(8).

ホーン 部は図4.3に示すように4分割正方形ホーンを円形導波管 で励振する構造のものである. 4 分割正方形 ホーン を使用した理 由はその外径寸法を小さくし, しかも垂直水平両偏波に対して垂 直面内および水平面内の一次放射器指向性ができるだけ所要の形 となるようにするためである。この開口寸法は一次放射器指向性 および 800 Mc 帯 ホーンアレー 配置の関係から決定されたものであ るので、これを構成している4個の正方形 ホーン の内径はかなり 小さなものとなり、そのままでは反射がかなり大きい。また入力 端側で電界に平行に装荷された金属板によっても反射が生ずる。

今回製作したものは4分割部の長さ4、円形導波管開口から4分割部までの長さ4。を適当に選定することによって上記の反射波および他周波数帯用一次放射器との干渉により生する反射波を互いに相殺し、さらに図に示す正方形窓を装荷することによって良好なインピーダンス特性を得ることができた。

4.2 800 Mc 帯用-次放射器の構造

800 Mc 帯用垂直偏波一次放射器は図4.4 に示すようにH 面扇形 ホーン をE面内に2個配置したものをE面Y分岐を介して方形導波管 WRJ-1 で励振する構成となっている。E面Y 分岐は主導波管と分岐導波管との特性 インピーダンス 比を 2:1 にし,かつ 導波管屈折部間の距離 d を約34 管内波長に選ぶことによって,インピーダンス 特性をよくしてある。

日面扇形 ホーン は所要 E 面内一次放射器指向性および 2,000 Mc 帯一次放射器外部寸法との関係からその E 面方向開口寸法 b が、また所要 H 面一次放射器指向性から H 面方向開口寸法 a が決定される.

このようにして決定された扇形 ホーン は必然的にへん平なもの とならざるを得ない。 また開口 フランジ、700 Mc 帯用 ダイポール な ど外部構造物の影響がかなり大きい。その上 800 Mc 帯の使用比 帯域は約 18% にもわたる。このような理由でこの ホーン 反射は 絶対値そのものが大きいばかりでなく周波数特性が著しく、その 広帯域整合は尋常の手段ではとうてい達せられない。それでまず、 ホーン 開口近くに電界と平行に金属板を2枚ずつ図 4.4 に示すよ うに装荷し、700 Mc 帯用 ダイポール の影響を軽減するとともに ホ ーン 開口部自身の インピーダンス 特性を改善した. 次に各ホーン外縁 から格子状ひさしを斜め前方に突出させることにより、開口面外 部での電流配分に変化をもたせて総合的な インピーダンス 特性を良 好にした。なおこれら広帯域整合の目的で付加された部分の寸法 はいずれも実験的に決定したが、その際 800 Mc 帯自身の一次放 射器指向性ならびに他の周波数帯用一次放射器のインピーダンス特性 および一次放射器指向性をできるだけそこなわないよう考慮が払 ってある

4.3 700 Mc 帯用一次放射器の構造

700 Mc 帯用水平偏波一次放射器は図4.5 に示すように,対称 ブッシング 形平衡不平衡変成器を持った4個の半波長 ダイポールを同軸 ジャンクションボックス を介して同軸管 WX-77D で給電する構成とな

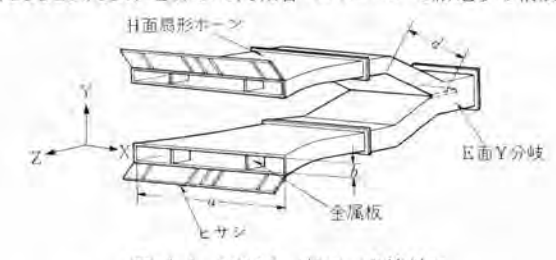


図 4.4 800 Mc 帶用一次放射器 Fig. 4.4 Primary radiator for 800 Mc band.

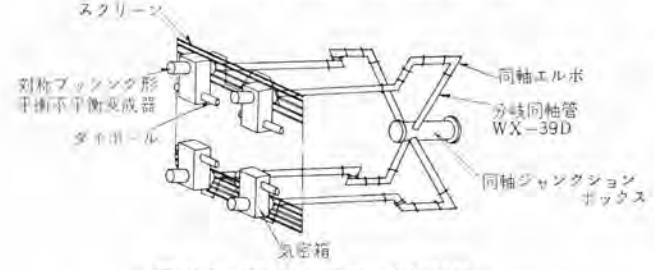


図 4.5 700 Mc 帯用一次放射器 Fig. 4.5 Primary radiator for 700 Mc band.

っている。同輔 $\ddot{v}_{1}+v_{2}$ \ddot{v}_{3} \ddot{v}_{3}

タイポール 用の平衡不平衡変成器,いわゆる バラン としては広帯 城特性をもたせ、しかも機構的に無理のない構造にするという観点から対称 ブラシンラ 形のものが使用してある。各 ダイポール の配置 および スクリーン との間隔は所要一次放射器指向性から決定してあり、その広帯域整合は ダイポール 軸長を適当に選定し、さらに同軸管 WX-39D 内に リンラ 状の サセブタンス 素子を装荷するという方法で行なってある。なお ジャンクションボックス から各 ダイポール に至る 同軸管 WX-39D の配管寸法は、機構的には他の周波数帯一次放射器および給電系と空間的に重なり合うことなく、しかも同軸エルボー の必要個数をできるだけ少なくすることを考え、また電気的には同軸 エルボー による反射波が同位相であい加わることのないように決定した。

この 700 Mc 帯用一次放射器もやはり気密構造が必要であるので ダイポール の一部を 3 フッ化塩化 ポリエチレン 製の気密箱にておおってある.

4.4 前面板

この一次放射器はすべて気密構造であることが要求された.700 Mc 帯一次放射器のみは前述のごとく気密箱が装着されているが,800 Mc 帯および 2,000 Mc 帯一次放射器はその開口面を共通の1 枚の誘電体の前面板でふさいである。この前面板は物理的にも化学的にも絶対に安定であるという条件のほかに装着状態で

- (a) 10 g/cm⁹ 以上の内圧に耐えること
- (b) 800 Mc, 5 kW 2,000 Mc, 1 kW の連続波を投入して異 状のないこと

が必要である。その上インピーダンス 特性および一次放射器指向性を それほど乱さない材質寸法のものであることが望ましい。

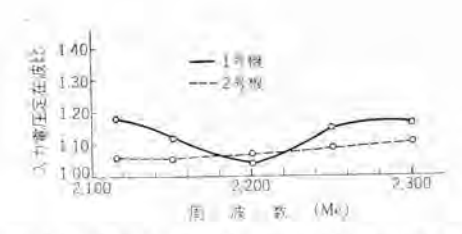
前面板の材質として物理的、化学的に安定であるという点でつッ素樹脂を選んだ。まず3つッ 化塩化ポリエチレン 板では (a) の条件を満たすための板厚は $6.5 \,\mathrm{mm}$ 程度となる。ところでこの場合、800 Mc 帯放射器で $5 \,\mathrm{kW}$ 投入したときの誘電体損による単位体 積あたりの消費電力は $\varepsilon=2.3 \,\mathrm{tan}\,\delta=0.011$ として計算すると $0.094 \,\mathrm{W/cm}^3$ に達する。 このとき前面板内温度分布を定常熱伝導の問題として取り扱い、導波管内温度が $75^{\circ}\mathrm{C}$ 、外気温度が $45^{\circ}\mathrm{C}$ 、前面板材料の熱伝導率が $1.44 \times 10^{-4} \,\mathrm{cal/cm \cdot sec \cdot ^{\circ}C}$ の場合について計算すると,前面板内温度の最高値は $106^{\circ}\mathrm{C}$ に達して $30^{\circ}\mathrm{C}$ 塩化 ポリエチレン がそこなわれる危険がないとはいえない。

これに対して前面板として厚き $7.5\,\mathrm{mm}$ の $4\,\mathrm{Jp}$ 化 \mathfrak{A} リエチレシ 板を使用した場合,同じく $800\,\mathrm{Mc}$ で $5\,\mathrm{kW}$ 投入したときの単位体 積あたりの消費電力は ϵ =2.0, $\tan\delta$ =0.0005 として計算すると, $0.000354\,\mathrm{W/cm^3}$ 程度にしかならない。その上熱伝導率は $5\times10^{-4}\,\mathrm{cal/cm\cdot sec\cdot^{\circ}C}$ で先の材料より大きく同様の外囲条件のもとで計算した結果,板の温度は導波管内温度 $75^{\circ}\mathrm{C}$ より高くならないことがわかった。

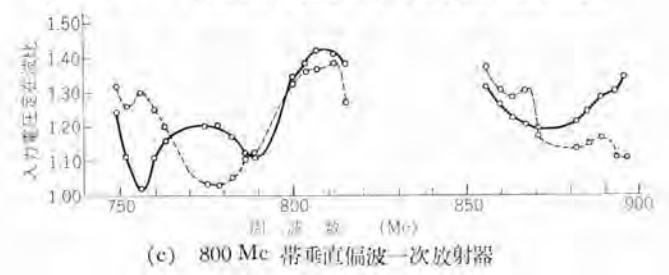
以上の理論的検討の結果前面板には機械的性質は多少劣るけれ どもつッ化 ポリエチレン 板を使用した・

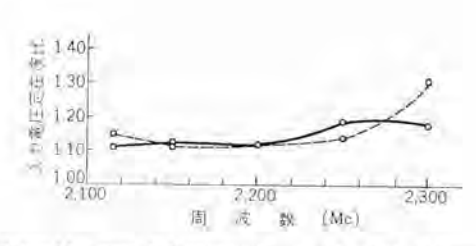
4.5 一次放射器の電気的性能

この一次放射器は各周波数帯放射系の間の相互干渉がかなり あり、したがってその特性は各放射系を組み合わせて最終的調整

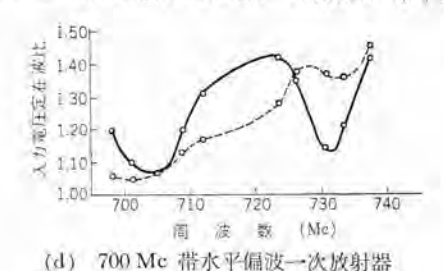


(a) 2,000 Mc 带垂直水平偏波共用一次放射器 (垂直偏波)

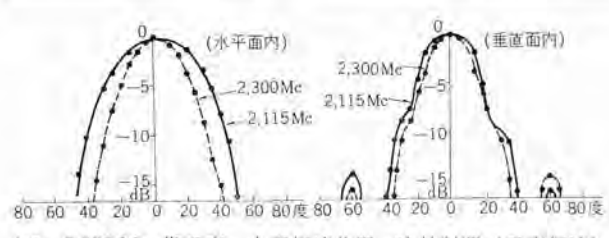




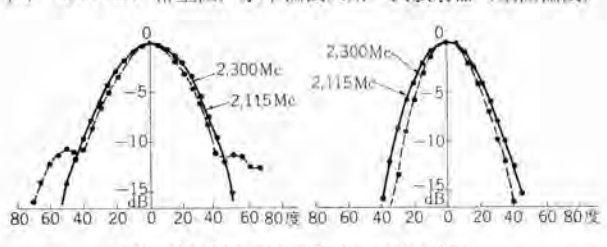
(b) 2,000 Mc 带垂直水平偏波共用一次放射器 (水平偏波)



一次放射器の入力電圧定在波比 Fig. 4.6 Input VSWR of primary radiator.

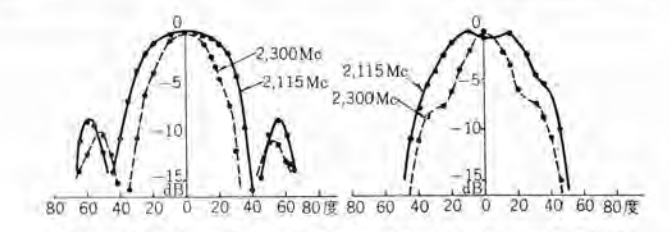


(a) 2,000 Mc 带垂直, 水平偏波共用一次放射器 (垂直偏波)

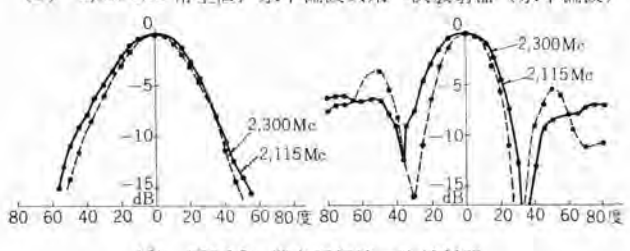


(c) 800 Mc 带垂直偏波一次放射器

図 4.7 一次放射器指向特性



(b) 2,000 Mc 带垂直, 水平偏波共用一次放射器 (水平偏波)



(d) 700 Mc 带水平偏波一次放射器

Fig. 4.7 Radiation pattern of primary radiator.

を行なった上で測定する必要がある.

一次放射器の入力電圧定在波比の測定値を図4.6 に示す。各周 波数帯に対して最大値 1.5 以下, 平均値 1.25 以下の要求値を満 足している.

一次放射器指向性の測定値を図4.7に示す. 反射鏡周縁方向す なわち垂直面内では ±29.7 度, 水平面内では ±45.2 度方向の レ ベル が最大放射方向の レベルに対していずれる -10 dB 付近にあ って、利得を最大にする条件をほぼ満足している.

すび 5. t

以上この アンテナの基本設計と総合性能,反射鏡および一次放射 器の設計と性能などについて述べた。巨大なことも特長であるが、 700 Mc 水平偏波, 800 Mc 垂直偏波, 2,000 Mc 垂直水平偏波共 用という多周波数帯共用の偏波共用パラボラアンテナは世界にまった く例を見ないもので、軽量にして最大風速 75 m/sec に耐えてい ることは、わが国の アンテナ 技術がいかにすぐれているかという ことを示す好材料である.

この アンテナ は 700 Mc 帯で テレビ中継下り 2 ルート,800 Mc 帯 で テレビ 中継下り 3 ルート 上り 2 ルート、2,000 Mc 帯で 60 回線の 電話中継が5ルート収容できることになっているので、沖縄諸島の 経済, 文化の発展に寄与することが大いに期待されている.

筆をおくにあたり、計画の当初からご指導ごべんたつを賜わっ た電気通信研究所電波伝播研究室長を径て東京大学教授になられ た故河津祐元博士ならびに電気通信研究所次長染谷勲博士。同第 ·無線研究室長岩井文彦氏,同電波伝播研究室長藤村弘文博士, 同第一無線研究室長補佐森永隆広博士の各氏に深謝するとともに、 技術局調査役林新二博士、同柿田潔博士をはじめご協力をいただ いた技術局および臨時極超短波部の関係各位に対して厚くお礼申 し上げる.

考文献

- (1) A.B. Crawford, H.T. Friis and W.C. Jakes J.R.: A 60 foot Diameter Parabolic Antenna for Propagation Studies" B.S.T.J., 35, No. 5, p. 1199 (Sept., 1956)
- (2) 竹内,和田,樫本,香取,喜連川: "大口径 パラボラアンテナ" 「三菱電機」31, No. 7 臨時增刊無線機特集, p. 854(昭32)
- (3) 喜連川: "大口径 アンテナ" 電学関西支部連大論文集,部 門講演, p. 325 (昭 36)
- (4) 大橋, 鮎沢, 上西: "見通し外通信用大口径 パラポラアシテナ" 電気通信学会全国大会講演論文集, p. 154 (昭 36)
- (5) 古市, 与田: "鹿児島—名瀬間見透し外 マイクロ 回線の設 計と工事概要 [I]"「施設」13, No. 10, p. 64 (昭 36)
- 古市, 与田: "鹿児島 一名瀬間見透し外 マイクロ 回線の設計 と工事概要 [II] "「施設」13, No. 11, p. 64 (昭 36)
- 喜連川,立川: "直交直線偏波分離回路3種"電学連大論 文集, p. 899 (昭 37)
- (8) 喜連川, 立川: "マイクロ 波回路の広帯域整合法"「三菱電 機技報」36, No. 9, p. 1117 (昭 37)

MHD 発電装置の設計に関する一考察

伊藤利朗* 森川鉄也**·村井 裕**

A Consideration to the Design of MHD Generator

Research Laboratory Toshio ITO • Tetsuya MORIKAWA • Yutaka MURAI

In the MHD generator duct, the temperature is extremely high and the flow velocity is almost sonic. Then the thermal and friction losses are presumed remarkably large. These various losses taken into account, theoritical considerations are given to the design of the MHD duct and also theoritical discussions are made on the efficiency of the MHD power plant affected by them. In furtherance of the subjects calculational results are given on the losses of open cycle MHD generators having output of 200 kW ~400 MW to clarify the following facts. Generators with output smaller than 1 MW involve losses more than the output. Even in large scale generators the losses are apt to be ten percents of the output, but by recovering the thermal losses from the wall with conventional boilers efficiency above 50% can be expected.

1. まえがき

MHD 発電装置の設計理論については、かなり多くの論文が発表されているが、これらの論文の大部分は、ダクト内の熱損失、および摩擦損失を無視した近似的考察を行なったものに過ぎない。しかしながら、高温、高マッハ数状態にある MHD 発電 ダクトに対して、これらの損失を無視した取り扱いを適用することには、かなりの無理があることは明らかであろう。

実際、MHD 発電に必要な導電率を得るには、少なくとも3,000°K 程度の高温を必要とするが、現状ではこのような条件で断熱的に使用できる材料の入手は困難であるため、器壁を構成材料の許容温度まで冷却することが必要である。したがって、とくに高温が要求されるオープンサイクルでは、作業流体から器壁への熱損、とくに放射損失の大きくなることが十分推察される。またホール効果による空間導電率の低下を防ぐため、電極を分割する必要があること、電極の不均一な消耗で電極表面があれること、しかも発電 ヴクト 内ではマッハ 数が高いことなどの原因が重なって、器壁での摩擦損失もかなり大きくなる。これらの理由で、設計理論および総合効率の検討のためには、各種の損失を考慮しなければならないことは明らかであろう。

著者らは以上の点に留意して、従来の設計理論を一歩進め、各種の損失を考慮した MHD 発電 ダット の設計理論を確立するとともに、これらの損失が MHD 発電装置の総合効率に与える影響を考察したので、その結果について報告する。

2、MHD 発電所の概要

MHD 発電方式は、使用した作業流体を放棄するか再び加熱するかによって、オープンサイクル方式と クローズドサイクル 方式に大別される。 オープンサイクル 方式とは、化石燃料の燃焼によって発生した高温気体を直接作業流体として使用する発電方式であって、建設費は クローズドサイクル 方式に比べて安価であるが、燃焼生成物が作業流体をかねているので導電率の点から高温が要求され、また腐食作用が大きいため器壁を構成する材料に耐熱耐食性が要求される

一方 クローズドサイクル 方式では、必ず間接加熱となり、現在の技術では解決の困難な高温の熱交換器を必要とするので、オープンサイクル より具現性にとぼしいとされている。しかしながら一方では、作業流体として任意の気体が選択できるという利点がある。すなわち、この場合には、燃焼ガスに比べて、電子衝突断面の小さい不活性気体が使用でき、比較的低い温度でかなりの導電性が得られることになるので、オープンサイクルよりも低温で運転できるようになる。また化学反応の点からも、選びうる構成材の範囲が広くなる。

いずれの形式をとるにせよ、非平衡電離のような特殊な手段を 用いない限り、MHD ダクトからの排気 ガス は 2,000°K またはそれ以上の温度をもっているので、プラント効率を高めるためには、 この排気熱を有効に利用しなければならないことは明らかである。 しかし現在のところ、最新の火力発電技術で利用可能な温度は 1,000°K 程度である。したがって、この排気熱をいかに有効に利用するかということも、発電 ダクト そのものの技術的開発と同様に、重要視されるべき問題である。現在では、この排気熱の回収に、再生器および従来の火力発電装置を利用することが提案されている。

図2.1,2.2にそれぞれ オーブンサイクル 方式および クローズドサイクル 方式の発電所の ブロックダイヤグラム を示す.

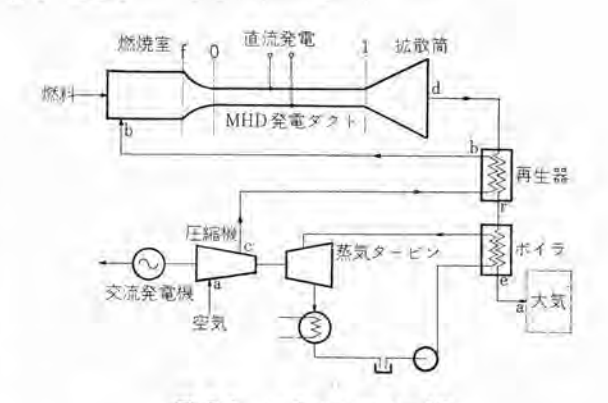


図 2.1 オープッサイクル の一例 Fig. 2.1 An example of open cycle generator.

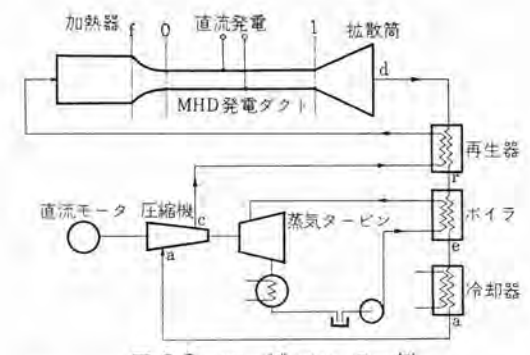


図 2.2 クローズドサイクル の一例 Fig. 2.2 An example of closed cycle generator.

次に MHD 発電所の熱 サイクル を簡単に説明しよう.

燃焼室(または加熱室)で高圧低 マッハ 数状態にある作業流体 に熱量が供給される。燃焼室を出た高温気体は f-0 間に設置さ れた加速 ノズル を通過することによって マッハ 数を増し、発電 ダ クト 入口 0 点に達するまでに作業流体は必要な マッハ 数を得る. 0-1 間の発電 ダット で MHD 発電が行なわれる. 発電 ダット を 出た高温高速流体は拡散筒を通過することによって低 マッハ 数流 体に変換され、温度および圧力を回復する。拡散筒を出た作業流 体は再生器の高温側に導入され、低温側の作業流体に熱量を供給 する. 再生器を出た排気はまだ十分に高温なのでこれを ポイラ に 入れ、生じた蒸気で タービン を運転し圧縮機、発電機を動かせる. しかし gービッは MHD 発電機の出力の一部で運転される電動機 によって助勢されることもある。 ボイラ を出た排気 ガス は オープン サイクル 方式の場合は大気中に、クローズドサイクル 方式の場合には冷 却器に導入され、冷却されて圧縮機入口に導びかれる。 圧縮機は 発電に必要な圧力頭を与えるものである。圧縮機を出た低温高圧 気体は再生器を通過することによって発電 ずット を出た高温排気 ガス の熱量を一部回収した後、加熱量に導入される.

3. 発電ダクトに関する理論的考察

図3.1 に示すような発電 ダクト を考えよう。 図において f は 燃焼室出口, f—0 間は, 発電に必要な マッハ 数を得るための加速 ノズル, 0—1 間は発電 ダクト, 1—d 間は圧力回収のための拡散筒である。 ダクト 内の作業流体の流れは図に示すように, x 方向とする。発電 ダクトで, 紙面と垂直な方向に磁界が印加されると, y 方向に電圧が発生するから、電極間に適当な負荷を接続すれば, これに電流が流れ, 所要の電力が外部に取り出される。発電 ダクト内では ーx 方向に ホール 電界が発生するが, ホール 電流が流れないようにするために電極は十分に分割され, 互いに対向する部分だけが電気的に接続されている。したがって ホール 電流は無視できる。

以上の仮定のほかに発電 ダクト の基礎方程式を立てるにあたって、次のような仮定をおく.

(1) 一次元定常流の理論が適用できる。 すなわち作業流体の



図 3.1 MHD 発電 ラクト Fig. 3.1 MHD duct.

諸特性は流路断面にわたって一様である.

- (2) 導電率は スカラー 量である.
- (3) 発電 ダット 内の磁束密度は一様である。
- (4) 作業流体は圧縮性理想気体である.
- (5) 磁気 レイノルブ 数が小さい、すなわち、発電 got 内の電流によって生ずる二次的な磁界の影響は無視する。

したがって次のような基礎方程式が適用される.

pus=m(3.1) 質量保存式 $\rho u \frac{du}{dx} = -\frac{dp}{dx} - jB - f \qquad (3.2)$ 運動量保存式 $\rho u \frac{d}{dx} \left(h + \frac{u^2}{2} \right) = -jE - q \quad \cdots \quad (3,3)$ エネルギ 保存式 $j=\sigma(uB-E)$ (3.4) 電流方程式 $p = \rho RT$ (3.5) 状態方程式 $h=C_nT$ (3.6) エンタルピー温度関係式 $u^2 = \gamma RTM^2$ (3.7) マッハ 数一温度関係式 エントロピー温度関係式 $s = C_n l_n T - R l_n p + K \cdots (3.8)$ 上式および以下に記述する式における記号をまとめると表3.1

上入および以下に記述する人における記号をまとめると**次3** のようになる。

表3.1 記号表 (圧力以外は M. K.S 単位)

B 磁束密度	q 単位体積当りの熱損失 R 気体定数 Re レイノルズ数 S エシトロビ S 断面積 T 温 度	p衡度
Cn 定压比熱	R 気体定数	σ 導電率
DR 等価資経	Re レイノルス数	抵抗係数
E 電位傾度	5 ISTU	1 10 [1 内の値が 立
Ec 電離エネルギ	S Minitel	間の積分値あるいは平均
f 単位体積当りの結性力	T 温度	値であることを示す。
		一 平均值
$G = 1 + (\gamma - 1)M^2/2$	V 負荷電圧または休積	鑑 字
G(T) 薄電率の温度依存式	ôV 電極障下	a 圧縮機低温側
h エンタルビ	w 単位表面積当りの熱損	b 燃烧宝人口
H 熱人力	失	c 圧縮機.圧縮機高温側,
H 熱人力	ェ 流れ方向の位置座標	または熱伝導
k ボルツマン定数	n 熱伝道端	d 拡散筒出口 f 燃烧室出口
1 間の長さ	ッ 比熱比	f 燃燒室出口
L 流れ方向の長さ	γ 比熱比 δ 放射係数 ζ 圧力損失係数	g 気体 p 発 電
m 質量流れ	と 圧力損失係数	p 発 電
Mann	カ 効 楽	1 损失
Noスッセルト数	θ 角 度 λ 熱伝導率	r 熱放射
p 压力	λ 熟伝導率	w器號
P 発電出力	λ 熱伝導率 μ 粘性係数 υ 負荷係数の逆数	0 発電ダクト人口
Pr プランドル数	υ 負荷係数の逆数	1 発電ダクト出口

以下に上の基礎方程式を用いて流路各部における気流状態の変 化を求める.

3.1 加速ノズル

加速 Jズル は燃焼室と発電 gクト の間に設置され、燃焼室で温度 T_f 、圧力 p_f の作業流体に発電に必要な qのp0 数 M_0 を与えるものである.

温度に関する関係式は式(3.3) のjをも0とおいて両辺にSをかけfから0まで徴分することによって容易に求められる。

$$T_f - [T_t]_{t_0} = T_0 \left(1 + \frac{\gamma - 1}{2} M_0^2\right) \quad \dots (3.9)$$

ここに $[T_t]_n$ は加速 ノズル での熱損失による温度降下を示し、次式で与えられる。

$$[T_I]_{I_0} = (F_r w_r + F_c w_c)/mC_{p}$$
(3. 10)
 $w_r = 5.69 \varepsilon_g \varepsilon_W (T_g^A - T_W^A) \times 10^{-8}$ (3. 11)
 $w_c = \alpha (T_g - T_W)$ (3. 12)
 $\alpha = \lambda N_{ul}/D_K = 0.023 P_r^{0.4} R_e^{0.8} \lambda/D_K$ (3. 13)
 $P_r = C_p \mu/\lambda$ (3. 14)
 $R_e = D_K u_P/\mu$ (3. 15)

ただし F_r , F_c は, 放射, 伝導に寄与する実効表面積である。 また図 3.2は CO_2 , H_2O 混合気体における熱伝導率 λ , 粘性係数 μ と温度との関係を示したものである。

次に式 (3,2) と式 (3,3) とから u を消去し、 T_{i}/T 、 P_{i}/P 、

三菱電機技報 · Vol. 37 · No. 11 · 1963

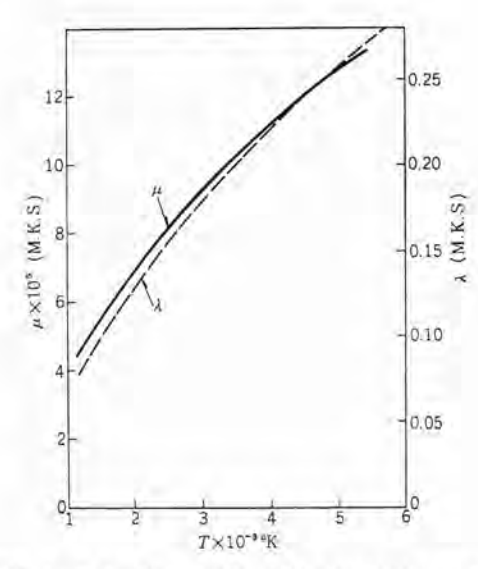


図 3.2 λ, μ と温度との関係 (凍結状態を仮定している) Fig. 3.2 λ, μ vs temperature.

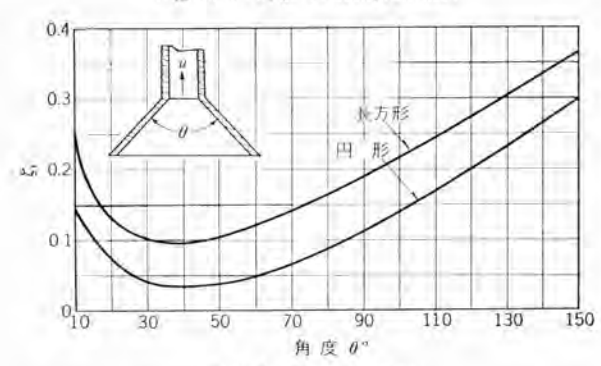


図 3.3 入口損失係数

Fig. 3.3 Coefficient of pressure loss at the entrance. $(\gamma-1)M^2/2$ の二次項以上を無視して積分すると、圧力と γ 少り数との関係を与える次式が得られる.

$$P_f - [P_t]_{r_0} = P_0 \left(1 + \frac{\gamma - 1}{2} M_0^2\right)^{\frac{\gamma}{\gamma - 1}} \cdots (3.16)$$

ここに

$$[P_t]_{t0} = \zeta_{f0} \gamma M_0^2 P_{f0} / 2 \cdots (3, 17)$$

加速 ノズル における損失係数 ζ_{70} は一般に図3.3のように ノズル のしぼり角 θ だけの関数である.

結局式 (3.9), (3.16) が加速 Jズル 入口, 出口における気流特性の変化を表わす関係式となる。 なお以上の取り扱いでは S_f/S_0 は十分大きく

$$\frac{\gamma-1}{2}M_{f^2}\ll 1$$

であると仮定して燃焼室における マッハ 数の項を無視している.

3.2 発電ダクト

発電 ダクトは、定流速形、定断面積形、定圧力形など多くの方式 が提案され解析がなされているが、ここでは、定流速形、定マッ ハ数形、定温度形の各方式の発電機について考察しよう。

まずはじめに温度と マッハ 数との関係式を求めよう.

$$T=T'-T_t$$
 $T'\gg T_t$ (3.18)

とし式 (3.3) を 0 から 1 まで積分すると次式が得られる.

$$T_1'\!\!\left(1\!+\!\frac{\gamma\!-\!1}{2}M_1^2\right)\!=\!-T_p\!+T_0\!\!\left(1\!+\!\frac{\gamma\!-\!1}{2}M_0^2\right)\cdots(3.19)$$

ここに T_n , T_r は発電、熱損失による温度降下を示し次式で与えられる。

$$T_{v}=P_{v}mC_{v}$$
 (3.20)

$$T_l = \frac{1}{mC_v} \int qs \, dx \qquad (3.21)$$

発電 ダクト での単位長さあたりの摩擦損失は抵抗係数を φ と すると次式で与えられる。

$$f = \frac{\phi_{\gamma} M^2 p}{2D_K} \quad \dots \quad \dots \quad \dots \quad (3.22)$$

次に式 (3.2) と式 (3.3) とから j を消去すると温度、圧力、マッハ 数との関係を与える次式が得られる。

$$\frac{1}{T'}\frac{d}{dx}T'\left\{1+\left(1-\frac{1}{\nu}\right)^{\gamma}\frac{-1}{2}M^{2}\right\} = \frac{\gamma-1}{\gamma\nu}\left(\frac{1}{p}\frac{dp}{dx} + \frac{\phi\gamma M^{2}}{2D_{K}}\right)$$
....(3.23)

EEK

$$v = Bu \ E$$
(3, 24)

式 (3.2) と式 (3.4) とから j を消去すると次式が得られる.

$$\frac{\gamma}{2} \frac{1}{T'} \frac{d}{dx} T' M^2 = -\frac{1}{p} \frac{dp}{dx} - \frac{\sigma}{p} B^2 u \left(1 - \frac{1}{\nu}\right) - \frac{\phi \gamma M^2}{2D_K} (3.25)$$

式 (3.19) (3.23) (3.25) が発電 3クトに関する一般式である。 式 (3.23) で右辺第2項を、式 (3.25) で右辺第2項および第3 項を 3クト にわたって一定であると仮定し、温度 T' と 2つり 数 M との関係を与えると、これらの式は容易に積分することができる。以下次のような各方式の発電機について、この積分を求めよう。

(1) 定流速形の場合

u=一定の場合,温度とマッハ 数の間には次のような関係式が成立する。

式 (3.26) を式 (3.19) に代入すると温度に関する関係式が得 られる。

$$T_0 - T_1 = T_n + [T_t]_{01}$$
(3.27)

式 (3.26) を式 (3.25) に代入し積分すると、ダット 長 L_{01} と 気流状態との関係を与える次式が得られる.

$$p_p = p_0 - p_1 - [p_t]_{01} - \cdots (3.28)$$

$$z \in \mathcal{L}$$
 $p_p = (1-1/\nu)uB^2\sigma L_{01}$

$$\bar{\sigma} = \frac{1}{L_{01}} \int_0^{L_{01}} \sigma \, dx$$

$$|p_1|_{01} = \phi_Y M^2 p L_{01} / 2D_K$$

同様にして式(3.23)を積分すると次のように圧力と温度との 関係式が得られる。

$$\frac{T_0 - T_p}{T_0} = \left(\frac{p_0 - p_p}{p_0}\right)^{\gamma - 1} \qquad (3.29)$$

(2) 定マッハ 数形の場合

M=一定の場合, 式 (3.19) は次式のようになる.

$$T_0 - T_1 = T_p G + [T_t]_{0t}$$
(3.30)

$= 1 + (\gamma - 1)M^2 2$

また式 (3.25) から ダクト 長と気流状態の変化との関係を与える次式が得られる。

$$\Big(1 - \frac{1}{\nu}\Big) \! B^{\mathrm{g}}\! \Big(\frac{u\sigma}{P}\Big) \! L_{01} \! = \! \ln\! \Big(\frac{p_0}{P_1 \! + \! \lfloor p_t \rfloor_{01}}\!\Big) \! \Big(\frac{T_0}{T_0 \! - \! T_{p_{\mathrm{f}}} G}\Big)^{\frac{\gamma}{2} M^2}$$

$$\subset \subset \subset \left(\frac{u\sigma}{p}\right) = \frac{1}{L_{01}} \int_{0}^{L_{01}} \left(\frac{u\sigma}{p}\right) dx - \cdots (3.31')$$

また式 (3.23) から、圧力対温度の関係式が次のように得られる。

$$\left(\frac{T_0 - T_t/G}{T_0}\right)^{G'} = \left(\frac{p_1 + [p_t]_{01}}{p_0}\right)^{\frac{\gamma - 1}{\gamma v}} \cdots (3.32)$$

 $C \subset C \qquad G' = 1 + (1 - 1/\nu)(\gamma - 1)M^2/2$

(3) 定温度形の場合

T=一定の場合、式 (3.19) は次のようになる。

$$(\gamma - 1)T_0(M_0^2 - M_1^2)/2 = T\rho + [T_t]_{01} - \cdots (3.33)$$

式 (3.25) からLot に関する関係を求めると、

$$\left(1 - \frac{1}{\nu}\right) B^{3} \left(\frac{u\sigma}{p}\right) L_{01} = \frac{\gamma}{2} \left(M_{0}^{3} - M_{1}^{3}\right) - \ln \frac{p_{1} + \lfloor p_{1} \rfloor_{01}}{p_{0}} \cdots (3, 34)$$

ここに (uo p) は式 (3.31') と同様にして与えられる.

次に式 (3.23) から、圧力対 マッハ 数の関係を求めると、

$$\left(1 - \frac{1}{\nu}\right)^{\gamma - 1} (M_1^3 - M_0^3) = \frac{\gamma - 1}{\gamma \nu} \ln \frac{p_1 + [p_I]_{01}}{p_0} \cdots (3.35)$$

以上の解析では p_l/p_r $(\gamma-1)M^{\circ}/2$, T_l/T の 2 次項を無視している。

3.3 拡散筒

発電 ダクト 出口での流速はかなり大きいので、流速の運動 エネルギ を回収することが望ましい。それには拡散筒などの漸変断面の拡大管を用いて減速するのがまく、この場合拡散筒での損失を少なく、しかも静圧回復率を大きくすることが必要である。拡大管の拡大角は回収すべき速度 エネルギ、拡散筒での熱損失および摩擦損失、拡散筒を設置すべき空間の大きさ、建設費などに関係するが、だいたい 10~20° ぐらいが望ましい。

拡散筒に関する関係式は加速 ノボル の場合と同様にして求める ことができる。

式 (3.3) の j を $\[varphi$ とおき、拡散筒出口における $\[varphi$ 数を 無視して積分すると温度に関する関係式が得られる.

$$T_d + [T_t]_{1d} = T_1 \left(1 + \frac{\gamma - 1}{2} M_1^2\right)$$
(3.36)

ここに $[T_t]_{td}$ は拡散筒での熱損失による温度降下を示し、式 (3.10) と同様な関係式で表現される量である.

また圧力に関する関係式は式 (3.16) と同様にして求めることができる。

$$p_d = [p_l]_{1d} = p_l \left(1 + \frac{\gamma - 1}{2} M_1^2\right)^{\frac{\gamma}{\gamma - 1}}$$
(3.37)

ここに

$$[p_t]_{1d} = \zeta_{1d} \gamma M^2 \bar{p}/2$$

 ξ_{1d} は拡散筒における抵抗係数で図3.4のように拡散筒の開き角 θ_{1d} および拡散筒の直径比だけの関数である。

3.4 発電ダクトの最適マッハ数

MHD 発電機の単位体積あたりの発電出力は磁東密度,負荷係数が一定の場合,作業流体の流速の二乗と導電率との積に比例する。しかし燃焼室での燃焼温度が与えられた場合には、単位体積あたりの発電出力を増加させようとして流速を増加させると、温度が降下して導電率が減少するので、流速の増加がかならずしも単位体積あたりの発電出力の増加をきたさない。すなわち発電ダクトにおけるマッハ数には最適値が存在する。

さて一般に大形の発電機では、ずか 内の損失は比較的小さく, 所要の最適条件にはそれほど大きな影響を与えないので、簡単化 のためにこれを無視して考えると、問題の最適化条件は数学的に 次のように表現される。

与えられた「流体の作業能力」すなわち総温,総圧のもとで、 単位体積あたりの出力 dP/dV を最大にするような マッハ 数を求

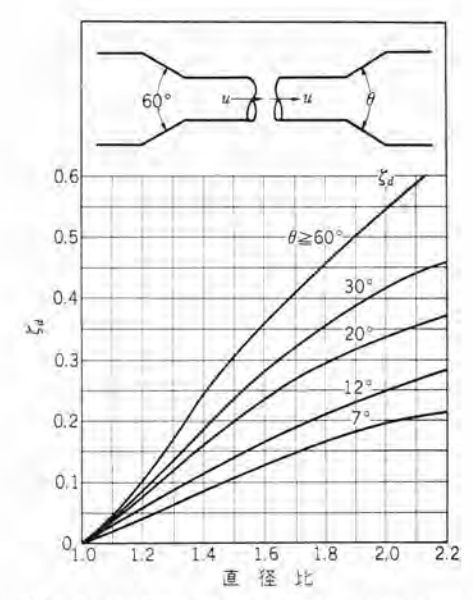


図 3.4 拡散筒における圧力損失,係数 \$\epsilon_e\$, \$\epsilon_g\$
Fig. 3.4 Coefficient of pressure loss at the diffuser.

めること.

単位体積あたりの出力 dP/dV は

$$dP/dV = \nu^{-1}(1-\nu^{-1})B^2u^3\sigma$$
 (3.38)

上式に式 (3.7) を代入すると,

$$dP/dV = \nu^{-1}(1-\nu^{-1})B^2\gamma RTM^2\sigma$$
 (3.39)

一方導電率 σ は、Saha 式および Chapman-Cowling の式から

$$\sigma = cT^{\frac{3}{4}}p^{-\frac{1}{2}}\exp(-E_{c}/2kT)$$
(3.40)

式 (3.39) に式 (3.40) を代入し、p、T を総圧 p_l 、総温 T_l で表現すると、

$$dP/dV = v^{-1}(1-v^{-1})B^2\gamma RC T_t^{\frac{\gamma}{4}}p_t^{-\frac{1}{2}}F \cdots (3,41)$$

$$\subset C \subset T_t = TG$$

$$p_t = pG^{\gamma/\gamma - 1}$$

$$G = 1 + \frac{\gamma - 1}{2}M^2$$

$$F = M^2 G^{\left[\gamma/2(\gamma-1) - \frac{7}{4}\right]} \exp\left(-E_i G/2kT_t\right)$$
 (3.42)

式 (3.41) で $\neg \neg \neg \wedge$ 数 M の関数となっているのは、右辺の F だけであるから、結局 M の関数として式 (3.42) で与えられる F を最大にする $\neg \neg \wedge$ 数が最適 $\neg \neg \wedge$ 数となる。 この最適 $\neg \neg \wedge$ 数を M_{\max} とすると

$$M_{\text{max}} = \left[\frac{2}{\gamma - 1}(G_{\text{max}} - 1)\right]^{\frac{1}{2}} \cdots (3.43)$$

ここに

$$G_{\text{max}} = \frac{a+b+1+\sqrt{(a+b+1)^2-4ab}}{2a}$$

$$a = \frac{E_i}{2kT_t}$$
, $b = \frac{\gamma}{2(\gamma - 1)} - \frac{7}{4}$

最適の発電 30ト は、発電 30ト の各点で流れの 20ハ 数が式 (3.43) を満足するような形状である。 図 3.5 は化石燃料に種子物質として カリウム を添加した場合の 20ハ 数と T_7 との関係を示す。また目的は各総温における最適値を示す。この図から発電 30ト における最適 20ハ 数は、総温が 2,600 - 3,200 のとき 0.7 - 0.8 で、総温が降下するにつれて小さくなることがわかる。発電が行なわれると流体の総温は、下流の方向で降下する

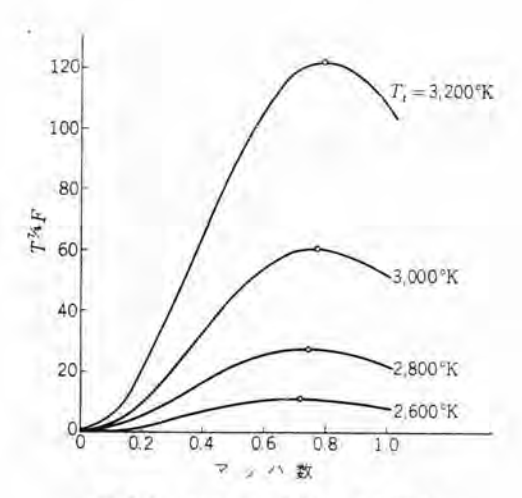


図 3.5 マッハ数と T*/4F との関係 Fig. 3.5 Mach number vs T*/4F.

から、発電 50ト は流れの 20ハ 数が下流の方向で減少するような形状がよい。しかし総温が降下するにつれて最適 20ハ 数近傍での 20ハ 数と T_{i} T_{i} との曲線は次第に平坦になるので下流での 20 の 数の単位体積あたりの発電出力に与える影響は上流に比べて小さくなる。

これらのことを総合すると、結局、すでに提案されている各種 の発電形式のうちで、定 マッハ 数形が最適に近い形式であるとい う結論が得られる。

基礎的な実験では、構造が簡単であるため、定断面積形がしば しば使用されているが、この場合には、下流に向ってマッハ 数が かなり急激に増加するので、最適な発電形式ではない。

これに対して理論的な取り扱いが簡単なため、しばしば理論計算の対象とされる定流速形 ダクト では下流に向って マッハ 数の増大があるとしても、たかだか 10% にすぎず、定 マッハ 数形に近い条件が満足されているものと考えられる。換言すれば、定流速形もかなり最適に近い発電形式であると考えられる。

4. MHD 発電サイクルの総合効率

MHD 発電機では発電 ダクト を出た作業流体はまだ大きな エンタルピ を有しているので、MHD 発電所の ララント 効率を向上させるためには、再生器および従来の火力発電装置を用いて熱回収を有効に行なうことが必要である。

ここでは、まず サイクル における エットロビ 変化を求めて T-s 線 図を作成し、最後に MHD 発電所の総合効率に関する関係式を 求めよう。図 4.1 はここで考察する MHD 発電 サイクル の ブロック ダイナグラム である。

4.1 流路各部におけるエントロビ変化と T-8 線図

一般に作業流体の状態はマッハ数と任意の二つの状態量で記述できるが、ここでは二つの状態量として エントロピ、および温度を採用しよう。

(1) 加速 ノズル

加速ノズルにおける エントロピ変化[8]m(は式(3.8)および式(3.16) から次式のように与えられる。

$$[s]_{f0} = C_p \ln \frac{T_0}{T_f} + C_p \ln \left(1 + \frac{\gamma - 1}{2} M_0^2\right) + R \ln \left(1 + \frac{\gamma}{2} \zeta_{f0} M_0^2\right)$$

(2) 発電 ダクト

発電 ダクト は 3.2 節で述べたように多くの方式が考えられるが MHD 発電装置の設計に関する一考察・伊藤・森川・村川

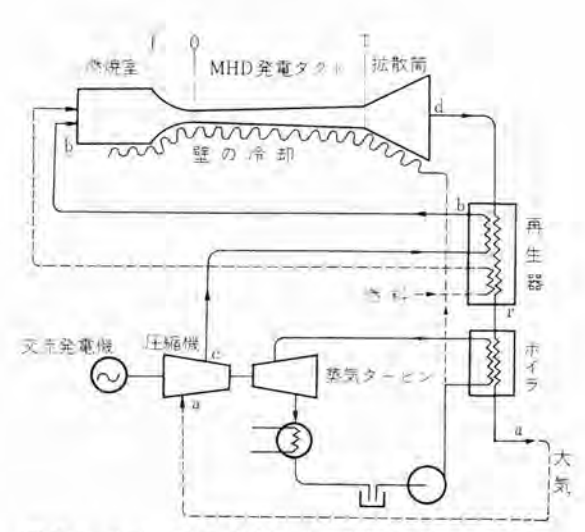


図 4.1 オーラッサイクル MHD 発電装置の ラロックダイヤララム Fig. 4.1 Block diagram of open cycle MHD plant.

ここでは理論的考察が最も簡単な定流速形発電機を取り上げて考察する.

定流速形の場合発電 ノズル における エントロピ 変化 [s]ot は式 (3.8), (3.28) および式 (3.29) から

$$[s]_{01} = C_p \ln \frac{T_0}{T_0} \left(\frac{T_0 - T_p}{T_0} \right)^{-\nu} + R \ln \left(1 + \frac{\gamma}{2} \zeta_{01} M^2 \right) \quad \cdots (4.2)$$

(3) 拡散管

拡散筒における エントロピ 変化 [s]_{1d} は式 (3.8) および式 (3.36) から

$$[s]_{iii} = C_p \ln \frac{T_{ii}}{T_1} - C_p \ln \left(1 + \frac{\gamma - 1}{2} M_i^2\right) + R \ln \left(1 + \frac{\gamma}{2} \xi_{1a} M_i^2\right)$$
(4.3)

結局 f から d までの エントロピ 変化 [s]_{fil} は式 (4.1), (4.2) および式 (4.3) から次式のように与えられる。

$$|s|_{fd} = C_p \left\{ \ln \frac{T_d}{T_f} \left(1 - \frac{T_p}{T_0} \right)^{-\nu} \frac{1 + (\gamma - 1)M_0^2/2}{1 + (\gamma - 1)M_1^2/2} + \sum \ln \left(1 + \frac{\gamma - 1}{2} \zeta_i M_i^2 \right) \right\} \right\}$$

$$(4.4)$$

(4) 拡散筒出口-再生器-ポイラー圧縮機低温側

拡散箭出口 d から圧縮機低温側 a における温度変化、圧力変化は $T_a \rightarrow T_a$ 、 $p_a \rightarrow p_a$ であるが、圧力は次のような関係を満足する

$$p_d - |p_l|_{da} = p_a$$
(4.5)

したがって拡散筒出口から圧縮機低温側までの エントロピ 変化 181aa は式 (3.8) および式 (4.5) から

$$[s]_{da} = C_p \ln \frac{T_a}{T_a} + R \ln \left(1 + \frac{\gamma}{2} \zeta_{da} M_d^2 \right) \qquad (4.6)$$

(5) 圧縮機

圧縮機の効率を n_c 圧縮機に与えられる電力を P_c とすると圧縮機における Iントロピ 変化 $|s|_{ac}$ は

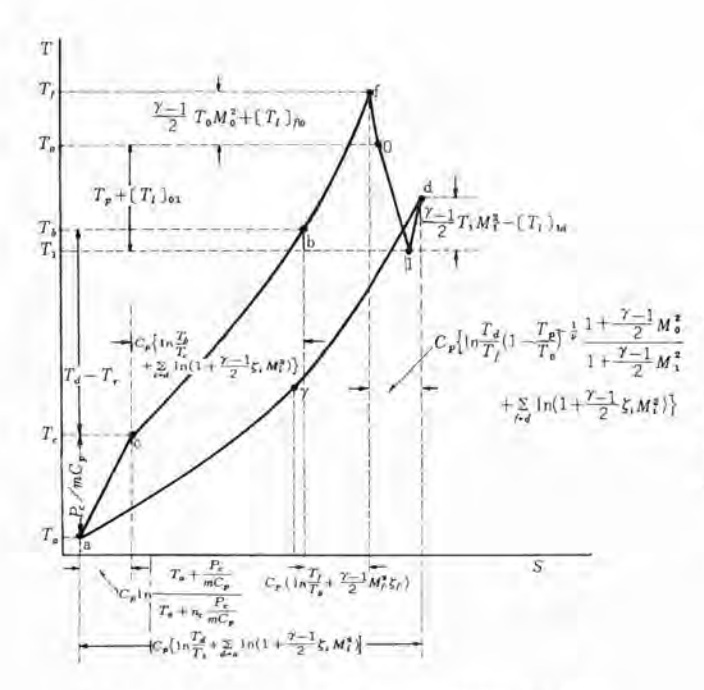
$$|s|_{ac} = C_p \ln \frac{T_c}{T_a + \eta_c P_c / mC_p}$$
 (4.7)

(6) 压縮機高温側一燃焼室出口

(4) と同様にして圧縮機高温側から整焼室出口における エントロ で 変化は、

$$[s]_{cf} = C_p \frac{T_f}{T_\sigma} + R \ln \left(1 + \frac{\gamma}{2} \zeta_{cf} M_c^2 \right) \qquad (4.8)$$

(1343) 57



0, 1 MHD 発電ダクト 1, d 拡散値 d, r 再生器高温側 a, c 圧縮機 c, b 再生器低温値 b, f 燃焼発 f, 0 加速ナズル rーa 間に従来の (ポイラ+タービン) が結合され、エンタルビが カ ひ 効率で機械エネルギに変換される。

図 4.2 サイクル の T -s 線図 Fig. 4.2 T -s diagram of the cycle.

なお図において

$$T_h - T_r = T_d - T_r \tag{4.9}$$

のような関係があることは、再生器の特性を考えれば明らかである。

4.2 圧縮機の所要動力

MHD 発電所の総合効率を計算するためには圧縮機の所要電力 P。を決定する必要がある・

圧縮機の所要電力は、次のような条件から決定される.

$$\oint_{\delta,t,\kappa} ds = 0 \qquad (4.10)$$

図4.2から明らかなように,

$$T_{a} + \eta_{\zeta} \frac{P_{c}}{mC_{p}} = T_{a} \left(1 - \frac{T_{p}}{T_{0}}\right)^{-\nu} \frac{1 + (\gamma - 1)M_{0}^{-2}}{1 + (\gamma - 1)M_{1}^{-2}/2} \prod_{i} \left(1 + \frac{\gamma - 1}{2}\zeta_{i}M_{i}^{-2}\right) \frac{1}{2} \left(1 + \frac{\gamma - 1}{2}\zeta_{i}M_{i}^{-2}\right) \left(1 + \frac{\gamma - 1}{2}\zeta_{i}$$

したがって圧縮機の所要電力は次式で与えられる.

$$P_{c} = \frac{mC_{p}T_{a}}{\eta_{c}} \left\{ \left(1 - \frac{T_{p}}{T_{0}}\right)^{-\nu} \frac{1 + (\gamma - 1)M_{0}^{2}/2}{1 + (\gamma - 1)M_{1}^{2}/2} \prod_{i} \left(1 + \frac{\gamma - 1}{2}\zeta_{i}M_{i}^{2}\right) - 1 \right\}$$
(4.11)

4.3 サイクルの総合効率

式 (4.11) で圧縮機の所要動力が決定されると サイクル の総合効率 n は次のようにして求められる.

サイクル の総合効率 η は次式で与えられる.

全熱入力 H は

$$\begin{split} H &= mC_p(T_f - T_h) \\ &= mC_p(T_f - T_d + \Delta T_\tau) \\ &= mC_p(T_p + \Delta T_\tau + [T_l]_{fil}) \quad \cdots (4.13) \end{split}$$

一方全熱損失 Q は

$$Q = (1-\eta_{\delta}) m C_{v} \bigg(T_{r} - T_{a} + \frac{\delta V}{V + \delta V} T_{p} + [T_{t}]_{fd} \bigg)$$

たたし

JT, 再生器高低温側の温度差

カポ 従来の火力発電所の総合効率

したかって総合効率 れば

$$\eta_{t} = 1 - (1 - \eta_{s}) \frac{\delta V}{V + \delta V} T_{p} + \frac{P_{c}}{mC_{p}} + JT_{r} + [T_{l}]_{fd}}{T_{p} + JT_{r} + [T_{l}]_{fd}} \qquad (4.15)$$

以上の効率の計算には、マグネットの励磁電力のための効率の低下 DC-AC 変換の際の効率の低下が考慮されていないが、これらをすべて考慮すると、結局実効的な全効率 η_{et} は次式で与えられる。

$$\eta_{et} = \eta_{in} \eta_{m} \eta_{i}$$
 (4. 16)
ここに $\eta_{in} = \text{DC-AC}$ 変換効率
$$\eta_{m} = (P - P_{m})/P$$

$$P_{m} = \neg \phi \wedge \gamma_{m} + \text{ 励磁電力}$$

5. 損失の計算例

最近各種高温技術および ミサイル などの発達とともに耐熱材料の開発が進み、酸化物のほかに、炭化物、ケイ化物、ホウ化物、窒化物などの新しい セラミック も開発され、またこれら セラミック と金属粉末との焼結複合体である サーメット も実用化されてきた。しかし MHD 発電機の構成材料として使用する場合、作業流体との相互作用、耐酸性、耐食性、耐衝撃性、高温での絶縁性などを考慮すると現状では構成材料の許容温度はたかだか 2,000°K 程度であるとみられる。したがって計算では ダクト の器壁は 2,000°K まで冷却されるものと仮定した。

表5.1 は上で考察した理論式により、冷却によって失なわれる 熱量、圧力損失、圧縮機所要動力などを計算した結果を表示した ものである。なお設計条件は次のように仮定している。

	War Induly State 1	
発電方式		オープンサイクル
発電 ダクト	形式	定流速形
作業流体		重油燃烧生成物
		重油+N ₂ /O ₂ (1:2)
種子物質		1.5% カリウム
器壁温度		2,000°K
磁束密度		$2 \text{ Wb/m}^{\frac{9}{2}}$
負荷係数		1 1.4
発電 ダクト	入口温度	2,900°K
発電 ダクト	入口マッハ 数	0.7
拡散简压	h	1 kg cm ²

また作業流体の分子量は 25.77×10-3, 気体定数は 3,227×10-1, 比熱比は 1.4 と仮定している.

注意すべきことは、MHD 発電 ずか のような高温空間では、放射損失が、熱伝導損失よりかなり大きくなることである。実際表5.1 から明らかなように放射によって失なわれる熱量は伝導によって失なわれる熱量はかなり大きく、小形の MHD 発電機の場合発電出力の数倍に達することがわかる。発電出力が 400 MW のような大形発電機の場合できえ、器壁から失なわれる熱量は、20% をこえるので、この熱量を従来の熱機関で回収することが必要である。

表 5.1 圧縮機動力と ダット での損失 (圧力損失は kg/cm², 熱損失はとくに指) 定がないかぎり MW を採用している.)

8	MHD発電 出力	200 kW	2	20	400
路有麻	圧縮機 動力 損失	80 kW	0.52	3,6	49
tu	熱損失	51.4 kW	0.36	1.77	16.7
1993	tic 41	41.4 #	0.3	1,58	13.9
ノス	伝 導	10.0 #	0.06	0.19	2.8
1	圧力損失	0.06	0.06	0.06	0,11
얜	熱損失	425 kW	1.99	7.5	48.6
W.	放射	298 "	1.40	5,4	37.6
10	伝 蒋	127 //	0.59	2.1	11.0
+	圧力損失	0,32	0.21	0.15	0.12
拡	熱損失	82 kW	0.9	4.64	20.2
l\x	M 91	69.7 "	0.76	3,85	16.7
-	伝導	12,5 //	0.14	0,79	3.5
600	圧力損失	0.09 #	80.0	0.08	0,10
加力。	熱損失	458 kW	3.25	13.1	85.5
速台	MX At	409 #	2.46	10.8	68.2
ノ拡	伝導	49 //	0.79	2.3	17.3
n M	压力损失	0.47	0.35	0.29	0.33

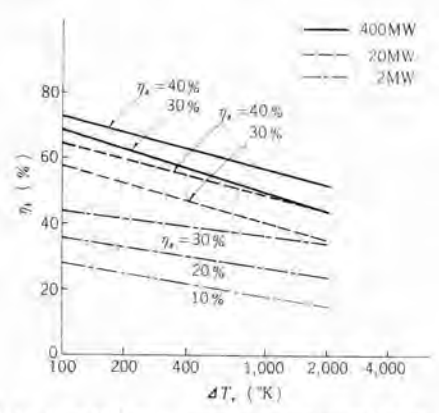


図 5.1 総合熱効率 η_t と regenerator の温度差 ΔT_r および従来火力の効率 η_s との関係

Fig. 5.1 Total efficiency as functions of ΔT_{τ} and η_{δ}

図 5.1 は、上で得られた結果を式(4.15)に代入して求めた総合効率 n_t を表示したものである。 熱回収に使用される再生器の高低温側の温度差 dT_r 、および従来の熱機関による回収効率 n_s の関数として、 n_t が図示されている。図から明らかなように n_t は dT_r に大きく依存し、たとえば MHD 発電出力 400MW、 n_s = 40% の場合、 $dT_r \le 600^\circ \mathrm{K}$ の高性能再生器の製作が可能となれば、 n_t は 60% 以上にも達する。

6. む す び

以上 MHD 発電機の設計理論式を考察したが、その際明らかとなった諸点を列挙すると次のとおりである。

(1) 器壁を冷却する場合、器壁から失なわれる熱量がかなり

大きく無視することはできない。とくに 200 kW 程度の小 形の発電機では、器壁から逃げる熱量は発電出力の数倍に 達する・

- (2) 加速 ノズル, 発電 ダクト, 拡散筒での圧力損失は,0.3~0.4 kg/cm² 程度である.
- (3) 発電 ダクト における マッハ 数には最適値が存在し、一般 に 0.7~0.8 である.
- (4) すでに提案されている各種の発電形式のうち、定マロハ 数形が最適に近い形式である。また定流速形 タットは、下 流方向でマロハ 数の増大はあるが、たかだか 10% にすぎ ず定マロハ 数形に近い条件が満足されているものと考えら れる。換言すれば、定流速形もかなり最適に近い発電形式 であると考えられる。
- (5) 石炭や石油を燃焼する オープンサイクル 方式発電機では放射 によって失なわれる熱量が、伝導によって失なわれる熱量 の数倍に達する。
- (6) 発電出力 400 MW のような大形発電機の場合でさえ, 器壁を 2,000 K に冷却すると器壁から失なわれる熱量は かなり大きくなるので、この熱量を従来の熱機関で回収す ることが必要である。
- (7) 総合効率は、熱回収に使用される再生器の高低温側の温度差 ΔT_r および従来の熱機関効率 η_s に大きく依存するたとえば MHD 発電出力 $400\,\mathrm{MW}$ $\eta_s = 40\%$, $\Delta T_r \leq 600\,\mathrm{°K}$ の場合、総合効率は 60% 以上になる.

(昭 38-7-25 受付)

参考文献

- S. Way: Design Considerations in MHD Generators. Scientific Paper 6-40509-2-P1.
- (2) S. Way: Magnetohydrodynamic Power Generation Scientific Paper 6-40509-2-P2.
- (3) G. W. Sutton: Design Consideration of a Steady DC Magnetohydrodynamic Electrical Power Generation PB– 144200.
- (4) D. T. Swift Hook; The Constant Temperature MHD Generator; Advances in Magnetohydrodynamics (Book) P85 Pergamon Press 1963.
- (5) J. C. Ralph: Optimum Mach Number in the Direct Current MHD Generator; Advances in Maguetohydrodynamics (Book) P79 Pergamon Press 1963.
- (6) C. W. Baulknight: Transport Properties of Multicomponent Gas Mixtures at High Temperatures, Thermodynamic and Transport Properties of Gases, Liquids and Solids (Book) Mc GRAW-HILL 1959.
- (7) 生井武文: 送風機と圧縮機 P61, 65, 78.
- (8) 大質直二: 伝熱理論, 工業熱力学 P91.
- (9) 谷下市松: 熱工学 ハンドブック P159~P166.

工作機のプログラムコントロール

吉田太郎*·宮 幸 助*

Program Control of Machine Tools

Nagoya Works Taro YO

Tarō YOSHIDA · Kōsuke MIYA

The electrical system and equipment used for machine tools have made a great progress to meet requirements of ever advancing machine tools. A plug-in sequence program control system composed of a plug-in board, a transistorized control system and limit switches has been developed and applied to practical use. This program control has elevated the automatic control of machine tools far higher steps to do away with skilled workers and reduced the time for programming, resulting in more economical and convenient operation. Being provided with a transistorized static control system, the program control has much higher reliability and longer life in addition to marked economy in cost than the numerical control.

1,まえがき

今世紀に入って、各産業の発展は、その素材加工のために、大量の工作機を必要とするようになった。一方最近の自動制御の発達と、たうミック工具の発達により、工作機の高性能化は著しく、とくに自動化、高速、高馬力化の面における進歩には、すばらしいものがある。この結果、工作機による切削正味時間は非常に短縮され、今まであまり目だたなかったアイドルタイムの割合が増し、これをいかに短縮するかが問題となってきた。

近年の アメリカ の調査によると、アメリカ における金属加工工場で 最近 18 カ月内に、設備される加工機械中その 60% は 500 人以 下の工場で、また ロット (同時加工数) の内容からいうとその 75% が約 25 個である⁽¹⁾ との報告や、さらに日本の国状から考えてみ れば、いかにこの アイドルタイム の問題が重要であるかがわかる。

したがって工作機の自動化ということを考えた場合には、その 自動化をどのような方式で行なうかという問題と同時に、アイドル タイムをいかに短縮するかを常に念頭に置かなければならない。 このようなことから自動化する場合には工作機の操作性が非常に 良く、運転は単に一つの押し ボタン を押すことにより、全工程を 行なえると同時に、加工物の変更にさいして、簡単にそれに対応 できるものでなければ、あまり意味がない。

当社では、このような要求に十分答えるものとして無接点式自動 シーケンスプログラム 制御装置を開発した。本装置は自動化の面で、その操作が簡単になりまた シーケンスプログラミング を簡単に作成できる装置で、今後日本において大いに使用されるものと期待できるものである。

2. 概 説

現在,工作機械を大量に使用して,マスプロ生産を行なっている, 軽電機,機械,自動車工業などにおける自動化されている工作機 の使用状況を見ると

- (1) 数種類の ワーク を加工するはん用機
- (2) 専用機、トランスファマシン

からほとんど構成され、(1) のはん用機も専用機化して使用して いる例が多い. 一方、中小企業における工作機では、逆にはん用 機の占める割合が非常に多い. ところで、マスプロ生産を行なう場合、近年これらの工業における製品のモデルチェンジは、従来に比べて非常に多くなり、このため自動化された専用機、トランスファマシンは、その機械寿命の数分の一も使用しないうちに、使用できなくなる場合が起きてくる。

一方このようなマスプロ生産に対し中種中量、多種小量生産においては、前述のように自動化したはん用機を使用した場合、とくに旋盤、フライス盤では現状では加工物の変更に際して起こるその準備時間は相当長く、しかもむつかしい場合が多い。またそれほど自動運転に自由度かないために、加工物を限定するか、さもなくば人間による手動運転になる場合が多い。

このような問題は自動化した際のシーケンス制御方式が、従来固定的なものが多いためで、これを解決しようという思想は古くからあり種々の面で試みられてきた。

ところで、今この自動 シーケンス 制御方式についてその方式により分類すると、次のように考えられる。

表 2.1 自動 シーケンス 制御の分類



Fixed 自動 シーケンス制御のうち完全固定式は、その電気制御回路が通常固定的なもので、専用機がそのおもなものであるが、それ以外にも研削盤などのように、加工物の研削シーケンスが常に同じものに使用されている。このような場合における加工物は、一般に加工寸法のみが変更するのみであるから、この変更による機械の段取りは、通常リミットスイッチドックの位置変更や、定寸装置などを使用することによって、比較的簡単にできる場合が多いが、普通は大量生産向で加工物の変更はあまり行なわない。

交換式のものは、カム交換などによって シーケンス の変更を行な うものであるが、一般に制限が多く Flexibility はあまりないの で、Fixed 自動シーケンス 制御と考えたほうがよい。

こういった Fixed 自動 シーケンス 機械は、ある種のものには十分その特長を生かして使用することができ、今後次第に減少するとは考えられないが一般向とはいえない。

次に Flexible 自動シーケンス制御であるが、これはその自動シーケンスを人間が組むことによって作るもので、制御回路は一般に入力出力部のみからなり、その入力出力間を結合する組み合わせをプログラムボード、パンチカード、テープなどによって行なうもので大別して、プラグイン方式と数値制御方式に分けることができる。

数値制御方式は、シーケンス制御と位置制御とを自動的に行ない、 現在各国において種々な方式のものが発表され、その特性もきわ めてすぐれたものが発表されているが、現在数値制御工作機の経 済性、稼動率の問題および プログラミング の問題から、日本の現状で はまだまだの感がある。しかしアメリカにおいてはすでに相当の実 績と使用状況から考えれば、今後大いに使用されるようになるこ とは間違いない。

一方 ゔラヴイン 方式による ゔログラム 制御は、一般に ゔラヴイン 方式 の ゔログラムポード とリミットスイッチ を利用した電気 シーケンス 制御方式 で、数値制御に比べ次のような特長をもっている.

- (a) プログラミング が非常に簡単で プログラミング のための熟練者を 必要としない。
- (b) 専用機に使用した場合, はん用性がきわめて高くとれる.
- (c) プログラミング による アイドルタイム が短い。
- (d) 機械電気機器の進歩によって、信頼件の高いものができる.
- (e) 保守が簡単.
- (f) 価格が数値制御に比べ、数分の一でよい。

この方式は欧州でとくに多く普及し、1961年9月第7回欧州工作機展示会(プラッセル)においての動向報告によれば「2年前のパリ、メッセのときには12台だった数値制御工作機が、今回のプラッセルでは約30台に達しているが、現在の技術進歩のペースからすると大した増加ではない。これに反しパンチカードプログラム方式・プラヴィンプログラム方式・ダイアルプリセレット方式はほとんど、普遍化してきている」という報告からも明らかであり、たとえばドイツではMAX Müller, Frite, Werner, Wanderer, Oerlikon, Rolentz フランスではSomua ベルギーでは Progies その他多数メーカが使用している。

日本においても一昨年までは、ほとんど見あたらなかったのが、 昨年の大阪工作機見本市では当社製のものを含めて国産で六社ほ どから出品されており、本方式が今後ますます発展する前兆と期 待できる。

3. 工作機の制御回路

工作機は一般に自動運転が行なえると同時に各個手動運転を行なえるのが普通で、この場合自動 シーケンス 回路との組み合わせが問題になるが、一般にこのような場合は自動回路と手動回路とは区別して考え、最終出力でおのおの OR 結合を行ない、また自動各個手動運転などで共通に インタロック されなければならない条件は、出力のほうに加えることによって単純化できる。

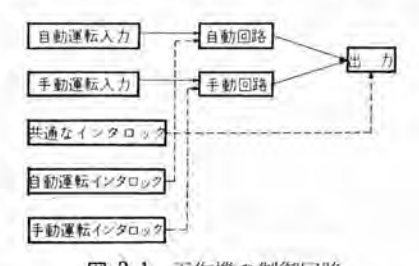


図 3.1 工作機の制御回路 Fig. 3.1 Control circuit of machine tools.

この関係は図3.1の jangy イアヴラム のごとくになり、このような回路構成によって制御素子の増加することはほとんどない。

今回開発した ブラブインシーケンスコントロール 装置もこれに基づいて 製作されており、以下これに使用されている自動シーケンス 回路に ついて説明する。

4. 制 御 原 理

シーケンス 制御の制御方法はその シーケンス の移動を時間的に行な 5 場合と、時間に関係なくある動作完了信号によって行な 5 場合 の二つに大別される。時間的に行な 5 タイムスケジュール は シーケンスドラムスイッチ のように カム 軸を モータ で駆動するものであるが、このような タイムスケジュール 方式は一般にあまり工作機には使用されない。

これは工作機の制御では制御条件が多いためで、タイムスケージュール 方式は一般にある定った シーケンス のみで使用する個所に多い. したがって工作機では、シーケンス の移動は動作完了信号による場合がほとんどで、この信号は通常 リミットスイッチ による場合が多い.

本制御装置の原理もこれに基づき、プログラムボードによる電気 シーケンス制御方式で、制御回路は制御シーケンスの順序を示す装置とそのシーケンスの順序を進める駆動装置とから構成され、簡単にカウンタとその駆動装置よりなると考えられる。今、その制御ブロック線図を示すと図4.1のごとくになる。基本的にこの回路は、前述のようにシーケンスを進めるためのカウンタ装置とリミットスイッチ信号によって働く、カウンタ駆動装置および各工程で行なう動作を選択するプログラムボードから構成されている。プログラムボードは横軸を工程、縦軸を駆動方式選択とするプラグイン方式でできている。

この \mathfrak{g} — \mathfrak{f} \mathfrak{g} \mathfrak

この カウンタ 駆動装置は、運転中に発生する リミットスイッチ 信号 LS により駆動する動作順番選択用 カウンタ LC とこの LC カウンタ 出力と、プログラムボードでの リミットスイッチドッグ 動作順番選択出力によって動作する。動作順番選択回路 P、シーケンスカウンタ PC 駆動パルス回路 PP および、LC カウンタ を リセット するための回路 RP か

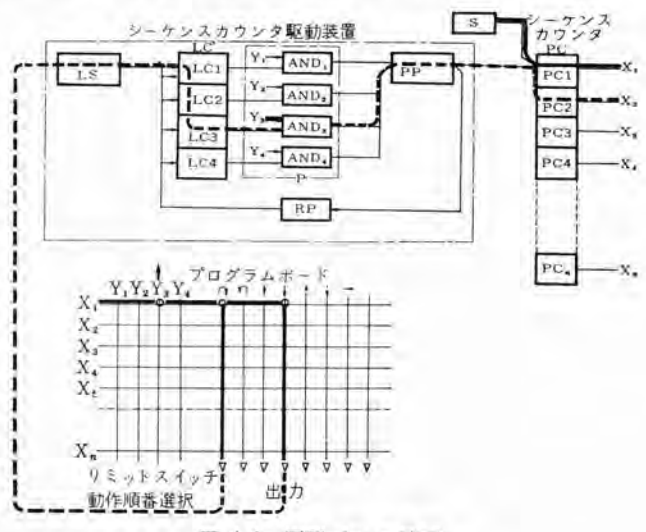


図 4.1 原理 ブロック 線図 Fig. 4.1 Principle block diagram.

らなり、順番選択回路 P は AND 回路で構成されている。

一方 うログラムポードは、前述のように、横軸には工程を縦軸は駆動選択で二つの部分からなり、一方はリミットスイッチドッグ動作順番選択、他方は出力選択からなり、縦横各線の交点にプララをそう人することによって、この2線は接続され信号回路を構成するようになっている。

図 4.1 においては、プログラムボード上の X_1 ライン 上で Y_3 、 \P . ↓に ブラヴ がそう入されている場合についての動作順序が示されている。 すなわちまず起動回路 S から起動信号を入れることにより、 PC かつシタの PC に出力が得られる。これによって X_1 に出力が現われ、図 4.1 の信号の流れに従って、プログラムボードの \P . ↓ の出力装置を駆動させる。また X_1 を通った PC1 の出力は、 Y_3 を通じて動作順番選択回路 P の AND_3 回路にはいる。一方出力装置の駆動により、機械が駆動しこれによって Ψ ミットスイッチ 信号が、 Ψ LC かりンタを駆動しちょう Ψ LC の出力が得られるまで Ψ まで Ψ まで Ψ まで Ψ まで Ψ まで Ψ また Ψ の出力が Ψ の出力により Ψ AND の 国路が働いて、シーケンスかウンタ 駆動信号が、 Ψ PC1 の出力が Ψ PC2 に移動する。一方 シーケンスかウンタ 駆動信号は、同時に Ψ 中の BC2 に移動する。一方 シーケンスかウンタ 駆動信号は、同時に Ψ 中の BC3 に Ψ から Ψ LC かウンタ にも送られ、次工程に入るとふたたび Ψ LC カウンタ は Ψ スタート 位置に、 Ψ 中の トされ第 2 工程にはいる。

図 4.1 中の点線で示した部分は、X₁ の出力が得られることによって機械動作が行なわれ、これによって リミットスイッチ が駆動されることを示している。

次に図 4.1 の原理に基づいて実際に製作した制御回路の ブロックを示すと、図 4.2 のごとくになる.

図 4.2 における一時停止は、プログラムシーケンス中プログラムをリセットせず運転を一時停止し、次起動をふたたび起動押しポタンで行なり場合の信号を意味している。

以下,各部分について説明する.

5. カウンタおよび、その駆動装置

5.1 カウンタ

プログラムボード リミットスイッチ動作順番選択信号 工程用シ 動作順番 1079 ーケンス カウレタ 1947月可認 上北山 D 32 ・ルス回路 セエ程 プログラム 曲 カウンタ リセット 回 路 シーケンスカウンタ駆動装置 プログラムボート END信号 工程全 操作電原切 停止信号 自動停止 非常停止 プログラムホードSTOP信号 インタロック 時停止信号 起動神しボタン 起動信号 起動条件 ンタロック 起動停止信号回路

図 4.2 制御 ブロック 線図 Fig. 4.2 Control block diagram.

本装置の最も重要な部分は、シーケンスカウンタとプログラムボードで、シーケンスカウンタは従来このような装置には有接点式のものを使用し、欧州および現在日本で使用されているものでは電話用のステッピングロータリスイッチがおもで、この場合種々の問題点がある。すなわち有接点でしかも可動部をもつために、その使用環境に十分計意することはもちろんその他寿命の点でも非常に難点がある。

この問題を一挙に解決するため本装置では無接点式 かりょう を使用した。

カウシタ の最小動作時間は、従来の ステッピッグロータリスイッチ では 20 ~30 m/sec であり、駆動 パルスメーク 時間 30 m/sec 以上 ブレーク 時間 20 m/sec 以上程度である。

一方工作機の シーケンス 制御を リミットスイッチ で行な 5 場合には、 その運転から考えて、普通 その信号間隔は 100 m/sec 以上と考 まてよい。

このことより本 かウンタ では最小繰上げ時間を 50 m / \sec とした。今,この回路を示すと図 5.1 のごとくになる。これから かウンタは 3 個の トランジスタ を 1 コニット として 構成 された シフトレジスタ で その駅動信号を パルス によって行なっている。

この回路構成においては、カウンタ 駆動信号 パルス 幅を 10 m / sec 程度とし、抵抗 R_1 、コンデンサ C_1 による時定数をこの パルス 幅の約5倍程度とし、トランジスタ T_1 の ベースと、前段 カウンタ1ニット の出力①間に接続され、カウンタ の繰り上げ時間を規定している。 一方トランジスタ T_2 、 T_3 は フリップフロップ 結合をし、抵抗 R_2 、コンデンサ C_2 による時定数を 1 m / sec 程度にして、サージ などの外乱による誤動作を防いでいる。

この カウンタユニット を二つの部分に分け、一方を SR, 他方を 3F1 と名づけ、これを図 5.2 のごとく接続することによって カウンタ を構成している。その動作順序を示すと図 5.3 のごとくになる。図 4.1, 4.2 の 9-7527カウンタ PC および動作順番選択用 カウンタ LC はいずれも 図 5.2 のごとき構成からなっている。

5.2 カウンタ駆動部

次に かうシタ 駆動部について LC かうシタ 用の場合について説明する。その回路は図 5.4 のごとき構成で、三つの部分からなっている。その各部を図 5.4 に従って B19, B16, LNI と名づける。B19 の入力は リミットスイッチ に接続され、リミットスイッチ は常時閉接点を使用する。

トランジスタ TI はその出力に コンデンサ C_8 による微分回路をもち、リミットスイッチ 接点が ON から OFF になるときに パルス を出す。この パルス は後続の B16 の波形整形回路に入れて約 10 m / \sec の

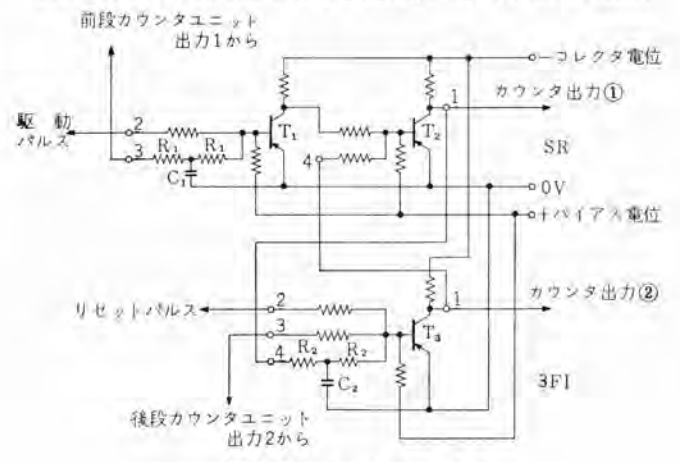


図 5.1 カウンタユニット 回路 Fig. 5.1 Counter unit circuit.

パルスにし、LNI で カウンタ 駆動信号の極性 パルス にする.

際の接点のチャタリングおよび外部からのサージ吸収のために、R1C1 2段による フィルタ が入れてあり、また B19 の コレクタ 電圧は十分 平滑されている必要がある.

今 5.1 節に述べた カウンタ とこの駆動装置との動作関係を図で 示すと図 5.5 のごとくになり、これが本装置の基本となる. シーケ シスカウショ PC の駆動装置 PP も図 5.4 と原理的には同じであるが。 B19 の代わりに次に述べる動作順番選択回路の出力に微分回路を 設けている点が、異なるのみである.

5.3 リミットスイッチ動作順番選択 回路およびリセット回路

動作順番選択回路は図 4.1 の P に相 当し、プログラムボードで選択した順番に従っ て信号を出し、PC カウッタを駆動させるも ので、その回路は図5.6のごとくになる。 この回路は2個のトランジスタからなり、LC カウンタ および プログラムボードの Y からの入 力はそれぞれ T1, T2 の トランスジタベース に 入り、LC と Y 信号の AND 条件によっ て出力を出す. 各 AND 回路の LC と Y

の信号は、おのおの同順番を表わすものが接続され、この回 路は 5.2 節の SR を使用することによってでき、その出力側 は図 5.4の B 19 の出力と同じように微分回路をつけ、シーケ シスカウンタ PC の駆動信号回路を構成している.

リセット 回路は シーケンスカウンタ PC が移動するごとに、LC カ ウンタをリセットしなければならないために必要なもので、シー ケンスカウンタの駆動出力によって LC カウンタをリセットするよう になっている。したかって リセット 信号は、その パルス 幅およ び時間遅れが適当なものでなければならない。

本装置に使用している回路は、図 5.7 のごとくで、Tiの トランジスタの Iミッタに接続される R₁, C₁によって、適当な時 間幅と時間遅れをもたせている。この リセット 回路を B20 と 名づけている.

5.4 総合回路

B19 の リミットスイッチ からの信号回路は、OFF から ON になる

以上の 5.1 ~ 5.3 節まで述べた回路を、エレメントブロック 線図で 示すと図 5.8 のごとくになる.

6. プログラムボード

プログラムボード は本装置では プラグイン 方式を使用し特殊な プラグ と コンセントから構成されている。

プログラムボード の役割は非常に重要で、人間の頭脳に相当し信頼 度は非常に高いものでなければならず、また直接人間が触れる危 険があるので、安全性も十分考慮に入れなければならない。 本装

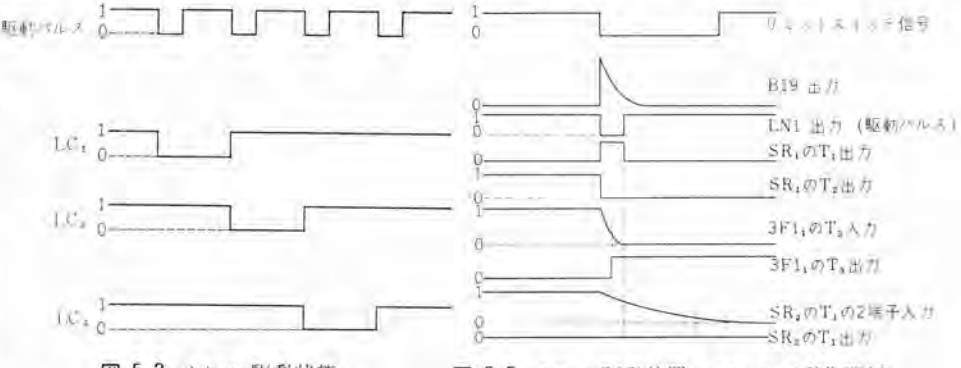


図 5.3 カウンタ 駆動状態 Fig. 5.3 Operation of counter.

図 5.5 カウンタ駆動装置とカウンタの動作関係 Fig. 5, 5 Operating relation between counter d iving circuit and counter.

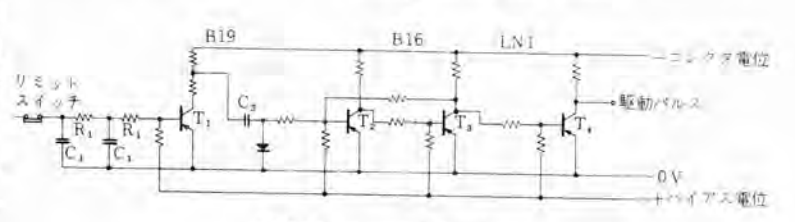


図 5.4 カウンタ 駆動回路 Fig. 5. 4 Counter driving circuit.

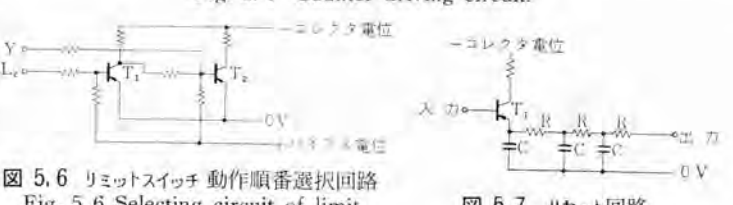


Fig. 5.6 Selecting circuit of limit switch operating order.

図 5.7 りtoト回路 Fig. 5.7 Reset circuit.

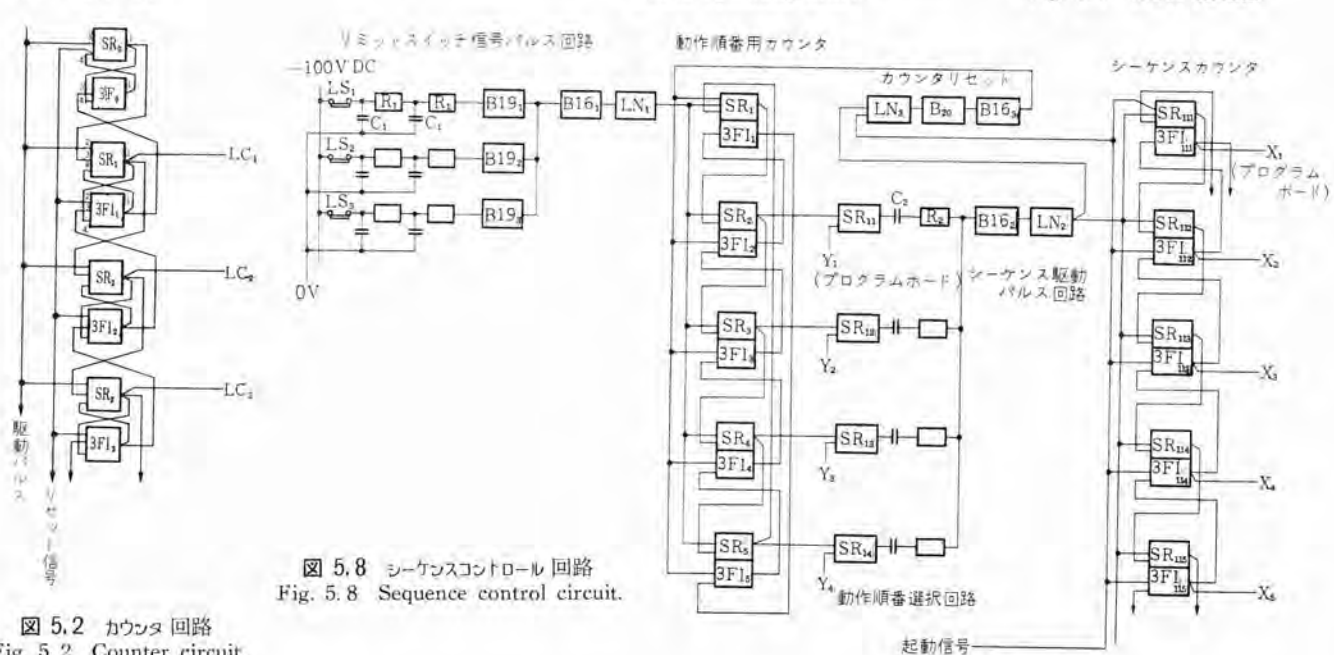


Fig. 5. 2 Counter circuit.

置では、このプラグイン 方式の ボード 穴 ピッチ およびそれに使用する電圧、プラグコンセント の構造などにつき各方面から検討した結果、その構造は図 6.1 に、ピッチは図 6.2 に示すように、また使用電圧はトランジスタサイパック を使用することによって DC 20 V 以下におさえることができた。

プラグおよび コンセント は ポリカーボネイト 樹脂で製作し、接片は本装 置に使用される電圧が低いことから、とくにその接触性に重点を置き、また製作が簡単なように固定接片は コンセント に取り付け、簡単に引きはずしできるようにし、また可動接片はプラグ側にもうけこの接片に スプリングアクション をもたせ、万一接触不良が起きた場合でも、簡単に プラグ を別のものとさし換えるのみで、修理できるようにした。

ところでこのように プログラムボード を縦横 ライン のみで構成する と図 6.3 のような場合には信号回路の混乱を来たし、このままで は使用することはできない。 本装置では、スキャナ 装置の プログラムボ ード 方式の構成にし各交点に ゲルマニウムダイオード を使用している。

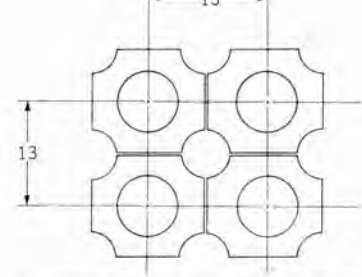
その原理は図 6.4 に示すことくである.

実際の プログラムボードでは出力選択において、同一工程内では必ずいっしょに ブラグ がそう入されない所があり、この場合には ダイオード を省略することができ、これによって ダイオード の数は実際のプログラムボード の縦線数の 1/3 ないし 1/4 程度でよい場合が多い。



図 6.1 コンセントプラグ Fig. 6.1 Plug socket and plug.

図 6.2 コンセントピッチ Fig. 6.2 Plug socket pitch.



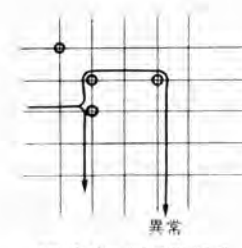


図 6.3 信号の混乱 Fig. 6.3 Confusion of signal.



図 6.4 プログラムスキャナ 回路 Fig. 6.4 Program scanner circuit.



図 6.5 プログラムボード 組立 Fig. 6.5 Program board assembly.



図 6.6 ダイオード 組中 Fig. 6.6 Diode assembly.

コンセントを うログラムボード に組み込むには、2 枚の板 (一方は名板 となる) ではさむのみでよく、その組み立てたものが図 6.5 に示されている。また ダイオード は図 6.6 のように簡単な ブロック 構造 とし、プログラムボード の一端に取り付けられている。

7. 特 性

本装置は トランジスタ を使用した無接点方式で、製作する場合に 問題となる点は シーケンスカウンタ を パルス 信号で駆動するため、駆動 パルス 幅の変動および外来 サージ による カウンタ の誤動作で、これら に対しては カウンタ に使用している SR および 3F1 の回路構成に より誤動作は全然起きなかった。

また電圧変動、温度変化による カウンタ の駆動状態も非常に安定しており、主要部の動作 オシロ が図7.1~7.5 までに示されている.

8. 制御装置の概要

本制御方式は 1962 年 4 月頃から開発を始め, 1962 年 10 月 の大阪国際工作機見本市にその 1 号機を, 寿工業 フライス 専用機用 制御装置として出品した. 本装置の概要は

使用機械 寿工業専用生産 つライス 盤 SMP-061 形 シーケンス 制御部 ミーリングかッタ 回転数 テーブル 送り

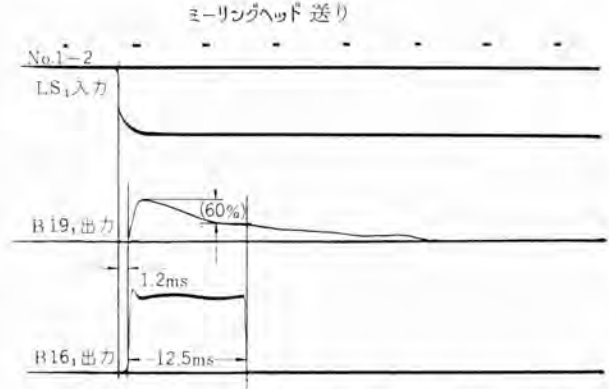


図 7.1 リミットスイッチ 信号 とかウンタ 駆動 パルス の関係 Fg 7.1 Oscillogram signal of limit switch and counter driving pulse.

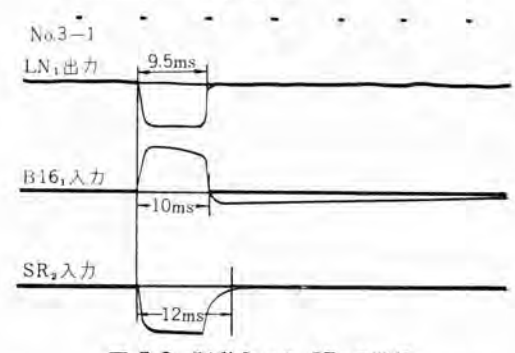


図 7.2 駆動パルスと SR の関係 Fig. 7.2 Oscillogram of relation between driving pulse and input of SR element.

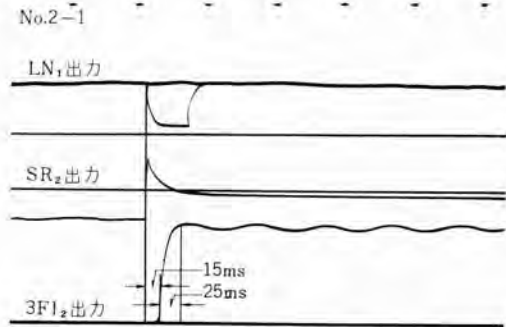
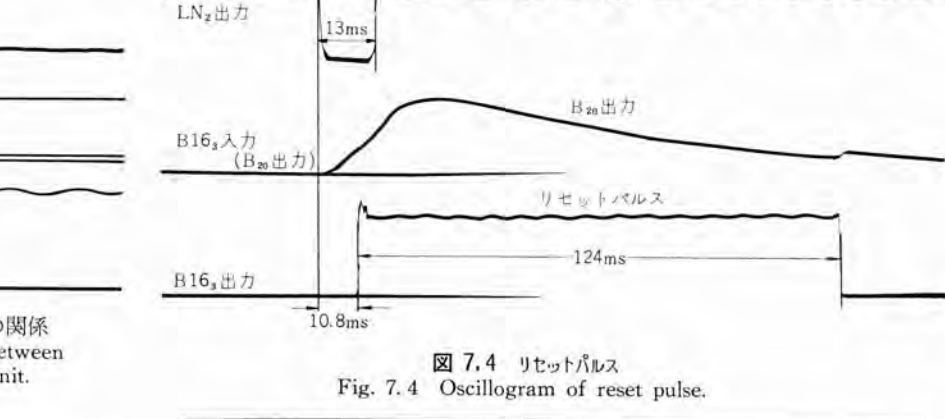


図 7.3 駆動パルス と カウンタユニット の関係 Fig. 7.3 Oscillogram of relation between driving pulse and counter unit.



No.4-1 200V SR₂出力 50ms SR₄出力 SR₄出力

図 7.5 かりゃタ 繰上げ時間 Fig. 7.5 Oscillogram of step up time of counter.

からなり、またプログラムボードは

 リミットスイッチ 動作順番選択
 5

 出力選択
 15

 プログラムタイマ
 1

 一時停止選択
 1

 終了
 1

 工程数
 30 工程

各回路はすべて最終出力 コンタクタ を除き トランジスタサイパック で製作されている。全体の構成 エレメント は トランジスタサイパック 約 300 個、出力 パワートランジスタ 23 個からなり、その制御装置の概略が図 8.1~8.3 に示されている。

最近製作した2号機は1号機と同じもので、その制御部品および構造を改良することによってコンパクトにまとめることができ、同じ装置でその容積を1/3縮小することができた.

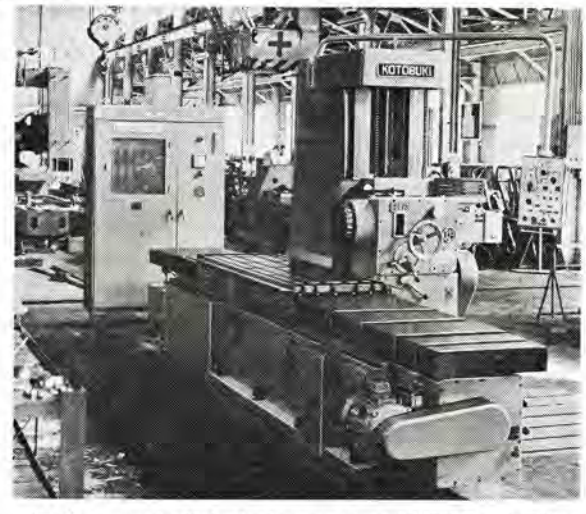


図 8.1 つライス 盤と プログラムコントロール 制御装置(1 号機) Fig. 8.1 Milling machine and program control box.

また シーケンスカウンタ は、トランジスタサイパックエレメント として組み立 てると同時に、5 カウント のものを 1 ユニット として ブリット 板に構 成したものも製作し、コンパクト 化に努力している。その ユニット は 図 8.4 に、また 25 工程用の シーケンスカウンタ およびその駆動装置 を図 8.5 に示している。

この シーケンスプログラム 装置の プログラミング の一例を1号機の寿工 業 フライス 盤の場合について説明すると、この フライス 盤で加工す



図 8.2 制御箱 Fig. 8.2 Control box.

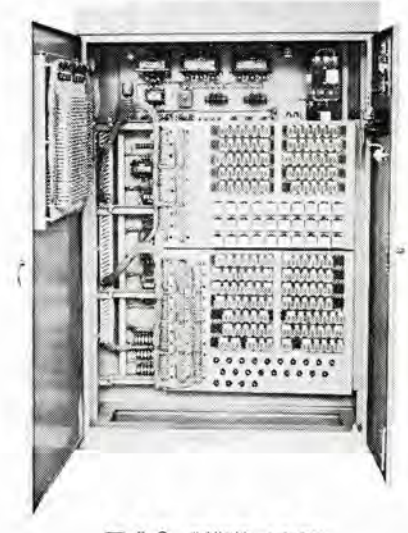


図 8.3 制御箱 (内部) Fig. 8.3 Control box. (interior)

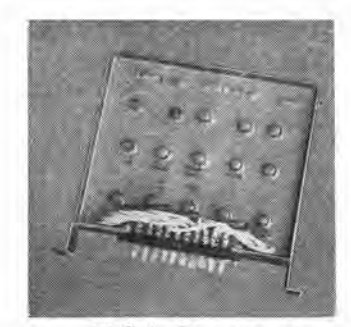
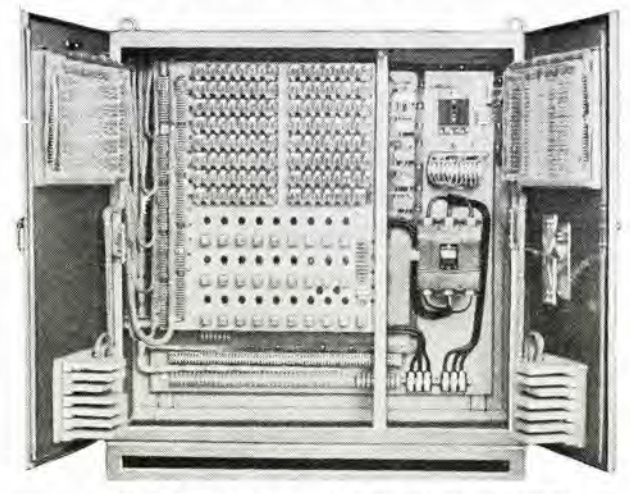


図 8.4 5カウントユニット Fig. 8.4 Five-counter unit.



図 8.5 25 工程用 シーケンスカウンタ Fig. 8.5 25 process sequence counter.



図_8.6」 カウンタユニット を使用した プロコン 制御箱 (チャッキング旋盤用)

Fig. 8.6 Program control box used counter unit (for chacking lathe).

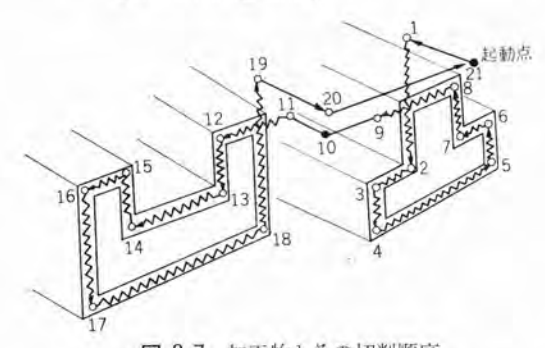


図 8.7 加工物とその切削順序 Fig. 8.7 Work piece and cutting sequence.

る g-2 を図 8.7 のごときものとし、その加工順序を図に示した数字どおりに行なうものとする。この場合 g-2 と g-2 との関係は図 g-2 との関係は図 g-2 との関係は図 g-2 が製作でき図 g-2 のごとくになり、これにより簡単にその g-2 のごとくになる。

これからわかるように プログラミング は

(a) リミットスイッチドッグの セット

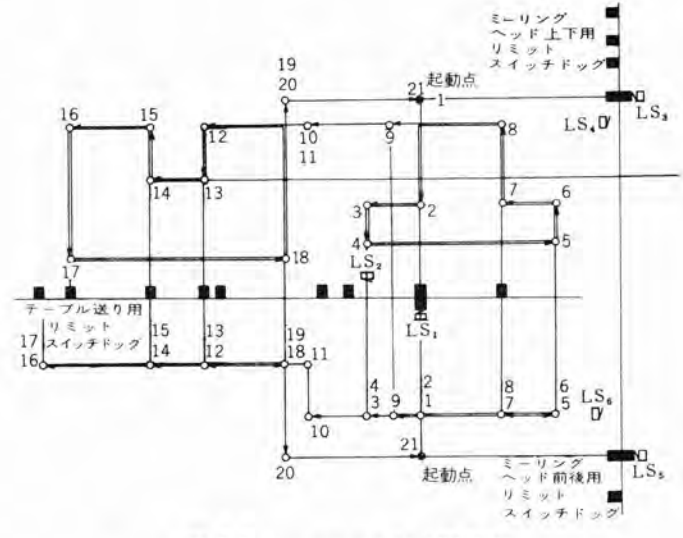


図 8.8 リミットスイッチドッグ 関連図 Fig. 8.8 Relation diagram of limit switch dog.

プログラムボード

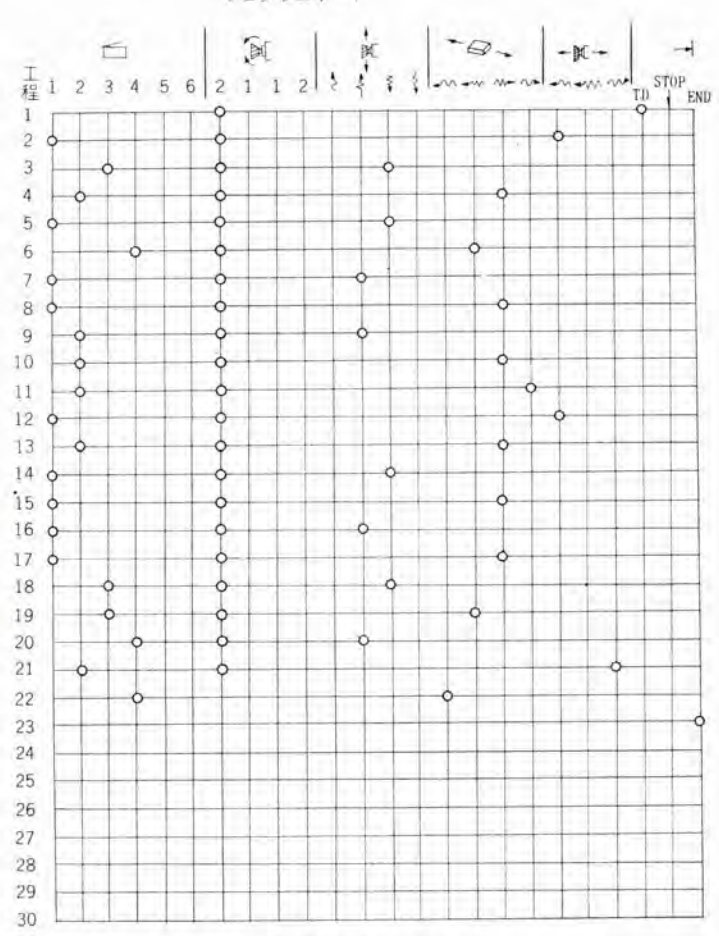


図 8.9 プログラミング Fig. 8.9 Programming.

(b) プログラムボード の プラグイン

からなり、非常に簡単で プログラミング のための熟練者を必要としない。

9. 特 長

以上 シーケンスプログラム 制御につき、工作機に使用した場合について述べてきたが、本装置の特長を述べると

- (1) 制御装置の設計が非常に簡単になる.
- (2) 全無接点式で信頼度が非常に高く、長寿命である。 とくに シーケンスカウンタ の性能および プログラムボード の性 能がよい。

- (3) プログラミング が簡単である.
- (4) シーケンスプログラム 回路にいろいろな付属回路を簡単に付 け加えることができ、いろいろな制御が簡単にできる.
- (5) プログラムボード の構造が簡単
- (6) 保守がほとんどいらない。
- (7) 数値制御に比べはるかに安価である.

さらにこのシーケンスプログラム装置をつけることによって、工作機 の運転操作は一段と簡単になり、しかも従来の専用機ははん用化 できまたはん用機はその アイドルタイム の短縮に役だち非常に有利 なものとなる.

次に本装置の使用条件を述べると

電圧変動 +15%

温度 -10~+50°C

最小 リミットスイッチドッグ 間隔 100 m / sec.

10. む す び

以上述べてきたように、プラヴィンによる シーケンスプログラム 制御装

置は プログラミング が簡単で、しかも安価であり、工作機においては 最近の発展から考えて本装置の使用は今後ますます増加するもの と思われる。 またその利用面は単に工作機に限られず各種の産業 機械にも使用でき、十分にその性能を発揮できるものと思われる.

終わりにこの装置の開発に協力いただいた寿工業関係者各位に 厚く謝意を表する.

参考文献

(1) Werkstatt u. Betrieb, 94 Jar Heft Januar pl. (1961) The Future of Automations, The Tool Engineer, May

Production Methods in 1970, Metalworking Production April 13. (1960)

マシナリー, 自動 サイクル 機構の展望 25 No. 354 (1962)

n , 旋盤の ブログラム と プリセレクト 25 No. 357 (1962)

, 5年間の工作技術の発展 25 No. 358 (1962)

〃 , 日本のプログラム制御工作機 26 (1963)

" , 工作機械数値制御の現段階 25 No. 376 (1962)

年月日	主催または開催場所	演	題	講 演 者	所は	武場	妍
38- 4- 5	電気四学会	Self-Organizining Syste: 考察	m に関する 2,3 の	伊藤利朗	研	究	所
38- 4- 5	電気四学会	Elephant Bushing を採用した変圧器のサージ 保護に関する計算		杉川修三	研	究	所
38-4-5~6	規格協会関西支部	官能検査実施, 官能検査実験解析		山本成一郎	本		社
38- 4- 7	稍機学会	電解加工の研究(第2報)臨界間 げキについて(第3報)極間流動状態		前田祐雄·斉藤長男 荒井伸治	研	宪	所
38- 4- 8	原子力学会	原子炉用 ダンプパルプ		阿部康宏	伊		丹
38- 4- 9	物理学会	移動磁界を用いた プラスマ の閉じ込め		利 剛 勝 司· 近 藤 博 通	研	究	所
38- 4- 9	物理学会	環状 プラスズマ における安定磁界反転 Magnetic Compression の実験		河合 正·近藤博通 杉本修三·岩本雅民 飛田敏男	研	究	所
38- 4-11	規格協会関西支部	品質管理 ゼミナ " 抜取検	在"	吉川 洗	本		社
38- 4-16	日本科学技術連盟	MUSE システム		魚田勝臣	₩.	究	所
38- 4-17	日本能率協会	WF エンジニアクリングコース '	WF について"	奈川敏雄	本		社
38- 4 18	生産性本部	Middle Management Se	miner	前田幸夫	本		社:
38- 4-18	オーム 技術奨励会	超高圧電力研究所向 150	MVA 短絡発電機	甲斐高	長		崎
38- 4-19	規格協会名古屋支部	品質管理普通科 コース		前田幸夫	本		社
38- 4-21	電気化学協会	硝酸一亜硝酸水溶液の分	極特性	秦 卓也·松岡昌宏	研	究	所
88- 4-22	OR 学会関西支部	OR セミナ " 待合せ理論の	適用実施例"	服 部 寛	本		社
38- 4-25	防衛庁	ARC-552A 生産上の問題	頂点について	平岡飯也	無	線	機
8- 4-25	日本規格協会福岡支部	新しい検査の考え方合理	的な抜取検査	高橋良作	長		崎
38- 4-26	規格協会	規格協会品質管理応用コ	- ス 抜取検査法	阿澄一與	伊		丹
88- 4-27	放電加工研究会	三菱放電加工機について		西 健 一	無	線	機
38- 4-26	通 研	Mg-Mn >x51h		水上益良	大		船
38- 5- 9	1963 年度日本 オペレーションズリサー チ 学会	更衣室面積の シュミレーショ	っによる決定	鈴木淑之	名	古	屋
38- 5-10	科学技術 センター	電気設備の計画一照明		小堀富次雄	*		社
88- 5-11	真空協会	Space Simulator Koto	T	藤 永 敦	研	兖	所
8- 5-13	東北電力	緑料金制度用測定装置に	ついて	武田克己	GHF .		
8- 5-14	中部電力静岡支店	遠隔測定用計器について		武田克已	研	究	所
38- 5-16	日本電気協会	内部断路形高圧空気シャ	析器	米沢克昌	伊		丹

麻生産業吉隈第一立坑機械設備

津 田 武 夫*

Machine Equipment at Aso Sangyo Yoshikuma Shaft No. 1

Hiroshima Works, Mitsubishi Shipbuilding and Engineering Co., Ltd.

Takeo TSUDA

The coal industry is at the bottom of the depression. It is a pressing need to promote the sale in a domestic market by cutting down the cost of coal so as to vie with inexpensive imported fuel. To this end are considered numerous measures such as increasing coal output, developing new mines, rationalizing the production and conveyance. The case of Aso Sangyo, Yoshi-kuma shaft No. 1 is a typical case of the ralionalization of coal industry. Automatic ship equipment about the shaft and operation of coal conveyance in the pit are fully provided through careful design of Mitsubishi engineers in joint efforts of the shipbuilding yard and the electric manufacturing works. The installation was completed in 1961 and the operation is in full swing now.

1. まえがき

わが国の石炭業界はいまや不況のまっただなかにあり、安価な 輸入原料炭および液体燃料に対抗し、炭価の引き下げと国内炭の 販路拡大が急務とされている.

この対策として増炭により コストダウン を図り、これに伴う深部開発、採炭、運搬の合理化を図るために立坑設備の建設がその重要な解決策として取り上げられてきた。

とくに出炭を主目的とする大形立坑においては、スキップ設備により連続全自動運転および坑底における立坑周辺の操車自動運転を採用し、徹底的な合理化を図ることが望ましい。

麻生産業株式会社注文の吉隈第一立坑は、全自動 スキップ 設備ならびに坑底操車設備にわが国最初の全自動運転を完成し、昭和36 年末引き渡しを完了して以来、優秀なる成績を発揮している。

この立坑設備は全体 プランニング, 機械およびやぐら関係をドイツ GHH 社と技術提携している三菱造船株式会社広島造船所が担当 し、巻上機用主電動機をはじめその他一切の自動制御を含む電気 関係を三菱電機株式会社長崎製作所が担当された。

以下本設備における機械関係を中心として紹介する.

2. 計画基礎要目

年間出炭量(原炭) 100 万 t

最大 110 万 t

立 坑 内径 5,200 mm

コングリート 流し込み入気

立坑巻上距離約 235 m立坑断面1 対の スキップ

立坑断面 1 対の スキスキップ 巻上能力 (原炭) 300 t/h

スキップ 徳上能力 (原族) 500 th

 スキップ 運転時間
 12 h/日

 スキップ 容量
 6 m³

炭車 (三菱標準炭車) 2.5 m³

3. 巻上やぐら

形 式 シングル・バックステー 形

全 高 35.1 m 上部 ヘッドシーブ 中心高さ 31.1 m

下部 ヘッドシーブ 中心高さ 25.1 m

ローラ 破断力 (44 mm) 120,000 kg

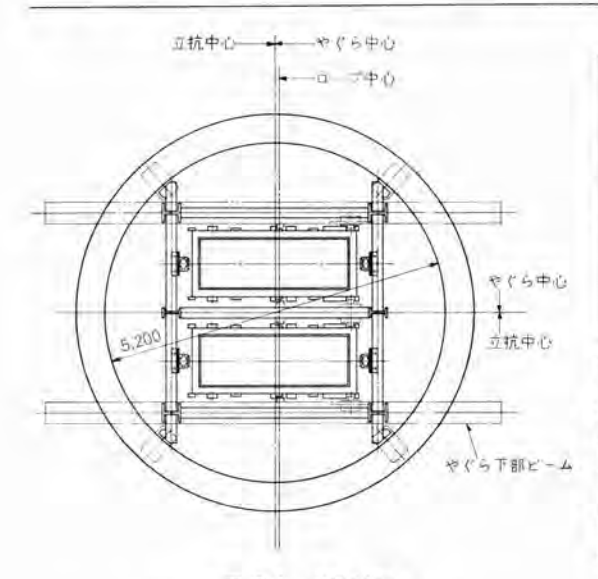


図 2.1 立坑断面 Fig. 2.1 Cross section of shaft.



図 3.1 立坑やぐら Fig. 3.1 Derric of the shaft.



図 3.2 立坑やぐら Fig. 3.2 Derric of the shaft.



図 3.3 下部 ヘッドシーブ Fig. 3.3 Lower head sheave.

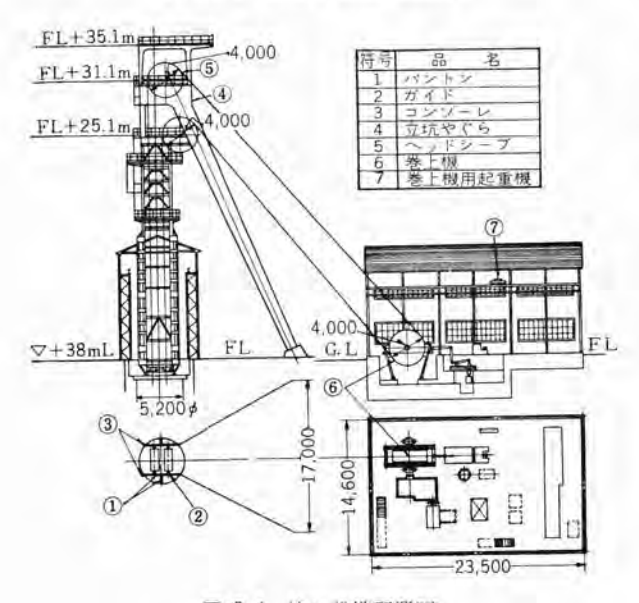


図 3.4 坑口設備配置図 Fig. 3. 4 Layout of apparatus at the pit mouth.

スキップ 運転荷重

22,000 kg

地震係数

 $K = 0.20 + \frac{H - 16}{4} \times 0.01$

風荷重

 $q = 60\sqrt{H}$

本やぐらは巻上機側に ラーメン 構造の パックステー を配した R 形 立坑やぐらで、各部材はあらゆる使用条件における荷重、その他 風雪、地震などによる振動に対しても十分な強度と剛性を有し、 かつ洗練された構造美を発揮した溶接および鉸鋲による構造であ

頂部には ヘットラーづ の据付、交換、修理などの際につり上げる べき荷重に対し十分なる ワク 組および起重機取付用レールを有し、 また過巻時に スキップを ヘットシープの下に停止させるため、立坑 ヮ ク組に取り付けたガイドの幅を漸増してスキップ・シューによりスキ ップをせり止める クサビ 状の木 ガイドを有し、なおこの制動の他 にやぐら本体に過巻止 ハリ および スキップの落下防止用として、作 動確実な ケプス 形 セイフティー・キャッチャ を設けている.

4. 立坑内設備

メーンバントン

I形鋼

バントン 間隔 (垂直)

3,000 mm

コンガーレ

ガイド

ダクタイル鋳鉄 ミヴ 形鋼

立坑内設備は ドイッ DIN 規定に準拠し パントン・ピッチ 3,000mm とし、立坑壁への支持には耐食性 ダクタイル 鋳鉄製 ゴンブーレ を介 して立坑壁に固定している.

ガイド は鋼製 エンド 固定 ガイド 方式とし スキッラ にはゴムタイヤ を 有する ガイド・ローラ を装備し、スキップ の高速昇降中の振動による 衝撃をほとんど皆無とし、かつ ガイド の摩耗を完全に防止してい

バントン および ガイド の取り付けには据付時はもちろん将来地盤 の変移に伴う立坑中心の多少の狂いに対しても、前後左右に移動 調整が可能となっている.

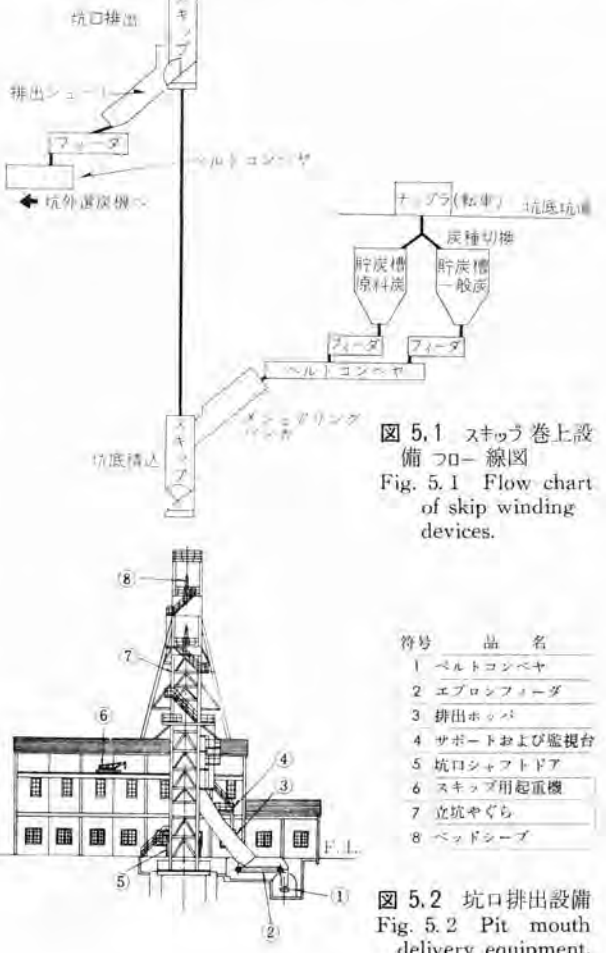
5. スキップ巻上設備

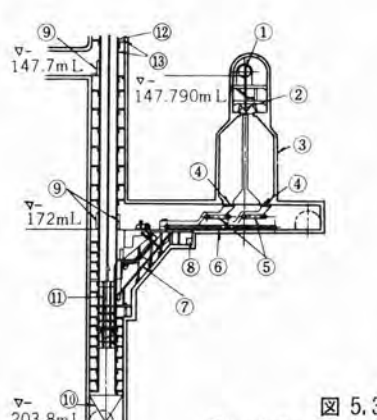
スキップ 巻上設備は スキップ 本体および巻上機、スキップ 坑底積込 設備, スキップ 坑口排出設備に大別される.

このおのおのの装置は互いにあい関連した完全なる全自動運転 をなすもので、甲方操業開始の始動押し ボタン に始まり常時運転 中はただ各機器の点検マンを配置するのみで連続全負荷操業運転 を行なうものである.

かつまた原料炭、一般炭の切り換えも随時自由に行なわれ、切 換中の混炭を防止する過渡運転中のパーシャル・ロードに対してはす ぐれた精度を有する ロード・チェッカー を装備し負荷率 りより全負荷 まですなわち Ot より 6t までの広範囲にわたり、自動運転上重 要な着床精度を確保するため自動調整を行なっている.

炭種切り換えの指令により坑底各貯炭棚下部の フィーダ の操作





符号	品名
1	チップラ
2	チップラ下切換ダンバ
3	貯炭槽
4	ホッパ下ゲート
5	エブロンフィーダ
6	ベルトコンベヤ
7	メジャリングバンカ
8	制御盤
9	坑底シャフトドア
10	落炭受ホッパ
11	スキップ
12	ガイド
13	パントン

図 5.3 坑底積込設備 Fig. 5.3 Pit bottom loading equipment.

によりスキップは自動運転を継続のまま、積載炭の内容を切り換えることができるとともに、各機器はおのおの インターロック されていて常に安全にして条件を満足する運転が行なえる様に計画されている.

もちろん必要に応じて全自動を解除しおのおの単独の手動運転 も可能となっている.

5.1 スキップ巻上機

形 式 単胴複巻 F 5 4 巻 巻上距離 233.4 m 最大有効荷重 (石炭) 6,000 kg 巻上速度 6 m/s nx速度 0.3 m/s² 減速度 0.4 m/s² 巻胴径 4,000 mm

使用 ロープ フラットンド・ストランド・ロープ

直径 44 mm

卷上機用主電動機

形 式 閉鎖他力通風形三相誘導電動機 出 力 300 kW×2=600 kW

回転数 600 rpm 電 圧 一次 3,300 V



図 5.4 デューティダイヤグラム Fig. 5.4 Duty diagram.

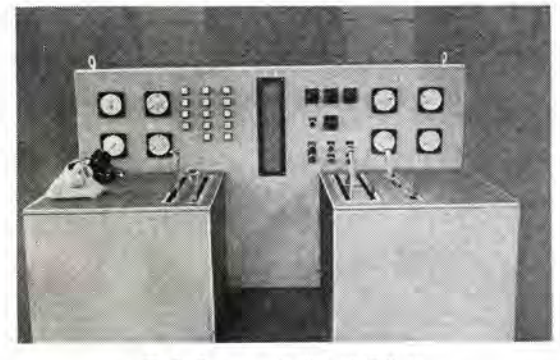


図 5.6 スキップ 巻上機操作盤 Fig 5.6 Skip winder control panel.

二次 810 V

周波数 60 c/s 定 格 連続

卷上機用减速歯車装置

形 式 2 段 ずブルヘリカルギヤ 式

減速比 20.9

デューテイダイヤグラム

巻上機巻胴は両側に制動輪を設けた近代的鋼板溶接構造のもので、ロープの当り面には摩耗に強い良質な ミブ 付き木製 ライニングを使用している.

制動装置は ポスト 形 ブレーキ を使用し作動立ち上り速度のすこぶる早い重錘を併用した圧気制動式である.

巻上機の運転に対してはあらゆる場合の安全装置を施し安全運 転にとくに意を用いている.

5.2 スキップ本体

スキップ は固定 ガイドシュー の他に ゴムタイヤ を有する ガイドローラ を備え, GHH 形底開き ブタ を有し内面には石炭積込時の摩耗防止用 ライナ および衝撃,騒音防止用の ライナ を設けている.

かつ積込時の炭 ジャの立坑内飛散防止のため独特の設備が設けてある。

スキップ と ロープ の締結には GHH 傾斜形 クレムカウシェ を用いて 簡単にして確実に連結され、かつ ロープ の永久延びに対し全長を 簡単に短縮調整可能な連結装置である。

なおロープあるいは立坑内点検用として臨時人員昇降も可能と



図 5.5 スキップ 巻上機 Fig. 5.5 Skip winding machine.

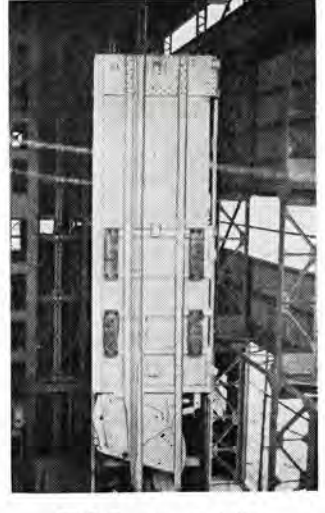


図 5.7 スキップ 本体 Fig. 5.7 Skip main assembly,



図 5.8 スキップ とロープ 連絡部 Fig 5.8 Junction of skip and rope.

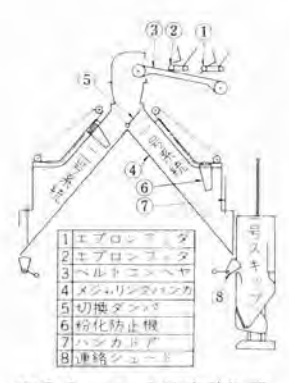


図 5.9 スキップ 坑底積込設備説明図

Fig. 5.9 Skip loading arrangement at the bottom of pit bottom.



図 5.10 坑口 スキップ排炭部 Fig. 5.10 Skip coal delivery at the pit mouth.

なるよう特設 デッキ を有している.

5.3 坑底積込設備

坑底積込設備は つロー 線図図 5.1 に示した機器よりなっている、次に坑底積込設備の運転の概要を説明する. (図 5.9 参照)

坑底坑道の チョップラ により転車された石炭は、切換 ダンパ により 一般炭と原料炭に区別され、それぞれの貯炭 ポケット にたまる

スキップの運転に関連し、所定の炭種の積み込みが開始されるが、 この場合 エブロン・フィーダ①または②と ベルト・コンベナ③は指定炭種 側のみが連動し、バンカ④に積み込まれる。

1号および2号 スキップに対して2系統の ハっカ を有し、いま仮に1号 パッカ は石炭が満杯になっている状態とする.

スキッうが自動的に正規着床位置に停止すれば、連絡シュート®およびパンカ・ドア⑦は自動的に作動し、石炭は1号スキッうの方へ流れ込む。このとき粉化防止装置®が図示の位置に停止している。スキッうへの積み込みが完了し、一定時間すれば連絡シュート®、パンカ・ドア⑦は閉の位置に復帰し、スキッうは自動的に巻き上げを開始し、同時に粉化防止装置®は上昇を開始する。一方2号パンカの方ではベルト・コンペナ®より石炭が積み込まれ、1号粉化防止装置®が上限に達した頃、2号パンカは満杯になりつつある。その際2号パンカ内の粉化防止装置は石炭の積み込みに応じて自動的に下降し、石炭の粉化を防止する。

2号 バッカ が満杯になれば、切換 ダッパ⑤は自動的に点線の位置 に切り換わり、再び1号 バッカ の方に石炭の積み込みが行なわれ 粉化防止装置⑥もそれにつれて下降を行なう。 ちょうどそのころ 2号バッカ の方では、2号 スキッラ が正規着床位置に停止し、1号 スキッラ の場合と同様な操作により積み込みが行なわれ、自動運転 が繰り返される。

以上の自動運転は スキップ の デューティサイクル に適合することはも ちろん, それぞれの作動を確認して次の動作が開始するよう, イン タロック が施されている。

5.4 坑口排出設備

坑口排出設備は つロー 線図図 5.1 に示した機器よりなっている。 坑口に上昇してきた スキップ は速度を自動制御されて所定の微 速で正規位置に着床する.

着床の直前よりやぐら内に設けられたガイド・ピッにより、スキップ 底 ブタ が開き始め正規着床位置で完全に全開する.

スキップ 底 ブタ の開放とともに石炭は排出 シュートを流下し、下

部 エブロン・フィーダ により選炭機へ通ずる ベルト・コンベヤ へ均等に フィード される。

スキップ は前述の コンペヤ, エプロン・フィーダ の順に起動を確認の上で運転開始が可能となるよう インタロック されている.

また スキップ 降下とともにその底 づタ は自動的に閉鎖され一度 閉鎖された底 づタ は完全に ロック されて昇降の途中では絶対に開 放しない構造となっている。

6. 坑底操車設備

本設備は坑底積込設備の全自動連続操業に支障なく石炭を供給 する操車設備であり、炭車のピッ切およびピッ連結操作を除いて、 他の操作はすべて完全な全自動連続運転となっている.

本設備は坑内操車設備に全自動運転を採用したわが国最初の画期的なもので、本設備により坑内操車の操業は高度に能率化されたことはもちろん、操作にわずか3名の小人員で制御ができ、坑内操車設備の合理化が達成されている.

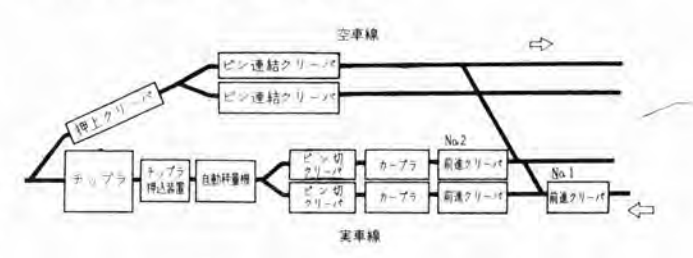


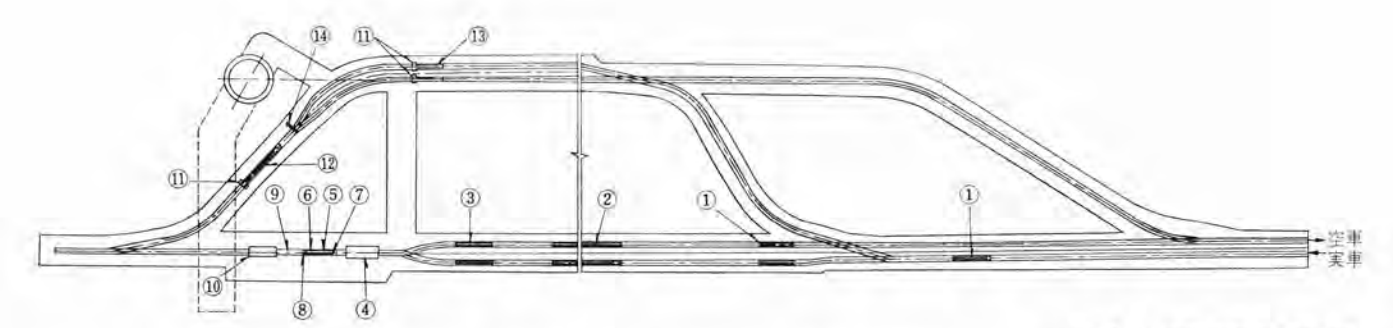
図 6.1 坑底操車設備 フロー 線図 Fig 6.1 Frow chart of car operation line at the pit bottom.



図 6.2 坑底操車線設備 クリーパ Fig 6.2 Creeper at the car operation line in the pit.



図 6.3 坑底操車線設備 チップラ 前 Fig. 6.3 Front of tipplers on the car operation line at the pit bottom.



符号	22	21	4	秤 最 機	8	Jy クストッパ	12	押上グリーニ
1	前進クリック		5	軌道ストコバ	9	安全ストッパ	13	ビン連絡クリーバ
2	カープラ		6	レールスイッチ	10	チップラ	14	ボイント切換シリンダ
3	ピン切クリー	98	7	カープッシャ	11	リターダ		

図 6.4 坑底操車設備配置図 Fig. 6.4 Arrangement of car operation line at the pit bottom.

次に本設備の概要を説明する.

原炭積載の炭車は採炭現場より機関車に牽引されて坑底実車坑 道に運搬され、列車編成のまま No. 1 前進 クリーパ 上で停止し、機 関車は空車線坑道へ退避し、空車線で編成された空列車を牽引し て採炭現場へ向う。

No. 1 前進 クリーパ 上の炭車はさらに No. 2 前進 クリーパ および カープラ により ピン 切 クリーパ まで送られ、ピン 切 クリーパ で送られる 途中連結器のゆるんだ機会に ピン 切作業員により 1 車ずつ切り離されて チップラ へ向って自走し、レジスタ 付秤量機を通過して軌道 ストッパ により停止する.

チョブラ 前の安全 ストッパ に停止中の炭車が ブッシャ により チョブラ 内に押し込まれると、軌道 ストッパは自動的に開いて炭車は自走し 安全 ストッパ により停止される。なお炭車の自走途中において炭車 車輪が レール・スイッチ を踏むことにより、軌道 ストッパは閉じて後 続炭車を停止させる。

テップラにて転車し、石炭をポケット内に移し終わった空車は後から押し込まれる炭車によって押し出され、空車線をスイッチ・パックし、押上 フリーパへ向けて自走する。

押上 クリーパ の前には レターダ を設けて自走してきた空車を制動 し、過走によって起こる衝撃を防止している。

空車は押上 クリーパ により レベル・アップ され ピュ 連結 クリーパ まで 自走し、空車線に列車編成される。 なお ピュ 連結 クリーパ の前には 空車を制動し、また停止位置を一定にするため レターダ を設けている。

以上の設備の操作はすべて自動運転であり、それぞれ連続運転 に必要な諸条件を満足して、安全で確実な操業ができるよう種々 の インタロック、信号灯および照光盤が設備されている.

7. む す び

以上,麻生産業株式会社吉隈炭坑第一立坑機械設備の概要について説明したが、本設備はわが国始めての試みである坑底操車設備の全自動運転を完成し、またパランス・ローブを設けないドラム巻におけるスキップ運転の、荷重変化に伴う着床精度の確保に広範囲なロード・チッカの成功など、プラント機器全体を何等のあい路もなく作動させることができたことは、炭坑合理化に対し一段の貢献をなしたものと確信している。

麻生産業吉隈第一立坑電機設備

木 内 修*

Electric Equipment at Asō Sangyō Yoshikuma Shaft No. 1

Nagasaki Works

Osamu KIUCHI

In Yoshikuma Shaft No.1 of the Aso Sangyo Company has been installed a ship hoist which operates interlocked with coal trucks and loading machines and controlled with an AC twin motors having dynamic braking action. This is a record product of high economy and capable of automatic operation with the load continuously changing from zero to six tons. It involves many features. For particular instance, in its intermediate full speed section is made deceleration by means of a load detecting device using a thermal converter, while in the creep-speed section torque presetting is made on the motor No. 1 and exciter voltage is preset for the motor No. 2 in dynamic braking.

1.まえがき

昭和 36 年7月完成, 運転に入った麻生産業吉隈鉱業所第一立 坑は出炭 100 万トン/年を目標とした巻上電動機容量 600 kW の 中容量設備といえようが交流双電動機発電制動方式の スキッう巻 上機と坑底操車, 積込設備と連動し, 最小の運転員により操業の できる全自動運転 プラント としてきわめて経済的かつ斬新な設備 である。

受配電系統は鉱業所付属の変電所より3kV 受電し、低圧動力、 制御、信号の各電源は巻上機電気室内の専用変圧器より給電され ている。

坑底の各電源設備としては立坑内に 3kV 1回線を設け、坑内 動力、制御, 信号は坑底電気室の専用変圧器により給電している.

2. 巻上設備

2.1 各種電動方式の比較

立坑巻上機は スキップ, ケーシ いずれにしても針坑巻上機に比べ、 高速かつ高い着床精度を要求される。

とくに最近の立坑巻上機はほとんどが自動運転方式であるので 必然的に負荷に無関係な安定な微速を出さなければならない.

この要求を満足するものは直流 n-Fレオード 方式に勝るものはないが半面設備費が大きく, 交流誘導電動機の速度制御方式が急速に発展しつつある今日, 直流方式が交流方式か, さらに交流の場合とのような制御方式とするかはその都度総合的に判断しなければならない.

駆動方式を決定する場合検討すべき事項は,

- (1) 設備費
- (2) 運転維持費
- (3) 制御性能
- (4) 着床精度
- (5) 保守, 点検
- (6) 減速歯車との関係
- (7) 使用する制御器具の限界

などである.

交流方式の場合現在巻上機用として実用されているも のは

(1) 低周波制御方式

- (2) 発電制動方式
- (3) リアクトル 制御方式
- (4) ウズ 電流 ブレーキ 制御方式
- (5) 油圧押上機制御方式

などであり用途に応じ、適用を考えなければならない.

この立坑巻上機に双電動機発電制動方式を採用したのは設備費が安く、かつスキッう巻上機で着床精度は ±200 mm 程度でさしつかえなく、運転維持費も設備費の償却を考えれば十分有利であるからである。

2.2 双電動機発電制動方式

本機は原料炭、一般炭切換時の混炭防止のため巻上側 スキップの 積載荷重は 0t より 6t の間に変化する.

図 2.1 はこの場合の所要 トルク 曲線である。図のごとく減速、 微速区間の トルク は負荷により正負、大小の場合があり、通常の 1 台の電動機による発電制動では満足できず、2 台の電動機を使 用し、1 台は商用電源に接続し電動 トルクを発生させ、他の1台は 直流電源に接続し制動 トルク を発生させ、図 2,2 のごとく両者の 合成 トルクにより正 トルク 範囲より負 トルク 範囲にまたがって制御 する必要がある。

この方式は 100 kW 程度の手動 クレーン においては実用機があるが 600 kW 程度の自動運転巻上機としては世界最初のものであるう.

合成 トルクの制御は制動用直流発電機の電圧を変化させるが全 速区間中の電動機入力を検出、記憶し電動側二次抵抗器を負荷に



0.411/62

0.311/6

図 2.1 61 荷重および 0 t 荷重の所要容量 Fig. 2.1 Winding motor capacity at full load (6 ton) and no load (0 ton).

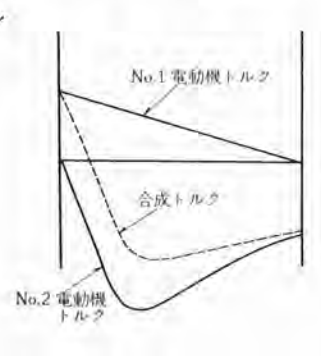


図 2.2 電動機トルクおよび軸トルク Fig. 2.2 Motor torque and resultant torque.

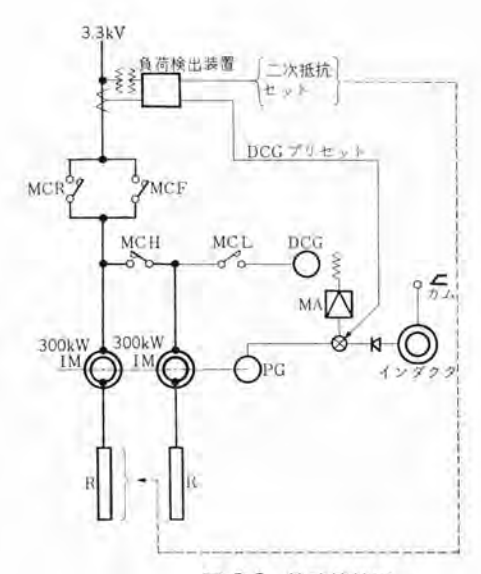


図 2.3 簡略接続図 Fig. 2.3 Skelton diagram.

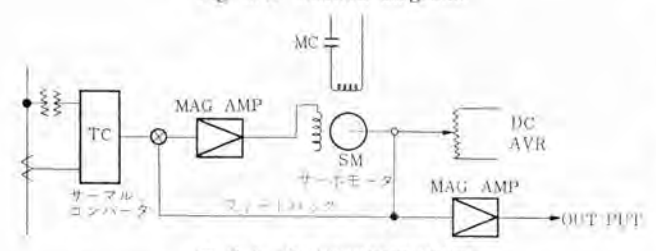


図 2.4 負荷検出装置原理図 Fig. 2.4 Skelton diagram of load checking device.

応じて選定し、制動力を経済的に利用するようにしている.

運転方式の概略は図 2.3 のごとくである.

今左右 スキップ はおのおの坑口, 坑底に停止している.

スキップ の停止指令は坑口制限開閉器による坑口中心であるので 坑底側は負荷による ロープ の伸びにより若干の停止点 パラッキ は避 けられない,

このため坑底側積込可能範囲の上,下限に無接触制限開閉器を 設け, スキップがこの範囲にあれば自動積込が行なわれる.

まず自動運転始動用押しポタンを押すとスケジュールタイマが起動 し、坑底積込装置が動作し、坑底側 スキップに バンカより連絡 シュー トが突き出し、積み込みを始める。

一定時間すると連絡 シュートは復帰し、これを確認し気圧制励機 は中間制動状態に弛み、同時に No. 1, No. 2 電動機は最大不平 衡荷重を保持するに足る起動 トルクを発生する二次抵抗値をそう 入した状態で運転用主接触器が閉路し起動を始め、これを確認し 制動機は完全に釈放され、ついで二次抵抗器が限時短絡し全速状 態に入る.

中間点において深度計の制限開閉器により負荷検出装置が動作 し電動機入力を検出,記憶する.

図2.4 は負荷検出回路でサーマルコンバータを用いている.

中間点においてはロープ長さは左右平衡し、運動体の加減速ト No を伴わないので入力は不平衡荷重に比例することとなる.

負荷検出装置により負荷に応じた選択継電器が動作し、減速開 始制限開閉器により No. 2 電動機に直流 制動を加えると同時に No. 1 電動機の二次抵抗は負荷に応じた値に セット される.

また負荷検出装置の出力は磁気増幅器を介して直流発電機の電 圧を負荷に応じて プリセット するので制動切換時の制動 トルク の満 大、過小がなくきわめてなめらかに制動状態に移行する.

減速区間に入ると深度計に取り付けた速度指令用 インダクタがカム

により回転させられ発生電 圧は一定のスケジュールによ り減少し, これと電動機軸 より駆動される直流指速発 電機電圧と比較し, その偏 差は磁気増幅器を介して発 電機界磁を変化させ制動力 を制御し、スケジュールに合致 させる.

停止点の若干手前で弱制 動用制限開閉器により気圧 制動機は軽い制動を行な い, 停止用制限開閉器によ り運転用主接触器は開路し 同時に制動機は全制動とな りスキップは停止する。

坑口ガイドレールに設けた かんにより坑口に到着した スキップは下部トビラが開き 積載物を排出し, 坑底到着 スキップはスケジュールタイマによ り積込装置が再び動作し, 運転デューティがずれない限 り自動的に運転を継続す る. 図2.5 は運転時の オシロ である.

2.3 保安装置

本機は全自動運転方式で あるのでとくに保安装置に 十分考慮を払い, 無人状態 においても運転の安全性を 確保できる.

保安装置の種別は表2.1 のごとくである.

非常停止の場合は即時非 常制動機が動作し, G.L 停 止は地上面で常用制動機が 動作して停止する。

1 サイクル 停止は運転中の サイクルは継続し、このサイク ル終了後次のサイクルに入ら ずに所定状態で停止する.

この保安装置が動作した 場合故障表示灯、あるいは 故障検出器により原因は即 時に判明する.

また巻室の計器盤には速 度記録計 パレーション, レコー **支が設けてあり所要の記録** をとることができる.

2.4 主要機器

巻上電動機は USB 形,

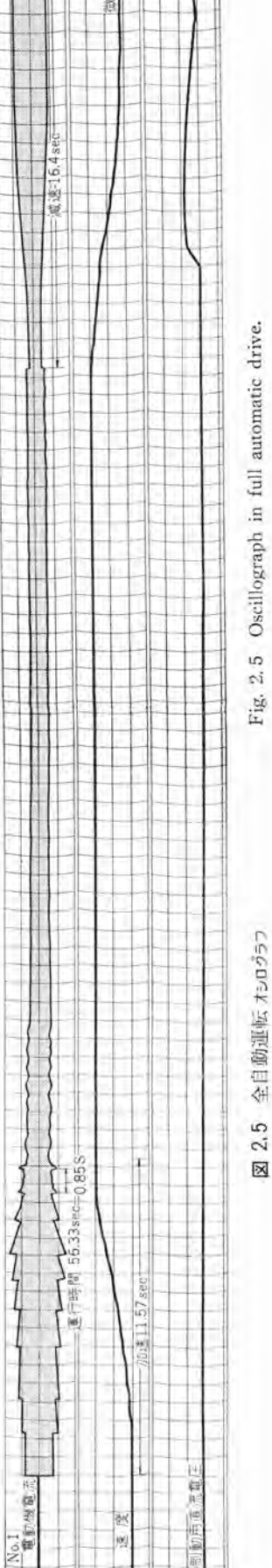


表 2.1 保安装置の種別

	用	途	501	老
非	過 速速速度電視		機械式電気式	
76	過 巻 深度計カップリング		軌道およびE	模度計
pg:	直流発電機電圧喪失 電動機過負荷			
止	制動気圧低下 ブレーキライナ摩託			
G. L 你 此	スキップトビラ米閉障 坑口ホッパ満量	F		
1ルサイク	オーバタイム 積込装置動作不良			



図 2.6 (a) 巻上電動機外形図 Fig. 2.6 (a) Outline of winding motor.

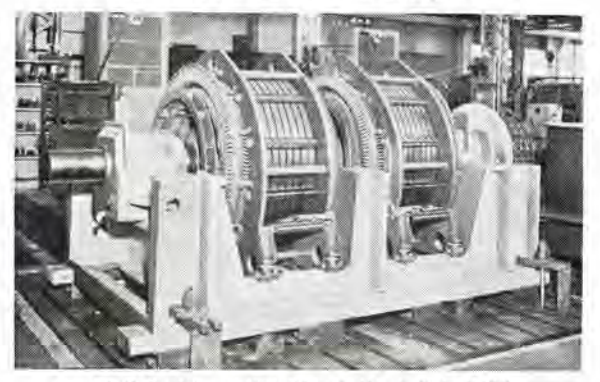


図 2.6 (b) 外被を取りはずした巻上電動機 Fig. 2.6 (b) Winding motor cover removed.

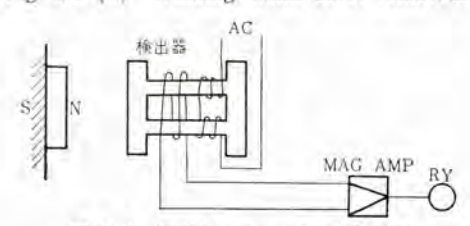


図 2.7 無接触 リミットスイッチ 原理図 Fig. 2.7 Skelton diagram of non tact limit switch.

 $300\,\mathrm{kW}$, $3,300\,\mathrm{V}$, $60\,\mathrm{c/s}$, 12 極の巻線形誘導電動機 2 台であるが同一 フレーム に 2 個の固定子を,同一軸に 2 個の回転子を設けた双電動子形式である。

回転子の軸は中間軸受が無いので軸長が短く外観は 600 kW 1 台と大差がない。

各部の構造は巻上機用として過酷な運転に耐えるように十分な 強度を有している.

通風は他力方式で外部空気をエアフイルタを通してターボファンにより下部より押し込み室内へ吐き出す。

図 2.6 は巻上電動機の外観および外側カバーをはずしたものである。

運転用可逆電磁接触器は H-205 形,50MVA の重負荷用のものである。

立坑内に設け スキップ で直接作動させる制限開閉器は無接触式 であるが スキップ と検出部の間が数十,数百 mm あり,かつ左右 前後に振れて高速で通過するため スキップ に検出用 OP 磁石を取り付け 図2.7 のごとき倍周波形磁気増幅器を用い、マグネット による磁界による磁束の不平衡を増幅検出する方式を用いている.

3. 付 带 設 備

巻上機付帯設備として坑口排出設備と坑底積込設備とがある。 坑口排出設備は スキップが坑口停止点に到達すると ガイド により スキップ 下部 フタが自動的に開き積載物は坑口 ホッパ に排出され、エ プロンフイーダ、コンベヤ を介して選炭場へ直接輸送される。

坑底積込設備は巻上機の運転と連動し、72秒で1回転するスケジュールタイマにより積込用各機器の動作は規制されており各機器の動作はまた一定時間内に終了しない場合は異常として以降の動作は停止する。

必要な制御継電器は キープリレー を用い運転中の停電に対しても 前の動作を記憶し、二重積込などの事故の生じないごとく十分の 注意を払ってある.

原料炭 ホッパ から一般炭 ホッパ へ切り換えた場合は巻上機の運転は継続されているが供給 フイータ は一定時間停止し,炭種の混じることと坑口選炭場の操作切り換えに十分な時間をとって自動的に起動するようにしてあり,運転の中断をしなくてよい。

4. 坑底操車設備

積込設備坑道の上部に坑底操車坑道があり、ここでチップラにより転換された原炭は原料炭、一般炭 ホッパに一時的に貯炭され、積込設備よりスキップへ積載される.

操車設備の詳細は別項に詳述されているがこの設備は炭車到着より転換,空車両編成までわずか3人により自動的に行なわれる 機械化されたものである.

設備中の特殊なものは炭車の位置検出用に静電容量式制限開閉器を用い各種の インターロック に使用している点である。

この制限開閉器は被検出物と検出用電極間の空気層の静電容量 によりトランジスタを用いた L. C の発信回路を用いたもので約200 mmぐらいの空ゲキを介して動作でき、炭車のごとくふぞろいのも のに対しては最良の検出装置である。

5. む す び

交流双電動機全自動運転巻上 ブラット は世界最初のものであり、 性能も十分所期の能力を発揮することができ、きわめて経済的な 方式であることが立証された。

この方式を採用するにあたり種々ご教授,ご助力をいただいた 麻生産業株式会社および三菱造船株式会社の各位に厚く紙上より お礼申し上げる.

麻生産業吉隈第一立坑 600kW 交流立 坑 巻 上 機 の 自 動 制 御

熊 谷 茂 俊*・柴 田 賢 吾* 福 江 節 雄**·熊 谷 永 年**

Automatic Control of 600 kW AC Shaft Winding Machine at Asō Sangyō Yoshikuma Shaft No. 1

Asō Sangyō Head Office

Shigetoshi KUMAGAI · Kengo SHIBATA Aső Sangyő Yoshikuma Shaft Setsuo FUKUE • Nagatoshi KUMAGAI

Yoshikuma shaft No. 1 was completed in July, 1961 as a coal winding shaft with a capacity of one million tons a year. In coal loading, winding and delivery at the pit mouth full automatic operation in carried out as well as automatization of cars running on the pit rails so as to assure economy. From the working face in the mine coal is conveyed by electric cars to the car handling line. Then tipplers operate to send the coal as far as a pocket. The rest of work is made by belt conveyers and skips to hoist the coal to the ground. All the operation is made automatically by supervisory control of one man.

1. まえがき

本立坑は原炭巻上立坑として設計設備された入気立坑であって 当坑は現在精炭約 60 万 1 年, 将来精炭約 75 万 1/年 の出炭規模 を有する.

工事は, 昭和 34 年9月に着工し, 昭和 36 年 6 月 10 日最 初の原炭巻上試験運転を行ない、7月より操業運転に入った。

立坑の深度が比較的浅く,巻上距離 233.4 m,巻上荷重 6 t で 巻上方式について種々問題点があって, 低周波制御か発電制動か, またドラム巻かケーペ巻とすべきかなど迷ったが、結局交流発電制 動方式のスキップ巻上機にふみきった。

交流発電制動方式にしてしかも全自動運転というきわめて欲張 った方式としたため、当初、負荷検出装置の調整、スキップの着床 精度、その他坑内の特殊条件より発生した障害のため、自動運転 上幾多の困難を経たが、現在はきわめて順調な運転を続けている.

けだし、坑底操車線の全自動制御ならびに交流制動による巻上 機の全自動制御方式としては,画期的なものであろうと思われる. 以下設備の概要を述べる.

1.1 制御の概要

出炭経路より説明すると、切羽よりの原炭は、立坑、底水平坑 道を電車により運搬され操車線にかかる.

操車線では操作マン の押しボタン操作により自動運転が開始さ れ、複線坑道を交互に後述の自動制御により チップラ にて転換さ れ原炭がポケットに貯蔵される.

立坑運転と操車線の運転とはこのポケットにより絶縁される。か つこのポケットは原炭輸送のクッションでもある。

ポケットより抜き出された原炭は、ベルトコンベトを経て坑底に着床 したスキップに積み込まれ、積み込みが完了すると立坑で巻き上げ られ、坑口で放荷され、ベルトコンベヤで選炭場の原炭ポケットに送り 込まれる.

坑底のポケットより選炭場の原炭ポケットまでの運転は、すべて 一連の全自動制御で、坑口の巻上機室において1人の監視員によ り監視制御される.

巻上機室の監視員は全自動制御の監視、1 サイクル 自動制御なら

びに停電その他特別の場合の手動運転を行なう.

2. 立坑内設備

立坑は直径 5,200 mm, 深さ 241.8 m, 厚さ全平均 63.5 cm の コンクリート流し込みで築造され、 フーチング 10 個所、 ウオータリング で 個所設備してある.

(1) メーンパンドン

水平方向 (内法) 3,000 mm

垂直方向 (中心距離) 3,000 mm (標準)

(1 E-4) 200×150×9 mm 大きさ

操車線, 積込坑道付近は300または

350 mm I ビームを使用.

86 段 数量

(2) 補助 パンドン

メーンバンドンの中間を L 75×75×9 mm の補助 バンドン でささえ、 他端は立坑壁に固定している。

(3) コンゾーレ

立坑壁の変形移動に備え、パンドン 位置を調整する場合を考え、 バンドン 方向と直角に内外へ 30 mm 宛 バンドン を移動可能としてい る. コンヴーレ は坑壁より約 180 mm 出して水平に コンクリート壁に 埋め込まれている.

(4) ガイド

ガイドは 150×75×9 mm の ミジ 形鋼向い合わせとして、内側に は 10 mm 鋼板を溶接し、1 本の長さは 9 m である。

なお坑底積込部および坑口放荷部には石炭の流出入のため土ガ イドの設置が不可能で、補助ガイドが設けられている。また坑底お よびやぐら内に適当な コウ配を付した木 ガイド を設け過巻の際に スキップの ガイドシュー がかみ込んで過巻を防止する構造となってい

(5) パイブバンドン

巻上機制動操作用として坑内 エア 本管より分岐して立坑内を巻 室まで5インチパイプを布設している。このためパイプ支持パンドン4 個所、および振れ止め バンドン 11 個所を立坑内に設備し、また パイプ の各継手は ボタンワッシャ 使用による フランジ 継手とし、温度差 によるパイプの伸縮を考慮し、スライド可能の伸縮継手を2個取り付けている。

(6) ケーブルバッドッ

立坑内設備電源は、すべて坑口巻室より立坑内を通過し、坑内 操車線電気室に至っている。ケーブル支持パンドン3個所および振れ 止めパンドンは圧気管のパンドンと共用している。

布設ケーブルは

電源用 (3c×30[□]+1 c×8[□])

制御信号用 (30 c×3.5[□], 20 c×2.0[□], 20 c×3.5[□]) の 4 本が布設されている。

3. 坑口設備

(1) 巻上やぐら

スキップ 巻上用やぐらは、巻上機室側に パックステーを配した R 形 やぐらでありその諸元は

地上よりやぐら最頂部までの高さ

35.1 m

地上より上側 ヘッドシーブ 中心までの高さ

31.1 m

地上より下側 ヘッドシーブ 中心までの高さ

25.1 m

ガイドやぐらの規模

3,150 × 3,060 mm

やぐら内には保安装置として下記の設備を備えている.

- (イ) 過巻防止用 パッファーガーダ
- (ロ) ロープ 切断時の墜落防止用 セーフティキャッチ
- (ハ) 過巻防止用木製 ガイドレール
- (2) 坑口放荷設備

坑口放荷設備として、スキップトピラ 開閉装置、排出 ホッパ, 監視台 エブロンフイーダ、原炭 ベルトコンベヤ などから成り、その概要を以下に 示す。

4-2-1 スキップトビラ 開閉

スキップが排出位置にきた時、自動的にトピラを開放するもので、 スキップの安全爪を取はずす案内カムと、トピラの開放ガイドに作用する開放ローラの設備がついている。

(3) 排出 ホッパ

スキップより排出された石炭を貯蔵し、全閉角形調節 ゲート により一定量宛調節しながら エブロンフィーダ へ送り込む貯炭 ホッパ 装置である。

ホッパ内に石炭が充満し、立坑内に石炭がこぼれ落ちないように

一定量以上たまった場合は、 $\lambda = 0$ が排出できないように電気的に $\lambda = 0$ で設置角度は $\lambda = 0$ で設置角度は $\lambda = 0$ で設置角度は $\lambda = 0$ で表る.

(4) 監視台

スキップ 監視用の プラットフォーム で、坑口設備の操作盤および積込 設備の表示室などが設備してある。

(5) エブロッフイーダ

幅 1,200 mm の オーバラップ 形で、側面および上部は漏炭防止ならびに防壁のため全長にカバーを取り付け、下部には落炭受けを設けている。その主要項目は次のとおりである。

駆 動 方 式 第一段 チェーン、第二段 歯車駆動

チェン速度 7m/min

運 搬 能 力 320 t/h

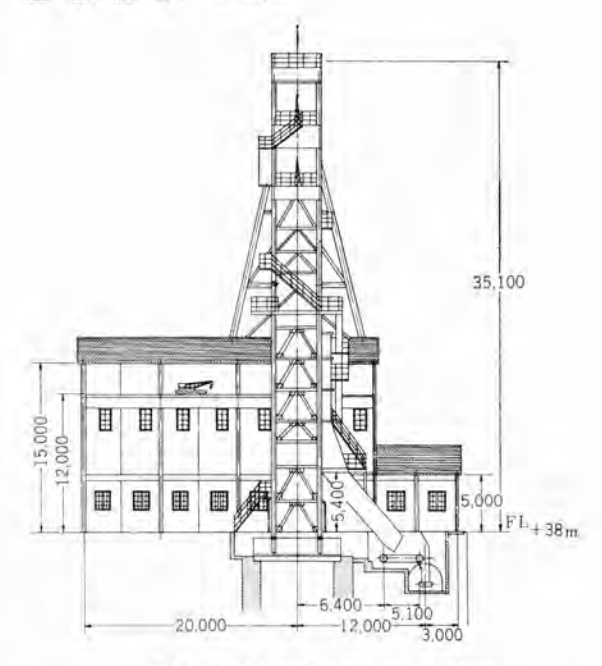


図 3.3 立坑やぐらおよび坑口建舎 Fig 3.3 Shaft tower and a building at a pit mouth.



図 3.1 立坑やぐら全形 Fig. 3.1 Shaft tower.



図 3.2 ヘッドシーブ Fig. 3.2 Head sheave.

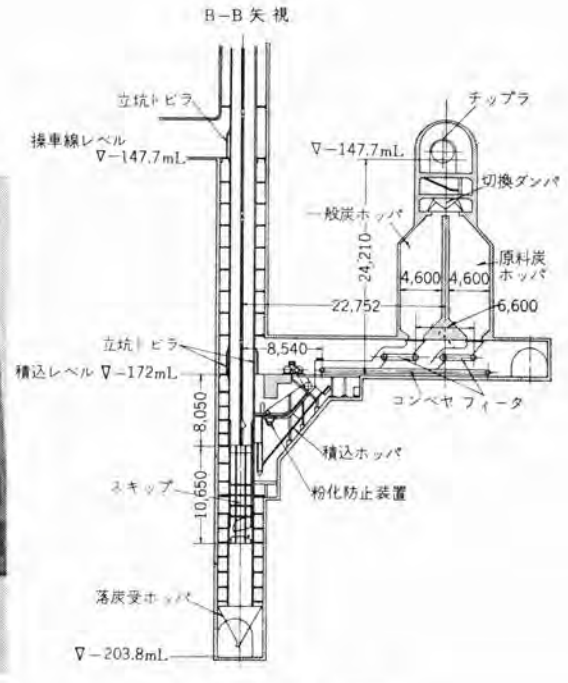


図 3.4 坑底積込設備 Fig. 3.4 Loading equipment.

長 タンプラ 中心距離 5,100 mm 機 5.5 kW × 54 r/m GM 動

(6) 原炭パンフィーダ

日本コンベヤで製作し、エプロンフィーダ よりの石炭を受け原炭 ベル トコンベヤ に供給するものである.

チェン速 度 10 m/min 320 t/h 運搬能力

機 長 タンプラ 中心距離 2,000 mm 5.5 kW × 54 r/m GM 顶力 機

エプロン幅 1,000 mm

4. 立坑巻上設備

(1) スキッラ 巻上機

有効荷重 6 t, 巻上速度 6 m/sec. 三相誘導電動機による二段減 速方式単胴巻式 グランドマシン でその主要項目を下記に示す。

a. 卷上機

最大不平衡荷重 6,000 kg 19,600 kg 最大 ローラ 張力 卷上速度 6 m/sec

湖 44 mm \$ 750 125

 $6 \times F\{(2 \times 3 + 3) + 12 + 12\}$

保証破断力 120,000 kg 4,000 mm 巻 胴 直 径 巻 胴 娜 1,310 mm 回転 28.64 r/m

b. 電動機

電動機形式 閉鎖他力通風形三相誘導電動機

300 kW+300 kW 111 11

電 Æ 3,300 V [11] 475 粉 585 r/m

御方 式 制 発電制動方式

间 転 子 双回転子巻線形

形 di 強制通風形

絶 緣 B種 能 本 91.5%

7] 崧 84 %

最大回転力 200 %

c. 発電制動用発電機

発電制動方式による制御であるので、主電動機制動側の ステ -タ へ直流電圧を 供給するための発電機で次のような仕様で ある.

H 77 15 kW 数 4 極 [11] 数 1,750 r m 電 Æ 130 V

(2) 巻 室

巻室の概略の配置を図 4.1 に示す. 巻室内主要機器の仕様は次のとおりである.

a. 高圧関係

動力変圧器 100 kVA 制御変圧器 10 kVA 照明変圧器 10 kVA

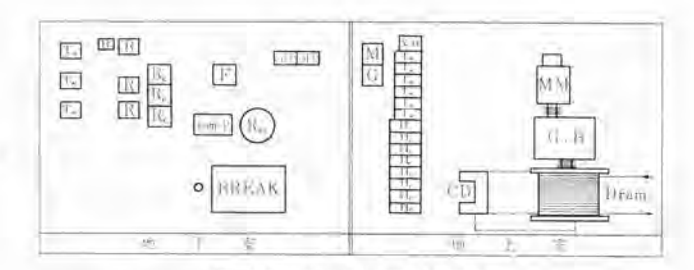


図 4.1 卷室電気関係配置図 Fig. 4.1 Arrangement of winding machine room.

b. その他

15 kW 空気圧縮機 主電動機冷却トピラ 7.5 kW オイルポップ 5 kW

(3) スキップ

スキップは底部排出式, ガイドローラ付で鋼板および型鋼を使用して いる.

6 m3 (有効荷重 6,000 kg) 容 量 1組の重量 11,250 kg

形 武 底部排出式

5 (縦) 2,490×(横) 1,000 法 ×(長さ) 10,650 mm

(4) メインローブ連結装置

形 it GHH KP 形 クレムカウシエ

許容荷 20 t 重 3 径 44 mm 0 -2,310 mm 全 歷

調整片による調整可能長さ

 $1 \times 100 + 3 \times 50 = 250 \text{ mm}$ I組の総重量

450 kg

(5) ヘッドシーブ

粉 2 81 器: 4,000 mm 道 径

受 自動調心 ローラペアリング

給油方式 ブリス 給油

リムは鍛鋼製、スポークは片側 12 本で両側に取り付け ミジ 形鋼を 使用している。 ポス は鋳鋼製で りムとも二つ割りで鍛鋼製堅張環 およびポルトで一体に固定している。

5. 立坑巻上機の制御

5.1 概要

SL-172 m の位置に設けた積込設備より積み込まれた原炭は坑 口排出位置まで約 215 m を巻き上げられる。一回巻き上げの所 要時間は約71 砂で 1 時間約50 回で300 t の運搬量である. ス キップは坑口ではリミットスイッチで停止し、坑底積込場では誘導形無 接触 リレーにより着床する.

6-2 速度制御

立坑の巻上機においては プログラム 運転制御が多く採用されてい る. これは一回巻き上げの時間が短いことと積込より放荷までの 間が通常の状態では制約が少ないためであるが、負荷の変動が広 範囲のため時に大きな正トルクまたは負トルクを必要とする点が一 般の巻上機と異なる点であり、制御の困難さがある。現在最も良 好な特性を示すのは、直流 ワードレオナード 方式が代表的なものであ

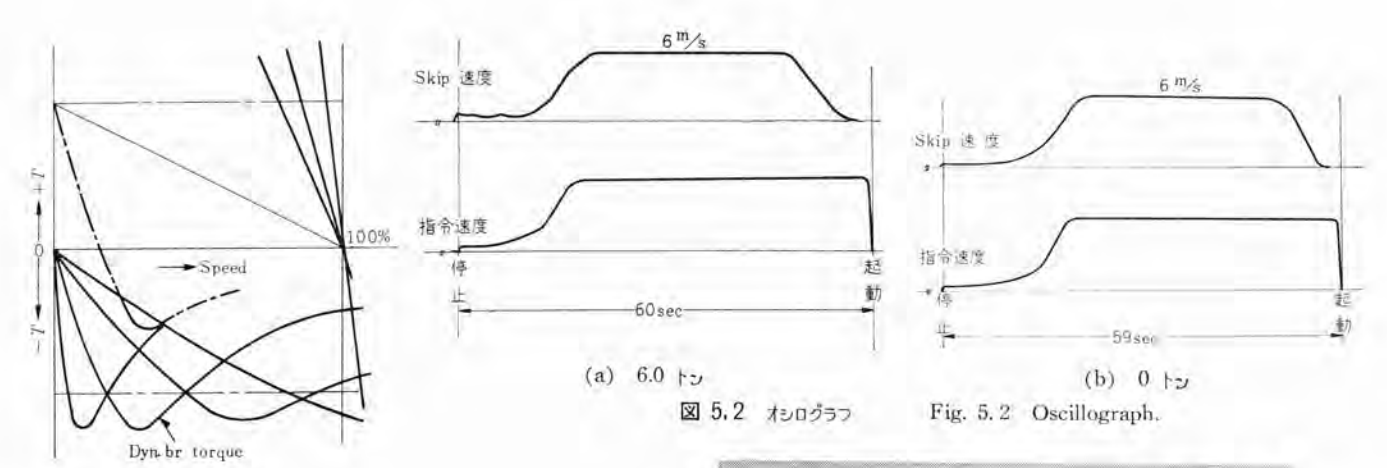


図 5.1 グラフ Fig. 5.1 Speed-torque graph.

る. 交流巻上機ではいかにして、トルクの変動に対し、速度を一定 にするかが問題である。

当坑における発電制動方式の概況は、2 台の モータ を タンデム に 設置し、加速時と全速時には2台共電動機として駆動運転する・

この時は普通のユー 電動機駆動の交流巻上機とまったく異なる 点はないが、制動時には1モータ、1 ブレーキ として動作する。この 電動トルクと制動トルクとの算術和が発生する軸トルクとなり、正 負 トルクを発生する。 したがって モータリングトルク か ブレーキングトルク かのいずれかを変化させればその発生トルクは変化するが、当立 坑の場合はモータリング側は負荷により一定とし、ブレーキング側の負 トルクを変化させ、その合成トルクを変化し、必要トルクを得るよ うにしている. 速度の制御は想定 ダイヤグラム に相当する速度の指令 を インダクタ によって基準電圧値として発生し、実速度は指速発電 機 (PG) によって電圧値として発生する。その差を磁気増幅器に より検出増幅し、印加直流電圧を変化させて所要の減速度を得て、 速度を初期設定速度曲線に従うようにしてある. しかしそのトルク 特性、ダイヤグラムおよびイナーシャーのために設定値に合致すること は困難で、実速度との間に若干の差を生じている. また減速開始 点はドラムに接続した深度計力ムと同軸の力ムにて設定し、初期設 定滅速度曲線はこれより金形にて インダクタ の軸を動かし、電圧値 として求めている.

5.2 保安装置

(1) 保安装置の種類

保安装置としては全域にわたる過速保護の他に過巻りミット、DC 電圧, 負荷検出装置関係、プレーキ作動関係、運転操作 ハンドル間の インターロック および主要各所に配置された非常制動押し ボタン により構成されている.

またスキップ本体に対しては Fァ 不開および不閉の確認による保 安装置もあわせて設備されている.

(2) 速度監視装置

全速時には機械形の速度監視(過速度リレー)を行ない、減速区間では磁気増幅器を用いた連続速度監視を行なっている。これは指令電圧と実際の速度との差を磁気増幅器にて検出増幅し、速度監視リレーを動作させるものであり、設定点においては良好な動作を行なっている。

5.3 負荷検出装置

負荷検出装置は1号スキップと2号スキップが離合する点すなわち中間点において、その入力電力を測定し、減速時の速度制御のためのモータリング側電動機の二次側抵抗値の選択決定および、ブレ

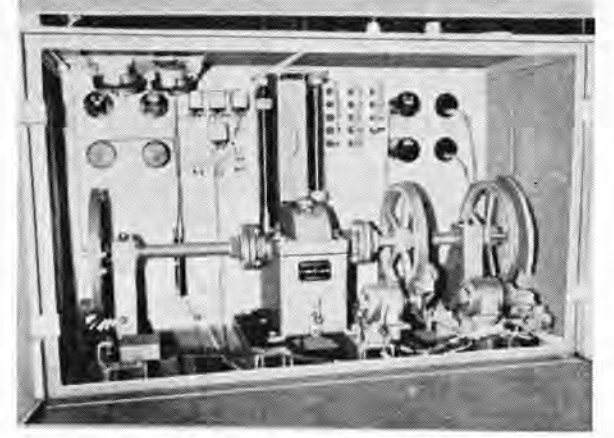


図 5.3 操作艦内部の速度指令装置 Fig. 5.3 Speed instructive gear.

ーキング側の印加直流電圧を決定する。減速開始点以後の制動力は 発電機 フィールド 用の主磁気増幅器の パイヤス 電流を変化 (ブリセット) し、その増幅率を変え制御を行なうようにしている。

5.4 運転方法

運転は自動・半自動(1 サイクル自動)・手動にわかれ、巻室の選択レバーの選定により任意に切換運転される。自動運転とは、原炭積込、巻上、排出、停止を最初の押し ボタン 起動により、まったく自動的に連続運転を行なりもので、半自動運転は1 トリッラのみ自動的に積込、巻上、排出、停止を行ない、手動運転は任意に運転停止が可能である。ただし手動の場合でも積込に関しては自動でなければ行なえず、任意に巻き上げるためには特別な操作が必要であり、また停止する場合は手動 ヴレーキが必要である。

巻上の場合はその減速は自動的に設定曲線にのるようになっている。したがって減速区間中はいずれの場合でも $1 \in -9$, $1 \neq 0$

また手動で微速が必要な場合はもちろん発電制動巻上として操 作可能である。

6. 坑底積込設備

6.1 積込設備主要諸元

積込設備の主要機器の仕様を下記に示す.

(1) ポケット

ポケット 容量は 150 m³ 2 基でコンクリート製,下部には床面より豆 チェン にて操作され ラックピニオン による手動 スライド 式 ゲート がついている.

ポケット出口寸法は $900 \times 1,600$ mm であり ゲート 最大開度は 900 mm である.

(2) エブロッフイダ

幅 1,200 mm の オーバラップ 形で アングル により チェン に取り付けれら タンプラ により駆動される.

数 量 2台

駆動方式 第1段チェン駆動,第2段歯車駆動

チエン 速 度7 m/min運搬能力300 t/h

全 長 タンプラ中心距離 3,300 mm

電 動 機 7.5 kW×36 rpm

(3) ベルトコンベヤ

主要項目

数 量 1台

駆動方式 チェン駆動

ベルト 速 度 100 m/min

ベルト 幅 1,000 mm

運搬能力 330 t/h

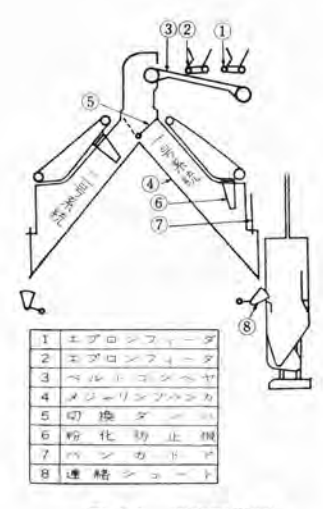


図 6.1 設備配置図 Fig. 6.1 Equipment layout.

全 長 プーリ 中心距離 18.512 m

電動機 7.5kW×36 rpm

(4) その他設備

ベルトコンペヤ により送られた 石炭は容量 $6 \, \text{m}^3 \times 2$ の メジヤ リング 本体に流入する

その際切換 ずいパ (エアシリンダ 内径 250 mm ストローク 600 m m) により片側に供給され、 アブゼンカ によって 徐々に下方 に移動させて石炭の落差を一 定に保って粉化を防止する。

下部には パンカトピラ を設備 し、内径 350 mm, ストローク

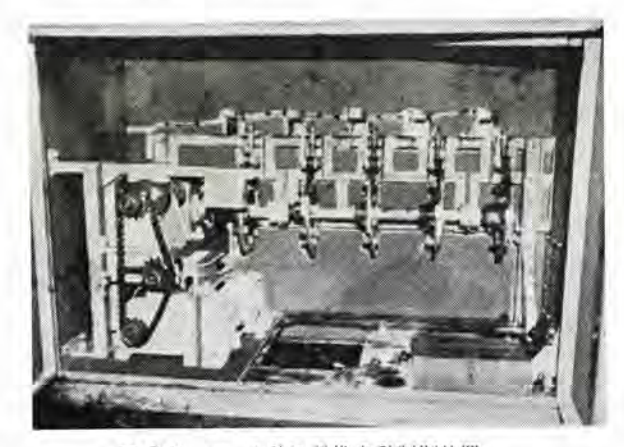


図 6.2 スキップ 積込設備自動制御装置 Fig. 6.2 Automatic control equipment of skip loader.

一年 10 トコンベヤー				
切換をシバ 1月		鬥		
切機タンー 2号				FMI.
アプセンカ 1号	(1)	上年	10 -	下降
アーヒッカ 2号	2	11.异	(2)	上程
19 15 - 1 18 18 18 18 18 18 18 18 18 18 18 18 1				4

図 6.3 運転 ダイヤグラム Fig. 6.3 Operation diagram.

1,500 mm の エアシリンダ により上下に摺動し石炭の スキップ 内への流し込みおよび セキ 止を行なう・スキップ との連絡には連絡 シュートを設け内径 200 mm, ストローク 550 mm の エアシリンダ によって スキップ との連絡を行なう・

6.2 制御概要

積込設備は自動運転によって行なわれ、スキップの運転と関係した ダイヤグラム によって行なわれる.

このため制御用の カム 装置 1 組が設けられ各機器運転の順序および作動時間の制御を行なっている.

その運転の ダイヤグラムを 図 6.3 に示す.

7. 坑底操車線設備

7.1 設備概要

各坑より運搬された原炭は電車で操車線設備の No. 1 へ牽引される. No. 1 クリーパ より No. 2. クリーパ, カープラ を経て ピッ 切 クリーパ に至り操作 マッ により ピッ を切られた炭車は自走し自動秤量され, 軌道 ストッパ 上で停止し安全 ストッパ に到達する. 安全 ストッパ より チップラーヘブッシャー で押し込まれた スイッチバック を経て押上 クリーパ で レベルアップ され, ピッ 連結 クリーパ に至り空列車を編成する.

7.2 操車線設備主要諸元

(1) No. I, No. 2A, No. 2B, 前進 クリーパ (1 C, 2 CA, 2 CB) 電車にて牽引されてきた列車を カープラ まで運搬するものである.

運搬能力 400 t/h (120 函)

コ ウ 配 水平

チエン 速度 18 m/min

駆動方式 第1段 チェン 駆動, 第2段歯車駆動

電 動 機 7.5 kW×36 rpm マグネットブレーキ 付

(2) カープラ (CPA CPB)

前進 クリーパ より送られた列車を ミューラ により ピン 切り クリーパまで運搬するものである.

全長 シーブ 中心距離 43.948 m

ミューラストローク 29.498 m

駆動方式 チェン

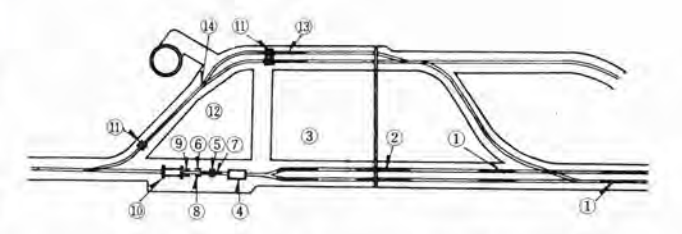
ローラ 速 度 21 m min

ロ - プ 径 16 mm

コ ゥ 配 0.5% トゥ

運 搬 能 力 400 t/h

ミユーラ 軌 間 280 mm



番号	機械	名	番号	椒	械	名	番号	椒	械 名
1	前進ケリ	⇒ 86°	6	L -	431	ッチ	11	9	1 - 4
2	h - 2	7	7	n -	20	* +	12	押上	フリーバ
3	ピン切りり	= E	8	13. 9	クスト	2.25	13	ピンカ	4結プリーバ
4	种做	機	9	安全	3.1	ge of	14	#12	ト切換シリンク
5	航海スト	9 35	10	7	a 5	9			

図 7.1 坑底操車線配置図

Fig. 7.1 Arrangement of coal truck operation in the pit.

電 動 機 11 kW×36 rpm マグネットブレーキ 付

(3) ピッ 切り クリーパ (PCA PCB)

カープラ より送られた列車を一面宛 ピン を切り チープラ へ自走させるものである.

鎖車中心距離 4,160 mm

コ ゥ 配 水平

運 搬 能 力 400 t/h

チェーラ 速 度 16.2 m/min

駆動方式 第1段チェン駆動,第2段歯車駆動

電 動 機 11 kW×36 rpm

(4) 秤量機

自走している炭車をそのまま秤量するものである.

名 称 ノーマン 鉱車計重機

計 重 部 9ポタ 0 形 レジスタ 自動計重装置

計 量 回 数 120 两/h

積 歳 面 1,200×4,000 mm

(5) 軌道 ストッパ (GS)

カープッシャー の手前に設置され、炭車の走行 エネルギ を油入緩衝 シ リンダ の油が オリフィス を通過する時の抵抗によって吸収する.

油圧 シリンダ 内径 83 mm

ブレーキシリンダ 内径 110 mm

エアシリンダ 内径 180 mm

(6) 安全 ストッパ

チープラ 直前に設置し内径 100 mm, ストローク 120 mm の エアシリンタ の作動により車輪止めを操作し 炭車車輪を受け止める構造となっている。

パックストッパを炭車の後退を防ぐために設置してある。これはレパー中央部を支点とし、下端につい巻パネを取り付けている。

(7) +-35 (T)

炭車停止用 ストッパを 付属し チープラ 外周は鋼板製防 ジュカバー でおおわれている。

回転、停止は駆動装置の Iアシリンダ 操作で行なわれ、停止時の 緩衝装置用 Iアシリンダ を設けてある。

なお、下部には チープラ 操作 マン が操作するところの ポケット 切換 タンパ が設置されている。

形 式 1 兩返し360"回転形

駅 動 方 式 遊星歯車 つリクションホイル 駅動

外径寸法 径 2,500×長さ 3,550 mm

処 理 能 力 160 兩h (400 t/h)

1 サイクル 所要時間 22.5 砂

1 回転所要時間 12 秒

設 置 角 度 水平

電 動 機 7.5 kW×1,800 rpm

(8) 押上げ クリーパ (AC)

スイッチパックより自走し レターダ で制動された空車を空函線 レベル に押し上げるためのものである。

鎖車中心距離 8,500 mm

コ ゥ 配 18/100

運 搬 能 力 120 函 h

チェン 速 度 18 m/min

電 動 機 11 kW×3,600 rpm

(9) ピン 連結 クリーパ (CA CB)

押上 クリーパより自走し、レターダ で制動された空車を連結し、列車を編成するためのものである。

鎖車中心距離 3,840 mm

コ ゥ 配 水平(尾部一部傾斜)

運 搬 能 力 120 函/h

チェッ 速 度 18 m/min

憶 動 機 7.5 kW×36 rpm

7.2 自動制御概要

電車により牽引された炭車は No. 17 クリーパ上に停止し、電車 退避の確認、ポイントの方向、および前方機器の運転条件が満足さ れている場合、チップラ 付近にある運転制御盤上の運転可の青 ラン プが点灯する。運転可を確認後操作マンが始動押しポタンを押す ことにより、No. 1 クリーパは運転を開始する。以降 No. 2 クリーパ 上に列車が到着すると、自動的に No. 1 クリーパは停止し、No. 2 クリーパは前方条件などの満足により自動的に運転を開始し、列車 がカープラ 上の定位置に到着すると停止する。

カープラは前方条件などの満足により自動的に運転を開始し、列車がピン切のリーパに到着すると停止し、ミエールは定位置までパックする。ピン切つリーパは安全ストッパと関連して自動的に起動停止する。ピン切つンがピンを切ることにより、一函宛送り出され、軌道ストッパでいったん停止後、軌道ストッパは安全ストッパと関連して自動的に開放され安全ストッパに送られる。安全ストッパはチョブラの回転と連絡して開放されプッシャによってチップラ内へ炭車を押し込む。チップラは炭車押込の確認によって回転を始め一回転後、定位置に停止する。後続の炭車にて送り出された炭車はスイッチパックを経て押上クリーパ位置まで自走し、押上クリーパでレベルアップされる。レベルアップされた空炭車は自走してピン連結クリーパに到り、ピン連結マンによって連結され空車列車を編成する。この系列において主要各所に非常押しポタンを設備し、異常状態に備えている。この自動運転において、炭車の有無の判定その他運動動作にピコリレー(無接触容量リレー)が用いられている。

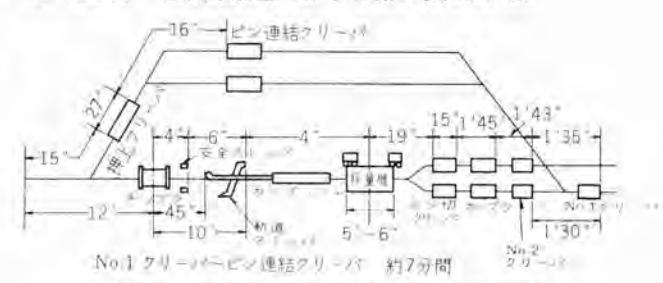


図 7.2 坑底操車線における炭車走行時間平均値 Fig. 7.2 Mean value of coal truck running time on the pit track.

8. む す ぴ

以上麻生吉隈炭鉱第一立坑の概要を述べた。運転開始頭初若干の問題点があったが、三菱造船および三菱電機の献身的なご協力 を得てその解決を計り、現在きわめて順調に自動運転を行なって いる。

誌上を借りて三菱造船、三菱電機の関係各位に謹んで謝意を表 する次第である。

ガス拡散電極の電位立上りおよび減衰特性

秦 卓 也* • 松岡宏昌** • 錦織威紀**

Build up and Decay Curves of Gas Diffusion Electrodes

Research Laboratory Takuya HATA • Hiromasa MATSUOKA • Takeki NISHIKORI

Gas diffusion electrodes used for a fuel cell are different in several points from conventional electrodes. The differences are particularly conspicuous in the build up and decay curves. To clarify the performance of the gas diffusion electrode, first theoretical consideration is made on these matters. Then it is confirmed by experiments. As a result the following conclusion is arrived at that in a steady state the gas reacts at three phase zone as is usually considered. But in a transient state the electrode-electrolyte interface, the two phase zone, also effects the reaction. From this implication the three phase zone area and the electrode-electrolyte interface area are made available.

1. まえがき

燃料電池の出現で ガス 拡散電極が注目されるようになったが、 この電極はいろいろの点で通常の電極と異なる. この違いを認識 することはこの種電極研究の第一歩として不可欠であり、とくに 特性の測定上必要なことである.

本報告では ガス 拡散電極の特長を明確にし、これを基に電極電 位の、通電初期の立上り (Build up) および通電中止直後の減衰 (Decay) 曲線について考察し、最後に ガス 拡散電極の最も簡単な 形である板状電極についての測定結果を示した。

ガス拡散電極の立上り (Build up) および 減衰 (Decay) に関する考察

2.1 ガス拡散電極の特長

ガス 拡散電極と通常の電極の違いは、通常の電極は液に接する 面で反応が起こるのに対して、ガス拡散電極は ガス、電極および電 解液の3者が互いに接する三相界面とよばれるごく限られた部分 で起こることである。実際に用いられる ガス 拡散電極は三相界面 を、できるだけ広くするために有孔率の大きい多孔体を用い、三 相界面をこの多孔体の内部に形成するようにしている。したがっ てこの電極を図式的に描くと図2.1 のようになり bが接液部分で あり、aが三相界面である。

2.2 無通電時のガス拡散電極

以下の議論は一般の ガス 電極についていえることであるが、ここでは簡単のために水素 ガス 電極について考える.

ガス 拡散電極を水素のふんい気中に無通電で十分長時間放置すれば電極はそのガスの平衡電位を示すようになる。この状態をもう少し 200 的にみると、この電極が平衡にある以上、電解液に

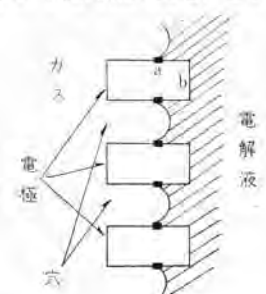


図 2.1 ガス 拡散電極の模形 Fig. 2.1 Schematic diagram of gas diffusion electrode.

接する部分はすべて等しい電位でなければならない。したがって 図2.1においてaの部分もbの部分も電位は等しいわけである。

ここでこの電位は何によって決まるかを考えると水素電極電位

$$E_H = \frac{RT}{F} \ln \frac{a_{H^+}}{f_{H_1}^{\frac{1}{2}}}$$

 E_{H} : 水素電極電位, R: 気体定数, T:純体温度 F: ファラデー定数, a_{H} : 水素 イオン の活量

fu: 水素 ガスの フュガシティ

によって与えられるから一定温度のもとでは電解液の水素 イオン (または水酸 イオン) の活量と水素 ガスの フュガシティ (Fugacity) によって決まる・

ところで H⁺ (または OH⁻) の活量は a 部分でも b 部分でも等 しいから水素 ガスの つっガシティ も等しくなければならない。 すな わち ガス に接する a 部分だけでなく液につかっている b 部分にも 等しい つっガシティ で水素分子が存在するということである。

2.3 立上り (Build up) 曲線

平衡にある電極に今,陽分極電流 I₁ を通ずると, a 部分および b 部分の水素が同時に溶け出すから活性化分極 n₁₁ は

$$\eta_{1i} = \vec{b} \ln \left\{ \frac{I_1 + I_1'}{i_0(S_a + S_b)} \right\} \dots (2.1)$$

$$\eta_{1i} = -\overrightarrow{b} \ln \left\{ \frac{I_1'}{i_0(S_a + S_b)} \right\} \cdots \cdots (2.2)$$

となる。ここで S_a , S_b はおのおのa部分 b 部分の面積, I_1 は内部分極部分極曲線に対する陰分極電流、したがって I_1+I_1' は内部分極曲線に対する陽分極電流, i_0 は交換電流密度, \overleftarrow{b} , \overrightarrow{b} はこれに $\log_e 10$ をかけるとおのおの陽分極, 陰分極の g_{-7xN} (Tafel) 定数となる定数.

式(2.1)および(2.2)の関係を図2.2に示した。

式(2.1)と(2.2)から

$$\eta_{1i} = \overleftarrow{b} \ln \left\{ \frac{I_1}{i_0(S_a + S_b)} + e^{-\frac{\eta_{1i}}{b}} \right\} \dots (2.3)$$

または

$$I_1 = i_0(S_a + S_b) \begin{pmatrix} \eta_{1i} & -\eta_{1i} \\ e_b - e_b \end{pmatrix} \cdots \cdots \cdots \cdots (2.4)$$

となる. ところで式 (2.3), (2.4) は通電の初めに成立するもので分極は時間とともに変化する.

すなわち図2.1 においてa 部分は水素 ガス に接触しているから、 反応によって水素分子が失なわれても次から次と補給されるが、 b 部分は液の中に浸 セキ されているので補給が行なわれず、時間

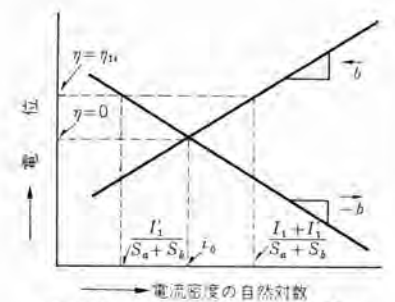


図 2.2 立上り曲線の立上り始めの分極

Fig. 2.2 Initial polarization of build up curve.

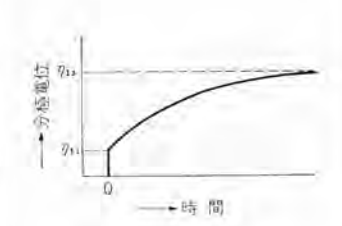


図 2.3 立上り曲線 Fig. 2.3 Build up curve.

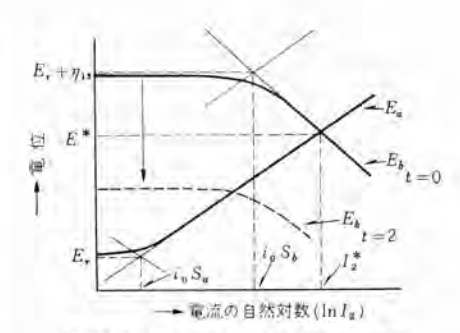


図 2.4 減衰曲線の減衰始めの電位 Fig. 2.4 Initial potential of decay curve.

とともに b 部分の水素の量は減少し、ついにこの部分では反応が起こらなくなる。すなわち b 部分の水素の減少で つュガシティ が小さくなり b 部分の平衡電位が分極電位と一致したのである。したがって、この状態では分極は a 部分についてだけ考えればよいから、この状態の分極 nis は

$$\eta_{is} = \stackrel{\leftarrow}{b} \ln \left(\frac{I_1}{i_0 S_n} + e^{-\frac{\eta_{is}}{b}} \right) \quad \dots \qquad (2, 5)$$

または

となる. 分極は時間の経過に従い nu から nu に変わるわけであるが、その様子を定性的に図示すると図2.3 のようになる. nu から、nu にいたる曲線の形は、b部分に各つユガシティで存在する水素の量によって決まる. ともかくb部分に存在する水素の量が多ければ nu から nu にいたる時間は長くなる.

しかし η_{th} η_{ts} なる分極は水素の量には関係せず、a 部分、b 部分の面積によって決まる.

2.4 減衰 (Decay) 曲線

次に陽分極電流 I_1 を切ったときの電位変化を考えてみる。切る前の電位は η_{1s} になっているものとする。この状態では、前述のように分極しているのは a 部分のみで b 部分はその分極電位を平衡電位として平衡を保っている。ところで回路を開き I_1 を切ると、a 部分は平衡電位 E_r (電流 I_1 を通ずる前の電位)にもどろうとする。ところが、 I_1 を切る前には b 部分は $E_r + \eta_{1s}$ を平衡電位としていたのであるから、a 部分が E_r にもどるためには b 部分を陰分極しなければならない。このために a 部分は陽分極され結局 E_r と $E_r + \eta_{1s}$ の間の電位が得られる。

この関係をもう少し詳しく考えてみる。今述べたようにb部分は陰分極、a部分は陽分極されるわけであるが、この電流を L_2 とすると、a 部分の分極 n_{210} は

$$\eta_{2ta} = \stackrel{\leftarrow}{b} \ln \left(\frac{I_3}{i_0 S_a} + e^{-\frac{\eta_{2ta}}{b}} \right)$$
(2.7)

$$\eta_{2tb} = -\vec{b} \ln \left(\frac{I_2}{i_0 S_b} + e^{-\frac{\eta_{2tb}}{\vec{b}}} \right) \cdots (2, 8)$$

となる。ところでこの分極はおのおの E_r および $E_r + \eta_{1s}$ を規準 にとっているから比較しにくいので式 (2.7) に E_r , 式 (2.8) に $E_r + \eta_{1s}$ を加え規準を一つにし、改めて E_a . E_b とおくと

$$E_a = E_r + \overleftarrow{b} \ln \left(\frac{I_a}{i_0 S_a} + e^{-\frac{E_a - E_r}{b}} \right) \cdot \dots \cdot (2.7^t)$$

$$E_b = E_r + \eta_{1s} - \vec{b} \ln \left(\frac{I_2}{i_0 S_b} + e^{-\frac{E_0 - E_r - \eta_{1s}}{b}} \right) \cdots (2.8')$$

となる. この関係を図示すると図 2.4 のようになる.

ところでこれは局部電池 (a 部分とb部分が短絡されている)

ガス 拡散電極の電位立上りおよび減衰特性・秦・松岡・錦織

であるから常に $E_a=E_b$ を満足していなければならない。したがって \mathbf{Z} 2.4において、 \mathbf{L} * なる局部電流が流れ、電位は \mathbf{E}^* とな

図 2.5 減衰曲線 E^* E^*

って図2.4において、Li* なる局部電流が流れ、電位は E* となる。 ところでこのように局部電流が流れるとb部分の水素の フュガシティ は大きくなり Eo なる分極曲線は卑方向に移動し(図2.4の

点線の分極曲線) ついに E^* は E_r と一致し、 I_2^* は E_0 となり

定常にいたる。この間の時間による電位の変化は図2.5のように

なる. E* から Er にいたる曲線の形も立上りと同様 b 部分に各

フェガシティ で存在する水素の量によって決まる. 以上から立上りの初めの分極、定常状態の分極および減衰 (Decay) の初めの分極が、三相界面(a部分)および接液面(b部分)の面積によって決まることがわかった.

これによって実際の電極の三相界面の面積を求めることもできるので注目すべき結論と思う.

3, 実験

以上の考察の結果を確めるために一番簡単な拡散電極である板 状電極について以下のような実験を行なった。

3.1 実験方法

本実験ではガス拡散電極として白金黒つき白金板を用い、ガスと して水素を用いた。 測定に使用した電解 ソウを図3.1 に示した。 電解液は 25% KOH 水溶液である. ガス 拡散電極は 20×10×0.2 の白金板に白金黒を電折させたものであり、この電極は必要に応 じ上下して電極の浸 セキ 深さを調節できるようになっている。補 助電極は 0.2 φ の ニッケル 線で ラセン 状に拡散電極を取り巻いてお り、測定にさきだち陰分極を行ない (100 mA で 30~60 分) 溶 存酸素その他酸化性不純物を除去するためのものである. 対極は 10×5×0.2 の白金板で拡散電極および補助電極に電流を通ずる ためのものである。この対極を グラスウール を詰めた枝にそう入し ている理由は対極で生ずる ガス や不純物の混入を防ぐためである. 照合電極は 0.2φ の白金線に白金黒をつけ二重の ガラス 管の中に 封じ内側の管から水素を通じ水素電極とした. 電解 ソウの上部の 空間は照合電極の外管から出た水素で、水素ふんい気になってい る. なお、 水素は電解 yo と同温度にある 25% KOH 水溶液の 中を通したものを使用している。電解 ソウは 40°C の恒温水 タンク にそう入してある.

分極は 100 V の パッテリ から高抵抗を通じて電流を流し定電流 法で行なっている。 パルス が必要な場合は スイッチ の所に リレー をいれ、外部からこの リレー に パルス を入れるようにした。 電位の測

定には真空管電位差計とペッオシロ(応答70 c/s)を使用した.ペッオシロは入力抵抗および感度が低いのでラリアップを置き入力抵抗20 Mの感度1cm/20 mV とした.

3.2 測定結果

測定結果を図 3.2 に示した 図 2.1 の b 部分の面積 (S_b) を変えるために拡散

100

(mA)

温度: 40.2°C

電極の浸 セキ深さを次の5種類に変えた.

A: 電極が電解液に接する程度

B: 電極が電解液に 2~3 mm 浸 セキ

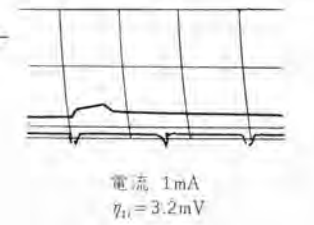
C: 電極が電解液に約 10 mm 浸 セキ

D: # 約 17~18 mm # (2~3 mm 露出)

E: " に全部浸 t+



Fig. 3.3 Build up and decay curves (Electrode is just in contact with electrolyte current…1 mA).



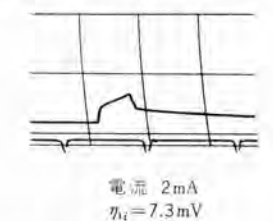




図 3.2 白金黒水素電極の分極特性 Fig. 3.2 Polarization characteristics of platinum black hydrogen electrode.

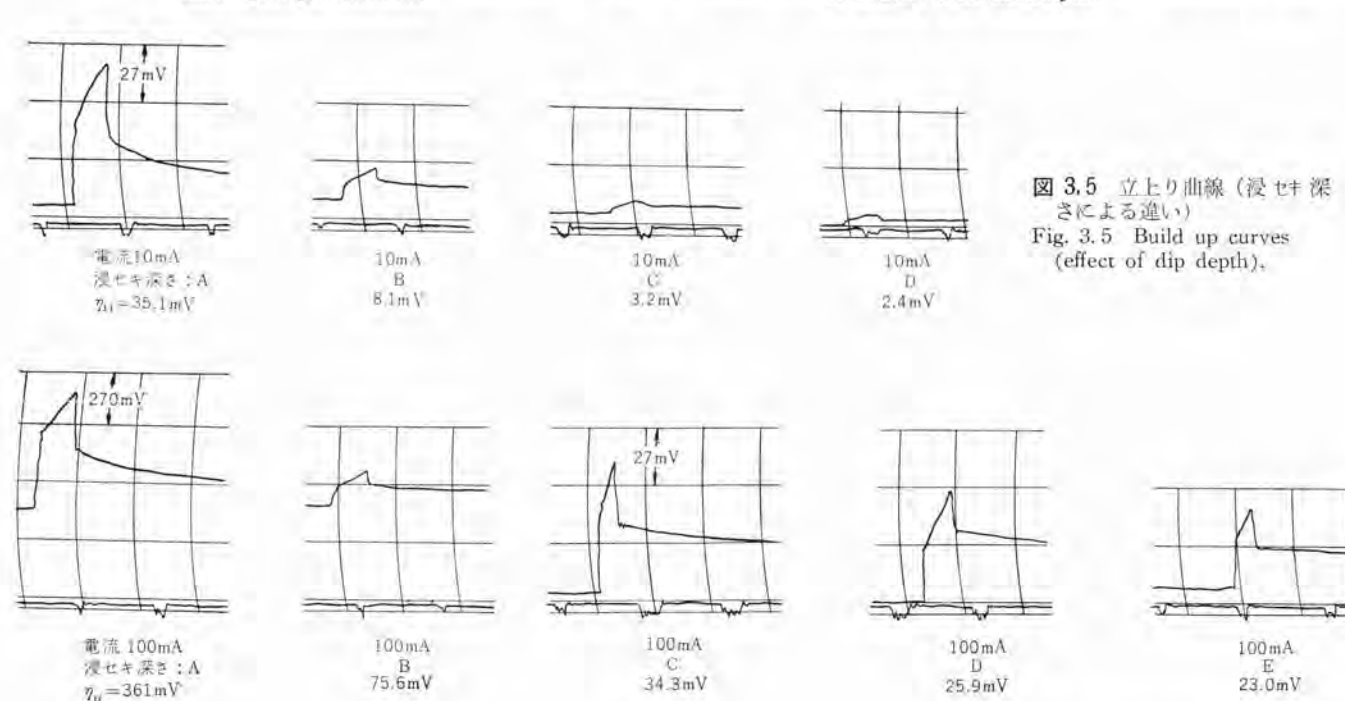
A: 電極が液に接する程度浸セキ B: 電極が液に 2~3 mm 浸セキ C: 電極が液に約 10 mm 浸セキ

D: 電極が液に 17~18 mm 設セキ

E: 電極が液に全部設セキ

電解液: 25% KOH 水溶液

図 3.4 立上り曲線 (電流による違い) 浸 セキ 深さ: 電解液に接する程度 Fig. 3.4 Build up curves (effect of current intensity) electrode is just in contact with electrolyte.



V6 H.E.)

母

糖

すとほとんど認められなくなる。立上りの初めに η_H が存在するはずであるが図3.3(a) で認められないのは電流密度が小さいため η_H が非常に小さいことと レコーダ の送り速度が遅いためである。図3.4に浸 t= 深さAの立上り曲線を各電流について示した。レコーダ の送り速度は 12 mm/100 m sec, パルス 幅は約 50 m sec である。

図3.5 は電流を2 水準選び一定に保ち浸 t + 深さによる立上り 曲線の変わり方を示した。上は電流 $10\,\mathrm{mA}$ のとき、下は電流 $100\,\mathrm{mA}$ のときである。この図から浸 t + 深さすなわち接液面積 (S_b) の増加で η_{15} が小さくなることがよくわかる。

なお図3.4.3.5 において η_{11} に立ち上がるまでに $5\sim10$ m sec はどを要しているがこれは ν コーダ の応答遅れと思われる。電気 二重層への充電時間とすると容量は約 $10^{4}\mu$ F cm² となって少し大きすぎる。

4. 実験結果の検討および考察

4.1 ガス拡散電極の反応は三相界面で起こる

図 3.2 の左の一群は電極の浸 t ‡ 深さを変えて定常分極すなわち η_{1s} を測定した結果であるが、これによると浸 t ‡ 深さ C までは深さに関係なく、まったく一致した分極曲線が得られている。 浸 t ‡ 深さ D では分極はいくらか大きく、E では非常に大きく 1/10 程度の電流で A などと同じ分極をしている。なお、酸素 f スを使って高橋、伊藤($^{(1)}$)によっても同様の結果が得られている。

以上のように一定浸 t+ 深さ以下では接液面積に関係セナー定の分極が得られることから定常状態の電極反応は三相界面で起こっていることが確認される。 浸 t+ 深さDで分極が大きくなっている理由は毛管現象による電解液のしみ上がりで電極が相当ぬれているためであろう。 浸 t+ 深さEでも電流がいくらか流れているが、これは電解液に溶存する水素か、白金極をささえている柄の部分に三相界面が生ずるためであろう。

4.2 三相界面の面積および接液面積

4.2.1 立上り曲線から

すでに述べたように η_1 は式 (2.3), η_1 は式 (2.5) で決まる。 したがってこの二つの式、あるいはこれらの式を変形した式 (2.4) および式 (2.6) から、 S_a+S_b と S_a の比が求められる。したがって S_b を電極の浸 t= 深さから求めてやれば S_a は求められる。

また、種々の浸 t # 深さについて n_{ii} を測定すれば式 (2.3) または式 (2.4) だけからも S_{a} を求めることができる。しかし、いずれの方法も手続きが複雑である上に誤差が大きい。

そこで、ここでは次のようにして求める。式 (2.4) および式 (2.6) の右辺の 1 の中は n_{14} と n_{1s} の違いだけで、他はまったく同じである。したがって n_{1f} と n_{1s} を等しくおけば各式の分極電流 I_1 の違いがそのまま S_a+S_b と S_a の違いになる。

 S_a を求める前に浸 t キ 深さから求められる S_b と分極曲線から 求められる S_b を比較してみる。分極曲線から S_b を求めるには 図 3.2 において一定分極電位のところに横線を引き,この横線と 各浸 t キ 深さに対する η_{11} との交点の電流を求めれば,これが式 (2.4) から S_a + S_b に比例していることがわかる。ところで図 3.2 から η_{1s} が η_{1i} に比べ非常に大きい。したがって S_a ≪ S_b であるから S_a + S_b は S_b としてよい。 表 4.1 にこのようにして求めた結果を示した。

この表から分極曲線で求めた S_b のほうが一般に大きいが、これは表面張力による電極の $\pi \nu$ のためであろう。分極が $0.04\,V$ と $0.06\,V$ の場合について S_b を求めたが各分極の間ではよく一致している。

次に表 4.1 の S_b を基にして S_a を求めてみよう。 求め方は S_b を求めるときのように一定分極電位のところに横線を引き、ある

ガス拡散電極の電位立上りおよび減衰特性・秦・松岡・錦織

表 4.1 浸 t+ 深さから求めた S_b と分極曲線 n_H から求めた S_b の比較

設セキ捉き	役セキ深さから求	カルから求めた	Sb (cm2) (注)
DE S T DE S	めた Sb (cm2)	$\eta_{1i} = 0.04 \text{ V}$	η11=0.06 V
A:液に接触		0.22	0.18
B: 2,5 mm	0.5	0.92	0.91
C: 10 mm	2.0	2.2	2.2
D:17.5 mm	3.5	3,4	3.1
E:20 mm	4.0	4.0	4.0

(注) 分極曲線から S_b を来める場合。全部設セキしたときを $S_b=4.0$ とした。

表 4.2 三相界面の面積 (S_a)

設也半課さ	相界面の面積 (cm²)					
DE F T IN C	$\eta_{11} - \eta_{11} = 0.04 \text{ V}$	η ₁₁ = η ₁₁ = 0,06 V				
A: 液に接触	0,0070	0.0072				
B; 2,5 mm	0.0080	0.0074				
C: 10 mm	0.0077	0,0063				
D: 17.5 mm	(0,0060)	(0.003/)				
E : 20 mm	(0.0019)	(0.0012)				

浸 t‡ 深さにおける η_{1s} と η_{1i} との交点の電流を求め、この電流 を I_{s} 、 I_{t} とすると S_{α} は

$$S_a = \frac{I_3}{I_4} \cdot S_b$$

である。 S_b として**表 4.1** の η_{11} から求めた各値に対して S_a を求めた結果が**表 4.2** である。

表中浸 t+ 深さ D, E o S_a ic h-i3 を施したのは 4.1 節で述べたように他と事情が違うからである。

D, E と C の分極が $0.006\,\mathrm{V}$ の場合を除けば非常によい一致が 得られている。

表4.2 から三相界面の面積は約 0.0073 cm² である。界面の長さは 2 cm であるから幅は 0.036 cm (36 μ) であることがわかる。

4.2.2 減衰 (Decay) 曲線から

2.4 節で論じたように図 2.5 の E^* が求まれば減衰曲線からも求められるはずであるが、実際には S_a に比べ S_b が非常に大きいので、図 2.5 の E^* が測定困難である。浸 t^* 深さ A については E^* が求められているがこれだけから求めようとすると g-フェル 定数も考えないといけないので複雑となる。

以上から $S_a \ll S_b$ のときは減衰曲線から求めるのは困難であるが、 $S_a \approx S_b$ または $S_a > S_b$ のときは減衰曲線からのほうが求めやすいであろう。

5. む す び

ガス拡散電極の立上り (Build up) および減衰 (Decay) 曲線について考察し、これらの曲線の解析を試みた. 立上り (Build up) 曲線の初めの分極はガス拡散電極の接液面積によって決まり、この面積が大きいほど分極が小さいこと、また定常状態における分極は従来から考えられていたように三相界面で起こり、この面積が大きいほど分極が小さいことがわかった。

さらに立上り曲線を測定し、三相界面の面積が求められることがわかった。たとえば白金黒つき白金板状水素電極について立上り曲線を測定し、三相界面の幅を計算した結果 30~40 μ を得た。

減衰曲線をとると、減衰の初めに急激な電位の変化が起こり、 これは接液部分の平衡電位と三相界面の平衡電位の違いによる混 合電位であることがわかった。この電位の変化は三相界面の面積 に比べ、接液部の面積が大きいほど小さくなるため白金黒つき白 金板電極で測定した結果では電極の接液面積が最も小さいとき認 められただけであった。

以上の考察および実験の結果は実際の電極の挙動を理解するに 役だち、電極改良の指針を与えてくれる.

(昭 38-8-13 受付)

参考文献

1) 高橋, 伊藤: 電気化学 30 431 (1962)

最近の送電線保護継電装置(4)

一故障検出継電器一

北浦孝一*•古谷昭雄**

The Latest Protective Relaying Scheme for Transmission Lines (4)

—Fault Detector—

Kobe Works

Koichi KITAURA · Akio FURUYA

Following previous issues on the subject given above, descriptions are made herein that, what specification is required, from the system conditions and fault conditions, for relays to detect faults, what principle and system for operation are applied to satisfy the specification and what performance is made available with relays worked out according to the specification.

As practical examples, herein are reported type KVG one line ground detecting relays used for carrier relays installed on the line between Yamaie substation and Kaho substation of Kyushu Electric Power and type KVC phase fault detecting relays employed for carrier relays on New Hida Trunk Line of Kansai Electric Power.

1. まえがき

搬送保護継電装置の生命は、故障検出継電器の性能にかかっているといっても過言ではない。なぜなら、現用の方向判定要素で前方背後の方向判定を誤るようなものはなく、系統条件によってその仕様がむずかしくなるというようなことはない。また、搬送保護の場合には、距離継電器の整定に誤差がかなりあっても、それが誤動作不正不動作の原因となるような、余裕のない整定はしない。系統条件によって難しい仕様となるのが、ここに述べる故障検出要素である。一般に超高圧送電線は、直接接地系統であり、各端背後には、故障を検出し、故障方向を判定するにたる、適当な正相電源(背後電力)とでの相電源(直接接地された中性点)を有しており、きわめて保護しやすいのであるが、わが国の66~154kVの高へでピーヴュス接地系統の多くは、短絡、地絡とも故障電流が大幅に変化し、系統健全状態と故障状態の区別がつけがたく、また故障種類の弁別もむずかしく、さらに背後の、正相電源、での相電源が存在しない場合すらあって、いわゆる無電流端対策を必

要とする場合が多い、かかる系統の 保護に適用される故障検出要素の果 す役割は重要であり、仕様条件もき わめてむずかしくなる。しかも、最 近、電力系統整備でこれから ‡+リ† リレー 化しようとする系統に、上記の ようなむずかしい条件のものが多い から、以下ここに、1 線地絡故障検 出継電器と短絡故障検出継電器の方 式原理とその適用例を紹介し、今後、 行なう‡+リ†リレー化のご参考に供す る次第である。

2. 1 線地絡検出継電器(1)(2)(3)

一般に、直接接地系統では、故障相を検出し、故障相だけ シャ 断、再 閉路することが、系統の安定度を確 保するために有利であるから採用さ れているが、高 インピーダンス 接地系統 では、1 線地絡時の故障電流が小さ く、誘導障害上の問題も少なく、系統安定度上も支障がない。一方、負荷電流と類似の値であるから、短絡保護とは区別した保護方式が採用されている。たとえば、保護区間外部に2線地絡故障(2φG)が発生すれば、地絡に基づくでロ相電流のほかに過大短絡電流のCT飽和不平衡に基づく誤差でロ相電流も流れて、地絡保護継電器をして誤判定させることがあるから、一般に、高インピーダンス接地系統では、短絡優先方式が採用されている。すなわち、1線地絡と、2線以上の故障とを区別する必要があり、1線地絡検出継電器が使用される。以下1線地絡を検出する原理、および、搬送保護継電装置に適用する場合に名端の故障種類判定結果を整合するため採用する電流補償方式の原理、適用例について述べる。

2.1, 1 線地絡検出原理

故障点の正相, 逆相, ゼロ 相電圧を V_1 , V_2 , V_0 とし継電器設置 点の正相, 逆相, ゼロ 相電圧を V_1 ', V_2 ', V_0 ' とすれば, 図 2.1 (a)(b) に示すように

1 ϕ G の時 $V_1 = -(V_2 + V_0)$, $|V_2| \ll |V_0|$ ………(2.1)

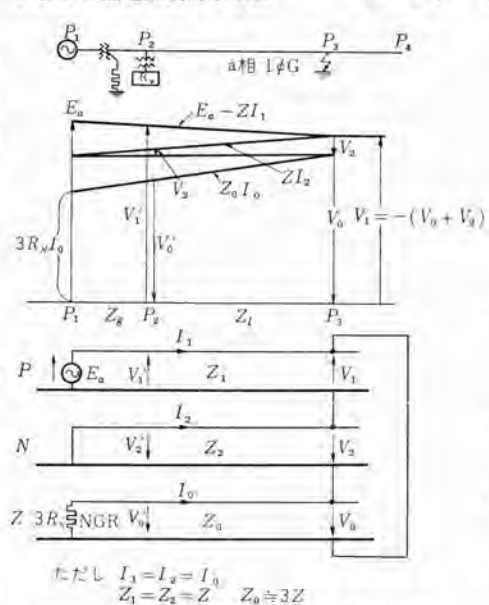


図 2.1 (a) 1 線地絡時各対称分電圧分布図 Fig. 2.1(a) Each symmetrical component distribution diagram in case of one line ground.

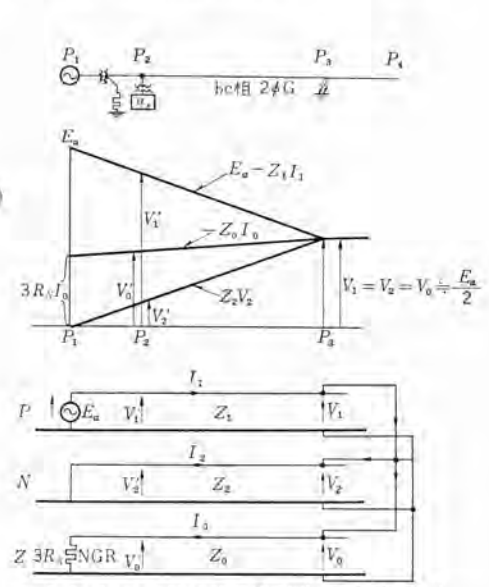


図 2.1 (b) 2 線地絡時各対称分電圧分布図 Fig. 2.1(b) Each symmetrical component distribution diagram in case of two line ground.

であるから継電器設置点の $V_{\mathfrak{g}'}$ と $V_{\mathfrak{g}'}$ の大さを比較して $1\,\mathfrak{p} G$ と $2\,\mathfrak{p} G$ を区別するものである。しかし一般に

 $1\phi G$ の時 $V_2'=V_2$ $V_0'=V_0$ とみなしうるが

 $2\phi G$ の時 $V_0' = V_0$ なるも、故障点と継電器設置点との距離いかんによっては $V_2' = V_2$ であり誤判定の可能性がある。 したがって、1 繰地絡検出継電器の適用にあたっては、下式で示す吟味を要する。

1φG 故障時の Vamax は

背後電力 最小 (Zgmax) で

NGR 電流 I_N 最大 $(3\,R_{\rm min})$ の時に生ずる。すなわち $|\,V_{2'{
m max}}| = E_a \times (Z_g/3R) = E_a \cdot \{EI_N/(\sqrt{3\,P} \times 10^3)\} \cdots (2.4)$ (付録 1 参照)

2φG 故障時の V2'min は

背後電力最大 (Zgmin) で

線路 コウ 長最大 ($Z_{l \max}$) の時に生ずる. すなわち

 $|V_{g'\min}| = E_{a} \cdot [3/7\{1 + (Z_{l}/Z_{g})\}] \cdot \cdots (2.5)$

(付録2参照)

ただし, E: 系統線間電圧 (kV)

P: 系統短絡容量 (MVA); P=E²/Z_q···(2.6)

 I_N : NGR 電流 (A); $I_N = (E \times 10^3) / \sqrt{3} R$

 Z_t : 保護の対象となる地点までの線路インピーダンス (Ω)

 Z_{o} : 背後 インピーダンス (Ω)

Ea: PT 二次電圧, 一般には 63.5 V

式 (2.4), (2.5) で示す V2 は PT 二次電圧 (V) である.

図 2.2 は、 $V_0'-V_2'$ 平面上の各種故障存在領域を示す。図示のように、 1ϕ G、 2ϕ G 存在領域はきわめて微少な幅を残して相接するものであるから、動作値と復帰値の差を僅少にし、動作限

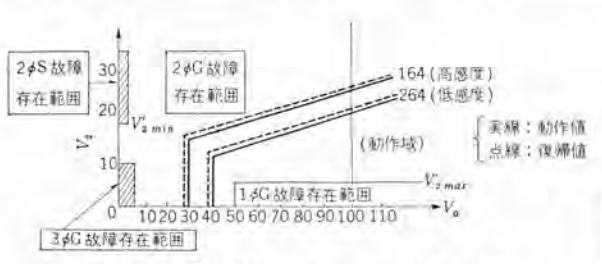


図 2.2 $V_0'-V_2'$ 平面上の各種故障存在範囲 Fig. 2.2 Range in which various faults exist on $V_0'-V_2'$ plane.

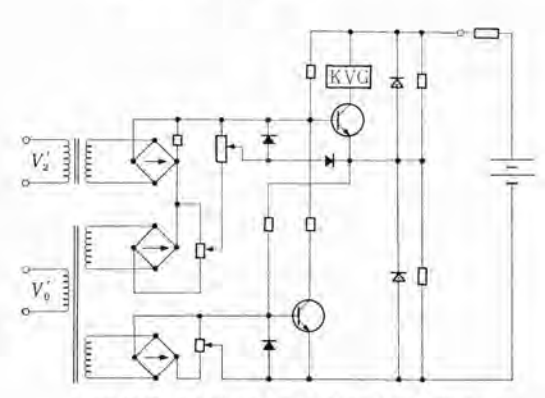


図 2.3 KVG 形継電器動作原理回路図 Fig. 2.3 Operation principle circuit of type KVG relay.

界点近傍の応動速度も一定値以内に押える必要がある。このことは、搬送保護に適用する場合には、各端の協調を確保するためとくに重要である。

従来の電磁形1線地絡検出継電器では、満足すべき性能が得られず、図2.3動作原理回路図に示すように、トランジスタ化したところ、以下に述べるものが得られた。すなわち

- (1) V₀'-V₀' 平面上における完全動作範囲と、完全不動作範囲の差は 0.5 V 以内
 - (2) 応動速度は 1~1.5 c/s のほぼ一定値.
- (3) 電源は一般に使用されている DC 110 V 電源を使用しているが、80~140 V の変化に対し、動作値の変化(誤差)は ±5% 以内・
- (4) 温度補償を行なっていないが トランジスタ の スイッチング 作用のみ利用し増幅作用を利用していないゆえ,

-20°C~+60°C に対し異常なく, 誤差は,

V₀ タップ ±5% 以内, V₂ タップ は ±7% 以内 0°C~40°C に対し

Vo タップは 0.5% 以内, V2 タップは 1% 以内

(5) 消費 $VAV_0=110V$ 印加時 PT 三次 \cdots 4.5VA 逆相分 D 波器 VA は、線間 110V 印加時最大相で 8VA

図 2.4 は KVG-3-M 形 1 線地絡検出継電器の外観図である。

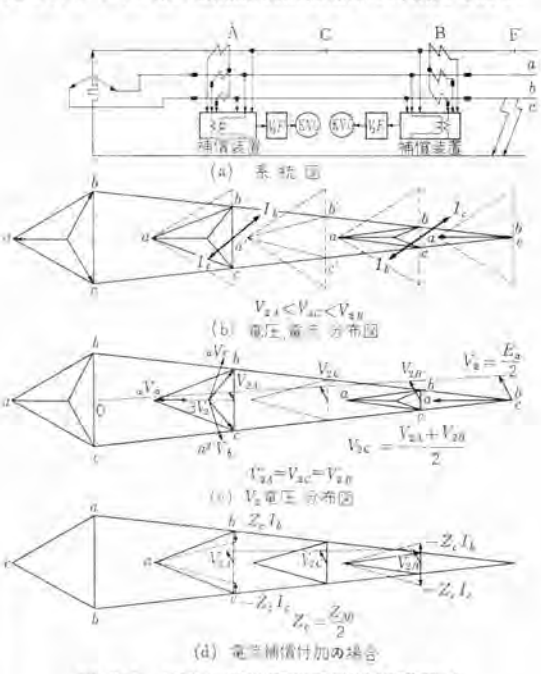


図 2.5 KVG 形継電器電流補償原理図 Fig. 2.5 Principle diagram of type KVG relay current compensation.

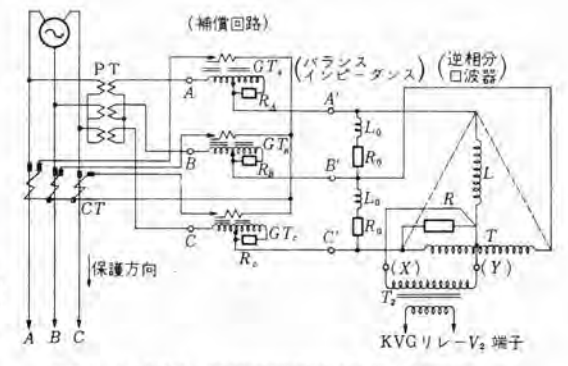


図 2.6 KVG 形継電器電流補償回路構成図 Fig. 2.6 Type KVG relay current compensation circuit composition.

relay.

2.2 電流補償式1線地絡検出方式

前述のように、故障種類に関係なく、 $V_0 = V_0$ とみなしうるが必ずしも $V_2' = V_2$ ではないから、故障種類の判定を誤ることがある。とくに、撤送保護継電装置のように異地点において、故障種類を弁別し、その判定結果が同一でないと、誤動作、不正不動作の原因となるものについては、対策を必要とする。

図2.5 は、その対策を示した電流補償原理図であり、図2.6 は、回路構成図である。

図 2.5 (a) のような系統で、F 点に $2\phi G$ 故障が発生した時、A 端、B 端の KVG 形継電器の入力として与えられる $V_0'V_2'$ は 図 2.2 (b) に示すとおりである。 すなわち $V_{0A} = V_{0B}$ とみなし うるが

 $V_{2A} < V_{2C} < V_{2B}$ $V_{2C} = (V_{2A} + V_{2B})/2 \cdot \cdot \cdot \cdot (2.8)$

ただし、C点は、AB間の中点である。 ② 2.5 (b)(c) 参照。 図より明らかなように、電源 インピーダンス が小さく(背後電力大きく) かつ、保護区間 コウ 長が長いほど A端。B端の V_2 の差が大きくなり、故障点に近い B端では短絡と判定しているにもかかわらず、電源端に近い A端では、I線地絡と判定する場合も生ずる。

以上の判定相違をさけるため、A 端、B 端それぞれ自端の電圧三角形と、自端を通過する線路電流より仮想点 C (一般に前記のように AB 間の中点) の電圧三角形を導出し、C 点における逆相電圧を導出し、両端とも同一の C 点逆相電圧 V_{O2} と各端 ゼロ 相電圧 $V_{O3} = V_{O3} = V_{O4}$ を比較して、同一の判定結果を得るのが、電流補償式 1 線地絡検出方式である。

図 2.5(d) は、電流補償装置を付加した場合を示す.

以下、上記の電流補償装置が各種故障に対し誤判定を下さない か吟味する。

(1) 系統健全時(三相平衡潮流)または三相短絡故障 3 ϕ S, 3 ϕ SG 発生時 $V_0'=0$, ゆえ,電流補償の有無にかかわらず KVG 形継電器は動作しない。また,正相分入力のみであり,かつ,各相とも,同一補償をしてあるから,原理上, $V_2'=0$ である。以上は,故障点位置に関係なく成立する。なお,過大入力に対しては,通常の短絡継電器なみに 100 A 1 秒が保証される。

(2) 1 線地絡故障 (1φG) 発生時

 $1 \phi G$ 故障でも、 V_2' が一定値以上発生すれば、KVG 形継電器は不動作となるから、前述式(2.4)の吟味を要する。しかし、一般にこの値は、数 V であり常時の逆相分 フィルタ の誤差を考慮しても 5 V 程度である。しかし、電流補償付の場合は、故障相のみに電流が流れ、見掛け上逆相電圧を発生することになるから、あらかじめ系統の NGR 電流調査の上、見掛け上の逆相分電圧発生程度を予測し V_2 $9 \circ 7$ を上げる必要がある。しかし、地絡電流が CT 二次で 3 A 程度継電器側換算の保護区間 $1 \circ 4$ 値が $1 \circ 4$ 程度なら $1 \circ 4$ の増加は数 V で一般には問題ない。

(3) 2 線地絡故障 (2 pG) 発生時

外部故障の場合は前記のように、A 端、B 端の継電器とも C 点に移設されたと同様の判定を行なうものであるから問題はない。 内部故障の場合は、各端とも逆相電圧は増加し、ますます動作 しがたい方向に補償装置が作用する。すなわち、補償装置のある 方が確実に 1 φ G ではないと判定する。

(4) 2 線短絡故障 (2 pS) 発生時

抵抗接地系統においては、電圧三角形は $2\phi S$ も $2\phi G$ と同時である。しかし、 $2\phi S$ では、 $V_0'=0$ であるから、電流制質の有無にかかわらず KVG 形継電器は不動作である。すなわち、 $1\phi G$

表 2.1 KVG 形 1 線地絡検出継電器実績表

形名	梅生	人先	台 数	納入年月	侧屬
KVG-M	東北間力 (中部電力 大	MILL S/S MAY P/S	1	36-5 36-5	優先シャ所用
KVG-2-M	则再電力 多	多奈川 P/S	1	37-6	200
KVG-3-M	中国電力	新字郎 P/S など	5	36-12	散送保護川
	中国能力 第	新字部 P/S など	10	37-4	搬送保護川
	网络银力 五	作师街价税	24	38-3	撤送保護用
	国鉄 新醇	L S/S	4	股份和	搬送保護用
KVG-31-M		li家 S/S 編制 S/S	6	37-5	撤送保護用 電流補償付
	九州電力 等	東上 P/S M M S/S	6	37-5	搬送保護用電流補賃付

と誤判定することはない。なお $2\phi S$, $2\phi G$ では過大な逆相分電圧が KVG 形継電器に印加されることがあるゆえ、補償 4 ンピーダッス 2Ω まで、故障電流 100 A 1 砂内の故障に対し、実害なきよう設計してある。

2.3 適用例

表2.1 はこの継電器の納入実績表である。表中、九州電力山家 S/S~嘉穂 S/S 間搬送保護継電装置、および、築上 P/S~嘉穂 S/S 川崎 S/S 間搬送保護継電装置用として納入した。 KVG-3I-M 形 継電器は前記の電流補償装置を付加して各端の動作協調を確実化 している。

3. 短絡故障検出継電器(4)(5)

最近 キャリナリレー 化の対象となっている系統の多くは、系統健全時の線間電圧または相電圧が 80~90% に低下することもあり、一方保護区間内故障でありながら、上記と同程度しか、電圧が低下しないこともあり、あるいはまた、故障でありながら無電流という場合もある。以下故障時の電圧一電流の関係を求め、どのような特性の故障検出継電器が理想的なものか証明し、その特性を得る原理方式と適用例を紹介する。

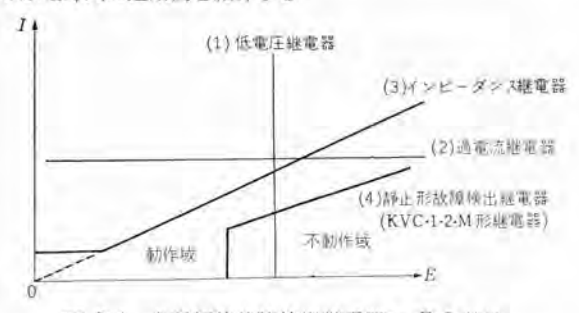


図 3.1 各種短絡故障検出継電器の E-I 特性 Fig. 3.1 E-I characteristics of various short circuit fault detecting relay.

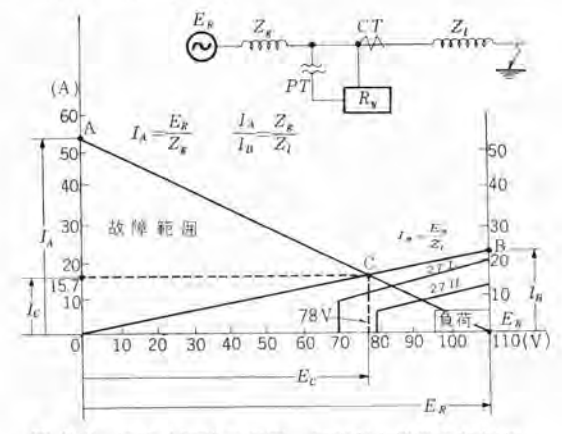


図 3.2 短絡故障時の電圧,電流存在範囲と適用例 Fig. 3.2 Voltage and current existence range and application examples during short circuit faults.

3.1 故障電圧;電流

図 3.1 は各種故障検出継電器の E-I 特性であるが (1) は低電圧検出継電器, (2) は過電流継電器, (3) は 1つピーダッス 継電器であり、(4) が理想的な故障検出継電器の E-I 特性である。以下その証明を行なう。簡単化するため、図 3.2 に示すような単回線系統について考察する。

 $I_A=E_R/Z_0$, $I_B=E_R/Z_l$ なる I_A , I_B を A 点, B 点とし E_R ・A と $\overline{O \cdot B}$ との交点を C とし点 C にて示される電圧、電流を E_C , I_C とすれば

$$I_0/I_A = (E_R - E_C)/E_R \cdots (3.1)$$

$$I_C/I_B = E_C/E_R$$
(3, 2)

$$E_{\mathcal{C}} = E_{\mathcal{R}} / \{ (I_{\mathcal{B}} / I_{\mathcal{A}}) + 1 \} = E_{\mathcal{R}} / \{ (Z_{\mathcal{Q}} / Z_{\mathcal{L}}) + 1 \} = E_{\mathcal{R}} Z_{\mathcal{L}} / (Z_{\mathcal{Q}} + Z_{\mathcal{L}})$$

$$IC = ER/(Z_0 + Z_1)$$
(3.4)

すなわち、C 点は、電源 インピーダンス Z_0 の系統で線路 インピーダンス Z_ℓ の地点に故障が発生した時の継電器設置点の電圧電流を表わすから、 \triangle AOC は、故障時の電圧電流存在範囲を示し、 Z_{0 min. Z_{ℓ} max の時の E_e は、故障電圧の最大値 E_F max を表わすこととなる. ゆえに、前記の (4) が故障検出継電器として理想的といえる.

3.2 短絡故障検出継電器

図3.1の(4)に示す複合特性は、電磁形継電器接点の組み合わせによっても得られるが、トランジスタ化することにより簡単にこの特性が得られ、限界点近傍の応動特性が確然とし、各継電器間の協調が容易となった。すなわち

(1) E-I 平面上における完全動作範囲と完全不動作範囲の差

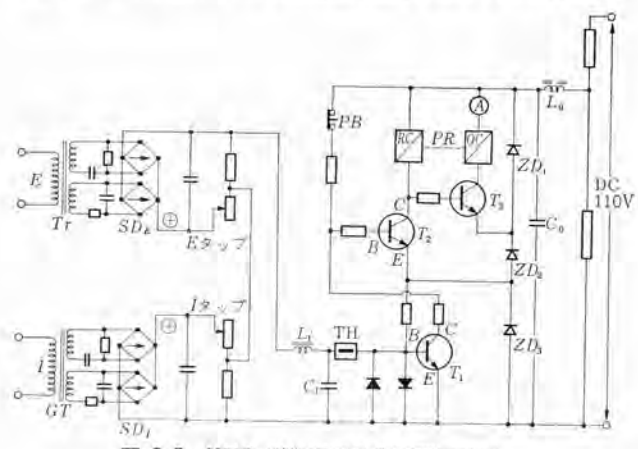


図 3.3 KVC 形継電器動作原理回路図 Fig. 3.3 Operation principle circuit of type KVC relay.



図 3,4 KVC 形短絡故障検出維電器外観図 Fig. 3.4 Exterior view of type KVC short circuit fault detecting relay.

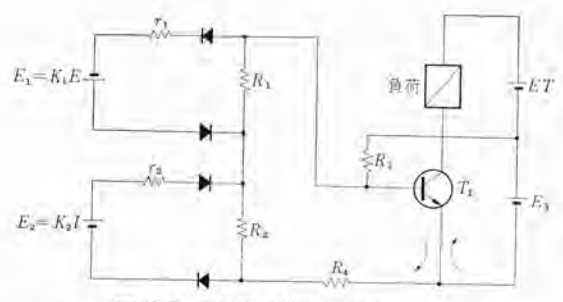


図 3.5 KVC 形離電器等価回路 Fig. 3.5 Type KVC relay equivalent circuit.

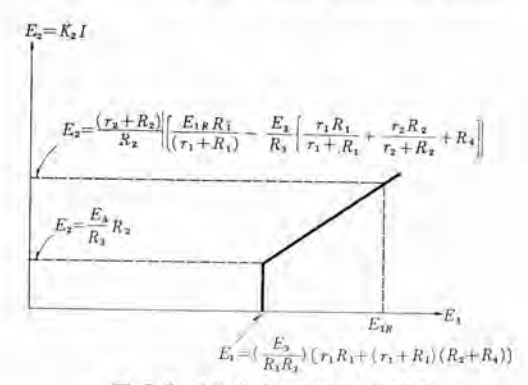


図 3.6 KVC 形継電器理論特性 Fig. 3.6 Type KVC relay theoritical characteristic.

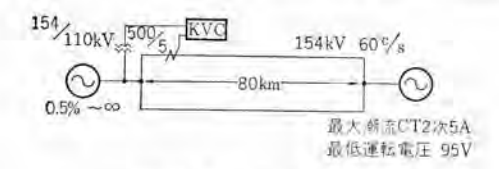


図 3.7 適用系統例 Fig. 3.7 Example of applied system.

は、電圧値で表現して、1V以内

(2) 動作速度は

キャリヤスタート 用は, 5~10 ms

トリップ 指令用は, 20~30 ms のほぼ一定値

復帰速度も $20\sim30\,\mathrm{ms}$ の一定値であり、必要に応じて $40\,\mathrm{ms}$ 程度の遅延を与えうる.

- (3) 電源は一般に使用されている DC 110 V 電源を使用しているが、80~140 V の変化に対し、動作値誤差は、±2% 以内。
- (4) 温度特性は、 $-20\sim+60^{\circ}\mathrm{C}$ で異常なく、誤差は、 $0\sim+40^{\circ}\mathrm{C}$ で $\pm3\%$ 以内.

図 3.3 はこの継電継の動作原理回路図であるが、図の TH は 温度補償用の サーミスタ である.

(5) 消費 VA は,

CT 回路 5A で 1 VA 以下

PT 回路 110 V で 2 VA 以下である.

図 3.4 は、この継電継の外観図であり、図 3.5 は、等価回路、図 3.6 は、理論上の特性図である、いかにして図 3.1 の (4) のような複合特性を得るかを示している。

3.3 適用例

図3.7は、この継電継を適用した系統例である.

 $Z_g\!=\!\{10\times({\rm KV})^2\}/\{{\rm KVA}\times(\%Z)\}\!=\!\{10\times(154)^2\}/10,\!000\times0.5\}$

 $=1.2 \Omega$

 Z_l =(CT 比/PT 比)×コウ長×0.5(Ω km)=(100/1,400×80×0.5) =2.85 Ω $I_A(\bot) = E_R(\bot)/Z_q = 63.5/1.2 = 53 \text{ A}$ (3.5)

 $I_B(\downarrow) = E_R(\downarrow)/Z_t = 63.5/2.85 = 22.3 \text{ A} \cdot (3.6)$

 $E_C(\Delta) = E_R(\Delta) Z_l / Z_g + Z_l = 110 \times 2.85 / 1.2 + 2.85 = 78 \text{ V}$ (3.7)

 $I_0(\bot) = E_R(\bot)/Z_g + Z_l = 63.5 \times 1/1.2 + 2.85 = 15.7 \text{ A} \cdots (3.8)$

 E_0, I_C は、図 3.2 に示すように、上記式 (3.5) より A 点式 (3.6) より B 点を求め、OB と AE_R の交点としても求められるが、作図により求めた値は、上記式 (3.7), (3.8) の値とほぼ一致している。

この継電器は、関西電力飛驒新幹線(154kV 平行2回線、2端子系、3端子系)保護用搬送保護継電装置の短絡故障検出継電器として28台納入され、その後の動作実績はきわめて良好である。この系統は、前記のように故障時無電流端を生ずることもあり、保護区間内故障時の最大電圧 Efriax が、健全時の最低電圧 Eminとほぼ同程度であるから、この継電器の特長が最もよく発揮されている。このほか、四国電力、新居浜線保護用搬送保護継電装置、国鉄新鶴見 S/S一武蔵境 S/S一間保護用搬送保護継電装置の短絡故障検出要素として採用、製作中である。

4. む す び

以上,搬送保護継電装置の使命を制する故障検出継電器の具備 条件を求め、これを満足する具体的な動作原理と得られた性能を 紹介し、最近行なわれつつある キ+リキリレー 化のご参考に供した次第である. 要するに、従来の電磁形故障検出継電器では、安心した応動速度を得るために 150~200% 感度を高めて整定する必要があり、このことが適用可能範囲を狭くしていたのであるが、ここに紹介したものは、トランジスタ化しており、限界点近傍の応動特性が、安定確実化している従来の常識を破った整定が可能となり、従来方式ではあきらめていた保護能力が満足されることとなった・

なお、上記、新形継電器の開発にあたり、九州電力株式会社、 工務部給電課長志麿博之氏はじめ、関係各位、また関西電力株式 会社、工務部施設課副長棚川久氏はじめ、関係各位に絶大なるご 助力を賜わったことに対し深甚の謝意を表します。

参考文献

- (1) 北浦, 古谷, 伊吹: 1 線地絡検出継電器の トランジスタ 化について 昭和 37 年電四学連大
- (2) 北浦, 古谷: 特公昭 37-18129
- (3) 北浦, 古谷: 特公昭 37-18130
- (4) 北浦,古谷,伊吹: 静止形故障検出継電器 昭和 37 年電気学会, 関西支部連合大会
- (5) 北浦: 特公昭 37-17871

付録 1, 1 中G 故障時 V2 max の算出

 $|V_{2'\max}| = |-Z_2E_a/(Z_0+Z_1+Z_2+r) imes Z_g/Z_2|$ ただし r=故障点抵抗(Ω)R=中性点抵抗(NGR)(Ω) Z_1 =、 Z_2 =、 Z_g+Z_t Z_g

 $|V_{2'\max}'|$ $= Z_g E_a/(3R + 2Z_g + 5Z_l + r)$ $R, r \ge Z_g Z_l$ とはほぼ 90° の位相差があるが最悪条件を求め ているのであるから $2Z_g + 5Z_l + r = 0$ とすれば $|V_{2'\max}| = Z_g/(3R) \cdot E_a$ (2.4)

付録 2, 2 φG 故障時 V2 min の算出

$$\begin{split} |V_{2}'_{\mathbf{mln}}| &= |E_{a}/\{Z_{1} + (Z_{0}Z_{2}/Z_{0} + Z_{2})\}Z_{0}/(Z_{0} + Z_{2}) \cdot Z_{2} \times (Z_{q}/Z_{1}) | \\ &= |\{Z_{q}/Z_{1}\} \cdot \{Z_{0}/(2Z_{0} + Z_{1})\} \cdot E_{a}| \\ &= |1/\{1 + (Z_{l}/Z_{q})\} \cdot [1/\{2 + (Z_{1}/Z_{0})\}] \times E_{a}| \end{split}$$

しかるに、 $Z_1/Z_0 = (Z_g + Z_t)/3(R + Z_t)$ であり、一般の抵抗接地系統では、 $Z_g < R$ であり、R と $Z_g Z_t$ とほぼ 90° 位相差があるが、

 $|Z_q + Z_t| < |R + Z_t|$ であるため $(Z_1/Z_0) \le (1/3)$ 最悪条件として $(Z_1, Z_0) = (1/3)$

技_術_解_説

高周波誘導加熱装置(VI)

自動加熱機械装置と各種応用(2)-

東田孝彦*

3. 加熱機械装置とその応用例

高周波誘導加熱の各種応用に対する加熱機械は種々数多くあっ て限られた紙数に全部記述することはできないが、それらのうち 代表的な例をあげて述べることとする.

3.1 シャフト類の焼入機械装置

(1) 自動車用 リアーアクスルシャつト 焼入機械装置

10 kc MG 式高周波発電機 150 kVA 電源と組み合わせて用い たものであるが、図3.1 は直径 50~60 mm 長さ約 1,000 mm の リアーシャフト を2本同時に、焼入硬化深度 4~6 mm に焼入れるも のである. この機械は全高さ約 4m で下部は床下埋め込み式と してでも使用でき、被焼入物取付後起動 スイッチ を押すだけで、ト ビラの開閉,上下送り,加熱,冷却などの全動作がすべて自動的に 行なって、1 サイクル 時間は約4分、月産約6,000 本の処理能力が ある. 加熱 コイル と冷却輪は図 3.2 に示すとおりで、加熱 コイル 電流は最大約 6,000 A が流れる. 冷却輪は図のように別置きとし たが一般には加熱 コイル 下端側から噴射する場合のものが多い. これは加熱後の放冷時間を被焼入物の材質に応じて任意に選べる ようとくに設けたものである.

このほかに直径 30 φ 長さ 600 mm 程度の アクスクシャフト を 3 本同時に 10 kc 150 kVA の MG 式高周波発電機1台にて, 焼入 硬化深度 3 mm に焼入れるものも当社では製作した. これにつ いてはすでに本誌(3)にて詳細を述べたので略すが、2台の焼入機 械装置により交互運転をし、1 サイクル 時間 3 分弱で、月産約 13,000 本が処理できる.

(2) 自動車用小物部品焼入機械装置

小物部品の高周波焼入は焼入硬化深度 1~2 mm が多いため、 真空管式高周波発生装置が多く用いられている。図3.3は周波数 350 kc 連続出力 50 kW の ラジオレータ に組み合わせる焼入機械装 置である. これは直径 52 φ 長さ約 40~65 mm の オーバドライブ, フリ ーホイールカム の外周側面と上部の端面部を焼入れるもので、被焼入 物は取付け後急上昇して加熱コイルとのわずかな一定ギャップに、 停止精度 ±0.3 mm 以下で止まり、回転しながら約 5~10 秒間 加熱され、水冷却されて元の位置にもどる。この 1 サイクル 時間は 軸表面焼入、端面焼入ともにそれぞれ1分以下である。焼入硬化 深度の浅い焼入れの場合、加熱後の放冷時間の偏差は焼入深度に 大きく影響を及ぼし、冷却水が加熱部表面に噴射される瞬間の温 度と時間は常に一定となるよう冷却水の噴射配管や電磁弁の作動



図 3.1 10 kc 150 kW アクスルシャフト焼入装置



図 3.3 自動車用小物部品焼入機械装置



図 3.2 アクスルシャフト 焼入 コイル



図 3.4 三菱 EH-30 形 ララフォセータ 用と 50 kc, 30 kW プロペラシャフト 焼入装置



図 3.5 プロペラシャフト 焼入機械装置・焼入部分

時間を正確に保つ必要がある.

同じく昭和33年に当社が EH-30 形真空管式高周波発生装置 (450 kc 連続出力 30 kW) と組み合わせて作ったもので、プロペラシャ フト 焼入機械装置がある。 シャフト の直径約 35 mm 長さ 150~185 mm のものを 450 kc で連続移動で、焼入硬化深度 2.5~3 mm に 焼入れる. 機械仕様は、上下ストローク250 m/m, 上昇速度 50 mm/sec, 下降速度 1~4 mm/sec 可変設定, 被焼入物回転数 50 rpm であ る. 加熱は上限停止直前に始まり、被焼入物が下降しながら軸表 面の スプライン 部を連続に移動加熱し、冷却水は加熱 コイル 出口側 内輪から噴射される。図3.5 に示すように加熱 コイル は被加熱物 の外径が異なるものでもインサートリングをそう入することにより、 コイル 全体を取り換える必要なく、数種類の異径 シャフト 類にも使 用できる。インサートコイル は接触抵抗が極力少なくなるよう構造上 確実にそう入できうるようにする必要がある 図3.5の機械装置 左側面には上下位置出し用の マイクロスイッチドッグ があり、上下駆動 のリミット、加熱入切などの設定を各個にプログラムできるようにな っている. 上下駆動 リミット は暴走防止のためそれぞれ単独に二 重に保護している。このように焼入機械装置と加熱 コイル は保守 点検修理が容易であることだけでなく オンライン の生産機械として 動作が確実で安全なように細心の注意が払われている。この機械 装置は出力 30 kW の高周波発生装置と組み合わせて 1 サイクル 約 1 分に1本の割合で生産できた. 加熱時間は連続約 30 秒以下で, 焼入部分の硬度パターンは図3.6に示す。

(3) カムシャフト 焼入機械装置

カムシャフト は真空管式高周波発生装置約 350 kc 出力約 30 kW の電源によって焼入れた例がある。 図 3.7 は 2 種類の カムシャフトの カム 8 個 (12 個), ギャ 部 1 個, ポップカム 部 1 個を断続的に焼入れるもので、カム 部は図 3.8 に示すように全周を焼入れる。機械装置の シャフト 取付寸法は最大約 800 mm あり、図 3.7 の位置で、



図 3.6 プロペラシャフト 焼入 パターシ





図 3.8 カム 焼入 パターン

図 3.7 カムシャフト焼入機械装置

被焼入物を取り付け、加熱は各カム位置に停止されながら焼入 温度以上に加熱し、次段は上にある カム 位置が加熱 コイル 内に入 るまで下降し、その下降位置で放冷、冷却されて、順次下降して 焼入れし、最後の カム の焼入冷却が完了すると、空気圧によって 元の取付位置までもどって 1 サイクル が終わる. 各 カム の加熱時間 設定はガイドバー2本の後にあるカム板が回転することにより、加 熱上下位置ぎめと、加熱時間を任意に設定することができる(5). 各 カム の加熱時間は 15~30 秒で、冷却は一定の冷却時間後数秒 間下部にある冷却輪で冷却する. この方法では加熱 コイル は カム 長軸径に結合される真円 コイルで、被焼入物はカムの回転方向に 対する位置合わせを行なわない方法をとったが、加熱コイルとカム との結合度が低いため、加熱 コイル には無効電流を多く流す必要 を生じた. カム の焼き割れ防止にはこの コイル と放冷時間,冷却 法が最も有効に作用している.しかしこの装置は一定の真円コイル で連続通電しながら、被焼入物を カム 位置の方向に無関係に焼入 れできるのは本機の特長である。 カム 部 10 個, ジャーナル 部 1 個, ポップカム 1個をもつ カムシャフト は 1 サイクル 約4分の処理能力がある.

以上これまでに述べた焼入機械は当社が製作した立形の高周波 焼入機械の一部である。立形焼入機械装置はとくにわが国および 西欧の メーカ に多く、アメリカ 製品に比べて多く使用されている。

外国文献(6)に見られる カムシャフト 自動焼入機械装置として、アメリカ のものを図3.9 に示す。これは横形で、短時間に多量生産できうる。図の左上部には カムシャフト が コンペナ によって送り込まれ、機械の後部から前方に送り出されると、両 センタ でシャフト をささえて右の方へ、各 カム の加熱 コイル 群へそう入され、シャフト は回転しながら加熱され、元の位置に引き出されて冷却され次の工程へ送り出されるようになっている

(3) ピストッピッ 焼入機械装置

380 kc 真空管式高周波発生装置の三菱 EH-3B 形に組み合わせ



図 3.9 カムシャフト 自動焼入機械装置 (外国品)



図 3.10 ピストッピッ 高周波焼入装置全景

技術解説

図 3.11 ピストッピッ 焼入機械部分

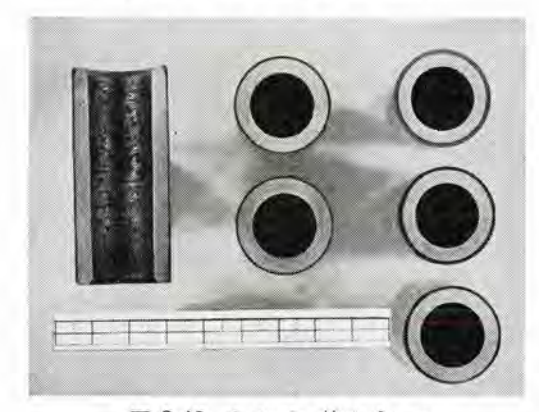


図 3.12 ピストンピン 焼入 パターン

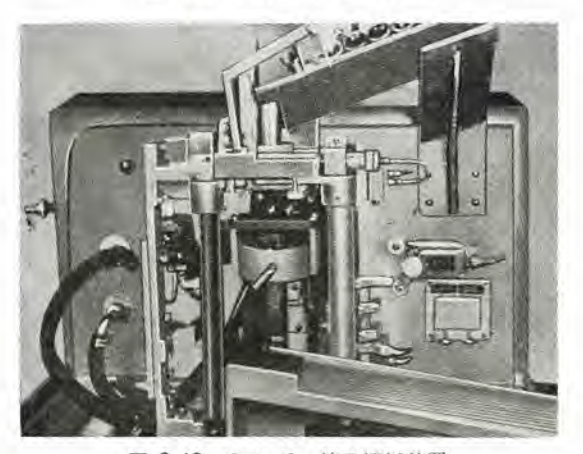


図 3.13 ピストンピン 焼入機械装置

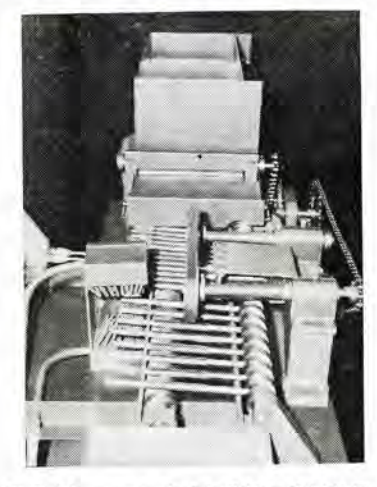


図 3.14 シャフト 先端部分焼入機械装置

て用いたもので、図 3.10 は ピストンピン 焼入装置全体を示す、ピストンピン の大きさは外形 $20\sim35\,\mathrm{mm}$ 内径 $10\sim23\,\mathrm{mm}$ 長さ $40\sim75\,\mathrm{mm}$ のもので、焼入硬化深度 $0.5\sim1.2\,\mathrm{mm}$ に焼入れる。図 $3.10\,\mathrm{mm}$ の機械装置左上部には ピストンピン 自動供給式 ホッパ が付くものである。この焼入機構は、ホッパ から 1 個ずつ ピストンピン が右下方の 1 に沿って送り込まれ、図 1 左側の上下 1 に送り速度を加えられて、同図の中央部に押し出される。

次に中央部では加熱 コイル の両側にある 3本の ローラ によって、ピストンピン は自転させられて、加熱 コイル、冷却 ノズル 下を通って ふたたび 3本の回転 ローラ に引き継がれて右側 ェブ に送り出される方式となっている。加熱 コイルと冷却輪は、ピストンピン 外径 26mm のものに対し、コイル 内径は 28 mm の インサートリング式の コイルで 1 mm チャップ の密結合により加熱電力が供給される。 また冷却輪は コイル 出口側に一定の角度をもった多数の ノズル によって水を噴射し、被焼入物を冷却して焼入れる。 被焼入物の送り速度はその径の大きさにもよるが約 8~15 mm/sec の速さで、水平送りが加えられる。 高周波電力は、被加熱物が送り ローラベルト 内にあるときのみ供給されるようになっていて、送り速度の制御回路と連動して、連続に加熱を行なっている。

図 3.12 はこの焼入 パターン を示す. このように連続して個々の ピストンピン が焼入処理される場合には、焼入硬度分布は、ピストンピン の先端後端の端面硬度に若干の相異が生じ、先端部の端面硬化深度は不足がちとなる. このことは被焼入物は加熱 コイル 中を連続して通過していてもその誘導電流は個々に絶縁されているためである. 一方高周波出力は連続して焼入 コイル に印加されているが、負荷変動はほとんど生じない程度である.

この機械装置は被焼入物水平駆動方式による横形焼入機械の一 例である. さらに横形の類似のものを(4)に述べる.

図 3.13 は米国における ピストンピン 自動焼入機械(*)でこれは垂直に被焼入物が降下するとき焼入できる.

(4) シャフト 先端部分表面焼入機械装置

図3.14はシャフト 先端側約50mmの軸表面を焼入れるもので、扇風機の首振り軸を焼入れしている。これも(3)項と同様ホッパへ軸方向をそろえてチャージさせるだけで、連続的に自動焼入ができる。この機械ではホッパから1本ずつのシャフトが送り出されると、2本の台形ネジピッチ間にささえられ自転しながら加熱コイル、冷却ノズルの下を通過して焼入れられる。この2本の送り台形ネジはネジ切り方向が反対に切られていて、反対方向に回転しながら、被焼入物が送られるとき横行しないようになっている。加熱コイルは平面焼入と同様にシャフトの上方から結合していて、被焼入物は加熱コイル軸心を通過しない方式である。冷却ノズルは、加熱コイル通過後の任意の位置に設定できて、被加熱物の上下両側からそれぞれ水を噴射させて急冷することができる。この場合も高周波出力は連続して加熱コイルに加えられているが、被加熱物がコイル直下を通過時のみ、加熱電力は自動的にシャフトに誘導結合されて増加するようになっている。

この機械方式も横形被焼入物駆動式であるが、外国文献に見られた(3) 横形 シャフト 焼入機械装置の内部を図 2.6 に示す。被焼入物はトラクタ 用 アクスルシャフト で、コンベヤ にて搬入された シャフト を油圧機構によって シャフト 両端をとらえて持ち上げ、焼入工程中は両端の機構で強くまっすぐに引っ張りながら焼入れる。焼入コ

イル は被焼入物固定に対して両端まで左右に駆動され、加熱冷却 するものである。これは横形加熱 コイル 駆動方式に被焼入物搬入 搬出のコンペヤ を連動させたものといえる。

(5) クランクシャフト 焼入機械装置

クランクシャフト の ピン, ジャーナル 部分の焼入法では、被焼入部分に 密結合する 1 ターンコイル は、シャフト 軸方向に引き抜くことができないため、量産用機械装置はきわめて複雑となる.

加熱 コイル 方式は 1/2 分割形 コイル を 2 個組み合わせて, 1 ターンコイル とする図 3.15.3.16 の方式と, 約 1/2 円周を端面加熱させる図 3.17 のようなコイルで, シャフト を回転させながら全周を加熱する方式とがある。図 3.15 に示すように 1/2 分割の コイル 片はラックピニオン か歯車によって、片方または両方が同時に閉じるようにして、一円周の コイル 電流が流れる通路の接触抵抗を少なくするために圧力 シリンダ などによって締め付けている。このコイル は内面に冷却液噴射 ノズル をもっていて、加熱後 コイル はそのまま

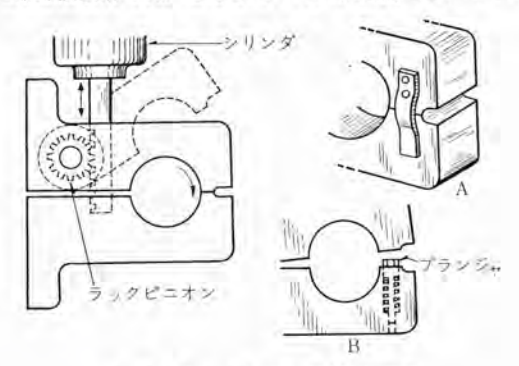


図 3.15 割形コイル機械説明図



図 3,16 割形 コイル

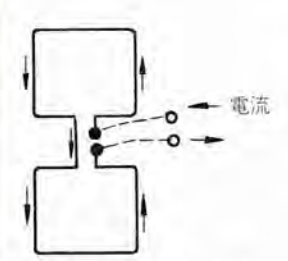


図 3.17 半円周 コイル 実体図



図 3.18 クランクシャフト 焼入 コイル



図 3.19 クランクシャフト 自動焼入機械装置

にして冷却する. この焼入法ではピン部スミ R部分の焼入れは, コイル 断面積の結合度合を変えることにより比較的容易に調整で き, シャフト は停止焼入で、各ピン、ジャーナル 部を同時に焼入れられ る点はよいが、コイル の接触抵抗は十分注意を要する. 加熱 コイル が図 3.18 の方式のものは、コイル 電流が図 3.17 の通路に流れ、 コイル と被焼入面とは コイル 端面空 ゲキ 部にある突起 ピッ によって 一定 ギャップ を保たれながら、被焼入部分に加熱 コイル 部重量を加 圧して結合している。シャフトは図3.20の位置で回転しながら加 熱され一定の焼入温度となるとA位置は回転してB位置の焼入液 中に没して焼入れされる。 加熱 コイル はA位置でA位置での シャフ ト回転につれて、上下にピッ部の回転に沿って運動している. A. B. C. D 各位置にある 4本の シャフト の同一ピッ 部を加熱し終わる と、図 3.19 の左右方向に加熱 コイル は移動して、他の ピッ部分 を焼入れる. この方式は加熱時は被焼入 シャフト, 加熱 コイル とも に運動をなし、焼入冷却は液の中に没して冷却され、加熱 コイル および CT は左右方向にも移動可能な複雑な機械で、ドイツ の日 本特許となっている(7). クランクシャフト の焼入法は、一般に焼入便 化深度が深く、また比較的大きな直径のものが多いので、小形の クランクシャフト を除き、一般に 10 kc の MG 式高周波発電機を電 源とするものが多い. とくに注意する点は シャフト 自体の材質は 鋳物が多いため、前工程の管理と金属学的熱処理技術を管理する 必要がある.

(6) ロールの自動焼入機械装置

直径 300 mm 以上の長さ 1.5 m 以上という大形 ロール 類の焼入機械は、被焼入物の重量が重いばかりでなく、機械装置全体の大きさも大きくなる。このような機械は図 2.5 (12)に示したように加熱 コイル を上下駆動して、被焼入物は上下方向には動かせずに、ただ回転だけをさせている方式が多い。このような大形の被焼入物に対する電源としては、1.3 kc の MG 式高周波発電機が用いられている。当社では 10 kc、250 kVA MG 機2台を並列運転して、出力 450 kW で直径約 560 mm のものを、CT なしで MG 電圧 800 V を加熱 コイルに印加して焼入れた。被加熱物の直径が大きい場合には、加熱 コイルでカプタンス の値が大きくなるので、加熱 コイル 電圧は高くなり、CT を使用しなくとも十分

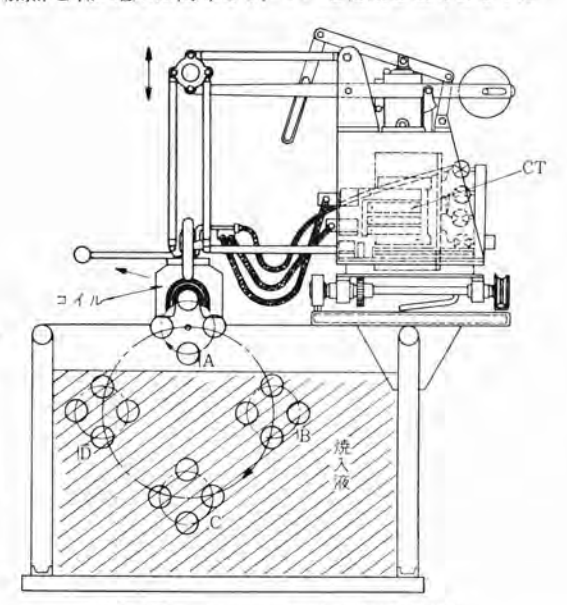


図 3.20 クランクシャフト 焼入機械構造図

被加熱物に電力が供給される.

(7) 車輪の表面焼入機械装置

10 kc, MG式 150 kVA 出力の電源と組み合わせて用いたもので、図3.21 は車輪の最大外形 345 mm,幅 90 mm の表面を一発焼入で、焼入硬化深度 6 mm に焼入れる機械装置である。被焼入物は図 3.21 の裏面側からすべらせながら送り込むと、エアシリンダにより焼入 コイル の加熱位置まで自動的に持ち上げられ、回転し始める。次に自動的に高周波出力が一定電圧値で一定時間印加され加熱されると、冷却水が焼入コイル 内面 ノズル から噴射して急冷却し、一定時間後冷却し回転が停止すると エアシリンダ が下降して元の取付位置にもどる。これら加熱時間、

冷却時間は タイマ でそれぞれ任意に設定され、被焼入物の搬入搬出以外はすべて自動的に行なっている。この 1 サイクル 時間は約 120 秒である。図 3.22 はこの焼入 コイルで、1 ターン式で冷却水噴出 ノズル が内面に多く設けてあり、コイル電

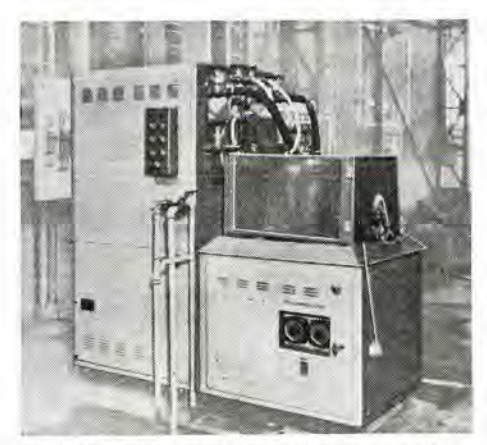


図 3.21 150 kW, 10 kc 車輪の表面焼入装置



図 3.22 車輪焼入 コイル (冷却輪兼用)



図 3.23 焼入面 マクロ 処理写真

流は約 4,000 A である. 図 3.23 には焼入パターンを示す.

この加熱法は一発焼入であるために、被焼入物の表面温度上昇とともに、発電機の電流、有効電力、無効電力は時間的に図 3.24 に示すように変動する。このように無効電力、電流が変動するのを一定に保つためには図 3.25 に示すように高周波変流器一次側の並列 コッデッサ C を自動的に切り換えることにより一定出力にすることができる。しかし発電機の出力定格以下の範囲内での調整がとれる場合には、また一つの電源から一個の焼入負荷回路へ電力を供給する場合などは一定電力、力率補償をする必要はない。

(8) 歯車類の焼入機械装置

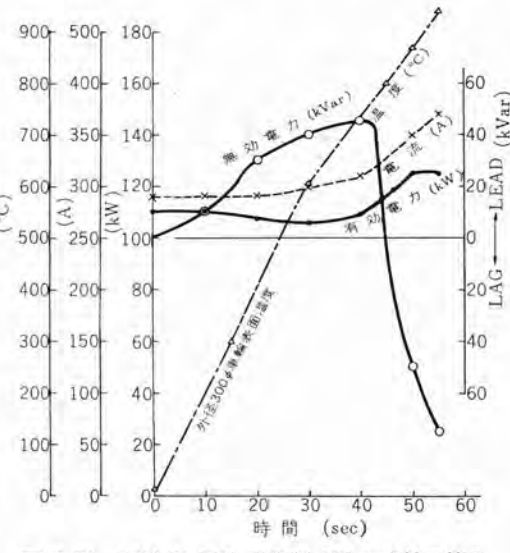


図 3.24 150 kW MG 動作例 300 φ 車輪の焼入

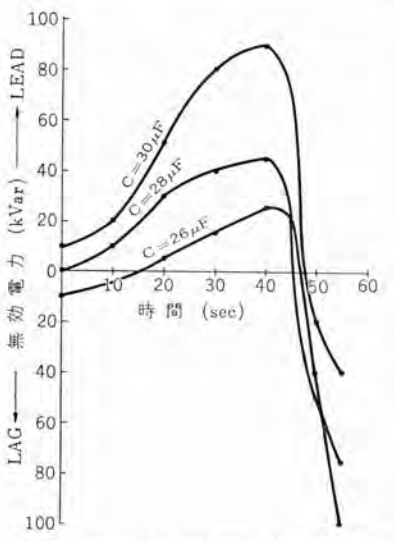


図 3.25 無効電力動作例 300 φ 車輪焼入



図 3.26 ピニオンギヤ 焼入装置

形 #ヤ は一般に真空管式高周 波発生装置 (Tube 式)の周 波数 100~400 kc で,大形の ものは 10kc, 3 kc の MG 式 発電機で焼入れされている。 #ヤ 全周を一発焼入した場合 の焼入便度分布は, Tube 式 で焼入れると歯先部は深度が 深く,歯底部分は非常に薄い 焼入硬化層となる。一方 MG 式では歯先部, 歯の側面部は 同一深度であり,歯底部も同 一硬化深度となりやすく,

歯車の高周波焼入には. 小



図 3.27 ピニオンギヤ 焼入 パターン



図 3.28 大形 スプロケット 焼入

Tube 式に比べて歯底部の焼入硬化深度は非常に深く、歯底から加熱が始まる。この点は $400 \, \mathrm{kc} \, \, \mathrm{kc} \, \, \mathrm{kc}$ による \$ † 焼入の大いに異なる点である。

(a) ピニオンギヤ 焼入

図 3.26 は電車用 ピニオンギヤ 直径 170 mm 歯幅 28 mm モジュール 3.5 歯数 50 のものを 350 kc 80 kW 出力の Tube 式高周波発 生装置で焼入れている全景で、ギヤ は回転しながら加熱冷却した。加熱時間は予熱後約 15 秒間で、一定の放冷時間後冷却し、図 3.27 に示す焼入 パターン を得た。

(b) 大形 ギャ の焼入

直径 494 mm 歯幅 82 mm, モジュール 6 の大形 ギヤは MG 式電

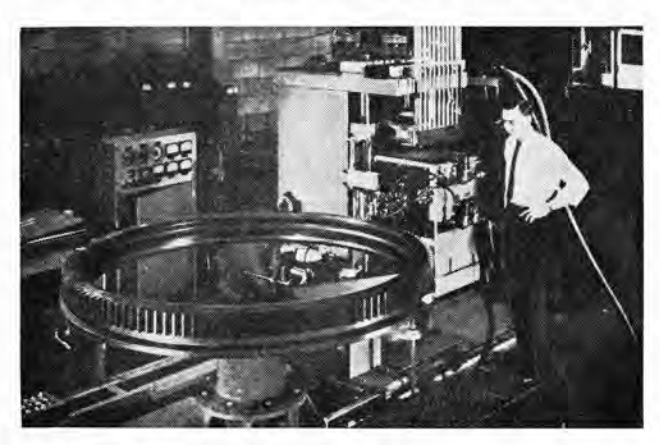


図 3.29 一歯焼入機械装置



図 3.30 中形歯車焼入機械装置

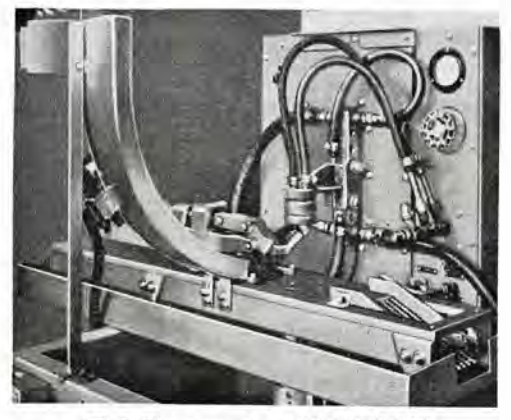


図 3.31 ベアリングレース 焼入機械装置

源 10 kc 500 kW を用いて, 加熱時間 12 秒, 冷却は放冷後, 油 冷 60 秒間で, 焼入れることができた.

直径 480 mm 歯幅 41 mm, モジュール 6 の大形 ギャは 10 kc 150 kW 電力で, 加熱時間 55 秒, 油冷 120 秒間で焼入れることができた⁽⁸⁾。

直径 $680\,\mathrm{mm}$ 歯幅 $127\,\mathrm{mm}$, $\epsilon \tilde{\nu}_{22}$ $- l \nu$ 10, 歯数 61 の大形 47 は $10\,\mathrm{kc}$ $500\,\mathrm{kW}$ 電力で、加熱時間 90 秒、放冷 14 秒後、水冷 却 34 秒間で、焼入硬化深度 $3.6\,\mathrm{mm}$ の焼入れができた例があ

これらの例から
$$\sqrt{T_h} = rac{lpha}{P_g/S}$$

α 定数 1.5~2.0

Pa·····MG 出力 (kW)

とすると加熱時間 T_h (秒) は最大 90 秒以下となるように電力密度 P_a/S は $0.1 \sim 1.0$ kW/cm² が一般的に使用できる値である.

図 3.28 は大形 スプロケット 歯車を回転一発焼入する装置で、加熱 コイル 電圧は CT なしの MG 出力電圧を直接印加する方法による.

図3.29⁽¹⁰⁾ はさらに大形歯車でこのように大きくなると、電源設備とその使用繁度上から、1 歯ずつ焼入れる. 1 歯焼入式は電源容量は小形ですむが、機械的に ギャ を1 歯ごとに角度割り出しと送りを行なう機構が必要となる.

(c) 中形歯車焼入機械装置

歯車焼入機械の ハンドリング, 準備時間を短くする方法のよい例として, 図 3.30 を示す. 図は加熱 コイル 内で今加熱中の時次の 手や を左右移動 ワク の右側に準備することができるものである.

加熱中の ft は一定加熱時間後下降して冷却されると,元の位置に復帰し左右移動 ワクによって左へ取り出される。そのとき右側にて準備した ft は加熱 コイル 内にそう入されるという機構をもっている。

(9) ベアリングレース 焼入機械装置(2)

ベアリング の焼入れは、その使用上焼入 ヒズミ を最も少なくする 必要がある。図 3.31 は外形の ヒズミ を少なくするために、加熱 冷却中は外形を固定保持する機構をもっている。10 kc 50 kW 電源により 3 秒加熱、3.5 秒冷却で 423 個/h を、焼入硬化深度 2.3 mm に、焼入処理できる。

(10) n- 付機械とその応用(9)

高周波 ロー付は焼入れにつぎ広く用いられている。これらは比

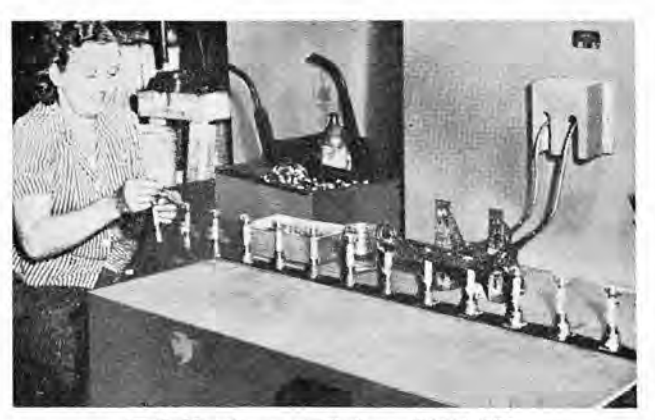


図 3.32 ブッシング 用自動 ロー 付機械装置

技術解説



図 3.33 自動ロー付送り機械装置

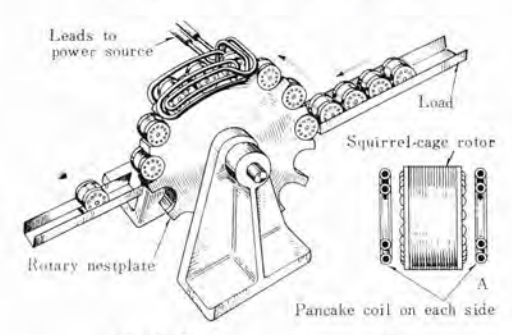


図 3.35 ロータケージのロー付

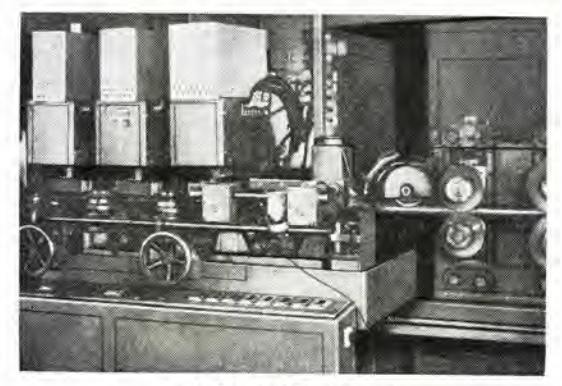


図 3.37 溶接鋼管製造機

較的小電力で、Tube 式高周波発生装置の電源を用い電力は 30kW 以下のものが多い。

図 3.32⁽⁰⁾ は黄銅の フランジ を ブッシング に ハンダ 付するための装置であり、部品は ハンダ の輪とともに組み立てられ ベルトコンベヤ によって コンベヤ 式 トンネル 形加熱 コイル 中を通り抜けて加熱、ハンダ 付されて右側に出てくる.

コンペヤ 式 トンネル 形加熱 コイル は コイル 電流による電磁力を利用して溶着片を下部地金に圧着させるように考案された方式もある.

これらのほかに バイトチップ の ロー 付はわが国では多く用いられている. (図 3.34)

図 3.35 は小形発電機の ロータケージ のロー 付機構を示す. このように小形多量生産のものには図のような機構が適している.

図 3.36 は大形電動機の エンドリング を、 $10 \,\mathrm{kc}$, $150 \sim 250 \,\mathrm{kW}$ 電源を用いて、平角銅 リード 線と銅板とを \mathbf{n} 一付しているものである。

(11) 誘導加熱による溶接鋼管



図 3.34 バイトのチップロー付

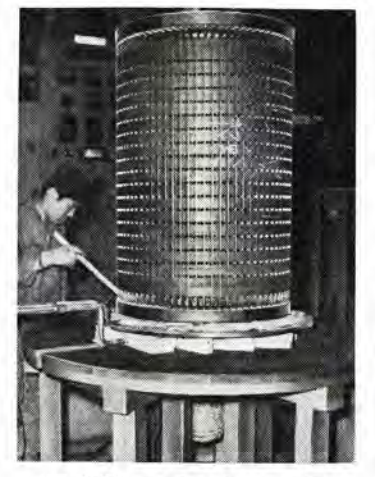


図 3.36 エンドリングのロー付

薄鉄板厚さ 1.6~2.3 mm の帯板を パイプ 状に曲げ連続溶接することによって、構造用、電線用鋼管とするものである. 誘導加熱による溶接は 10 kc, 400 kc ともに用いられているが、従来の抵抗溶接式に直接電流をコンタクトシューから鉄板に流すのでない点は、コンタクトシューの摩耗がなくコンタクトシューの摩耗がなくコンタク

トのあとが残らないためすぐれている. 10,400 kc を用いた電力でも直接通電 の方法は最近 アメリカ で実用化されて いる例もある.

誘導加熱法による鋼管の製造では、 10 kc 250 kVA 電源を用いて、厚さ 1.6 mm の鉄板を直径 25 mm の管に 溶接する処理速度は約 40 m/min の実 績を得ている。

(12) 鍛造用加熱装置

誘導加熱による鍛造加熱は、加熱温 度 ムラが少なく、短時間に、容易に 1,200℃ の高温に加熱でき、作業環境

は従来の重油炉などに比べて、きわめてよいなど多くの利点があるため、量産鍛造工場においては大いに活用されつつある。 加熱電源は 3 kc が多く 50/60 c/s, 1 kc, 10 kc などが用いられている。 \mathbf{Z} \mathbf{Z}



図 3.38 鍛造加熱装置

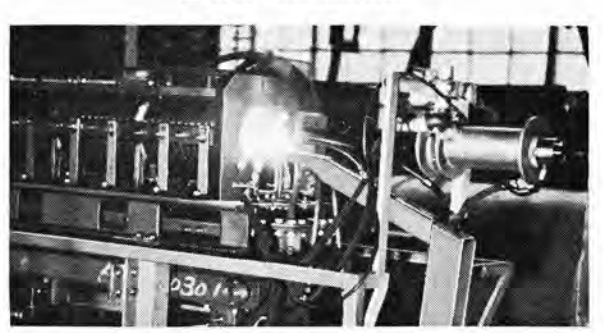


図 3.39 鍛造加熱装置の加熱コイル部

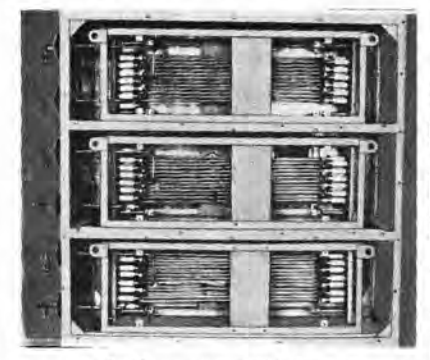
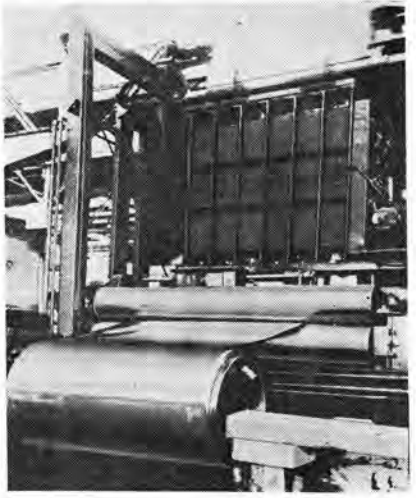


図 3.40 ストリップ 用加熱 コイル



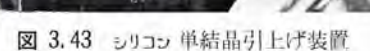




図 3.41 ストリップ 加熱装置

図 3,42 ゲルマニウーム 横形精製 コイル

機構による加熱機械で、直径 60 mm の鉄 ビレット を 650 kg/h の 割合で 1250°C に加熱押し出される。

(13) ストリップ 加熱装置

薄鉄板、薄非鉄板の焼鈍、メッキ、コーティング用にも誘導加熱がしばしば用いられる。図 3.40 は横磁界方式によるコァ入加熱コイルで、横磁界式のものは非鉄材に一般に用いられている(11).図 3.41 は幅 $1.2\,\mathrm{mm}$ 厚さ $1\,\mathrm{mm}$ の アルミのストリップを $60\,\mathrm{c/s}$ 電源によって約 $400^\circ\mathrm{C}$ に加熱している。薄鉄ストリップ の場合の焼鈍には $200\,\mathrm{kc}$ の電力が用いられる。また、 $0.25\,\mathrm{mm}$ 厚で幅 $91\,\mathrm{cm}$ の薄鋼板の コーティング には $730\,\mathrm{m/min}$ の高速度で処理されている(2).

(14) 半導体の精製・引上げ

ゲルマニウム,シリコン, その他金属間化合物などの半導体精製には, 高周波誘導加熱はひっすの熱源として活用されている.

半導体は直接または間接的に誘導加熱され、1,420°C、950°C ± 0.2 °C のきわめて高精度の温度制御を行なうことによって精製、引上げなどが行なえる。

図 3.42 は ゲルマニウム 横形精製炉用 400 kc コイル で、図 3.43 は シリコシ 単結晶引上げ装置で、400 kc、10 kW の電源を用いている。

4. 高周波誘導加熱装置の保守と設備

4.1 高周波キ電線

(1) MG 式高周波発電機用

MG 式の場合には + 電線の電圧が低く周波数は 10 kc 以下で 比較的低いため、高周波同軸 ケーブル が使用できる。10 kc 用同軸 ケーブル の仕様は表4.1 に示すように、低 インピーダンス であるため 数 m ケーブルを引いても、発電機内部 リアクタンス 分に比べて非常に少ないため、リアクタンス 補償は無視できうる。 したがって MG電源と焼入機械部の CT 間は比較的長く約 50 m 程度離して焼入機械装置と CT とは オンライン に組み込むことが容易にできうる。 ただし高周波同軸 ケーブル は比較的高価である点は設備費の関係上検討を要する。

平行導板を用いる方法は高周波同軸 ケーブル に比べて安価であるが、絶縁性が悪く据付後の移動が不便であり、約 20 mm 以下の短距離線に用いることが多く、表 4.2 にその一例を示す。

(2) Tube 式高周波発生装置用

周波数が高く、+電線電圧も高いためその絶縁方法は高周波損 失の少ないものが必要である。このため平行2線銅板を用い、そ の支持物にはかならず非鉄材を用いる。一方+電線電圧が高いた

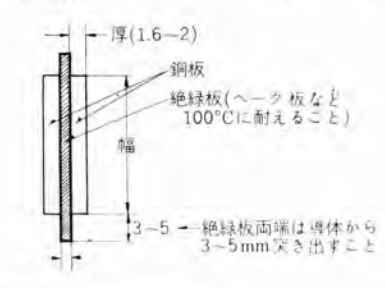
表 4.1 高周波大電力同軸 ケーブル

	形	番		A	C
	(10 kc	(における)	連続	240	375
WF.	容	電 流 (A)	30 分間	390	822
武 験	電日	(AC 60 c/s & k	(V/1 min)	2	2
インダク	420	(10 kc で mH/k	m)	0.065	0.062
抵	ŧ	i (10 kc Φ Ω km)	0.68	0.36
仕上	外 包	f (mmφ)		48	81
概 算	M H	t (kg/km)		6,200	14,400
許容曲	げ半孔	£ (cm)		50	80
		ダクタンスを補置する; ス (10kc で μFkm)	ために必要	3.9	4,1

表 4.2 並行導板 フィーダ

許容質	流	(10 kg	7	A)	320	400
12573	22	(10 kg	7	mH/km)	0.039	0.032
抵	抗	(10 kc	7	Ω/km)	0.38	0.31
5	導	体 厚	ð	(m/m)	1.6~2	1.6-2
形状	導	体	椒	(m/m)	65	80
下図参照)	[16]		PA	(絶縁板厚さ m/m)	2	2
フィーダの	リナク	タンスを (10 kc	補他で	(するために必要な uFkm)	6.5	8.0

平行導体断面図



め漏れ電波を発生しやすいので、金属 シャヘイ が必要であり、+電線の長さは MG 式に比べて非常に短く 5 m 以下が望ましい。この長さが長くなると、+電線 リアクタンス が大きくなり、無効電力が増加して出力能率が悪くなる。

(3) 出力切換器

高周波電源1式から、加熱 ステーション2 式に電力を交互に切り 換える方式の際には、高周波出力切換器が必要となる。MG 用 10 kc 以下のものは大電力用を用いることにより比較的作りやす いが、Tube 式 100 kc 以上のものは、高周波の絶縁と電波容量 上製作はかなり複雑で、通電中に断とすることはできない。

4.2 据付配置

加熱機械装置は生産工程 ライン に直結して、搬入搬出の方向に合致するよう据え付けられる。電源装置は + 電線長さと配置上から決められ、電源装置から 2 台の加熱 ステーション に + 電する場合にはそのそれぞれの長さは 2 台とも同じとなるように据え付ける必要がある。

この設備の電源、加熱機械はともに水などで冷却するため、万一の水漏れに際して、排水が便利なよう、また給排水管の下に夏期水滴が落ちても床面で排水しやすい床平面とすると便利である。

MG 式高周波発電機はペアリングの取換時 ロータ を引き抜く必要があるため、MG の軸両端には スペース を設けておく必要がある。MG 用配電盤は日常加熱作業にはほとんど必要がないため スペースがない場合にはMG 式発電機の上の中2階に設けることもできる。Tube 式高周波発生装置は冬期室温が低いと整流部が不安定となり真空管の寿命を短くするため、室温は 10~30℃ が適当である。

4.3 冷却水

(1) 機器冷却水

MG の冷却水は 30°C 以下のもので規定流量を常に流す必要がある。 真空管の冷却水は出口温度 60°C 以下で炭酸 カルシウム 含有率は 170 Ppm 以下、電気抵抗 3 kū-em 以上のものを用う。これら水はかならず フイルタ を通して、機器内に異物が入らないよう設備する。冷却水は高周波電力が連続発生の際には、比較的温度上昇するため、貯水 タンク の大きさを大きくして、常に冷水をオーパフロー させるか空気噴霧冷却にして再使用する場合がある。

(2) 焼入液

水を使用する場合は上記(1)と同様であるが、焼入液を使用の際には、焼入硬度を一定にするためにも常に一定温度であることが望ましい。このため焼入液を冷水中に循環させるか、冷水を焼入液 タンク 内に循環させるかの方法で二次冷却する必要がある。(前者は焼入液中の スケール により流量低減の懸念あり)焼入液は焼入中 スケール がたまりやすいため フィルタ で スケール を取り除き定期点検の必要がある。

焼入液には焼入材質の熱処理上、水溶性焼入油の水溶液を用い 冷却速度を低温側で落とし、焼割れ防止に役立てることができる。

4.4 保守点検

MG 式発電機の場合は、消耗品として MG 用 ペアリング の交換と 1,000 時間ごとの注油が必要である以外に保守は比較的少ない。

Tube 式では、各真空管の管壁温度を常に一定値に周囲環境に 応じて制御することは、真空管の寿命を長くするために必要であ る。発振装置内部は直流高圧が印加されているため内部点検は注 意が必要である。 このほかに一般的には各部の冷却水の流量は3ヵ月に1回の割合で点検し湯 rh, スケール などの清掃が必要である.

5. む す び

本誌技術解説として、長編8回にわたって、高周波誘導加熱装置の各項について述べてきたが、頭初の計画からすでに長い日時が過ぎ、日々新しく発展しているこの技術も早改訂しなければならない状態であることはまことに喜ばしい限りである。今回の自動加熱機械装置と各種応用については、種々雑多で、まとまりにくい点があったが容板願い、高周波誘導加熱装置の活用のために少しでもご参考となれば幸いである。

金属材料の熱処理と、自動機械装置、各種その電気機器、これらが新しい技術を結集しますます盛んに金属機械工業へ高周波誘導加熱装置が発展することを祈り、この解説のためにご指導、ご 支援頂いた諸氏に対して感謝して本文を終わる.

(昭 38-7-26 受付)

参考文献

(1) 馬場・東田: 高周波誘導加熱装置 I (1), (2), II, III, IV, V

「三菱電機 36, No. 2 P. 99 (旧 37)

- " 36, No. 3 P. 79 (")
- " 36, No. 11 P. 112 (")
- " 35, No. 8 P. 84 (# 36) 生動
- # 35. No. 12 P. 97 (#) 小滝
- " 36, No. 6 P. 116 (**) 中村・南角
- (2) John M. Edwards: Induction Heating Westinghouse Engineer, 21, No. 3 p. 84, May, (1961).
- (3) 東田・中村・門内・広瀬: 自動車用 リアーアクスルシャフト 焼 入装置

「三菱電機 36, No. 3 P. 13 (昭 37)

- (4) : Case history on Induction Hardening large drive gear [Metal Progress | Sep. (1958)
- (5) 森川·吉田: 特許 233223 号 # 232904 号
- (6) Harry B. Osborn: When and Where to Automate [Metal Progress] P. 85 Feb. (1963)
- (7) 「イツ 国 特許 220407 号 昭 30-8251 特許公告 実新 459575 号 昭 31-19576 実新公告
- (8) Westinghous Electric Corp. 技術資料 W-90047 Tractor bull gear.
- (9) Frank W. Curtis: High-frequency Induction Heating II (1950).
- (10) Harley F. Gauker: Improving Properties by Induction Processes
 | Metal Progress | P. 79 Feb. (1963)
- (11) John M. Edwards: New Heating and Melting Processes [Metal Progress] P. 76 Feb, (1963)
- (12) Herman Kuhlbars: AEG-Mitteilungen 9/10 p. 284 46 (1956).
 Die Induktionshärtung mit frequenzen von 2000 bis 10000 Hz.
- (13) Von Peter Wiehn: Eine neue, vielseitig verwendbare Induktion-shärteanlage [Zeitschrift] 4 p. 253 April (1959)



■ 通信衛星テルスタ2号追尾実験成功

人工衛星を介して大陸間マイクロ 波中継を行なおうとする企ては人工衛星の出現と同時にいちはやく開始された。すなわち最初の人工衛星 スプートニク1 号が上ったその翌年 1958 年にすでに アメリカ、アイゼンハウワー 大統領の クリスマス・メッセージ を吹き込んだ テーブ



図 1 宇宙通信実験所構内の一部,向う正面は 6 m 追尾 アンテナ,右側の建物は中央管制室



図 2 6 m アンテナ 追尾装置,球形のものはアンテナドーム, 下部の部屋内に電子機器を収めている

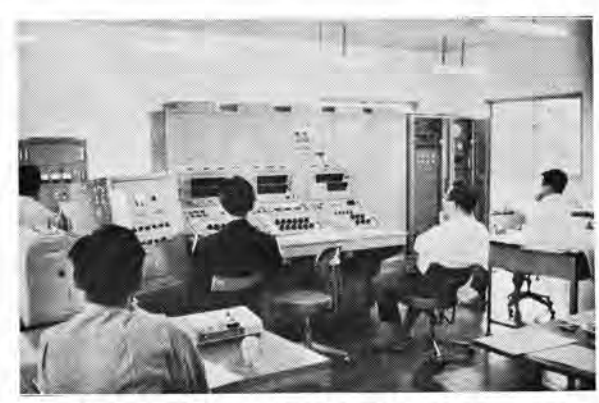


図 3 追尾実験中の中央管制室,向う後側は アンテナ 制 御計算機,その前は宇宙通信装置の集中制御を行 なう制御卓

を載せた スコアー と呼ばれる衛星が軌道に乗り、電源がつきるまでの 12 日間、地上からの指令によって、衛星からこの メッセージは送信され アメリカ 全土に中継された。続いて 1960 年8月 12日に直径 100 フィート の気球衛星 エコー が打ち上げられ、アメリカ 大陸を越えての電話通信実験に成功し、宇宙通信の可能性を確固たるものとした。その後 テルスタ、リレー、シンコム 衛星と次々と打ち上げられ、宇宙通信の実用化をめざして活発に研究が進められている。

このような情勢に刺激されてわが国においても国際電々研究所、 郵政省電波研究所で宇宙通信用地上設備が計画されるようになり 当社でも 1961 年よりこの計画に参加し、国際電々研究所より送 受信用 20 m アンテナ、6 m アンテナ 追尾装置、指令制御装置および 基礎据付工事をそれぞれ受注した。以来当社研究所、各製作所の 一致協力による設計製作の努力の結果、1963 年 6 月に茨城県多 賀郡十王町の国際電々宇宙通信茨城実験所に 6 m アンテナ 追尾装 置、指令制御装置の完成をみた。

これよりさき5月7日に テルスタ2号が打上げられていたが、これが7月にちょうど、国際電々宇宙通信実験所と アメリカ、アンドーバ局との間で通信可能位置となるので、アジアと アメリカ を結ぶ歴史的な通信実験が7月7日から7月18日の間5回にわたって行なわれ大成功を収めた。この成功により近く完成する20m送受信 アンテナとともに東京 オリンピックのテレビ 中継に対する大きな自信と期得が持たれている。

今回行なわれた実験はアンドーバ局よりテルスタ2号にピーコン信

表 1 テルスタ 2 号追尾実験 データ

H	1	H.	軌道番号	実		予 定 F 本時間		Ė	動		尾し た 本時間		問	
7月	7	H	388	128	等01分) ~12H	\$19分				少~12日			
	9	B	401	13	05	~13	22	(7	1中	+	司の都台	101	世波多	Ē,
	13	H	426	10	23	~ 10	37	10	23	03	~10	48	10	
	14	H.	433	13	20	$\sim \! 13$	35	13	19	01	~ 13	41	08	
	18	H	458	10	36	~10	55	(テ	ルス	夕動	作停止)		

(電気通信学会誌 昭和38年8月号より)

表 2 追尾装置概略仕様

追	K	方	定	シマルテニアス ロービング 油圧駆動方式
123	i	芝	数	4,080±0.2 Mc (連続波)
1/2	1	4	線	パラポラ反射鏡 直径 6 mφ 開口角 150 度 利得 43 dB
測	角	萷	度	仰角, 方位角とも 1 分以内
追	尾	陥	囲	方位角±400 度, 仰角 -5 度~90 度
要	信	TIT	波	円偏波,左右偏波取換可能,最小追尾入力約 -140 dBm
21	工機な	推音}	台数	追尾用3回路とも、総合約3dB (バラメトリック増幅器付)
抽動	足時	の過ぎ	度定数	約1秒
L	-	F -	4	軟質-重レードーム 損失約 0.15 dB

表 3 制御計算機概略仕様

186	0	構	成	符号 -10 進 7 /	ケタ (数値語)	
				8 池 7 ケタ	(指令語)	
肥	憶	装	腔	2 周波メモリ	512 備	
論	理	紫	7	パラメトロン	3,600 個	
2	17	9	2	20 kc		
A	出力	選択!	回路	磁気変調形コア	マトリクス 16 人力, 16 出力	1
A	111	力装	121	電動タイプ、磁:	気テープ装置 各2台	
44	部ス	1	7+	強制割込信号を	含み 34 個	

号 4,080 Mc を発射させ、日本ではこの ビーコン 信号を受信して衛星を自動追尾するものである。まずあらかじめ計算された軌道 データ をもとにして、アンデナ は制御計算機により衛星信号の到来予定方向に時々刻々向けられると同時に ビーコン 信号の周波数探索を受信機 (Phase-Locked Demodulator 方式による狭帯域受信機)で行なって、いわゆる待受け状態に入る。電波捕捉後は追尾装置による全自動追尾に移る。

■ 3 サイクル Y 形空気シャ断器シリーズの完成

Y 形空気シ+断器は、強力な消弧能力を有する内部断路形空気 シ+ 断器で、シ+ 断点の並列抵抗に直線抵抗を使用しているため、 すぐれたシ+ 断特性を発揮しますが、その操作機構部、および、シ + 断点の一部を改良することにより、3 サイクルシ+ 断器のシリーズが 標準化されるに至りました。(図 1、図 2)

特 長

- (1) シャ 断部可動接触子の構造を改良することにより、可動 部が軽量化されるとともに、シャ 断部、可動、固定接触子の 交換がきわめて容易となった。(交換時の最大重量約8kg)
- (2) 投入時間が、さらに短縮され、約 0.09 秒となった.
- (3) 吹付弁,排気弁は、回転軸により駆動され、操作機構部 の配管が少なくなった。また、駆動軸は、独特の方式で操 作時のみ駆動力が加わる方式のため、きわめて信頼度が高 い。
- (4) シャ 断部並列抵抗に、改良された、カーボンセラミックブロックを 用いることにより、構造簡単で信頼度の高い直線抵抗器が えられた。



図 1 72,84 kV 2,500MVA 1,200A 3 サイクル Y 形空気 シャ 断器



図 2 168kV 5,000MVA 1,200A 3 サイクル Y 形空 気 シャ 断器

■ 24 kV 1,000 MVA 縮小形 C 形空気シャ断器完成

C 形空気 シャ 断器は、独特の 横吹付形消弧方式を採用してい るため、抵抗シャ 断方式を採用 せずに良好なシャ 断特性を発揮 するうえに、接触部が消弧室を はずさずに点検できること、外 部断路器がないために、構造が きわめて簡潔であることなどの 利点が認められて、多数の同形 シャ 断器が各方面に使用されて 既に 10 年以上となります。

横吹付方式の利点をそのまま 生かして、操作気圧を従来の10 kg/cm²-g より、15 kg/cm²-g に上げることにより空気 タンク、



24 kV 1,000 MVA 1,200A 縮小形 C 形 空気 シャ 断器

および操作機構を小形化するとともに、徹底的な シャ 断試験の結果、消弧室を従来品の約 65% に縮小することができました。このため、従来の C 形空気 シャ 断器の利点を有するに加えて、外形 寸法および重量が約 65% に縮小化され、据え付けおよび取り扱いの面でいっそうすぐれた性能を発揮する 24 kV, 1,000 MVA 600~2,000A C 形空気 シャ 断器 (図) が、標準品として製作、納入 されております。以下にその主要な定格を示します。

定格電圧 24 kV 定格電流 600~2,000A 定格シャ 断時間 5 サイクル

定格5+断容量 1,000 MVA 定格再起電圧 9 kc II 号 重量 850 kg

■ RY 形結合コンデンサ形計器用変圧器製作開始

かねてから試作をしていた PY 形 PD が試作完了し、受注製作を始めることになった。JEC 規格を十分に保証する安価な PD であり、各種工場試験においてもきわめてすぐれた性能をうることができたものである。

標準品の定格は

一次電圧 66/√3 kV 以上

二次 / 三次電圧 110 / √3 / 110 / 3 V

二次 / 三次負担 200 または 500 / 100 VA

誤差階級 1.0 級

特長は

- (1) 小形, 軽量で, 安価である.
- (2) 誤差特性は 0.3 M 級のものでも製作できる.
- (3) 結合 コンデンサ の胴径が細くまた径違い カサ を採用しているため汚損特性がすぐれている.
- (4) 重汚損地域で使用する場合は誤差特性の変化をふせぐために2段積み結合コンデンサの上下段フランジを内部導体から絶縁した構造とすることもできる。
- (5) 変圧装置部は油入窒素封入完全密閉式であり、分圧 コンデンサ端子間の火花 ギャップ、接地 スイッチ はつけない 構造である.
- (6) 二次短絡に対しては、PD の共振をずらせる共振 リアクト



275/√3 kV 500 VA 1.0 級 PY 形 PD

ル 励磁打消方式の保護装置を採用して

- (7) 二次短絡、断線などにより電圧抑制 付継電器が動作して 5+ 断器が系統の 事故でないのに誤動作するのをふせぐ ために、電圧抑制付継電器誤動作防止 装置をよういに取り付けることができ る。また警報装置も取り付け可能であ る。
- (8) 電力線搬送用結合装置付 PD とす ることもできる。
- (9) 三相のPDの二次三次回路を入,△ 結線してから配電盤室へ配線するため の低圧側配線箱を取り付けることがで きる。

図に試作完了した PY 形 PD の外観写真を示す.

■ わが国最大の 190 kW 水中モートルの完成

わが国では記録的な大容量機である 190kW 水中 モートル が完成した。この水中 モートル は今後の水中 ポップの大形化に対する業界の要望に応えて開発されたもので、この完成は水道関係の給水 ポップ 用、貯水 タック および ボイラ 関係の給水 ポップ 用などの用途に新分野を開くものとして期待できよう。

仕 様

全閉水中形三相誘導電動機

190 kW 4P 400 440V 50 60 c's ワク 番号 3,200S

外形寸法 535φ×1950 重量 1800 kg (内部封水を含む)

特 長

- (1) 完全水封式である.
- (2) 固定子巻線には、特殊合成樹脂電線を使用しているため 耐水性のみならず、耐熱性もきわめて良好である。
- (3) スラスト 軸受および筒軸受は、特殊合成樹脂製で、水潤滑において高い耐摩耗性をもっている。スラスト 軸受は ミッ



190 kW 水中モートル

チエル 形の構造をもち許容 スラスト 荷重 5,000 kg に耐えう

- (4) 構造各部の防シュウ(錆)処理は完全に行なわれている。
- (6) 電気的特性はきわめて良好で、とくに運転時における軸 受関係の温度上昇は、きわめて低く、高い安定性をもっている。

■ 最近の船用ホイスト

近年貨客船の補助荷役用、漁船の主荷役用、船用エンジッのオーバホール用として、当社電気 ホイスト がさかんに使用され今年も大量の受注があったがこれは当社船用ホイスト が、次に述べる各種の特長と、あらゆる仕様に応じられる機種を豊富に持っているためと思われる。

次にその特長と最近受注している機種および仕様の一覧を述べ ご参考に供したい。

特 長

- (1) 小形軽量で取り扱いやすく、押し ボタン 操作方式で運転 しやすく安全である。
- (2) 標準化されている陸上用の部品を共用しているため安価 で、部品の補充など保守に心配がない。
- (3) 手動のものに比べ、高性能・高能率であり、労力の消耗 がなく、高ひん度の使用に耐える。
- (4) 走行形では、モノレール下面に ラック を設け、ウォーム 減速の ピニオン をかみ合わせているので、船のよう動に対しても自 走しない
- (5) 防水・防洙・防漑構造などをはじめ、その構造・特性は NK 規格または ロイド 規格や船舶安全法にも合格するもの である。
- (6) 使用場所に応じ、入念な絶縁および耐食処理を行ってお り、耐久度が大きい。
- (7) 当社陸上用 ホイスト の持つ特長を各所に取り入れている ため能率がよく、使いやすい.

種類と仕様

最近のものについて、その概要を一覧表として述べ、次にその 一例の写真を紹介する。



図 1 1t 舷梯用据置形 ホイスト 容量 1t つイヤローラ 12 mm 長さ 35 m 2 本掛 巻上速 度 18 m/min 巻上電動機 3.7 kW 電源 440 V 60 c, s

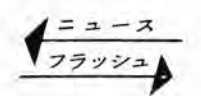




図 2 2t 主機開放用鎖動走行形 #イスト 容量 2t 場程 6 m, つイヤローラ 12 mm 2 本吊, 巻上 速度 3 m/min. 巻上電動機 1.5 kW 電源 220 V 60 c s

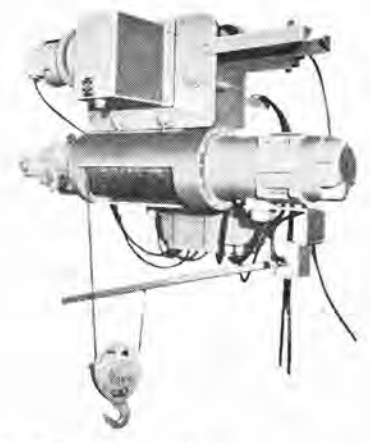


図 3 500 kg 電動走行形 ホイスト 容量 500 kg 場程 16 m つイヤローラ 6 mm 2 本吊, 巻上 速度 20 m min 巻上電動機 2.2 kW 走行速度 15 m min 走行電動機 0.55 kW 電源 440 V 60 c/s

船用 ホイスト の種類と仕様一覧表

形式	縣乘形	据置	形	鎖動走行	電動走行
用	1881 198 100	一般用	漁船用	形	形
金 任 概	配ゼン用の ダムウエー タやジブク レーン用	ウインチ補 助や舷梯ホ イスト用	デリック 用やウイ ンチ代用	エンジン の解放組 立用	細食、小 荷物の荷 役など
容量	250~500 kg	500kg~1,5t	500 kg	1~3t	500 ~1t
揚 程(m)	6~12	12~40	20	4~6	12~18
卷上速度 (m/min)	12~24	18~24	30	3~6	12~30
走行速度 (m/min)		-		1	10~20
走行方式	ラック・ビニオンか み合方式				
框 源	三相交流 60	c s 220 V ±	たは 440 7	7	
定 格	標準は 30 分	定格, 荷役サ	イクルに応	じ、60 分な	どとする
操作方式	押しボタン式	,操作電圧は	220V ± 6	# 110V ±	たは 55V
規格など	NK, 12 4 K	, 船舶安全法,	JISC9620	(電気ホイス	(ト)など
保護構造	上記による	坊水, 防沫, 降	方滴形で耐!	a 木耐食処理	ı
その他	が、他はその	上用のものには の都度、用途。 上記以外の(使用場所お	よび客先仕	様に基づ

MR-4, MR-44 形電磁継電器量産開始

超小形交流多点接点電磁継電器

超小形軽量で動作確実、長寿命で信頼性の高い交流多接点電磁 継電器 MR-4, MR-44 形の開発を完了し量産を開始した.

おもな性能と特長は,

(1) 超小形でパネル 面積の節約

MR-4 形は 4 接点の組み合わせ、MR-44 形は 8 極で 4A4B で両者とも取付面積は同一の 60×43 m m で小形化され パネル 面積の節約が可能である.

(2) 最高級の性能

JIS に規定する性能の A-1-1 の 2 倍以上, すなわち機械的 に 1,000 万回電気的に 25A on, 5A off で 50 万回 15A on, 3A off で 100 万回ときわめて長寿命である.

(3) 信頼性が高い

構造簡単で接触子部分はごみや配線くづの入り難い構造で、 さらに MR-4 は防 ジンカパー を取り付けるようにし接触不良に 対し信頼性を高めまた盤面の振動, 衝撃に対しても強い.

(4) 取扱の容易

MR-4 形は部品を取り換えず同一部品で接点配置の変更がで きる。また盤への取り付けは2本の取付ネジで行ない、コイルの取 り換えも容易である.

お
P

形	名	MR-4	MR-44
接点	新	4A, 3A1B, 2A2B (1A3B, 4B)	4A4B
定格電流	AC 250 V	5	5
(A)	AC 600 V	3	3
閉路シャ斯電	AC 250 V	50	50
流容量(A)	AC 600 V	30	30
迎続通電電流	容量(A)	10	10
操作電磁	コイル定格	100 V 50 c/s 100-110 V 200 V 50 c/s 200-220 V 400 V 50 c/s 400-440 V	V 60 c s V 60 c/s V 60 c/s その他
TE M (1	kg)	0.26	0.32







MR-44 形 (左), MR-4 形 (右) 電磁継電器

超小形 EM-4 形電磁開閉器市販開始

超小形軽量安価な汎用 EM-4 形交流電磁開閉器を新 シリーズ の

仕				様	
t	775	開	123	184	

	形名	電 磁	用 閉 器	電 磁 接	触器	
区分と		新 人	開 放	THE	放	
		EM-4	EMO-4	M-4		
最高許容	電圧(V)	600		600		
定格容量	200-220V	1,5		定格電流 7A		
(kW)	400-550V			1 4A		
連続通電電流容量(A)		10		10		
補助接触子		1A		1A		
操作電磁コイル定格		100 V 50 c/s 100-110 V 60 c/s 200 V 50 c/s 200-220 V 60 c/s 400 V 50 c/s 400-440 V 60 c/s				
重量(kg)		0.67 0.42		0.26		



一環として開発を完了し市販を開始した。

EM-4 形のおもな特長性能は, 超小形軽量で 200V 1.5 kW の

定格容量で電気的に 100 万回以上機械的に 1,000 万回以上の寿命をもつ高性能で信頼性の高い電磁開閉器である.



図 1 EM-4 形電磁開閉器(外觀)



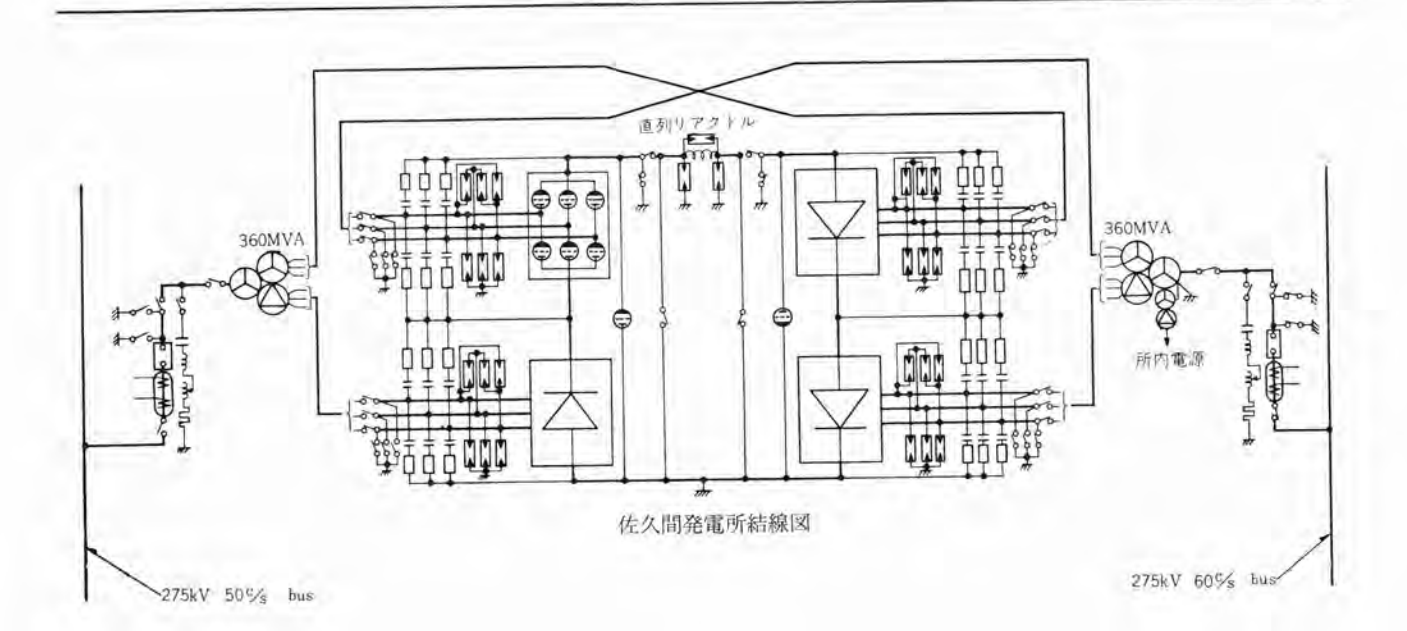
図 2 EM-4 形電磁開閉器(内部)

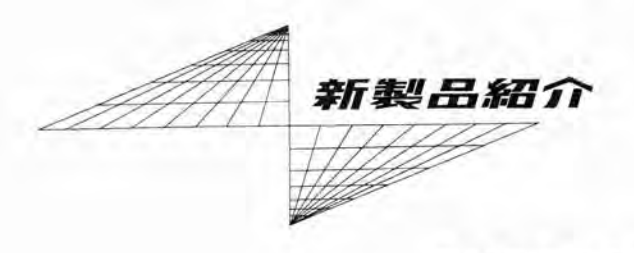
■ 電源開発佐久間周波数変換所用変圧器受注

東北部の 50 c/s 系統と西南部の 60 c/s 系統を直流で連系して、全国的に電力の広域運営を計るため、電源開発株式会社で佐久間 発電所の近くに 300 MW の佐久間周波数変換所 (Sakuma Convertor Station)を設置する. 交直 アーク 変換装置は スエーデンの ASEA 社から輸入されるが、これと組み合わされる 2×360 MVA 変圧器 (50 c/s 器と 60 c/s 器)を当社が製作することになり、現在基礎研究と設計を進めている。

変圧器は約 360MVA で交流側は 275 kV, 直流側は 人, △ の 2 巻線を備え 2×125 kV 直流電圧に対応する。 交流側には、MR 社から輸入する負荷時 タップ 切換器をつけて電力潮流制御を補助する。 本体は特別三相構造で組立輸送をし、ブッシングは エレファント式、完全防音の建屋内に収納する予定。

一号器は 39 年 11 月に据え付けを終わり、40 年には試験運転 を行なうことになっており、この成果は世界的に期待されている。





三菱工業計測器 (A シリーズ その 1)

当社は先般来、プロセス 用工業計測器の開発を進めてきたが、ここに検出器・交換器・記録計・指示計・調節計・操作用変換器などより成る工業計測器の系列を完成し、A シリーズ と名付けた

装置は全電子式で信号はすべて 4~20 mA DC に統一している。また各機器は全体をコンパクトにまとめ互換性を有し、精度と信頼度を高めるべく、設計にまた部品・材料に十分な配慮を施してある。したがってプロセス工業を始め産業の各分野の計装用に広く活用することができる。

本号より3回にわたり、工業計測器 A シリーズの概要を紹介する.

1. 自動平衡形記録計および指示計

自動平衡形記録計には下記の AR-2 形と AR-3 形が、自動平 衡形指示計には AR-6 形があるがいずれも全電子式方式であり 高精度と長寿命を有するとともに、盤面スペースをできるだけ節約 しうるよう小形化してある。

1.1 AR-2 形 中形自動平衡形記録計

記録紙幅 120 mm で折りたたみ式の中形記録計で1点ペッ書き式と6点色別打点式とがある。また動作原理上からは電位差計式と ブリッジ式とになる。図 1 はその外観で、標準仕様は下表のとおりである。おもな特長は下記のごとくである。

■特 長

- (1) 外形寸法が小さく盤面を節約できる.
- (2) 増幅器はトランジスタを使用し、定電圧回路も ゼナーダイオード を用いているので高性能、長寿命である。
- (3) 25イド抵抗は密閉形としぶんい気により特性が変わらないよう考慮してある。
 - (4) 記録紙は折りたたみ式であり取り扱いが容易である.
- (5) カバー の窓面積を大きくし、記録が長く表われるように してある。

1.2. AR-3 形 小形自動平衡形記錄計

記録紙幅 100 mm の小形記録計で、1 点 ペッ 書き式である。 ペッ 駆動は自動平衡方式であり、精度高く、あらゆる プロセス の計装 に適する。図 2 はその外観で、標準仕様は下表のとおりである。おもな特長は下記のごとくである。

■特 長

- (1) 外形寸法が小さく盤面を大幅に節約できる.
- (2) トランジスタ 使用の電子式回路であり高性能長寿命である.
- (3) ペン機構は簡単なリンク機構から成り調整が容易である.



図 1. AR-2 形 中形自動平 衡形記録計

- (4) 内部機構は ケース から簡単に引き出せるので保守点検が 容易である。
- (5) 調節計と組み合わせ、プロセスの自動制御を行なうことができる。

1.3. AR-6 形 小形自動平衡形指示計

プロセス工業の計装において、発信器から送られてきた信号を盤上で表示監視するための指示計で、自動平衡方式を用いているので、精度の高い測定値が得られる。 図 3 はその外観で、標準仕様は下表のとおりである。またおもな特長は次のごとくである。

■特 長

- (1) 外形寸法が小さく盤面を大幅に節約できる.
- (2) トランプスタ 使用の電子式回路であり高性能長寿命である.
- (3) 内部機構は ケース から簡単に引き出せるので保守点検が 容易である。
- (4) 調節計と組み合わせ、プロセスの自動制御を行なうことができる。



図 2. AR-3 形 小形自動平衡形記録計



図 3. AR-6 形 小形自動平衡形指示計

票 準 仕 様

	AR-2 形	AR-3 形	AR-6 16
作動原理	電位差許式	饱位瓷計式	電位差計式
	ブリッジ式	ブリッジ式	ソリック式
標準是格	DC 0~10 mV	DC 0~10 mV	DC 0~10 mV
		DC 4~20 mA	DC 4~20 mA
	または抵抗	または抵抗	または抵抗
記錄方式	1 点用ペン書き式多点	1 点ペン書き式	-
	用色别打点式 (6 点)		
月 盛 長	120 mm	100 mm	日盛板直径 90 mm
			日盛角度 300
悠 度	0.2%	0.1%	0.1%
制 度	士0.5%	±0.75%	±0.5%
平断速度	2 PD	3 秒	2 秒
打点問題	5 10	-	-
紀 錄 紙	帯状全幅 140 mm	帯状全幅 108 mm	-
	記録幅 120 mm	記録幅 100 mm 卷	
	折たたみ式 1 月分	取式举月分	
記錄紙駆動	同期電動機	同期電動機	-
記錄紙速度	25, 50, 100 mm/h (30, 60, 120 mm/h)	25 mm/h, 30 mm/h	7
坳 幅 器	トランジスタ	トランジスタ	トランジスタ
付加機構	発信スライド	設定用ポテンシオメ	設定用ポテンシオメ
	醫報接点	- 夕発信スライド	- 夕発信スライド
		警報接点	整報接点
電 源	AC 100 V 50/60 c/s	AC 100V 50/60 c/s	AC 100V 50/60 c/s
消费電力	約 20 W	約 20 W	∦⁄j 15 W
外形寸法	(縦) 355×(荷) 255×	(綴) 140×(樹) 140	(綴) 140×(横) 140
	(奥行) 340	×(奥行) 516.5	×(奥行) 356.5

事務所・商店・学校・劇場の暖房に

'64年度三菱オイル暖房機発売

当社では '64 年度の大容量暖房器具として、昨年業界初の低圧 ガンタイプ・ジェット式 オイルパーナ として好評を得た FO-301 形 オイル 暖房機の実績を基礎とし、本年は、下記の 3 機種を新しく発売する.

三菱 オイル 暖房機 FO-221 形 (20,000 kc h)

三菱 オイル 暖房機 FO-311 形 (30,000 kc h)

三菱 オイル 暖房機 FO-501 形 (50,000 kc h)

本年は、とくにスイッチーつで運転できる自動点火・消火方式、ルームサーモスタットによる自動運転、精度の高い安全装置などかずかずのメリットを備えて、強い暖房力、使いやすさ、安全性を満足するとともに、コンパクトなずげ行ンにも留意してある。

■特 長

- (1) 高級仕上鋼板製の キャビネット は、住宅用・業務用いずれ にもよく調和する明るい色彩に焼付塗装され、しかも当社 独特のコッパクト な設計により据付面積が少なくてすむ。
- (2) 油をほとんど 100% 燃焼させる高性能の オイルバーナ,表面積が広く伝熱率の高い熱交換器,静かで豊かな風量をもつ送風機により、室内をはやく強力に暖房する.
- (3) 灯油を燃料とし、ルームサーモスタットによる自動運転を行な うので、運転経費はガスストーラの約1/2、電熱器の約1/3ですむ.
- (4) スイッチ 一つで自動点火・消火・送風, ルームサーモスタット に よる全自動運動を行なうので、操作が非常に簡単である。
- (5) 3 機種とも各種安全装置を完備しており、従来の同種暖 房機にみられた事故に対しては絶対に安全である。
- (6) 311 形,501 形は、ダクト接続が簡単にできるので、広い場所でもすみずみまで、均一の温かさを作りだす。
- (7) 煙突と 「5つトレギュレータ により、不快な臭い やスス はすべて屋外に出てしまい、室内は常に清潔で、しかもその上適度の湿度を手動給水加湿器、自動給水加湿器により加えられるので、理想的な暖房となる.
- (8) 従来同種暖房機の故障の原因のほとんどを占めていた空 たきを皆無にするため、922内の現在量がよくわかる、便



(現金正価 ¥ 145,000) FO-221 形三菱 オイル 暖房機

利な油量計が装置されている.

■ 仕 様

3	形	名	FO-221 形	FO-311 形	FO-501 形
暖	房能力	(k/h)	19,000	30,000	47,000
38	電	圧 (V)	100	100	200
"LL	相	数	m Hi	断 相	三 相
源	76	流(A)	2	10	5
送	100	機	プロペラファン	No. 2 DRS 形シ ロッコファン	No. 2 DRS 形シ
	風量	k(m³/mia)	22 50/60 c/s	34.5/45 50/60 c/s	60 50/60 c/s
	静日	E(ミリ/水柱)	_	16/20 50/60 c/s	20
	*	出力(W)	50	400	750
	I	電 圧 (V)	100	100	200
	n	相数	堆 相	惟相	三 相
才	Ins	-+	ポット形蒸発式		ガンタイプ低圧パーナ 75W ファント
健	用	油	J I	S 1 号 白 切	油
4	消費量	(I/h)	2.3	3.8	6.0
11	ルサ・	ーピスタンク	2.81 油量計つき	40 7 油量計つき	60 7 油量計つき
熱	交	獎 器	高級仕上鋼板耐熱 塗料焼付仕上	アルミコーティン グ類板製	アルミコーティン グ鋼板製
点	火	方式	自	動焦	火
自動	点	火制御	3 接点パイメタル	プロテクトリレー 方式	プロテクトリレー 方式
制御	送	風機制御	方式	コンビネーション コントロール方式	コンピネーション コントロール方式
装置	蜜	温期的	n - 4 + - =		
7	1 1	4	-	アルミフィルタ	アルミフォルタ
m	强型	100	手動給水加湿方式	自動給水加湿方式	自動給水加湿方式
+	ャビネ	71	高級仕	上鋼板塊	付繳装
44	形寸往	(mm)	1,150×850×830	2,078×520×1,080	2,283×740×1,050
A	量((kg)	100	257	420
付	凤	in in	ドラフトレギュレ	-3 N-L+-	モ 給油ポンプ







(現金正価 ¥ 415,000) FO-501 形三菱 オイル 暖房機

あなたを災難から守る

三菱電子報知機 EA-110A 形開発

当社では、ちょっとの油断が思わぬ災難に一変する…そんな現 代の不安にこたえて、企業の秘密を守り、ご家庭の安全を約束す る画期的な新製品,三菱電子報知機を開発いたしました。 これは,重要な金庫,書類戸棚, Fr などに装備しておけば,侵 入者の手や足が触れただけで、赤 50 がつき 5 がっき 5 が鳴りだします。また大きさは(幅)32×(高さ)12×(奥行)15 cm と 32 パクトタイプ、感度は自由に調整でき、近よっただけでも反応するほど鋭敏、5 がっ 10 メートル さきまで聞えます。

■特 長

- (1) 人が触れても、接線(アンテナ線)を切っても警報を発します。
- (2) ツマミ 固定装置がついているので、いったん調整後は機械 的振動などによってずれる心配がありません。
- (3) 調整は非常に簡単、スイッチ 一つで ブザー の鳴り方を大き くも小さくも、必要に応じて変えられます。
- (4) わずかな維持費で大きな成果が得られます.
- (5) ロッカ・金庫・レジスタ・洋服 ダンス・自動車など金属製のも のはもちろん木や プラスチック など非金属製品でも、金網や 金属板を付加することによって取付可能です。
- (6) 全電子式ですから反応が速く、盗難予防に来客報知に限 らず他にもいろいろ応用ができます。

■ 仕 様

(1) 使用電源 100 V 50 60 c/s

- (2) 消費電力 25W
- (3) 使用真空管 6V8 1本, 12BH7A 1本, 5MK9 1本, VR-150MT 1本,
- (4) ダイオード IN34 1本, SD103 2本
- (5) 寸 法 (幅) 32×(奥行) 15×(高さ) 12 cm
- (6) 重 量 3kg
- (7) 付属品 アンテナ線 10 m

カ月 36 4個 カレータ 10個 検知板 1枚

ワニロクリップ 2個



(現金正価 \ 17,500 月賦正価 \ 18,700) EA-110A 形三菱電子報知機

画面が6割拡大されました

三菱テレビ 19T-370 形発売

当社では、19 形 テレビの新製品としてこのたび迫真力にとむ114 度偏向 シャープコーナタイプブラウン 管、大形画面を鮮かに映す最新形超高感度真空管 2GK5 大形画面の迫力を助長し、臨場感を一段と高める ダブルコーンスピーカ などを採用した、などのかずかずの特長をもった 19T-370 形 テレビを発売いたします。

■特 長

- (1) 最新形の 19 形 114 度偏向、シャーブコーナタイプのブラウン 管の採用で、迫真力のある映像が楽しめます。
- (2) チューナ には高性能の単3 極管 2GK5 という,最新形超 高感度真空管の採用で,雑音が軽減し,いっそう鮮明な映 像が得られます。
- (3) キャピネット の前面に音質の良さを誇る PO-840 形 ダイヤト -ンスピーカ を使用しています。(前面 サウンドシステム)
- (4) チャネル 切り換えと同時に、自動的に接点および接片をクリーニッグ する。新形 セルフクリーンチューナ (実用新案第 563940号) を採用して、チューナ の接触不良を防止しています。
- (5) 受像中の チャネル 番号が、チャネル 切換 ツマミ に明るく浮き 出す チャネルインジケータ 付き・
- (6) ラジオへの雑音を防止する フィルタ を内臓し, アース 端子を 設けてあるので, アース 線を接続することにより, 雑音を著 しく軽減できます。

■ 仕 様

- (1) 受信方式 インターキャリア 方式 (1~12 チャネル)
- (2) 感 度 超遠距離用 (近距離に切換可能)
- (3) アンテナ 入力 300 Ω 平衡形
- (4) 電 源 100 V (105, 110 V タップ付) 50/60 c/s
- (5) 消費電力 130W

- (6) 映像中間周波数 26.75 Mc
- (7) 音声中間周波数 22.25 Mc
- (8) 音 声 出 カ 無 ヒズミ 1.1 W 最大 1.3 W
- (9) AFC (自動画質調整) 平衡 ノコギリ 歯形方式
- (10) AGC (自動利得制御) 改良 to 頭値整流方式
- (11) スピーカ ダイヤトーン PO-840 形
- (12) ブラウン 管 19×P4 (19AKP4) 48 cm 114 度偏向 メタルバック 静電集束電磁偏向
- (13) 真空管 16 球
- (14) シリコンダイオード (2個) SR-IT 電源整流
- (15) キャピネット 卓上形脚付 (幅) 610×(高さ) 390×(奥行) 370 mm
- (16) 重 量 38 kg



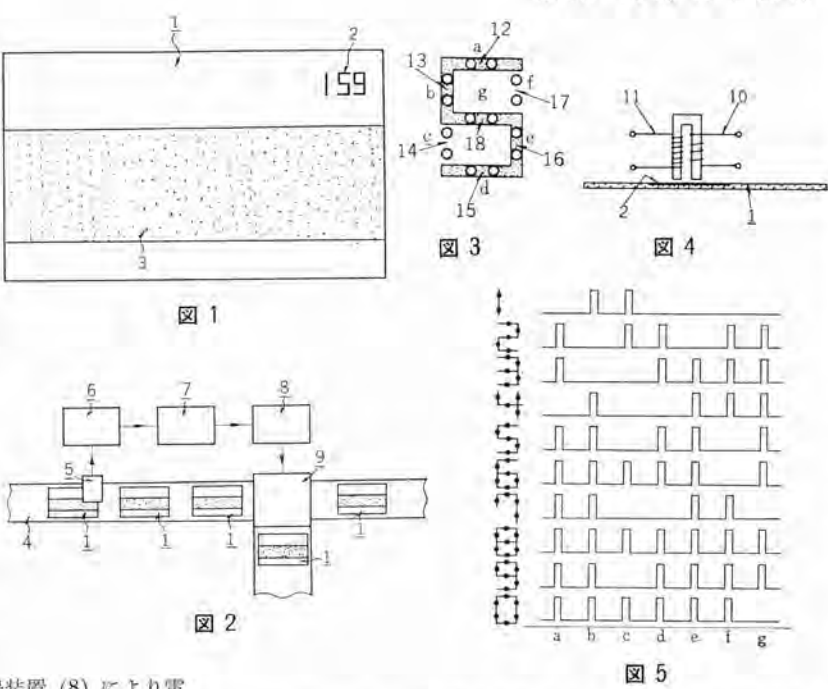


カード分類方式

発明者 大鳥羽幸太郎

この発明は小切手,手形などのカード類 を電気的装置によって分類しようとする ものである. この分類方式によればカード はすべて図1に示すように電磁石によっ て吸着される磁気塗料を付した部分(3) と,同じく磁気塗料により分類記号(2) とが設けられる. この分類記号にはたと えば図5の左側に示された形の数字が用 いられる。このようなカードを図2に示 すようにコンベヤ(4)によって流して分類 するわけであるが, 上記分類記号の検出 装置(5)は上記分類数字の各辺すなわち 図3の a~g の位置に図4に示すような 検出用磁心が (12)~(18) のように配置 されている。したがって検出装置 (5) に はカード(1)の数字に応じて図5のよう な パルス 信号が取り出されるからこれに

よって論理装置(6)、記憶装置(7)、継電器装置(8)により電磁石装置(9)を働かせ、この電磁石装置(9)によって上記カード(1)の磁気塗料による印刷部(3)を吸引して分類する。なおこの図では一つの電磁石装置によって一種類の記号のみの分類を示したものであるが、コンペヤ(4)に沿って複数個の電磁石装置を設けておけば数種の分類を行なわせることができる。



以上のようにこの発明の分類方式はまったく電気的に行なう ものであるから機械的に分類するものに比べて機構が簡単にな るうえ、カードに穿孔などの損傷を加える必要がないから既定 のカードの分類にも容易に応用しうるものである。

(特許第 299413) (竹歳記)

超音波軌条検査装置

鉄道軌条の溶接部を超音波によって検査する場合には、図1、2 に示すように軌条(1)の上下に超音波探触子(20)(24)を配置し、一方の探触子から超音波を送り込み、溶接面(2)で反射された波を今一方の探触子で受信するようにし、この時の受信波から ‡ ズの有無を検査する.したがって上下両探触子は軌条溶接面に対して上記のような関係を保って移動させられねばならず上下両探触子(20)(24)を支持している箱体(9)は締付具(3)(4)の締付爪(5)(6)によって軌条(1)に固定しておかなくてはならない。

ところで既設の軌条を検査する場合には列車の通過があるからそのたびごとに装置を取りはずすなら取り扱いがきわめて煩雑になる。そこでこの考案は箱体(9)を締付具(3)(4)に支点(16)(17)で軸支することにより、締付具(3)(4)は軌条(1)に固定したまま箱体(9)のみを図2に一定鎖線で示すように後倒しうるようにしたものである。このようにしておけば列車通過の際でも箱体(9)を後倒するだけで軌条から取りはずす必要がないから取り扱いが非常に簡単になる。

(実用新案登録第 573463) (竹歳記)

年月日	主催または開催場所	演	講 演 者	所属場所
38- 5-16	日本電気協会	電鉄用新形避電器	永井信夫	伊力
38- 5-16	日本電気協会	脈流電動機の脈流と温度上昇整流について	河村寿三	伊力
38- 5-16	日本電気協会	パイロットモータの無接点制御方式	三橋英一	伊
38- 5-16	質量分析学会	オメガトロン の作動特性	化坂孝雄	研究
38- 5-16	質量分析学会	立体二次収 レン 質量分析計	後藤正之	研究
38- 5-16	質量分析学会	直視式質量分析計の一方式	的 埜 卓	研究了
38 - 5-16	日本電気協会	送電,電力系統,給電関係部門新幹線 + 電線 用静止形方形特性距離継電器	北浦孝一	神
38 - 5-16	電気協会講演会	超研向 150 MVA 短絡発電機	志岐守哉	長
38- 5-16	社団法人日本電気協会研究会	磁気軸受付 MU-31 形積算電力計について	広瀬 薫	福
38- 5-17	化学工業協会	アナログ計算機の概要	大鳥羽幸太郎	無線
38- 5-17	質量分析学会	固体試料分析用質量分析器(Ⅲ)定量分析法 に関する考察	甲斐潤二郎	研究
38- 5-17	質量分析学会	固体試料分析用質量分析器 (N) 定量分析法 に関する研究	秦 卓 也,甲斐潤二郎 三 木 将 代	研究
38- 5-17	質量分析学会	固体試料分析用質量分析器 (V) 乾板の現像 条件に関する研究	三木将代・甲斐潤二郎	研究
38- 5-21	計測制御学会	むだ時間を含むサーボ系の安定限界	大野栄一	研究
38- 5-21	計測制御学会	磁心 トランジスタ を用いた パルス 変調器とその 応用	阪尼正義	研究
38- 5-24	日本資料管理者協会	価値分析による資材費の節減	山口孝逸	₽±
38- 5-27	日本写真学会	偏光板に関する研究	依 田 功	大
88- 5-29	日本資材管理者協会	当社の価値分析の進め方と問題点	山口孝逸	(p)
38- 5-30~31	中国電力	最近の照明の傾向	小堀富次雄	本
38- 5-31	原子力学会西支部	TRGA 炉における中性子回析装置 リクニ アック MI-2 形の特性について	宮下幕一・戸田哲雄	研究
38- 6- 4	日刊工業新聞社	電磁 クラッチ の自動化への応用	高野良二	名古
38- 6- 6	規格協会関西支部	関西品質管理 セミナ 基礎 コース	小鳥井 繁	本
38- 6- 8	大阪府	電解加工の概要	斉藤 長 男	研究
38- 6- 8	規格協会関西支部	関西品質管理 セミナ 基礎 コース 終了式	小鳥井 繁	本
38- 6-10	新潟大学工学部	放電加工	東田孝彦	無線
38- 6-13	自動 アーク 小委員会	自動アーク溶接機の使用上の問題点について	牧田孝次郎	伊
38- 6-11	岐阜経営者協会	CCS 経営講座 一統制および運営ー	前田幸夫	本
38- 6-14	接着技術協会	シアノエチルセルローズ の接着性	伊藤公男·小野 博	研究
38- 6-14	東北大学通研第 107 回伝送工学研究会	低雑音 アンデナ	喜連川 隆	研究
38- 6-14	大鉄局	三菱灯分電盤用 シャ 断器について	松尾昭二	福
38- 6-15	早稲田大学	工場における IE 技術者	高田直蔵	本
38- 6-15	接着技術協会	接着剤の放射線劣化	伊藤公男	研究
38- 6-18	日刊工業新聞社	制御装置としての SCR の応用	加藤又彦	伊
38- 6-19	規格協会関西支部	関西品質管理 ゼミナ 応用 コース	小鳥井 繁	本
38- 6-20	税関研修所	原子力の将来性	岸田公治	伊
38- 6-21	日本電機工業会大阪支部	最近の半導体とその電動機への応用 Self-Organizing System における認識関数 の設計理論	岡 久雄	研究
38- 6-22	輻射科学研究会	広帯域 サキュレータ 形 エサキダイオード 増幅器	喜連川 隆·白 幡 潔 武富大児·立山 茂	研究
38- 6-22	輻射科学研究会	マイクロ 波 フェライト 回路研究の最近の スウ 勢	中原昭次郎	研究
38- 6-24	学術振興会	100 kW 電子 ビーム 溶解炉について	藤 永 敦·八十田尚治 宇 川 彰·竹内守久	研究
38- 6-28	電気学会, 非線形磁気応用委	直交磁界形磁気変調器	山崎英蔵	研究
83- 6-28	日本鋳物協会	リグニシレギン の高温特性について	栗原成男	名古
38- 7- 5	産業訓練協会	CCS 講座 —IE—	前田幸夫	本
38- 7-10	国民工業振興会名古屋支部	メッキ 作業と管理	鬼塚正浩	名古
38- 7-12	日本鋳物協会 セルモード協会共催	リグニンレデン を電動機部品の シェルモールド 鋳物 に応用した例について	栗原成男	名古
38- 7-16	日刊工業新聞社	電解加工機の加工技術	伊藤 明	名古
38- 7-17	規格協会	第二回 QC 部課長 コース	小鳥井 繁	本
38- 7-23~25	北海道電力 (本店,室閩支店,函館支店)	緑料金制度用計器について	武田克己	福
38- 7-23	新三菱重工	MIG 溶接における アルミニウム 心線の溶着現象	山本利雄	研究

三菱電機技報 Vol. 37 No. 12

- ○赤外線 ホームコタツ
- ○インパルガスループ 実験装置の放射線 モニタ
- ○核磁気共鳴信号検出器の特性
- OOL 形栓上変圧気渦負荷表示器
- ○240 kV, 15,000 MVA, 2,000 A, SF_{6 シ}+ 断器
- ○入換機関車無線操縦装置
- ○複合認識系の実験
- ○BF₃ 比例計数管
- ○ホットケーブ内で用いる各種加工機
- ○EH 形キュービクル 開閉装置
- ○遠心脱水機のふれまわり運動
- 〇シリコンカーバイド の結晶成長 (1)
- ○ケイ素鋼帯の磁気特性連続自記装置 (1) 鉄捐測定の誤差
- ○列車自動運転のための指令装置
- ○200 号 ブッシング の活線洗浄試験
- ○技術解説: 変圧器用絶縁油

三菱電機技報編集委員会

真 17.

向井徳樹

(以上 50 音順)

委員長小倉弘 副委員長 宗 45 常任委員 明 石 稍 安 藤 安 11 11 大 野 寬 11 101 合武彦 11 小堀富次雌 篠崎善助 高井得一郎 11 中野光雄 11 馬場文夫 11 富 内主 195 11 14 田栄 委 員 岩 原 岡 高 示 11 樫本俊弥 11 堀

昭和38年11月22日印刷 昭和38年11月25日発行 「禁無断転載」 定価1部 金100円(送料別)

編集兼発行人

東京都千代田区丸の内2丁目12番地 // 毅

印刷所

東京都新福区市谷加賀町1丁目 大日本印刷株式会社

印 刷者

> 東京都新宿区市谷加賀町1丁目 高 橋

三菱電機株式会社內「三菱電機技報社」 東京都千代田区丸の内2丁目12番地 (三菱電機ビル内)

(電) 東京 (212) 大代表 6111

貉

東京都千代田区神田錦町3の1 株式会社オーム社書店 電話 (291) 0915 · 0916 基督東京 20018

本社 営業所 研究所 製作所 工場 所在地

京都千代田区丸の内2丁目12番地 三菱電機ビル内) (電)東京(212) 大代表 6111

東京商品営業所 大阪営業所 大阪商品営業所 名古屋営業所 # 商品部 福岡営業所 札幌営業所 仙台営業所 富山営業所 広島営業所 高松営業所 北九州出張所 静岡出張所 岡山出張所 長崎出張所 金沢出張所 315 商品研究所 神戸製作所 伊丹製作所 長崎製作所 名古屋製作所 福岡製作所 福山製作所 姫路製作所 相模製作所 靜岡製作所 中津川製作所 和歌山製作所 大船製作所 郡山製作所 群馬製作所 無線機製作所 北伊丹製作所 鎌倉製作所 京都製作所 鎌倉製作所 名古屋工場

札幌修理工場

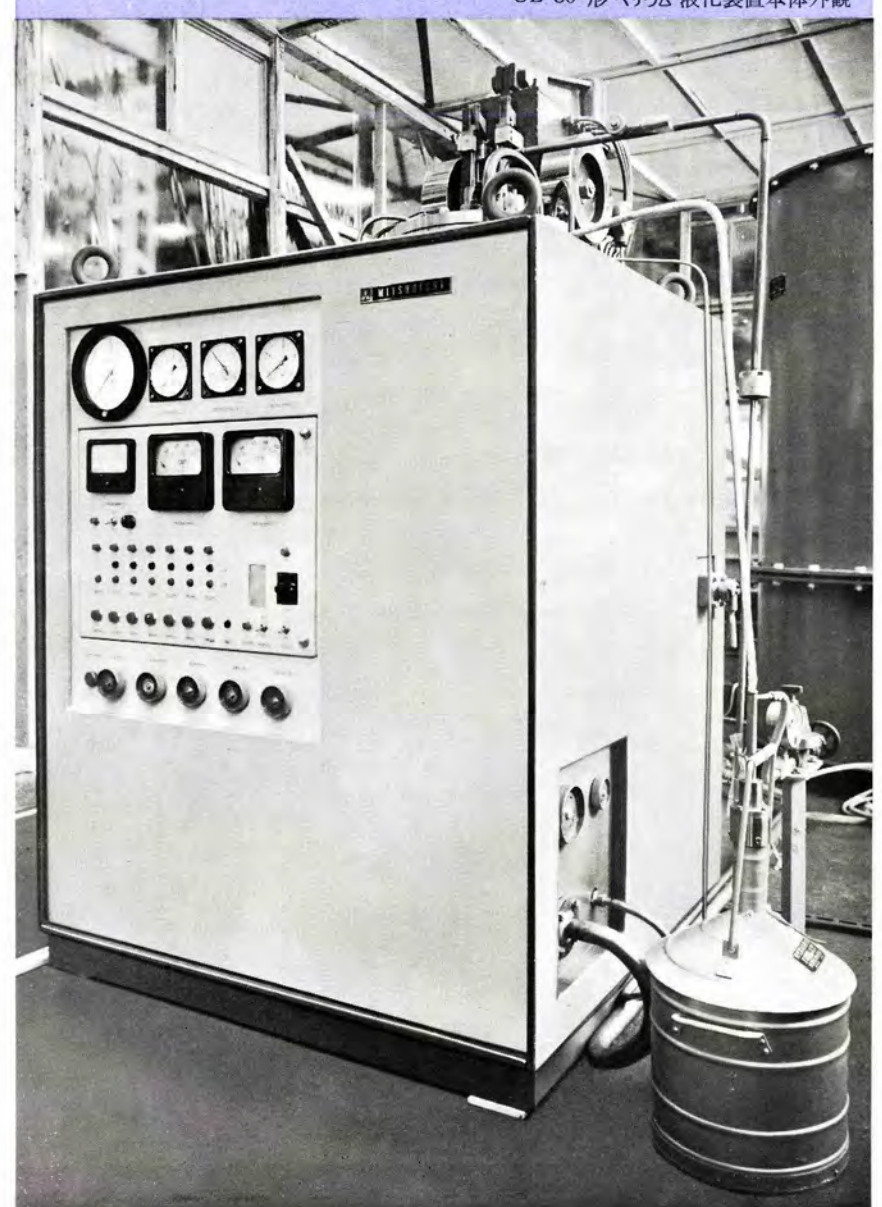
東京 都 千 代 田 区 丸 の 内 2 丁 目 12 番 地 (三変電機ビル内) (電)東京 (212) 大代表 6111 大阪市北区堂島北町8番地1(電)大阪 (312)大代表1231 大阪市北区堂島北町8番地1 (電) 大阪 (312) 大代表1231 名古屋市中区広小路通り2の4(電)本局(23)大代表6231 名 古 屋 市 中 村 区 広 井 町 3 丁 目 88 番 地 (大名古屋ビル内) (電) 名古屋 (56) 大代表 (5311) 岡 市 天 神 町 58 番 地 (天神ビル内) 湯 岡 (75) 代 表 6231 札幌市北二条西4丁目1番地(北海道ビル内) (電) 札幌 (6) 大代表9111 仙台市大町4丁目175番地 (新仙台ビル内) (電) 仙台 (22) 代表 6101 富山市総曲輪490の3 (明治生命館内) (電)富山(3)代表3151 広島市八丁堀 63 番地 (昭和ビル内) (電) 広島(21)4411~8 高松 市寿町1丁目4番地(第一生命ビル内) (電)高松(2)代表5021・4416(直通) 北九州市小倉区京町10丁目281 番地(電)小倉(52)8234 静岡市七間町9番地10 (電) 静岡(53)代表9186 山 市 上 石 井 174 番 地 (岡山 会館 4 階) 2) 岡 山 (4) 0331~2 長崎市江戸町30 (電) (2) 0293 金 沢 市 田 丸 町 55 番 地 1 (電) 金沢 (3) 6213 尼崎市南清木字中野 80 番地 (電) 大阪 (481) 大代表 8021 鎌倉市大船 782 番地 (電) 大船 (6) 代表 3131 神戸市兵庫区和田崎町3丁目 (電) 兵庫(67)代表 5041 尼 崎 市 南 清 木 字 中 野 80 番 地 (電) 大 阪 (481) 8021 伊 丹 局 代 表 2481 長崎市平戸小屋町 122 番地 (電) 長崎(3)代表 3101 名古屋市東区矢田町18丁目1番地(電)名占屋(73)代表1531 福岡市今宿青木 690 番地 (電) 福岡 (代表) 0431 福山市沖野上町6丁目709番地(電)福山(2)代表2800 姫路市千代田町 840 番地 (電) 姫路 (23) 大代表 1251 相 模 原 市 小 山 字 久 保 224 の 224 (電) 相 模 原 (0427) -(7)- 代 表 3231・3241 静岡市小鹿110番地(電)静岡(85)大代表1111 中津川市駒場 928番地2 (電) 中津川 2121~8 和歌山市岡町 91 番地 (電) 和歌山 (3) 代表 1275 鎌倉市大船 800 番地 (電) 鎌倉(6)代表 2121 郡山市字境橋町1番地 (電) 郡山(2) 1220~1223 群馬県新田郡尾鳥町大字岩松80)番地 (電) 尾島 270番太田代表 4311番 尼崎市南清水字中野80番地 (電) 大阪 (481) 大代表 8021 伊丹市大鹿字主ケ池1番地 (電) 伊丹大代表 5131 鎌倉市上町屋 325 番地 (電) 鎌倉 (6) 大代表 6171 京都府乙測郡長岡町大字馬場小字図所1 (電) 京都 (92) 代表 1141 名古屋市東区矢田町18丁目1番地(幣)名古屋 (73)代表 1531

札幌市北二条東12丁目98番地 (電) 札幌 (2) 3976

UL-80形 ヘリウム液化装置(標準機)完成

極低温領域における 各種研究開発に活躍が期待される

UL-80 形 ヘリウム 液化装置本体外観



この装置は昭和 36 年末試作に成功し、機械式 ヘ リウム 液化装置の国産第一号となり各方面から注目を浴びたが、その後各部分にわたって改良を加え、このたび標準機として UL-80 形を完成した.極低温域における諸々の研究開発が進んでいる今日、本機の果す役割もますます重要なものとなってきた.

おもな仕様は下記のとおりである.

- 1. ヘリウム 液化能力
- 8 l/h
- 2. 起動時間
- 2 h

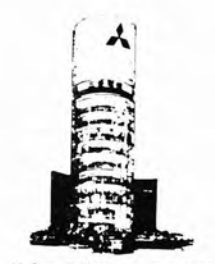
(いずれも液体窒素による予冷のある時)

3. 液体 ヘリウム 貯蔵量 151

またおもな特長は下記のとおりである.

- (1) 液化機本体の液化室は実験用 クライオスタット として使用できる.
 - 実験温度範囲 2~300°K
- (2) へりウム の他に水素, ネオン, アル ゴン, 窒素などの低沸点 ガス の液化 に使用できる.
- (3) 液化機本体は コンパクト にまとめられ、連転操作が容易で、各種保護装置が完備し安心して使用できる.

なお現在までに 20 l/h および 8 l/h の へりウム 液化装置, 10 l/h の水素液化装置 などをすでに受注し, 目下製作中である.



社会と企業を結ぶPR施設 三菱電機スカイリング